

**INSTITUTUL POLITEHNIC "TRAIAN VUIA" TIMIȘOARA  
FACULTATEA DE MECANICA**

**Arjocă Ioan**

**Teză de doctorat**

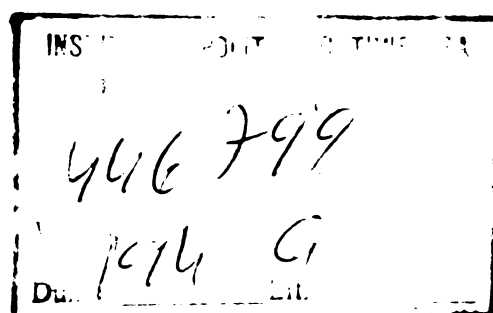
**CERCETAREA PROCESELOR DE SUDARE PRIN PRECARE  
CU SI PARA MATERIAL DE ADAOS**

**Conducător științific**

**Profesor Traian Sălăgean  
membru corespondent al  
Academiei RSR**

**BIBLIOTECA CENTRALĂ  
UNIVERSITATEA "POLITEHNICA"  
TIMIȘOARA**

**1982**



## INTRODUCERE

Problemele energetice cu care se confruntă omenirea în etapa actuală orientează activitatea cercetătorilor din domeniul sudurii spre studierea și promovarea procedeeelor și tehnologiilor care au ca efect reducerea consumurilor energetice, de materiale și materii prime.

In această competiție se afirmă procedeele neconvenționale care reușesc să soluționeze în mod avantajos o mulțime din problemele puse sudurii. Astfel, procedeul de sudare prin frecare, cu un consum energetic mai mic decât procedeele convenționale de sudare cu arcul electric sau electric prin presiune, permite realizarea unor suduri de calitate la o gamă de materiale mult superioară acestor procedee, în condițiile obținerii unor importante economii de energie electrică, materiale și manoperă.

Preocupările legate de sudarea prin frecare în cadrul Institutului de sudură și încercări de materiale din Timișoara, au început în anul 1931, cînd s-a constituit un colectiv de cercetare a procedeului. Acest colectiv a studiat comportarea tehnologică la sudarea prin frecare a oțelurilor nealiate, slab aliate și aliate de diverse tipuri : de cementare, de îmbunătățire, inoxidabile, termorezistente, de scule și combinații ale acestora, aliaje de cobalt, aluminiu etc. Studiile s-au concretizat în elaborarea a peste 50 de tehnologii de sudare prin frecare a sculelor așchie-toare, scule de mină, prăjini de foraj și a unor piese cu un important rol funcțional de la tractoare, autocamioane, locomotive, mașini de ridicat și transportat, mașini agricole etc. cu efecte economice estimate la peste 15 milioane.lei economii pe an.

Paralel cu activitatea de cercetare tehnologică s-au proiectat și executat prototipurile a trei echipamente universale de sudare prin frecare cu forță axială maximă de 50,100 și 400 kN.

Dintre acestea ultimele două tipuri au fost assimilate în producție de serie zero ce a permis reducerea cheltuielilor de import aferente și implementarea procedeului în ramuri industriale prioritare cum ar fi : industria minieră, metalurgică, constructoare de mașini.

Progresul tehnic înregistrat în ultimii ani în industrie a orientat activitatea de concepție spre realizarea unor echipamente specializate, complet automatizate, de mare productivitate cum sunt cele de sudare a supapelor de la autoturisme sau cele de sudare a axelor cardanice de la autoturisme și autocamioane.

In vederea extinderii domeniului de aplicare a acestui procedeu, deosebit de avantajos din punct de vedere tehnic și economic, la ISIM a fost dezvoltată, ca nouitate pe plan mondial, varianta de sudare prin frecare cu material de adasos. Această variantă deschide perspective largi la sudarea barelor și țevilor de orice lungime și de orice profil, sudarea "în teren" a conductorilor, realizarea prin sudare a arborilor cotiți.

In cadrul institutului se desfășoară o bogată activitate de colaborare internațională cu specialistii preocupati de sudarea prin frecare din URSS, RDG, RPP, RSC, RPU, activitate inclusă în convențiile de colaborare tehnico-științifice din domeniul sudurii încheiate între țările membre CAER.

Teza de doctorat, prima lucrare de acest gen care apare la noi în țară, sintetizează cunoștințele actuale și rezultatele cercetătorilor efectuate la ISIM Timișoara în domeniul sudării prin frecare.

La elaborarea lucrării autorul s-a bucurat de grija și îndrumarea permanentă din partea conducerii său științific profesorul Traian Sălăgean, membru corespondent al Academiei RSR. Autorul dorește să-și exprime stima și recunoștința sa față de conduceru său științific căruia îi dătorează formarea sa ca cercetător în domeniul sudurii.

Autorul își exprimă gratitudinea sa față de dr.ing. Clare Boară pentru sprijinul continuu pe care i l-a dat în desfășurarea activității profesionale și pentru climatul favorabil creat în laboratorul pe care l-a condus și din care autorul a făcut parte.

Autorul aduce mulțumiri conducerii ISIM pentru condițiiile excelente create formării sale profesionale și desfășurării activității de cercetare științifică.

Autorul dorește să evidențieze activitatea colectivului de sudare prin sudare din cadrul ISIM, apportul pe care-l aduce la promovarea în producție a progresului tehnic, contribuția pe care o are la îmbogățirea patrimoniului tehnic și științific național și la afirmarea pe plan internațional a cercetării științifice românești.

## 1. PROCESUL DE SUDARE PRIN FRECARE

Sudarea prin frecare este un proces de sudare neelectrica prin presiune la care energia calorica necesara realizarii sudurii este obtinuta prin frecarea dintre componentelete de sudat.

Pentru a intelege mecanismul formarrii sudurilor prin frecare trebuie cunoscute mecanismul formarrii sudurilor prin presiune si fenomenele care iau nastere in timpul frecarii si uzarii pieselor aflate in miscare relativ una fata de celalalta.

### 1.1. Formarea sudurilor prin presiune

La sudarea prin presiune apar intre suprafetele conjugate legaturi metalice, respectiv iau nastere forte de interactiune intre atomi (ioni) de natura celor din interiorul fiecarui metal in parte. Din punctul de vedere al fizicii un metal oarecare este caracterizat de totalitatea ionilor cu sarcina pozitiva (dispusi in cazul ideal in colturile retelei cristaline) si un numar mare de electroni liberi (norul electronilor liberi), care se afla in interactiune simultan cu mai multi ioni si respectivului volum de metal. Aceasta interacciune a norului de electroni cu ionii retelei determina integritatea corpului metallic. In anumite conditii pot aparea forte de coeziune si intre suprafetele de contact a doua metale. Prin apropierea lor la distante foarte mici, comensurabile cu parametrii retelei cristaline (de ordinul citorva A) intre cele doua corperi poate avea loc un schimb de electroni liberi care trec prin suprafata de separatie. Valoarea F a fortelelor de interactiune este, conform relatiei lui Schaler, invers proportionala cu distanta  $r$  dintre punctele de interactiune ale suprafetelor

$$F = \frac{a}{r}$$

(1)

Un astfel de punct de vedere permite presupunerea că imbinarea suprafăcător netede, curate și paralele între ele (suprafețe ideale) s-ar putea realiza spontan fără consum de energie din exterior. Suprafețele metalice reale sunt întotdeauna acoperite cu pelicule de oxizi, gaze absorbite și nu sunt netede. Suprafețele corpurilor solide sunt rugoase și acoperite cu preeminențe de mărimea micro sau macroscopică (figura 1). La apropierea unor astfel de suprafețe atingerea inițială se produce doar în puncte izolate, contactul are un caracter discret. Se deosebesc următoarele suprafețe : suprafață nominală  $S_n$  delimitată de marginile suprafeței (a și b pentru figura 1); suprafețele de atingere  $S_a$ , punctate în figura 1.

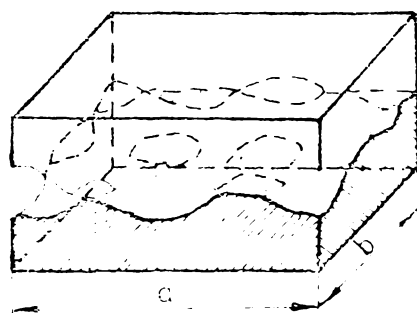


Figura 1. Modelul suprafeței corpului real.

Suprafața reală de contact  $S_r$  este cu mult mai mică decât suprafața nominală  $S_n$  și variază în limitele  $S_r = \frac{1}{10^5} S_n \dots \frac{1}{10^2} S_r$ . Este evident că la aceste dimensiuni ale suprafeței reale de contact, chiar dacă apar forțe de interacțiune între cele două corperi formându-se legături metalice și chiar dacă rezistența locală a acestora este ridicată totuși rezistența unei astfel de imbinări este multă față de rezistența materialelor componentelor.

Pentru a se ajunge la o imbinare rezistentă, este necesară extinderea acestor legături unitare pe toată suprafața nominală sau pe ceea mai mare parte a ei. Expriind aceasta în termeni matematici se poate spune că sudarea reprezintă integrala legăturilor unitare pe suprafața nominală.

Creșterea suprafeței de contact se realizează prin comprinerea capetelor componentelor de sudat cu ajutorul forțelor exterioare. În primul moment intră în contact un număr mic de micropoeminente dar sub acțiunea forțelor exterioare în aceste micropoeminente se dezvoltă tensiuni mari, care depășesc limite de curgere a materialului, ele sunt imprimate și intră în contact alte micropoeminente de înălțime mai mică și.m.d. În acest fel suprafața reală de contact crește progresiv, atât prin creșterea suprafeței de contact a fiecărei micropoeminente cît și prin creșterea numărului de micropoeminente care intră în contact.

Realizarea unei suduri prin presiune rezistente este deci, posibilă numai în urmă unei deformații plastice comune a microvolumelor structurilor superficiale ale metalelor componentelor de sudat. Pentru realizarea acestei deformații plastice este necesară aplicarea unei forțe exterioare și un consum oarecare de lucru mecanic.

Experimental este dovedit că pentru realizarea unei suduri netezirea suprafețelor în contact este insuficientă pentru îndepărțarea oxizilor și gazelor absorbite care impiedică formarea legăturii metalice. Pentru îndepărțarea acestora trebuie asigurată și curgerea macrovolumelor de metal în planul sudurii, ceea ce necesită un consum suplimentar de lucru mecanic din exterior.

Îmbunătățirea condițiilor de deformare plastică a capetelor componentelor de sudat în scopul imbinării acestora se face prin reducerea artificială a limitei de curgere  $T_c$  a materialelor.

La majoritatea metalelor  $T_c$  scade brusc cu creșterea temperaturii. Această proprietate să li se bazează sudării prin presiune. Deosebirea între diferite procedee constă în modul de introducere a căldurii în capetele componentelor de sudat și de modul de

aplicare a forței exterioare de compresiune. Dependența rezistenței sudurii de mărimea compresiunii exterioare a fost confirmată de cercetările lui Easer /11/ a căror rezultate se prezintă în figura 2. Din figură se vede că la temperatură constantă rezistența îmbinării crește pe măsura creșterii forței de compresiune și la forță constantă rezistența îmbinării crește cu creșterea temperaturii.

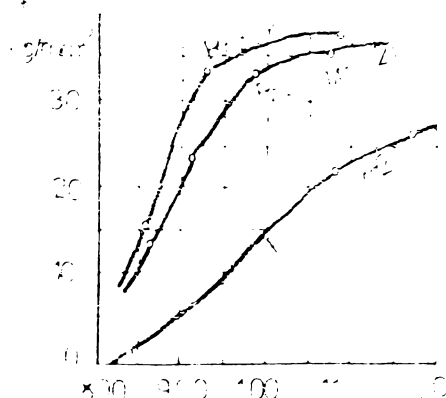


Figura 2. Dependența rezistenței sudurii de temperatură și presiunea la sudare.

O ipoteză esupra formării sudurilor prin presiune a fost formulată de M.N.Sorgovov și alții /11/ care într-o serie de căsuri permite chiar o interpretare matematică. În conformitate cu această ipoteză procesul de formare a sudurilor prin presiune cuprinde două stadii care decurg succesiv în timp.

A. Realizarea și extinderea contactului fizic, cînd în urma nivelării micropreminențelor numărul "punctelor de legătură" crește și suprafață reală tinde spre limită, respectiv suprafață nominală. În această etapă este loc curățării suprafățelor de particule de oxizi și gaze absorbite.

B. Formarea legăturilor chimice, care condiționează rezistența sudurii.

Cinetica acestui proces se prezintă în figura 3.

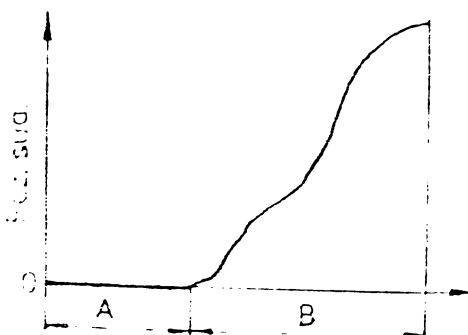


Figura 3. Cinetica procesului de formare a nodurilor în fază solidă.

În ambele etape ale procesului relativ principal îl are deformarea plastică a metalului și viscozitatea lui la cald. Sub acțiunile încărcării exterioare și în condițiile de temperatură existente, datorită deformării materialului la cald, în stadiul A se produce agropierea suprafețelor și creșterea suprafeței reale de contact. Datorită viscozității la cald și a deformărilor strurilor superficiale ale materialului în stadiul B se produce activarea chimică a metalului, ieșirea la suprafață a dislocuțiilor și formarea nodurilor active (punțiile de legătură).

Considerind microirregularitățile suprafețelor în contact de formă sferică, conică sau alte forme geometrice și aplicând legile teoriei viscozității la cald, autori au obținut ecuațiile duratăi celor două etape și sunte :

$$t_A = \frac{1}{B \cdot p^2} \exp\left(\frac{B}{kT}\right); \quad \text{în care,} \quad (2)$$

$p$  - precinse medie pe suprafață netedă (curățirea suprafeței este lăsată în considerare de coeficientul A) ;

B - coeficient ;

T - temperatură, °K ;

k - constantă ;

n - indicele gradului (de obicei  $n = 4 \dots 5$ ) ;

E - energia de activare în condițiile viscozității la cald.

$$t_B = \frac{1}{\sqrt{(p;c)}} \cdot \frac{N}{N_0} \exp \left( \frac{E_a}{kT} \right) \quad (3)$$

✓ (p;c) - frecvența de oscilație proprie a atomilor sau frecvența deplasării dislocației (p - presiunea ; c - mărime ce caracterizează compoziția și proprietățile materialului)

N - numărul legăturilor pe unitatea de suprafață ;

N<sub>0</sub> - numărul ruperilor de legături necesare pentru formarea unei suduri rezistente ; în mod obișnuit  $N = (0,7 \dots 0,9)N_0$  ;

E<sub>a</sub> - energia unei legături, adică energia de formare și deplasare a dislocației, în funcție de natura materialului, de tipul legăturilor între atomi, respectiv mecanismul și condițiile de activare a suprafeței.

Autorii ipotezei arată că împărțirea procesului în două stadii este arbitrară ; în realitate fenomenele chimice apar deja în primul stadiu și formarea contactului fizic pe toată suprafața se poate încheia în stadiul al doilea, însă rolul predominant al fiecăruia din aceste procese (fizic și chimic) corespunde stadiului determinat. Bi arată că împărțirea în cele două stadii este evidențiată în special la sudarea materialelor diferite. La sudarea acelorași materiale stadiul pregătirii fizice a contactului și activarea chimică a suprafețelor de sudat de obicei, coincide în timp și în acest caz împărțirea procesului în două stadii este formală, dar permite o interpretare mai bună a fenomenelor.

În sudarea materialelor cu diferite grade de plasticitate, împărțirea procesului în două stadii corespunde în întregime realității : contactul fizic se formează pe toată suprafața în urma deformării ușoare și repede a materialului mai plastic dar

sudura de rezistență apare numai după un timp deosebit, din cauze deformației și a ritmului incetinit al dislocațiilor la suprafața materialului mai greu deformabil, activarea chimică la început este insuficientă și este necesar un timp suplimentar pentru a o aduce la o viteză optimă.

### 1.2. Noțiuni despre teoria frecării

Frecarea, într-o exprimare simplistică, este definită ca rezistență ce apare în planul de tangență a două coruri care se deplasează relativ unul față de celălalt sub acțiunea unei sarcini de compresiune. Forța de rezistență, îndreptată în sens contrar deplasării, se numește forță de frecare. Raportul dintre forță de frecare și sarcina corpului comprimat (normală în raport cu suprafața de contact) îl constituie coeficientul de frecare.

Frecarea se poate clasifica în funcție de :

- cînetica pieselor în contact și anume : frecare de alunecare, frecare de pivotare, frecare de restogolire ;

- starea suprafețelor în contact și condițiile de ungere : frecare pură (suprafețele sunt curățate de pelicula de oxiză și gaze absorbite și se ajunge de regulă la gripare), frecare uscată (apare în absență grăsării suprafețelor în contact), frecare limită (suprafețele sunt despărțite printr-o peliculă de ungere de grosime neglijabilă), frecare semifluidă sau mixtă (apare frecarea limită concomitent cu o eon hidrodinamică) și lubrificația hidrodinamică.

Frecarea dintre două suprafețe în contact duce la uzură acestora. În funcție de condițiile de lucru uzura poate avea diferite forme : abrazivă, de deformare plastică, de distrugere fragilă, moleculero-mecanică, de eroziune, de oxidare.

La sudarea prin fricare apare preponderent uzură moleculero-mecanică. Aceasta este caracterizată prin faptul că între particulele de metal aparținând celor două coruri diferite, a căror suprafețe de contact se deplasează una în raport cu cealaltă,

pot apărea legături metalice trecătoare care sunt distruse datorită deplasării în continuare. Astfel, particule de metal din corpul uneia din componente sunt sculpe și introduse în corpul celeilalte. Dimensiunile particulei ieșite și a locului rămas (adincitura) sunt diferite și depind de regimul de frecare.

### 1.2.1. Forța de frecare și natura ei.

#### Instabilitatea coeficientului de frecare.

Între două suprafețe reale în contact, forța de frecare reprezintă forța rezultantă care apare la interacțiunile mai multor perechi de proeminențe. Pînă nu de mult au existat două ipoteze cu privire la natura fenomenului de frecare /11/.

- Ipoteza mecanică - care explică fenomenul frecării prin interacțiunile pur mecanice a proeminențelor reciproce (figura 4) care aparțin suprafețelor I și II. Aceste proeminențe sub acțiunea forțelor exterioare în timpul deplasării relative sunt supuse la îmbovine și forfecare. În ambele cazuri reacția fiecărei microprominențe se consideră ca o forță elementară de frecare.

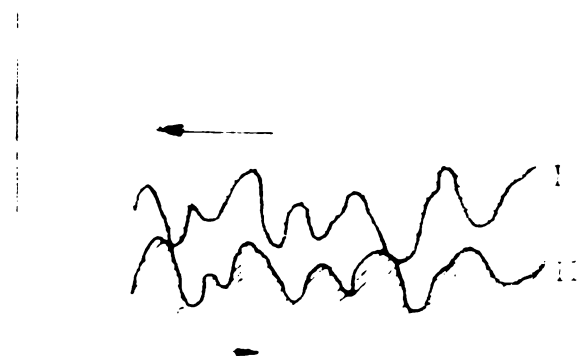


Figura 4. Modelul suprafețelor în frecare.

- Ipoteza moleculară - explică frecarea ca rezultat al interacțiunii moleculare a două coruri care sunt apropiate la distanțe foarte mici provocând apariția forțelor moleculare. Aceste condiții sunt create doar în puncte izolate și pentru deplasarea tangențială a pieselor în contact trebuie învinse aceste forțe cu o forță care este egală cu forța de frecare ca mărime și inversă ca sens.

Bazat pe cele două ipoteze, care luate separat, sunt insuficiente, I.V.Kragelski /1/ a formulat teoria frecării moleculare-mecanică generalizată. Conform acestei teorii cauza apariției forțelor de frecare este dublă respectiv interacțiunea moleculară și interacțiunea mecanică a suprafetelor în contact. În funcție de condițiile în care are loc procesul de frecare, poate predomină fie una, fie celalaltă cauză. Pe baza acestei teorii se scrie ecuația :

$$F = S_r \cdot \alpha + \beta \cdot P \quad (4)$$

în care :

$F$  - forță de frecare ;

$S_r$  - suprafață reală de contact și

$\alpha, \beta$  - sunt coeficienți constanți, care caracterizează materialele supuse frecării ;

$P$  - presiunea normală.

În conformitate cu relația (4) expresia coeficientului de frecare este :

$$\mu = \frac{F}{P} = \alpha \frac{S_r}{P} + \beta \quad (5)$$

Din această relație se vede că, în cazul general, coeficientul de frecare depinde de valoarea presiunii normale pentru o pereche de materiale date. În unele cazuri particulare acest coeficient poate să nu depindă de valoarea presiunii,

de exemplu :

a) în domeniul plastic, cind raportul  $\frac{P}{S_p} = \frac{\sigma}{\sigma_c} =$   
= constant. În acest caz coeficientul de frecare  $f = \frac{\alpha}{\sigma_c} + \beta =$   
= constant; (6)

b) la valori mari ale presiunii specifice cind primul  
membru al ecuației (5) devine foarte mic și practic se poate  
neglija :

$$f = \alpha \frac{S_p}{P} + \beta \approx \beta = \text{constant} \quad (7)$$

În frecarea a două piese de oțel, în funcție de condi-  
țiile în care decurge procesul, coeficientul de frecare are valori  
intre 0,1 ... 1 și chiar peste 1. Asupra coeficientului de frecare  
influențează următorii factori :

- natura materialului și prezența peliculelor pe supra-  
fețe de frecare (oxizi, gaze etc.) ;
- durata contactului ;
- rigiditatea și elasticitatea dispozitivului de frecare ;
- viteza relativă a suprafețelor de frecare ;
- regimul de temperatură ;
- valoarea presiunii normale ;
- caracterul stingerii corpurilor, dimensiunea suprafe-  
țelor, gradul de acoperire reciproc ;
- calitatea suprafeței și rugositatea.

În prezent, nu există date suficiente care să reflecte  
influența comună a tuturor factorilor asupra coeficientului de  
frecare. Rezultatele diverselor experimentări sunt contradictorii  
ele fiind influențate de condițiile de experimentare.

Coefficientul de frecare se mai poate exprima și cu  
relația /11/ :

$$f = (a + b_v)e^{-cv} + d \quad (8)$$

Din relație (8) se vede că, coeficientul de frecare poate crește, scădea sau rămâne constant cu schimbarea vitezei relative în funcție de valorile numerice ale coeficienților a, b c, d. Valourile coeficienților depind de natura corpurilor, de valoarea presiunii specifice etc. și necesită determinări pentru fiecare pereche de materiale date și condițiile concrete ale experimentelor. Dezavantajul formulei (8) constă în faptul că coeficientul de frecare este exprimat numai în funcție de viteză relativă fără a exprima dependența acestuia de ceilalți factori (presiunea normală, temperatură etc.).

Coefficientul de frecare este influențat în mare măsură de starea suprafățelor de contact. Astfel, la o prelucrare grosieră coefficientul de frecare are o valoare mai mare în comparație cu o suprafață mai fin prelucrată. Suprafețele foarte fin prelucrate au de asemenea un coefficient de frecare ridicat datorită creșterii forțelor moleculare de interacțiune între suprafete sau și vidului creștă intre ele. Pelicula de gaze absorbite, grăsimile impuritățile suprafățelor de frecare și substanțele lubrifiantă favorizează reducerea coefficientului de frecare și scăderea intensității degajării de căldură în timpul frecării. Peliculele de oxizi deosebit de subțiri și dure scad coefficientul de frecare iar cele groase cu o duritate mai mică duc la creșterea acestuia.

### 1.2.2. Temperatură suprafățelor de frecare și fenomenul "legătură"

In procesul de frecare temperatura suprafățelor în contact nu rămâne constantă. Energia consumată pentru învingerea forțelor de frecare (interacțiunea molecularo-mecanică a suprafățelor) se transformă în căldură în primul rând pe spațiile elementare ale contactului fizic. În aceste puante în timpul frecării apare o creștere brusă a temperaturii proximinelor. Temperatura lor poate să scadă datorită propagării căldurii în profunzimea corpului și în mediul înconjurător, dar temperatura medie a suprafăței de frecare, în etape inițiale a procesului de frecare crește.

Degajarea de căldură nu se produce numai în punctele contactului fizic ci și pe o anumită grosime a stratului superficial deasupra acestuia. Deformarea microporosă a stratului superficial consumă o cantitate de energie care generează căldură. Cimpul termic care se formează în apropierea suprafețelor în frecare, de formă suprafețelor isotermice semisferice, este prezentat în figura 5.

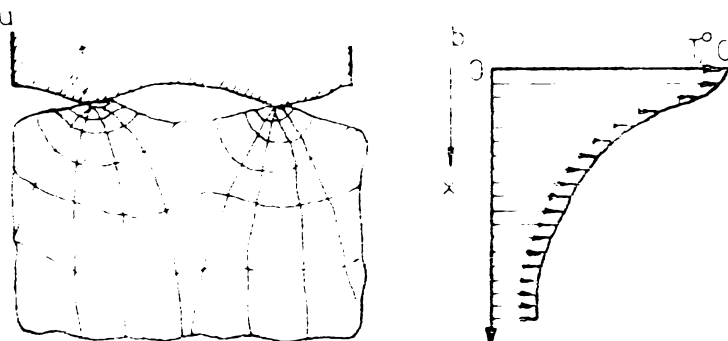


Figura 5. Cimpul termic în stratul superficial al suprafețelor în frecare.

Crescerea temperaturii corporilor, care apare în urma degajării căldurii prin frecare, introduce modificări în procesul de frecare. La încălziri pînă la  $200 \dots 300^{\circ}\text{C}$  substanțele de ușcare se degradează și frecarea devine uscată. Această schimbare a regimului de frecare duce la creșterea coeficientului de frecare respectiv la creșterea în continuare a temperaturii. În corporile cristaline creșterea temperaturii pînă la valori corespunzătoare temperaturii de recristalizare, duce la schimbarea proprietăților fizice ale corporilor respective și la o nouă schimbare a coeficientului de frecare.

Caracterul procesului de frecare a determinat și de gradientul de temperatură perpendicular pe suprafața de frecare.

Se știe că proprietățile mecanice ale metalelor depind de temperatură, deci gradientul proprietăților mecanice depind de gradientul de temperatură. În cazul în care gradientul proprietăților mecanice e pozitiv, respectiv rezistența materialului crește de la suprafață spre interiorul corpului, atunci distrugerea suprafețelor prin frecare are un caracter superficial localizat ; la un gradient negativ al rezistenței are loc distrugerea în profunzime a metalului aproape de suprafață și creșterea grosimii stratului care generează căldura.

### 1.2. Mecanismul sudării prin frecare

Frecarea a două suprafete metalice nelubrificate produce uzura acestora și fragmente metalice sunt transferate de la o suprafață la alta. Extinderea uzurii, mărimea și numărul fragmentelor transferate depind în principal de viteza de frecare, forță axială, temperatură metalelor în zona de frecare și atmosfera în care are loc frecarea. Comportarea la frecare a suprafețelor este dependentă de aceste variabile și modificarea lor duce la schimbarea tipului de uzură, de la o uzură fină (șlefuire a suprafețelor) pînă la o uzură severă (rizuri adânci în suprafețele în frecare).

Lucările de cercetare din tribologie despre efectul vitezei de frecare, forței axiale asupra uzurii și transferului fragmentelor de metal dintr-o suprafață în alta au fost efectuate în condițiile în care suprafețele de frecare nu au fost în contact permanent și forța de apăsare a fost mică.

În procesul de sudare prin frecare avem de-a face cu o frecare continuă între suprafață și forță de apăsare axială este mare. În acest caz nu loc o mulțime de fenomene, cum ar fi : fenomene de uzură a suprafețelor ; întrepătrunderea (particulelor) fragmentelor de metal ai uneia din componentele de sudat în corpul celeilalte ; formarea și distrugerea unor legături metalice între suprafețele conjugate ; încălziri rapide și răciri brusă ale microvolumelor în condițiile presiunilor mari ; deformări plastice ale suprafețelor în contact ; oxidares, recristalizarea și difuzia reciprocă a materialelor care se sudează etc.

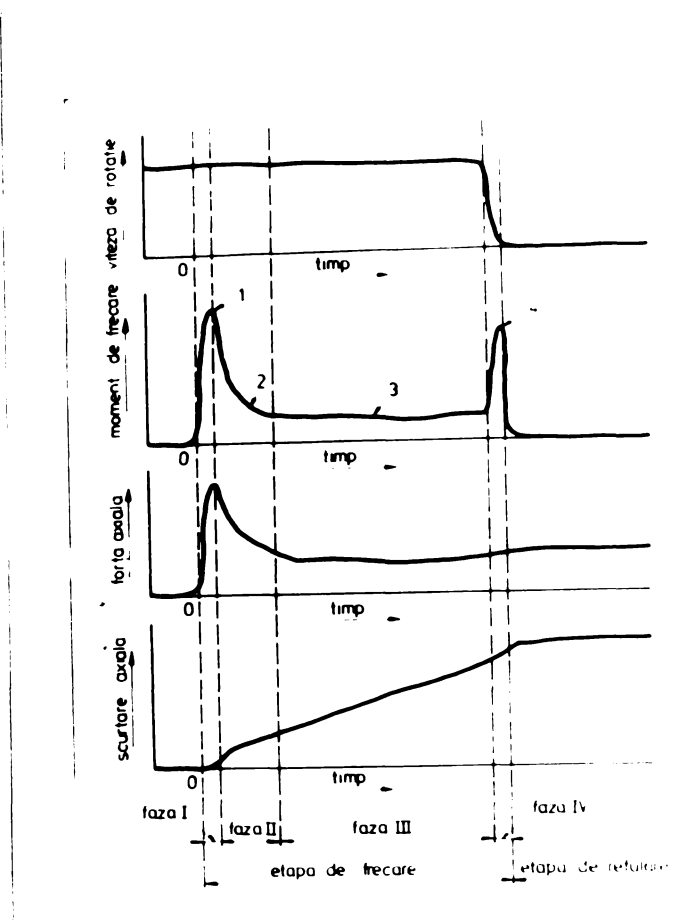
446 769  
14/11/64

La explicarea mecanismului de formare a unei suduri prin frecare, inițial, s-a considerat că rolul procesului de frecare (în afara distrugerii peliculelor superficiale de oxizi) se limitează la încălzirea componentelor de sudat și că rolul predominant îl are refularea componentelor după ce încălzirea prin frecare s-a terminat. Această explicație a fost favorizată și de unele rezultate experimentale. Astfel, s-au sudat prin frecare țevi din oțel în trei variante : refularea componentelor de sudat s-a inceput încă din timpul procesului de frecare; refularea s-a inceput în timpul frânării componentei rotitoare ; refularea s-a efectuat după oprirea componentei rotitoare. Piezile sudate au fost supuse la încercări mecanice și cele mai bune rezultate s-au obținut cu piezile sudate la care refularea s-a efectuat după oprirea procesului de frecare. În urma acestor rezultate s-a tras concluzia greșită că procesul de frecare are un rol pur energetic iar parametrii lui (viteză relativă, presiune, timp) nu influențează direct asupra calității sudurilor iar alegerea lor se face în aşa fel ca să se asigure în componente de sudat un cimp termic corespunzător.

Investigațiile ulterioare au dus la reconsiderarea acestui punct de vedere ajungindu-se la concluzia că calitatea sudurilor prin frecare este influențată de condițiile în care are loc frecarea (prin condițiile înțelegindu-se în primul rând parametrii regimului de frecare).

Dacă în decursul unui ciclu de sudare prin frecare se înregistrează variația momentului de frecare (resistent, de torsie), forței axiale, vitezei de rotație, acurtării axiale a celor două componente, în funcție de timp, se obține diagrama din figura 6.

Ciclul de sudare prezentat în figura 6 se poate împărti în trei etape : etapa de frecare, etapa de frânare și etapa de refulare /15/.



**Figura 6.** Variatia in timp a vitezei de rotatie, momentului de torsiune, fortele axiale si a scurtarii axiale in decursul unui ciclu de sudare prin frecare.

Etapa de frecare poate fi la rindul ei impartita in trei faze :

1. Faza initială, care are loc din momentul in care incepe crescere distre componente de sudat si dureaza pînă cînd momentul rezistent atinge valoarea maximă  $M_1$ . In această fază nu apare scurtarea axială.

2. Faza de transiție, care incepe de la atingerea valorii maxime a momentului  $M_1$  si durează pînă la stabilizarea momentului. In această fază incepe scurtarea axială.

3. Faza de echilibru, in care momentul rămîne la o valoare constantă. In această fază are loc scurtarea axială a celor două componente cu o viteză constantă.

Etapa de frinare, este etape în care se întrerupe întrenarea în mișcare de rotație, se frineză componenta rotitoare și viteza de rotație scade la zero la sfîrșitul etapei. În timpul acestei etape momentul crește pînă la o valoare maximă finală  $M_f$  și scade la zero. Scurtarea axială se produce cu viteza cea mai mare în această etapă.

Etapa de refuzare, are loc după ce s-a oprit componenta în rotație. În această etapă forța de apăsare axială de obicei crește, dar în unele cazuri poate rămâne la valoarea forței din timpul etapei de frecare. Creșterea forței axiale poate începe încă de la sfîrșitul etapei de frecare, în timpul frinării sau imediat după ce s-a oprit componenta în rotație. Scurtarea axială crește cu o anumită cantitate după care rămîne constantă.

1.3.1. Pentru a studia mecanismul frecărîi în condițiile sudării prin frecare /15/ s-au făcut experimentări de sudare cu epruvete sub formă de țevi și bare din oțel nealiat cu conținut scăsus în carbon Bn-3B (similar cu OL37). Lotul de epruvete a cuprins țevi cu diametrul exterior de 19 mm și cel interior de 12,7 mm și bare cu diametrul de 19 mm. Tevile s-au utilizat pentru a elmina influența variației vitezei de frecare cu raza componentei de sudat asupra procesului de frecare.

În cadrul programului de experimentări viteza de rotație pe rază medie a țevilor a variat între 0,42 și 3,36 m/sec și forță axială de frecare între 2,4 și 19 kN. Pentru fiecare combinație în parte s-a înregistrat variația vitezei relative, momentului rezistent, forței axiale și acurtării axiale în timpul ciclului de sudare. Rezultatele obținute au permis formularea următoarelor concluzii :

1. Valoarea maximă a momentului  $M_f$  crește cu creșterea forței axiale și scade cu creșterea vitezei relative de la o anumită valoare, figura 7 ( 0,9 m/secundă ).

2. Momentul de echilibru  $M_f$  crește cu mărirea forței axiale indiferent de viteza relativă. Pentru majoritatea valorilor forței axiale momentul de echilibru are o valoare maximă la o viteză relativă de aproximativ 0,6 m/sec. La viteză mai mică sau mai mare valoarea lui  $M_f$  scade.

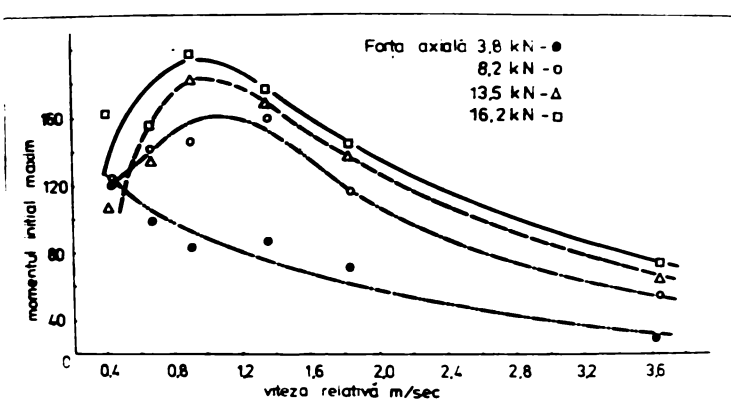


Figura 7. Variatia lui  $M_1$  cu viteza relativă și forța axială la sudarea țevilor.

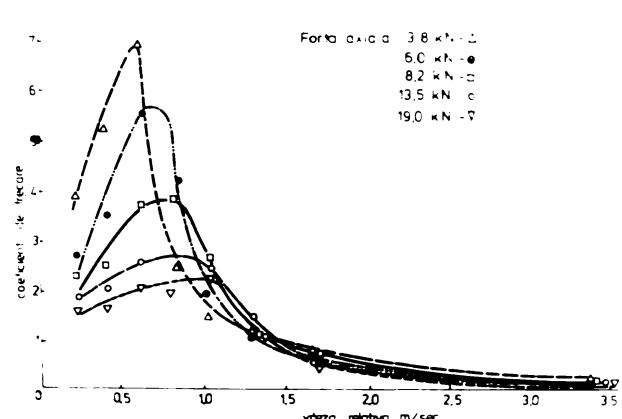


Figura 8. Variatia coeficientului de fricare cu viteza relativă pentru diferite valori ale forței axiale la sudarea țevilor.

3. Coeficientul de fricare, în timpul fazelor de echilibru, variază cu variația vitezei relative și variația forței axiale în conformitate cu figura 8. Astfel, la viteze relative scăzute (pînă la 1,0 m/sec) coeficientul de fricare crește cu mărimea forței axiale. În intervalul 0,6...2,5 m/sec valoarea coeficientului de fricare scade cu creșterea vitezei relative iar de la 2,5 m/sec în sus tind spre o valoare constantă, scăzută, indiferent de mărimea vitezei relative sau a forței axiale.

4. Scurtarea axială, în timpul fazelor de echilibru are loc cu o viteză constantă. Variația vitezei cu care se scurtează axial componentele de sudat în faza de echilibru în funcție de viteza relativă și forța axială se prezintă în figura 9.

S-a observat că la viteză relativă mică (aproximativ 0,4 ... 0,8 m/sec) materialul încălzit prin fricare din imediata vecinătate a suprafețelor în fricare, se comportă ca un lichid viscos care, sub acțiunea forței axiale, este impins ușor, radial spre exteriorul componentelor de sudat. Cantitatea de material, din cale două componente, care este antrenată în mișcarea de curgere radială spre exterior este mare ; materialele celor două componente se interpătrund și în exterior rezultă o bavură de formă ne regulată și asimetrică.

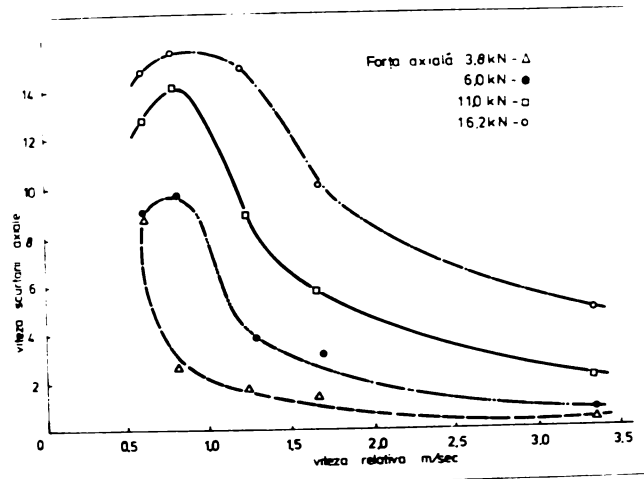


Figura 9. Variația scurării axiale în timpul fazei de echilibru cu viteză relativă și forță axială la sudarea țevilor

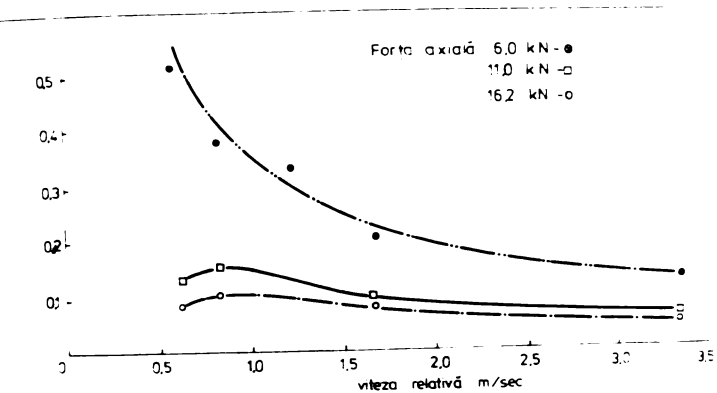


Figura 10. Variația lățimii zonei plastificate cu viteză relativă și forță axială la sudarea țevilor

La viteze relative mai mari (aproximativ 1,5 ... 3,4 m/sec), materialul din imediata vecinătate a suprafețelor în frecare se comportă în același mod ca un metal cald forjat cu o anumită forță axială. Cantitatea de material entranță în curgerea spre exterior este mai mică decât în primul caz ; curgerea celor două materiale se face tangențial, separat, formându-se în exterior o bevuri sub formă de coliere simetrice orientate invers sensului de acționare al forței axiale.

Trecerea de la o curgere viscoasă și formarea unei bavuri simetrice la o curgere de forjare și formarea unei beuri simetrice corespunde cu utilizarea, în primul caz, a unei forțe de frecare ridicate asociată cu o viteză relativă scăzută și, în al doilea caz, a unei forțe de frecare scăzute asociate cu o viteză relativă ridicată.

Mecanismul de formare a sudurilor prin frecare, în cazul țevilor, se poate explica astfel /15/ :

- Faza I-a, componenta în rotație intră în contact cu componenta fixă și se produce alumacoarea suprafețelor nelubrificate

Sub acțiunile forței axiale se formează nuclee locale de prindere. Aceste nuclee se distrug rapid deoarece mișcarea relativă a celor două suprafete nu se întrerupe. În funcție de tensiunile care iau naștere și de gradientul proprietăților mecanice ale materialului din apropierea suprafetei de frecare, distrugerea nucleelor formate se poate face fie prin ferfecarea lor, fie prin smulgeri din materialul de bază din imediata vecinătate a lor. În acest mod fragmente de metal sunt transferate de pe o suprafață pe alta. Suprafetele de frecare devin rugoase, iar preeminențele de pe o suprafață interacționează cu preeminențele celeilalte suprafete, reciproc fiind supuse la încovoiere și forfecare. Acest ansamblu de fenomene conduce la creșterea forței de frecare și a momentului rezistent de frecare ceea ce ridică temperatură materialului în zona de frecare.

Mărimea fragmentelor de metal care sunt transferate de pe o suprafață de frecare pe alta, depinde de temperatura din zona de frecare, viteză relativă și mărimea forței axiale.

Creșterea temperaturii materialului din zona de frecare face materialul mai plastic și crește suprafața nucleelor de prindere respectiv crește mărimea și grosimea fragmentelor individuale.

Creșterea vitezei relative determină scăderea mărimi și grosimi fragmentelor transferate și scăderea frecvenței acestor transferări.

Creșterea mărimi forței axiale determină o creștere a suprafeței fragmentelor transferate în timp ce grosimea fragmentelor și frecvența de transfer rămân constante.

La o anumită temperatură a suprafețelor în frecare, o viteză relativă scăzută asociată cu o forță axială mare, se produc fragmente transferate pe o suprafață mare și o grosime mare ; creșterea vitezei relative asociată cu scăderea forței axiale are ca efect reducerea suprafeței și grosimii fragmentelor transferate.

Portă de frecare, care ia naștere în suprafețele de frecare, depinde de mărimea suprafeței reale de contact și de rezistența nucleelor de prindere. Momentul de frecare în timpul primei

faze crește cu creșterea forței axiale și cu scăderea vitezei relative. Deoarece se continuă temperatură crește și atinge valori la care materialul fragmentelor transferate și al zonelor din imediata vecinătate se plastifiază. Aceasta marchează sfârșitul primei faze.

Faza II-a : este o fază de tranziție, în timpul căreia stratul de fragmente transferate între suprafețele în frecare devine un strat de material plastifiat. Stratul plastifiat opune o rezistență de frecare scăzută, astfel că momentul de frecare scade spre valoarea  $M_2$  (figura 6). Temperatura stratului plastifiat se apropie de  $1300^{\circ}\text{C}$ . La această temperatură stratul plastifiat se comportă ca un lichid viscos și, sub acțiunea forței axiale, materialul din stratul intermediar începe să curgă radial spre exterior.

Faza III-a : este o fază de echilibru în timpul căreia temperatura stratului intermediar și viteză scurării axiale sunt constante. Stratul intermediar de metal plastifiat fiind format din stratul original al fragmentelor transferate, grosimea lui depinde de parametrii cunoscuți (viteză relativă, forță axială). La viteză relative scăzute, grosimea stratului intermediar este mare și se scade cu creșterea vitezei relative. Dependența dintre grosimea zonei plastificate și viteza relativă este prezentată în figura 10. Sub acțiunea forței axiale, materialul moale plastifiat, este expulzat în afară. În fază III-a avem două situații :

1. La viteză relative scăzute, grosimea stratului de material plastifiat este mare și materialul moale sub acțiunea forței axiale este impins cu ușurință în afară. Locul materialului expulzat este luat de straturile următoare, care se plastifiază și procesul decurge în continuare cu viteză constantă. O anumită valoare prestatibilită a scurării axiale se atinge într-un timp scurt iar o anumită cantitate de căldură se pierde prin curgere rapidă a materialului spre bavuri. Aceasta are ca rezultat un gradient de temperatură procurat de o parte a suprafeței intermediare.

2. La viteză relativ ridicate, grosimea stratului plastifiat este mai mică. Stratul plastifiat se consideră că se compor-

tă ca un strat de lichid viscos presat între doi cilindri solizi. În aceste condiții, pentru o aceeași încărcare axială, viteza de curgere radială a materialului plastifiant, variază direct proporțional cu cubul grosimii stratului viscos. Astfel, la o viteză de frecare ridicată, viteza de curgere radială a stratului subțire plastifiant este mică menținându-se un echilibru între grosimea stratului plastifiant și cantitatea de material care curge radial în bavură. Frecarea care se desfășoară în interiorul stratului plastifiant și momentul rezistent su o valoare scăzută. Căldura generată menține temperatură stratului plastifiant la aproximativ  $1300^{\circ}\text{C}$ ; gradientul de temperatură spre materialele de bază are o pantă lină.

Temperatura materialului adiacent stratului plastifiant crește pînă la temperatura de forjare și sub acțiunea forței axiale începe să refuze după o traекторie sub formă de buclă producînd o bavură de formă unui colier simetric. Viteza de scurtare axială în timpul acestei operații de forjare este constantă.

#### Etapa de frinare

S-a văzut că grosimea stratului de metal participant la operația de frecare este dependentă de viteza relativă de frecare. În timpul fazei de frinare viteza relativă descrește ceea ce duce la creșterea grosimii stratului plastifiant foarte cald. Momentul de torsiune crește tîrziu spre un maxim N4, după care scade la zero cînd frecarea se oprește. Creșterea momentului de torsiune este însoțită de o creștere a vitezei scurtării axiale. Crescînd viteza scurtării axiale și grosimea stratului intermedian, materialul incandescent din interiorul acestuia este antrenat spre exterior provocînd o iluminare a zonelor "flashing" specifică etapei de frinare.

1.3.2. Resultatele experimentărilor efectuate la sudarea prin frecare a țevilor s-au utilizat pentru a explica mecanismul sudării prin frecare a barelor pline. La aceste explicații admitem următoarele ipoteze :

- a) Se consideră barele formate dintr-o serie de piese tubulare concentrice, subțiri ;

b) nici una din piesele tubulare nu exercită vreo acțiune asupra celor învecinate ;

c) forța axială este uniform distribuită pe secțiune.

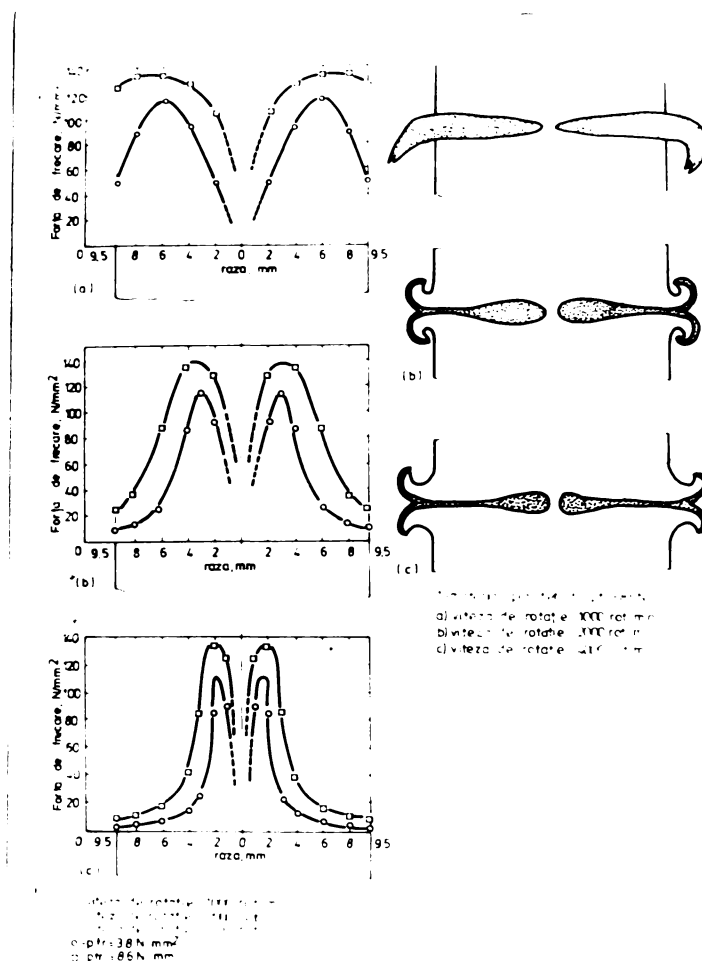
In aceste condiții mecanismul procesului de sudare prin frecare a barelor pline se poate explica astfel :

Faza I-a. componenta rotitoare intră în contact cu cea staționară și începe alunecarea a două suprafețe nelubrificate. Viteza relativă variază liniar cu raza, de la zero în centrul barei pînă la o valoare maximă la periferia barei. Sub acțiunea forței axiale se formează nuclee locale de prindere în punctele reale de contact. Rezultatele obținute la sudarea țevilor su arătat că extinderea și rezistența acestor nuclee depinde de viteza relativă de frecare și de presiunea axială. La frecarea barelor de secțiuni pline, formarea nucleelor de prindere și transferul de metal de la o suprafață la alta nu este uniform distribuită pe toată suprafața de frecare și este concentrată într-o zonă inelară. Poziția și lățimea acestei zone inelare depind de viteza relativă și de presiunea axială. La sudarea prin frecare a două bare de  $\# 19$  mm din oțel nealiat cu conținut scăsut în carbon, folosind viteza de rotație de  $4000$  rot/min și presiune axială de  $36 \text{ N/mm}^2$ , s-a observat că majoritatea nucleelor de prindere și transferările de metal sunt cuprinse în interiorul unei zone inelare cu raza minimă  $1$  mm și raza maximă  $4$  mm. Mărimea fragmentelor transferate din această zonă este mai mare decât cele formate în alte zone. Deoarece fragmentele de metal transferate se încalcă unele peste altele mărimea forței axiale variază și există momente în care suprafețele în frecare tind să se îndepărteze una de alta. Ca urmare acțiunea forței axiale se limitează la zona inelară și presiunea axială nu mai este constantă pe secțiunea barelor ci este maximă în zona inelară și scade spre centrul barei și spre periferia barei. Nucleele de prindere, griptările și smulgerile de material dintre suprafețele de frecare în zona inelară măresc momentul de frecare. De asemenea ele determină creșterea temperaturii în această zonă.

Mărirea temperaturii înzecie suprafețele în frecare și măresc suprafața nucleelor de prindere individuale. Cum frecarea continuă, temperatura crește și atinge valori la care fragmentele metalice și materialul din zone inelară se plastificează. Materialul plastifiat din stratul intermediar se interpătrunde. Din acest moment situația din stratul intermediar se schimbă ; în loc de două suprafețe în frecare vom avea două corpuri solide separate între ele printr-un fluid viscos format din amestecul celor două materiale. Stabilizarea stratului de metal plastifiat între cele două componente de sudat marchează sfârșitul primei faze.

Faza II-a, este o fază de transiție în timpul căreia materialul plastifiat din zone inelară se răspindește pe întreaga suprafață a componentelor. Temperatura materialului plastifiat este aproximativ  $1300^{\circ}\text{C}$  și din acest motiv rezistența la forfecare este mică. Stratul de material plastifiat se răspindește pe întreaga suprafață iar momentul rezistent descrește ca valoare. Sub acțiunea forței axiale fiecare particule de material va descrie în mișcarea sa spre exterior o traекторie elicoidală.

Faza III-a, este fază de echilibru în timpul căreia momentul de frecare și viteza de scurtare axială sunt aproximativ constante. Distribuția forței de frecare pe unitatea de suprafață se prezintă în figura 11. Din aceste diagrame ridicate pentru trei viteză relative de frecare și două presiuni axiale se observă că : forța de frecare nu este uniform distribuită pe suprafețele în frecare având o zonă de maxim care corespunde cu zona inelară a semilgerilor de material și de transfer a acestuia dintr-o componentă în alta. Cea mai mare parte a cercinii axiale este prăbușită de această zonă inelară ; în această regiune fragmente metalice din cele două componente sunt transferate în metalul plastifiat și amestecate între ele. Cea mai mare cantitate de căldură se generează în această zonă. În figura 12 se prezintă schematic forme zonelor plastificate pentru trei viteză de rotație diferite. Metalul cald plastifiat din zonă respectivă curge rapid spre afară și în această mișcare el antronează material din restul suprafeței componentelor în frecare. Formarea bavurii, forma acesteia precum și



**Figura 11.** Distribuția forței de frecare de-a lungul razei în timpul fazei de echilibru la sfârșitul barelor

**Figura 12.** Reprezentarea schematică a variației poziției și grosimii zonei plastificate în timpul fazei de echilibru

procesul de scurtere axială se poate explica în felul următor :

1. La viteză relative mici și forțe axiale mari, zonele inelare de amestec a metalului plastifiat se extind spre marginile componentelor. Deci, după formarea zonei plastificate metalul curge radial în afară producând un colier simetric format în întregime din material plastifiat. Pe măsură ce materialul plastifiat este împins în afară separe scurterea axială. Atât timp cât curgerea elicoidală nu este constrinată decât în mică măsură, viteza curgerii în afară și viteză de scurtere axială sunt mari.

2. La viteze relative medii (figura 12) zona inelară de umplutură a metalelor componentelor este localizată la aproximativ jumătatea rezei componentelor de sudat. Datorită curgerii radiale spre exterior a materialului plastifiat la năgătere o forță de aderență în stratul intermediar al componentelor de sudat provocând curgerea materialului spre înapoi și formarea unei bavuri sub formă de colier simetric.

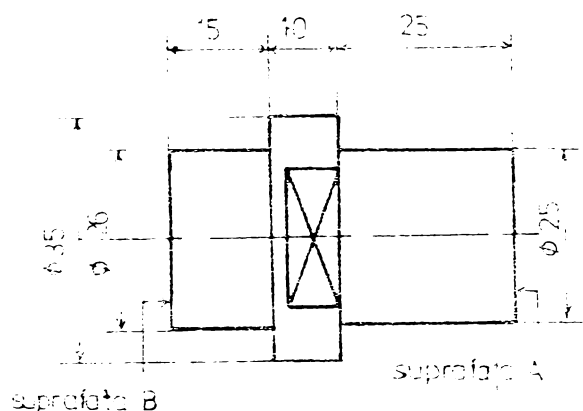
3. Cu cît crește viteză relativă, zona inelară se localizează mai aproape de centrul componentelor. Din acest motiv curgerea radială a materialului plastifiat este tot mai împiedicată. Viteza de curgere radială și viteză de scurtare axială a celor două componente are valori mai mici decât în primele două cazuri.

Etapă de frânerie. În timpul acestei etape viteză de rotație descrește la zero. Materialul plastifiat se deplasează radial spre afară iar momentul de frecare crește la o valoare maximă  $M_4$ . Cind zona de metal puternic încălzită atinge periferia componentelor, apariția metalului incandescent, provoacă o iluminare a zonei sudurii, specifică acestei etape, denumită "flash".

#### 1.4. Studiul momentului de frecare

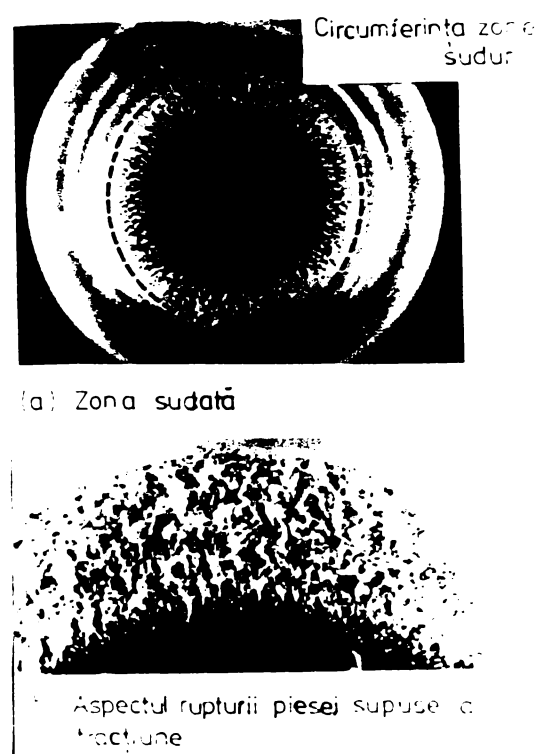
Momentul rezistent de frecare este influențat de viteză relativă de rotație și de presiunea axială pentru o anumită secțiune de sudat. S-a observat că valoarea momentului din faza III-a (de echilibru) crește cu scăderea vitezei relative și invers. Pentru a vedea în ce măsură această dependență este legată de fenomenele care se produc în suprafetele în contact ale componentelor de sudat, aceste componente s-au confectionat din răgini acrilice transparente care au permis vizualizarea suprafetei intermedii de contact în desfășurarea procesului de sudare /16/.

Componentele din răgini acrilice transparente au forme și dimensiunile prezentate în figura 13. Componenta care se prinde în bocurile fixe ale magazinii o-sudat prin suprafața A iar suprafața B a fost fin lustruită pentru a putea fi văzută prin ea suprafața intermediară de contact. Componenta care se prinde în capul roti-



**Figura 13.** Forme și dimensiunile epruvetei din rășini acrilice.

tor al mașinii de sudat s-a sudat tot prin suprafața A iar suprafața B a fost vopsită cu culoarea neagră. Astfel, în timpul ciclului de sudare, dacă se luminează suprafața fin lustruită, se poste urmări și fotografie suprafață intermedieră în diverse faze, pe fondul culorii negre a suprafeței vosite.



**Figura 14.** Aspectul sudurii epruvetei din rășină acrilică cu evidențierea zonei inelare parțial sudată și aspectul epruvetei rupte la tracțiune.

In fotografie din figura 14 se prezintă o sudură executată cu o presiune axială scăzută  $0,34 \text{ kg/mm}^2$  văzută prin suprafata lustruită a piesei. Se vede că sudura este incompletă și formată din două regiuni : o regiune circulară, centrală, de culoare neagră și o regiune inelară pestriță. Regiunea neagră centrală reprezintă zona complet sudată decolorată în urma sudării suprafata intermediară devine transparentă și prin ea se vede suprafata vopsită inițial în negru. Regiunea inelară este o regiune în care alternează porțiuni sudate, cele de culoare neagră și porțiuni nesudate, deschise la culoare, în care se produc reflexii difuze. Se formează astfel, aspectul pestriț al acestei regiuni. Piese sudată în aceste condiții a fost încercată la tractiune. Ruptura are aspectul prezentat în figura 14.b. Regiunea care a fost de culoare neagră prezintă o suprafață de rupere sticloasă datorită ruperii regiunii complet sudate, iar regiunea pestriță prezintă o ruptură cu aspect solzos datorat numeroselor zone nesudate existente înaintea încercării de tractiune.

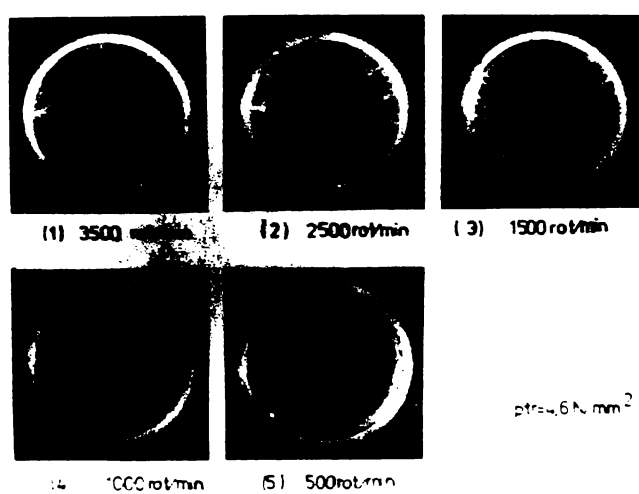


Figura 15. Aspectul zonei inelare parțial sudate în timpul fazei de echilibru a momentului de frecare la diferite viteze relative de rotație.

In fotografiiile din figura 15 se prezintă starea contactului în fază III-a în condițiile în care presiunea axială este menținută constant la  $0,46 \text{ kg/mm}^2$ , iar viteză relativă a avut valurile 3500, 2500, 1500, 1000 și 500 rot/min. În aceste fotografii regiunea centrală de culecare neagră reprezintă regiunea în care s-a format stratul de material plasticat, rezultat din amestecul materialelor celor două componente subiecte forfecării, fenomen prezentat în capitolul anterior. Regiunea inelară păstrată reprezintă regiunea în care se succed rapid zone sudate cu zone nesudate sau de suduri distruse. Comparind cele 5 fotografii din figura 15, se vede că regiunea de culecare neagră, regiunea în care se formează sudura, devine tot mai mică pe măsură ce crește viteză de rotație. Pe de altă parte, se observă că porțiunile de culecare albă din zona inelară, respectiv porțiunile nesudate, acoperă o suprafață considerabilă din aceasta. Aceasta este un indiciu că regiunea inelară are o contribuție mică la dezvoltarea momentului de frecare, contribuția de bază o are regiunea neagră, centrală.

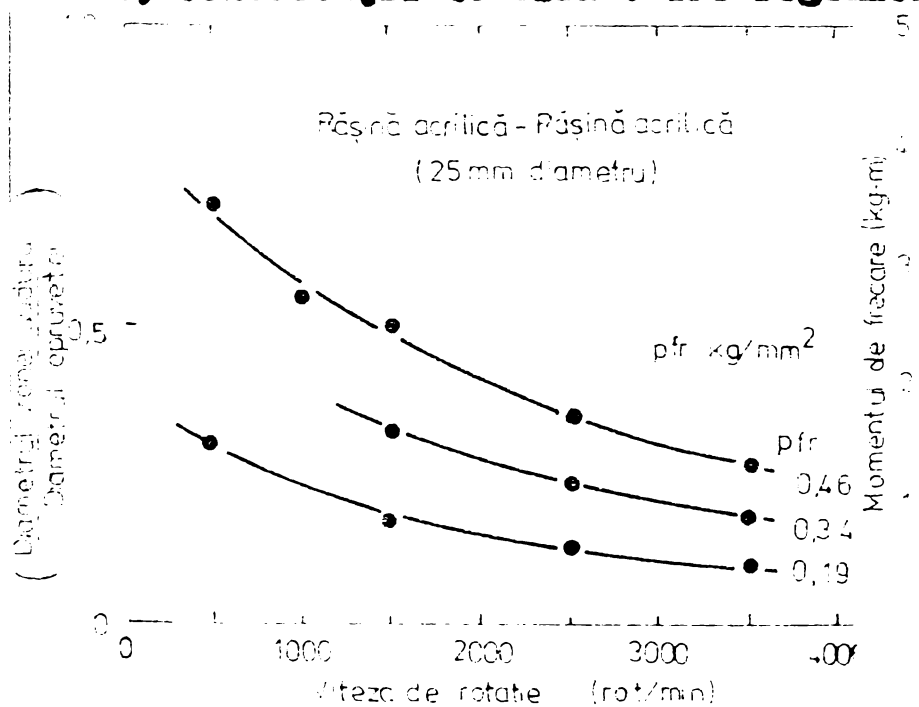


Figura 16. Corelația dintre cubul raportului diametrului zonei sudate cu diametrul epruvei și viteză de rotație

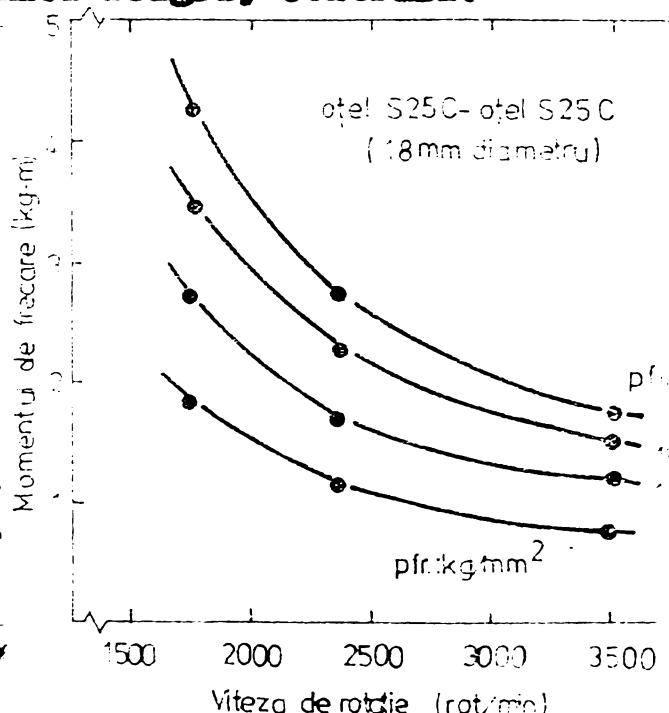


Figura 17. Corelația dintre momentul de frecare, viteză de rotație în timpul celei de-a treia faze a ciclului de sudare

In diagramele din figura 16 se prezintă relația dintre diametrul zonei centrale, diametrul epruvetei și viteza de rotație la diferite valori ale presiunii axiale. In figura 17 se prezintă relația dintre momentul de frecare și viteza de rotație la diferite presiuni de frecare, în cazul sudării barelor din oțel cu  $0,25\% C$  și de 18 mm diametru. Comparind ultimale două figuri se observă că alura curbelor este asemănătoare. Astfel, s-a ajuns la concluzia că mărimea momentului de frecare în fază de echilibru este influențată de mărimea suprafeței centrale respectiv de cea a zonei stratului de material plasticat în care se produc fenomenele de ferfocare.

În sudarea materialelor metalice, momentul de frecare depinde și de temperatură zonei de contact. În fază de echilibru temperatura medie a zonei de contact crește cu creșterea vitezei de rotație iar momentul de frecare scade. Scăderea momentului de frecare se datorează scăderii mărimii regiunii centrale (care scade odată cu creșterea vitezei de rotație, figura 15) și creșterii temperaturii din zona de contact. Deoarece se produce cu viteze de rotație scăzute, momentul de frecare are o valoare mai ridicată datorită creșterii suprafeței regiunii centrale.

Procesul de sudare a fost fotografiat în fază de echilibru, în condițiile în care sudarea componentelor din râșini aciliice transparente s-a făcut cu o viteză de rotație constantă, 3500 rot/min, și cu următoarele presiuni axiale : 0,19 ; 0,34 ; 0,46 ; 0,73 și  $1,03 \text{ kg/mm}^2$ . Din fotografii rezultă că o dată cu creșterea presiunii axiale crește mărimea regiunii centrale (închisă la culoare). Prin urmare se poate trage concluzia că momentul de frecare în fază de echilibru crește cu creșterea presiunii de frecare la sudarea acelorași materiale și la aceeași viteză de rotație.

In fotografiiile din figura 18 se prezintă suprafața de contact în etape de frinare. Frinarea a permis de la 3500 rot/min și fotografierile s-au făcut în timpul frinării la diferite valori ale turăției. Presiunea de frecare s-a menținut constant la  $0,46 \text{ kg/mm}^2$ . Regiunea de culoare închisă, respectiv regiunea în care se produce sudura se extinde pe măsură ce turăția scade.

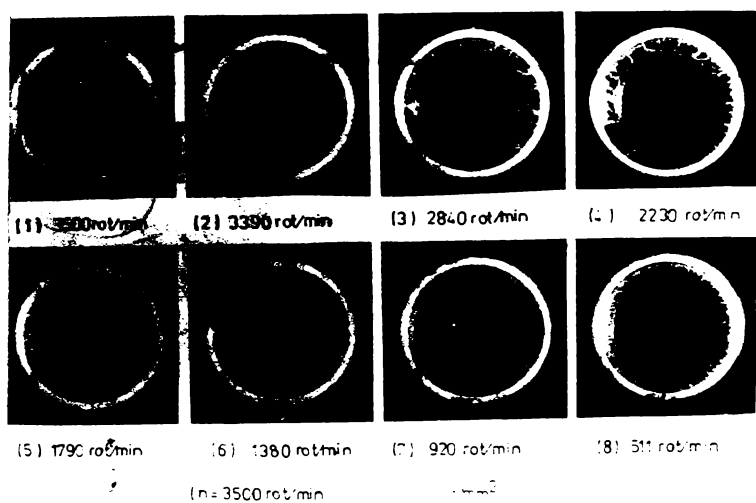


Figura 18. Aspectul zonii inelare parțial sudate în timpul etapei de frinare.

In toate cazurile, momentul de frecare creste spre o valoare maxima odată cu scăderea vitezei de rotație și apoi scade la zero. Combinând creșterea momentului de frecare în timpul frinării de la sudarea barelor din otel cu nichel cu creșterea suprafeței regiunii centrale de la sudarea epruvetelor din rășini scrioice, se poate presupune că creșterea momentului de frecare este determinată de creșterea suprafeței regiunii centrale, regiune în care se produc fenomene de forfecare a stratului plastifiat format din amestecul materialelor celor două componente. Viteza de scurțare axială a materialului de bază crește odată cu creșterea momentului de frecare ; fenomenul se explică prin faptul că creșterea momentului de frecare promovează deformații compresive a stratului de material plastifiat chiar dacă efortul axial este constant. Mărirea deformațiilor subțiază stratul plastifiat supus forfecării ceea ce are ca rezultat creșterea momentului de frecare.

In etapa următoare de refuzare regiunea centrală (de formare a sudurii) se extinde pe totă suprafața pieselor și se obțin astfel, suduri de calitate.

Comparind rezultatele obținute la sudarea componentelor din râșini acrilice transparente cu cele obținute la sudarea componentelor din oțel și nichel se pot formula următoarele concluzii:

1. Suprafața intermedieră a două componente ce se sudează prin frecare se compune din două regiuni: o regiune centrală, circulară, în care se produce sudura și o regiune inelară în care formarea și distrugerea sudurilor formate se succed rapid.

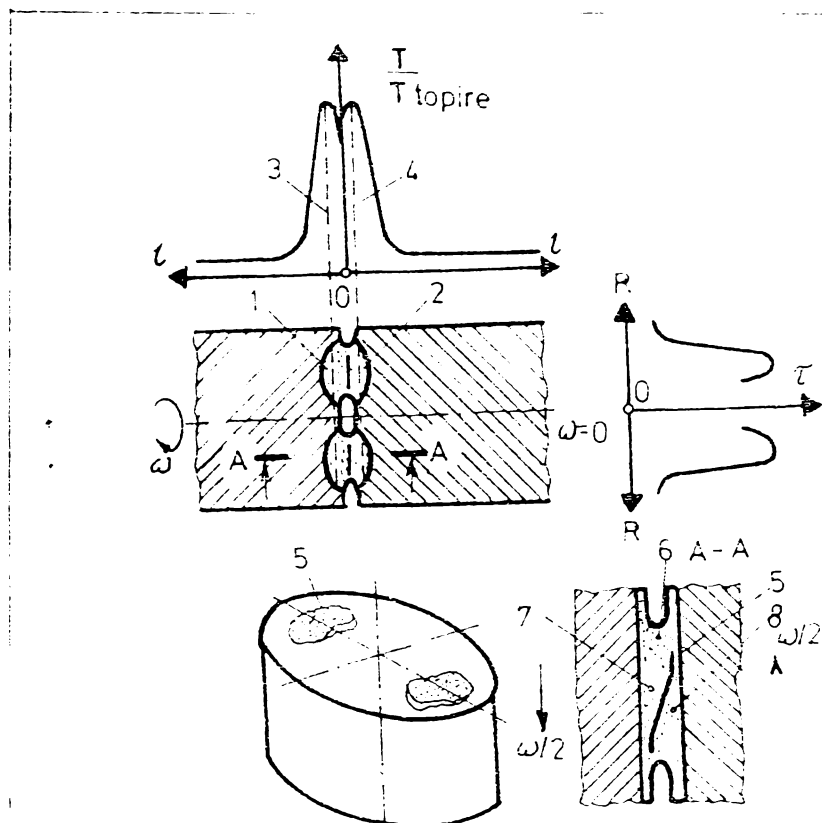
2. Mărimea regiunii centrale depinde de viteza de rotație și de presiunea axială. Cu mărirea vitezei de rotație scade suprafața regiunii centrale și cu mărirea presiunii axiale această suprafață crește.

3. Variația momentului de frecare în feze de echilibru cu viteza de rotație și cu presiunea axială poate fi explicată prin creșterea sau scăderea suprafeței regiunii centrale.

4. În etapa de frânare, momentul de frecare crește datorită creșterii suprafeței regiunii centrale, care suprafață crește cu scăderea vitezei de rotație.

Explicația concei apariției unui maxim al momentului de frecare M<sub>1</sub> (figura 6) în prima fază a procesului de sudare a constituit obiectul unor experimentări recente /17/. Creșterea momentului de frecare datorită creșterii numărului punctelor de legătură /11/, /12/, este confirmată de unele rezultate experimentale.

Intreruperea procesului de sudare la apariția lui M<sub>1</sub> și vizualizarea capetelor componentelor eretă că sudura a avut loc pe suprafață relativ mică (de ordinul 0,1 din suprafața capetelor de sudat) în zone rasei medii a piezelor. De obicei sunt evidențiate două secțiuni suprafețe dispuse la 180°, ca în figura 19. Restul suprafeței prezintă doar urme de elunecare. Prinind instantaneu, în această fază, două componente de 12 mm diametru din oțel nealiat cu conținut scăzut în carbon (similar 0L37) s-a observat că aceste componente au fost puternic deformate prin torsion. Această lucru a fost evidențiat prin trezarea înainte de sudare pe componentă a unor lini îngrijite longitudinale, care după frânare s-au inclinat la 45°, deși suprafața celor două pete îmbinate reprezintă 12 % din suprafața capetelor componentelor.



**Figura 19.** Schema de formare a elementelor hidrodinamice în procesul de încălzire prin frecare : I - temperatură relativă;  $\tilde{\tau}$  - distribuția tensiunilor pe rază epruvelei

In lucrările /15,18/ se arată că temperatura capetelor componentelor atinge valori apropiate de temperatura de topire în zona inelară a diametrului mediu, după aproximativ 0,06 secunde de la pornirea procesului de frecare. Stratul intermediat plastifiat este comparat cu un fluid viscos care se comportă ca un lubrifiant între cele două componente în rotație. Odată cu apariția celor două pete de îmbinare (figura 19) se observă o îndepărțare a capetelor componentelor de sudat, restul suprafețelor nemaiînălțându-se în contact. Explicarea apariției unei surse al momentului de frecare prin creșterea numărului punctelor de legătură între capetele componentelor nu este satisfăcătoare.

La sudare, în faza de încălzire apar oscilații de înaltă frecvență ale momentului de torsion, care la atingerea vîrfului momentului, se dublează (punctul A în figura 20) chiar dacă oscilațiile de înaltă frecvență ale momentului de frecare sunt legate de numărul punctilor de legătură nu este clar de ce se produce mirarea instantanea a frecvenței de două ori.

Cauza apariției vîrfului momentului de frecare la încălzire a fost explicită /17/ prin fenomene hidromecanice care iau naștere în stratul intermediar de material plastifiat.

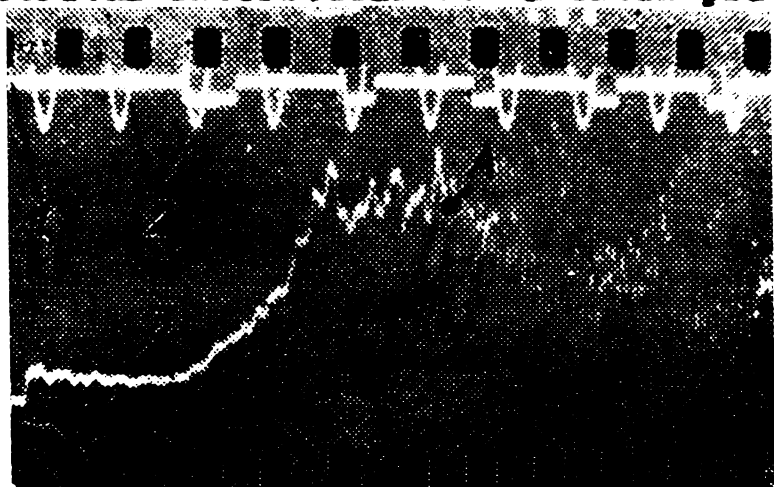


Figura 20. Oscilograma variației momentului de frecare (3), viteza de rotație (1) și timpul (2)

Usura preliminară a capetelor, ca urmare a creșterii temperaturii, este urmată de apariția zonelor inelare de material plastifiat notate cu 1 și 2 în figura 19. Pe măsură creșterii plasticității metalului din apropierea suprafețelor inelare conjugate, aceste începe să curgă, fapt ce duce ca în locul de contact viteza relativă să se reducă de la maximum la zero. În schimb, crește de la zero la maximum gradientul vitezei relative a materialului portiunii inelare ceea ce reprezintă sursa termică principală. Frontul termic, respectiv degajarea de căldură, este maxim în imediata apropiere a planului de separare a celor două componente, liniile 3 și 4 din figura 19, care corespund cu maximul distribuției celor două componente.

În zonale în care apar temperaturile maxime se formează două straturi cu plasticitate ridicată. În figura 19 se prezintă o secțiune transversală A - A printr-un strat de material plasti-

fiat. Se observă că materialul componentelor se deplasează unul spre celălalt cu o viteză unghiulară  $\omega/2$  egală cu jumătatea vitezei unghiulare  $\omega$  a componentelor. Curgerea metalului în stratul plastifiat duce la formarea a două pene 7 și 8 care acționează de-a lungul suprafeței 5. Cele două pene formate crează o capacitate portantă mare în compoñente în raport cu presiunea axială. Creșterea presiunii axiale are ca efect creșterea rezistenței la deplasare (creșterea momentului de frecare) respectiv creșterea puterii termice a procesului. În timp, unghiul de inclinare a suprafeței 5, care asigură formarea penelor, crește ceea ce are ca efect creșterea momentului de frecare (pînă la valoarea maximă). Unghiul crește pînă la o valoare care provoacă ruperea suprafeței 5 și se trece la o alunecare hidrostatică a materialului plastifiat. Astfel, apariția momentului maxim la frecare se poate explica prin capacitatea portantă hidrodinamică a părților de metal plastifiat, care se deplasează cu o viteză unghiulară egală cu jumătatea vitezei componentelor în rotație.

Părțile de material care participă la desfășurarea fenomenului prezentat formează elementele unui "lagăr hidrodinamic" care, în condițiile de compresiune volumetrică a materialului celor două pene, sunt capabile să transmită momente de tensiune mult mai mari decât cele care rezultă din condițiile date de limite de curgere a materialului respectiv. Ca urmare a interacțiunii elementelor hidrodinamice se produce în etape analizată o îndepărțare a componentelor de sufat, contactul dintre cele două componente este asigurat de "lagărul hidrodinamic" și restul suprafeței capătelor temporar pierd contactul.

Elementele hidrodinamice se deplasează cu o viteză egală cu jumătatea vitezei piezelor pînă la ruperea suprafeței 5 la atingerea momentului maxim. Trecerea de la viteză  $\omega/2$  a elementului hidrodinamic la viteză  $\omega$  este cauză dublării frecvenței variației momentului prezentat în figura 20.

Prezentarea hidrodinamică a mecanismului apariției momentului maxim de frecare în etapa inițială poate fi utilizată în scopuri practice. Astfel, dacă este necesar să reducă momentul maxim

de frecare trebuie create condiții care să impiedice apariția elementelor legărului hidrodinamic. De exemplu, prin introducerea în zone de sudare a unui strat subțire de metal (ungere metalică) se reduce de două ori viteză relativă a straturilor ceea ce impiedică apariția elementelor portante.

#### 1.4.1. Momentul de frecare la sudarea oțelurilor

In calculile de proiectare ale mașinilor de sudat prin frecare este importantă estimarea momentului de frecare și a puterii necesare la sudare. Mai multe lucrări /11/, /16/, /19/, s-au ocupat de găsirea unei relații care să permită estimarea mărini momentului de frecare în funcție de natura, forma și dimensiunile componentelor de sudat. Însă în prezent nu s-a găsit o asemenea relație, dată fiind multimea variabilelor care intervin în procesul de sudare și în special a instabilității coeficientului de frecare (vezi subcapitolul 1.2.1). Din acest motiv s-au determinat formule empirice pentru diverse cazuri particulare.

In cazul sudării oțelurilor cu coșinut scăzut și mediu de carbon pentru găsirea unei relații între momentul de frecare, diametrul presei, presiunea de frecare și viteză de rotație s-au măsurat aceste mărini în timpul ciclului de sudare și s-a înregistrat variația momentului, presiunii axiale, scurtării axiale și vitezei de rotație pentru diverse combinații ale parametrilor de sudare /19/.

Din curbele caracteristice ale variației acestor mărini în cazul sudării barelor din oțel S20C ( C = 0,19%, Si = 0,33 % ; Mn = 0,41 % ; P = 0,016 % ; S = 0,012 % ) s-au determinat următoarele relații între  $n$  și  $M$  :

$$n \cdot b^M_{\max} = \frac{n}{1000} \quad (9)$$

$$\bar{M} = c \left( \frac{n}{1000} \right)^d \quad (10)$$

$$M_e = f \left( \frac{n}{1000} \right)^g \quad (11)$$

în care a, b, c, d, f, g sunt constante independente de n.

Dacă aceste constante le estimăm din diagramele presentate pentru oțelul S20C se obțin următoarele expresii empirice :

$$M_{\max} = \frac{\log \left( \frac{D^4}{1.7 \cdot 10^6} \cdot \frac{n}{1000} \right)}{-\log 1 + \left( \frac{12.6 - 0.045 p_{fr}}{D} \right)} \quad [\text{kg m}] \quad (12)$$

$$\bar{M} = 0.145 p_{fr}^{0.538} \cdot D \left( \frac{n}{1000} \right)^{-1.20} \quad [\text{kg m}] \quad (13)$$

$$M_e = 0.10 p_{fr}^{0.505} D \left( \frac{n}{1000} \right)^{-1.25} \quad [\text{kg m}] \quad (14)$$

În același mod, pentru un oțel cu conținut mediu de carbon S45C ( C = 0,46% ; Si = 0,23% ; Mn = 0,65% ; P = 0,015% ; S = 0,016% ) s-a obținut următoarele expresii empirice :

$$M_{\max} = \frac{\log \left( \frac{D^{2.53}}{1.32 \cdot 10^4} \cdot \frac{n}{1000} \right)}{-\log 1.076 + \left( \frac{12.46 - 0.113 p_{fr}}{D} \right)^5} \quad [\text{kg m}] \quad (15)$$

$$\bar{M} = 0.10 p_{fr}^{0.541} \cdot D \left( \frac{n}{1000} \right)^{-1.15} \quad [\text{kg m}] \quad (16)$$

$$M = 0.06 p_{fr}^{0.622} D \left( \frac{n}{1000} \right)^{-1.37} \quad [\text{kg m}] \quad (17)$$

Considerind că forță de frecare acționează pe toată suprafața de contact, pe unitatea de suprafață  $dS = 2\pi r dr$ , situată între razele  $r$  și  $r+dr$ , va acționa unitatea de forță :

$$dF = \mu p_{fr} dS = 2\pi\mu p_{fr} \cdot r \cdot dr \quad (18)$$

Momentul acestei forțe față de axa barei este :

$$dM = r dF = 2\pi\mu p_{fr} r^2 dr \quad (19)$$

Puterea necesară unității de suprafață

$$dN = 1,027 \cdot dM \cdot n \cdot 10^{-6} = 2,054 \cdot \pi \cdot \mu \cdot p_{fr} \cdot n r^2 \cdot dr \cdot 10^{-6} \quad (20)$$

în care :  $N$  - puterea de frecare, kW

$n$  — viteză de rotație, rad/min

$p_{fr}$  — presiunea axială de frecare,  $\text{kg}/\text{mm}^2$

$r$  — raza unității de suprafață, mm

$\mu$  — coeficientul de frecare,

$M$  — momentul de frecare, kg m

S-a arătat că coeficientul de frecare este dependent de viteză de rotație, raza unității de suprafață, presiunea de frecare și temperatură suprafețelor în frecare.

Dacă considerăm că  $n$  și  $p_{fr}$  se mențin constant,  $\mu$  este independent de rază și se notează cu  $\bar{\mu}$  coeficientul efectiv de frecare prin integrarea relațiilor (19 și 20) se obține :

$$N = \frac{2}{3} \cdot \pi \cdot \bar{\mu} \cdot p_{fr} \cdot R^3 [\text{kg m}] ; \quad R = \text{raza piesei} \quad (21)$$

$$N = \frac{2,054}{3} \cdot \pi \cdot \bar{\mu} \cdot p_{fr} \cdot n \cdot R^3 \cdot 10^{-6} [\text{kW}] \quad (22)$$

și puterea specifică :

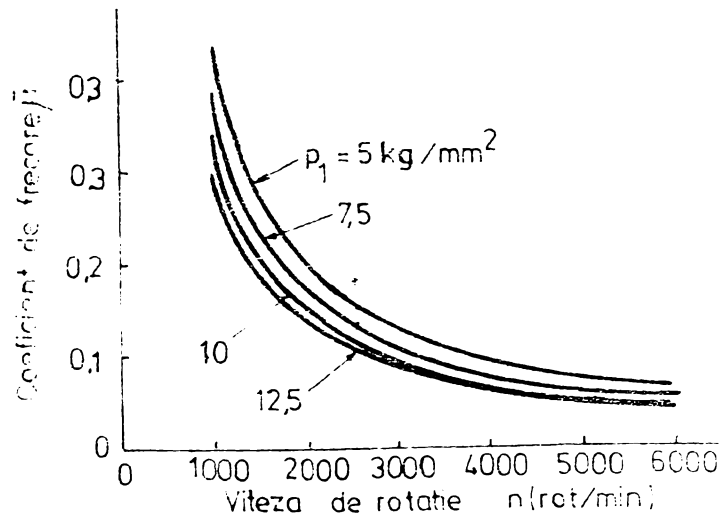
$$N_s = \frac{\pi}{4} \cdot R^2 \cdot \frac{2,054}{3} \bar{\mu} \cdot p_{fr} \cdot n \cdot R \cdot 10^{-3} \left[ \frac{\text{W}}{\text{mm}^2} \right] \quad (23)$$

Dacă relația teoretică (20) a momentului este egalată cu una empirică se obține coeficientul mediu de frecare  $\bar{\mu}$  și se poate估计 puterea specifică. În cazul în care materialul este oțelul cu conținut mediu de carbon S45C și diametrul componentei 20 mm, prin egalearea relațiilor (16) și (21) se obține :

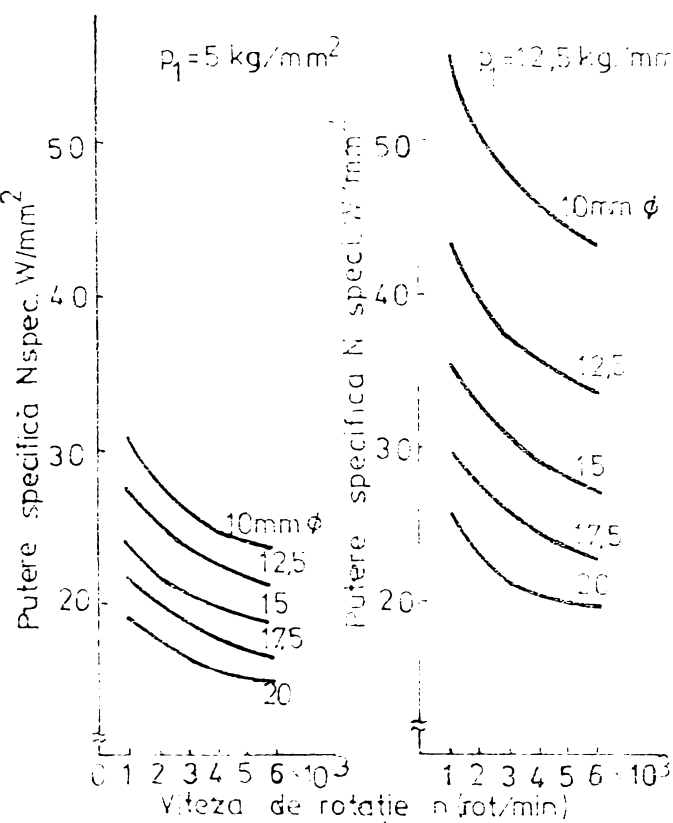
$$\bar{\mu} = 0,955 p_{fr}^{-0,459} \cdot \left( \frac{n}{1000} \right)^{-1,15} \quad (24)$$

Reprezentind grafic dependența coeficientului median de frecare față de viteza de rotație  $n$  și presiunea de frecare  $p_{fr}$ , se obțin diagramele din figura 21, coeficientul median de frecare

$\bar{\mu}$  descrește cu creșterea turăției ; aceasta poate fi explicată prin încălzirea suprafeței de contact datorită creșterii temperaturii la viteză relativă ridicată și înălțierea materialului din zonă. În figura 22 se prezintă dependența puterii specifice  $N_s$  de diametrul piezii  $D$  cu valorile calculate din relațiile (23) și (24).



**Figura 21.** Variatia coeficientului median de fricare cu viteza de rotatie la sudarea oțelului S45C



**Figura 22.** Variatia puterii specifici consumate cu viteza relativă la sudarea oțelului S45C

### 1.5. Cimpul termic la sudarea prin fricare

Determinarea unei relații de calcul a temperaturii care se dezvoltă în componente în timpul procesului de sudare prin fricare se poate efectua dacă se pleacă de la ecuația diferențială a propagării căldurii (figura 23) /20/ :

$$\frac{\partial^2 T}{\partial r^2} + \frac{1}{r} \cdot \frac{\partial T}{\partial r} + \frac{1}{r^2} \frac{\partial^2 T}{\partial \theta^2} + \frac{\partial^2 T}{\partial z^2} - \frac{1}{a} \frac{\partial T}{\partial t} = - \frac{q_x}{k} \quad (25)$$

în care :

- $\dot{q}_x$  - intensitatea sursei termice repartizată în volum ;
- $k$  - conductivitatea termică ;
- $a$  - difusivitatea termică

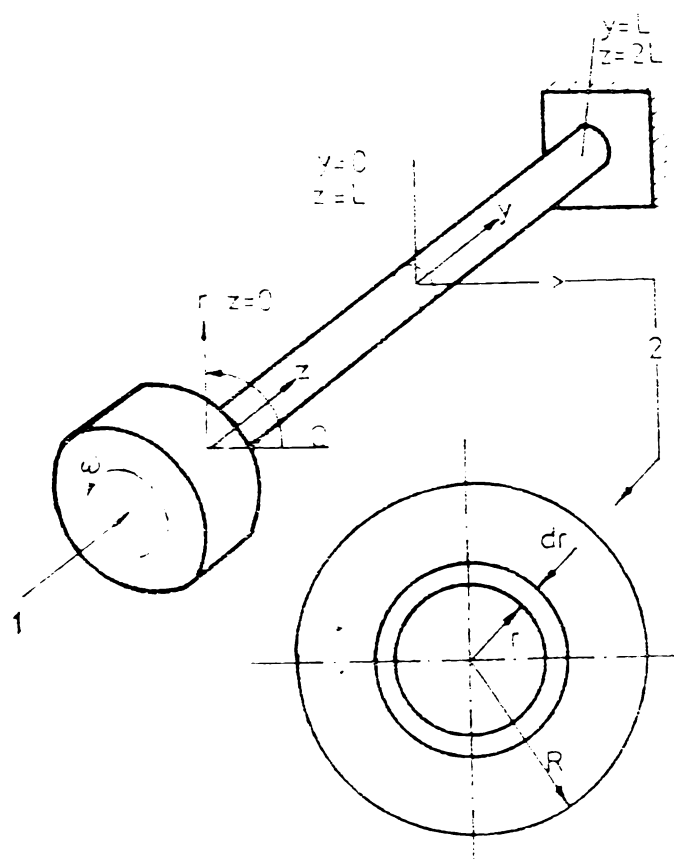


Figura 23. Coordonatele metriilor folosite la studiul transferului de căldură de la sudarea prin frecare: 1 încărcare axială; 2 detaliu de secțiune transversală

Dacă se reduce ecuația (25) la cazul barelor (monodimensional) /11/, /12/, /13/ se obține :

$$\frac{\partial^2 T}{\partial z^2} - \frac{1}{\alpha} \frac{\partial T}{\partial t} = - \frac{\dot{\theta} \beta}{K} \quad (26)$$

în care :

$\dot{\theta}$  - valoarea căldurii generate prin frecare la suprafața intermediară ;

$$\beta = 0, \text{ cind } 2 \neq L ; \quad \beta = 1 \text{ cind } z = L \quad (27)$$

Soluția ecuației este influențată de expresarea lui  $\dot{\theta}$  care depinde de modul de interpretare al mecanismului de generare a căldurii la suprafața intermediară, de condițiile considerate

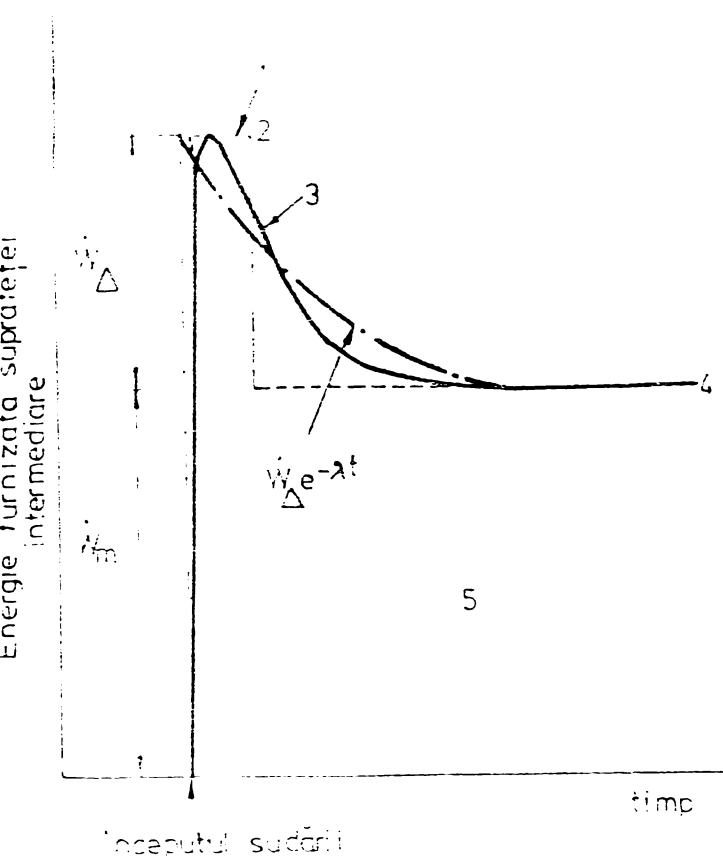


Figura 24. Forme tipice ale caracteristicilor energiei furnizate la sudare prin frecare

că sunt introduse în piesă de dispozitivele de strângere (mândriu, menghisă) și de considerarea existenței sau nu, a unor topiri în suprafața intermediară.

Dacă considerăm un element din suprafața intermediară (figura 23), momentul de fricare  $M$  se poate exprima prin relația:

$$M = \int_0^R dM = \int_0^R \mu \cdot p(r) \cdot 2\pi r^2 dr \quad (28)$$

în care :

$\mu$  - coeficient de fricare;

$p(r)$  - presiunea axială distribuită pe suprafața intermediară;

$R$  - raza componentei de sudat

Dacă momentul de fricare se transformă în întregime în căldură, energia furnizată zonei sudurii în timpul fricării,

pentru o viteză de rotație constantă,  $\omega$ , se exprimă prin relația :

$$\dot{Q} = \int_0^R dQ = \int_0^R dM \cdot \omega = \int_0^R \mu \cdot p(r) \cdot 2\pi r^2 \omega dr \quad (29)$$

Relația (29) reprezintă expresia generalizată a căldurii generate și se poate luce diverse forme în funcție de  $\mu$  și  $p(r)$ .

Considerarea lui  $p(r)$  uniform pe secțiune,  $\mu$  constant sau funcție de  $r$  /24/, /25/ precum și utilizarea unei funcții efective pentru  $p(r)$  și  $\mu$  /26/, /27/, nu au satisfăcut în unele experimentări de sudare.

Într-o mai mare apropiere de realitate, în studiul temperaturii, s-a obținut prin considerarea lui  $Q$  ca un parametru unic pentru fricare set de condiții experimentale de sudare. Figura 24 prezintă forme tipice a caracteristicilor energiei furnizate suprafeței intermediere de sudat.

In soluție sa Rikalin a încercat să reprezinte  $\dot{q}$  ca o energie furnizată constant, egală cu valoarea medie a energiei reale furnizate în timpul fazei de încălzire.

In soluție sa Cheng /22/ a reușit să obțină o caracteristică cu profilul apropiat de cea reală. Referitor la figura 24 se poate scrie :

$$\dot{q} = \overset{\circ}{W}_m + \frac{\overset{\circ}{W}}{\Delta} e^{-\lambda \cdot t} \quad (30)$$

în care  $\overset{\circ}{W}_m$ ,  $\overset{\circ}{W}$  și  $\lambda$  sunt determinați experimental din energie reală furnizată.

In soluție dată de Rikalin, încălzirea aproximativ constantă este un caz special la care  $\lambda$  se apropie de  $\infty$ .

Efectul dispozitivelor asupra temperaturii stinse de componente în timpul încălzirii este tratată diferit:

- Rikalin presupune că acest efect este neglijabil și a reprezentat componentele ca bare infinite la care temperatură atinge  $0^\circ$  la distanță mare față de suprafață intermediară;

- Cheng presupune că dispozitivele de strângere sunt niște corpuși izolați la capătul unor piese de lungime finită.

O problemă controversată în cazul sudării prin frecare o constituie întrebarea dacă în sudură se atinge sau nu temperatură de topire a componentelor. Rezultatele experimentale obținute de Squires /23/, Sternin /29/, Hassui /30/ au arătat că la sudarea prin frecare a două materiale similare nu se atinge temperatură de topire a acesteia. Hassui a găsit că la sudarea otelului carbon cu el însuși temperatura maximă stinse în zone sudării este din  $163^\circ C$  sub temperatura punctului de topire.

In orice caz, pentru determinarea soluției teoretice, temperatură de topire poate fi considerată ca o limită superioră.

Rikalin nu a introdus în modelul său temperatură de topire ca o limită superioară. Din acest motiv în soluție sa,

la tempi de încălzire mai lungi, se obțin temperaturi mai ridicate decit cele determinate experimental.

Modelul întocmit de Cheng ține seama de acestă limită. El consideră că de îndată ce materialul din suprafața intermedieră a atins temperatura de topire este expulzat în外ură. Locul lui este luat de material nou care ajunge la temperatura de topire și se arează astfel un front topit niciutor. Deși temperaturile calculate cu acest model sunt apropiate de cele obținute experimental, deformările plastice estimate sunt mai mari decit cele reale.

### 1.5.1. Relații de calcul ale cimpului termic

În calculul temperaturii, Rikalin a făcut următoarele ipoteze :

- barele au o lungime infinită ;
- căldura este generată uniform și cu viteză constantă pe întreaga suprafață ;
- convecția pe suprafețele laterale ale componentelor este neglijabilă ;
- temperatură în componente se apropie de zero la distanță mare de suprafața intermedieră ;
- temperatura inițială a componentelor a fost zero ;
- valorile medii ale constantelor termofizice  $k$ ,  $a$ ,  $c_p$  s-au ales pentru domeniul temperaturilor investigate.

Cu aceste condiții, aplicând transformările Laplace și Fourier ecuației 26 s-a obținut :

$$T = \frac{\dot{Q}}{\sqrt{k \cdot c_p}} \left\{ \frac{\sqrt{t}}{\sqrt{\pi}} \exp \left[ - \left( -\frac{Y}{2\sqrt{at}} \right)^2 \right] - \frac{Y}{2\sqrt{a}} \operatorname{erfc} \frac{Y}{2\sqrt{at}} \right\} \quad (11)$$

Hollander și Cheng /22/, /23/ au reluat acest calcul pe baza următoarelor ipoteze :

- barele au o lungime finită ;

- căldura este generată uniform pe suprafață și crește (figura 24) ;

- convecția la suprafețele laterale este neglijabilă dar s-a lăsat în considerare efectul radiației ;

- barele sunt izolate în bucuri, adică la  $y = L$  :

$$\frac{\partial T}{\partial y} = 0 ;$$

- temperatura inițială a barelor este cea a mediului ambient ;

- constantele termofizice  $k$ ,  $a$ ,  $c_p$  sunt alese în funcție de temperatură.

Tinând cont de aceste condiții cu ajutorul calculato- rului s-au determinat soluții pentru două cazuri distincte :

- cazul perioadei inițiale de dinainte de atingerea teoretică a temperaturii de topire la suprafață intermedieră - cazul pre-melt ;

- cazul perioadei de după atingerea temperaturii de topire, respectiv de curgere a stratului topit - cazul post-melt

Soluția cu capetele componentelor la temperatură ambiță a fost studiată de Chang în cale două variante pre-melt și post-melt. S-a lăsat în considerare următoarele ipoteze :

- barele au lungimea finită,  $L$  ;

- în zonele bucurilor ( $z = 0$  și  $z = 2L$ ) temperatura este cea a mediului ambient  $T_A$  ;

- convecția laterală se neglijază ;

- căldura este generată uniform în suprafață interme- diară în conformitate cu forma exponențială a ecuației 30 ;

- barele inițial sunt la temperatură ambiță,  $T_A$  ;

- constantele termofizice  $k$ ,  $a$ ,  $c_p$  sunt alese pentru domeniul temperaturilor investigate ;

- soluția pre-melt. Prin înlocuirea expresiei 30 în ecuație 26 a energiei furnizate se obține ecuația diferențială :

$$\frac{\partial^2 T}{\partial z^2} - \frac{1}{a} \frac{\partial T}{\partial t} = - \frac{\beta}{k} \left( W_m + W_A e^{-\lambda t} \right) \quad (32)$$

în care,  $\beta = 1$  dacă  $Z = L$  și  $\beta = 0$  dacă  $Z \neq L$ .

Ecuției (32) i se aplică transformarea Laplace și simbol de formă:

$$\text{Laplace: } \tilde{f}(p) = \int_0^\infty f(t) e^{pt} dt ;$$

$$\text{Simbol: } \tilde{f}(n) = \int_0^{2L} f(Z) \sin \frac{n\pi}{2L} Z dZ \quad (33)$$

la  $t = 0$ ,  $T = T_A$  și din ipoteza capelor la temperatură ambientă  $\bar{T}(2L) = \bar{T}(0) = \frac{T_A}{P}$ ;

După transformări ecuație (32) devine:

$$\frac{\tilde{T}}{T} = \frac{T_A \frac{K \cdot s}{L}}{p(p + \gamma)} + \frac{T_A \frac{4L}{n \pi}}{p + \gamma} + (-1)^{\frac{n-1}{2}} \left\{ \frac{\frac{s}{p} + \frac{s}{p}}{p(p + \gamma)} + \frac{\frac{4}{\pi} \cdot s}{(p + \gamma)(p + \lambda)} \right\} \quad (34)$$

$$\text{unde } n = 1, 3, 5, \dots, \quad \gamma = \frac{\pi^2 k^2}{4L^2} s$$

$$\text{Se folosește identitatea } \frac{\tilde{T}}{4} = \sum_{n=1,3,5,-}^{\infty} \frac{1}{n} \sin \frac{n\pi}{2L} Z \quad (35)$$

$$\text{pentru } 0 < \frac{\pi t}{2L} < \frac{\pi}{2}$$

Prin transformări ale ecuației (34) se obține soluția "pre-melt":

$$T = T_A + \sum_{n=1,3,5}^{\infty} \left\{ (-1)^{\frac{n-1}{2}} \left[ \frac{4L \frac{s}{n}}{\frac{n^2 \pi^2}{4L^2} - k} (1 - e^{-\gamma t}) + \right. \right. \\ \left. \left. + \frac{W_A s}{kL} \left( \frac{e^{-\lambda t} - e^{-\gamma t}}{\gamma - \lambda} \right) \sin \frac{n\pi}{2L} Z \right] \right\} \quad (36)$$

pentru  $0 \leq t \leq t_m$  (timpul de menținere al temperaturii de topire în suprafață intermedieră).

- Soluția post-melt. Pentru tempi mai mari decât  $t_m$  se aplică condiția limitei superioare  $T = T_p$  = temperatură de topire în suprafață intermediară. În ceea ce privește compozitul avem  $0 \leq z \leq L$  și în ceea ce privește caleală  $L \leq z \leq 2L$ . Din condiții de simetrie :

$$T(z < L) = T([2L - z] > L) \quad (37)$$

Spre deosebire de soluția pre-melt în care suprafaței intermedii i se aplică o cantitate de căldură cunoscută, în acest caz condiția limită este temperatura cunoscută  $T_p$ . Ecuația diferențială (26) devine :

$$\frac{\partial^2 T^X}{\partial z^2} - \frac{1}{a} \cdot \frac{\partial T^X}{\partial t} = 0 \quad (38)$$

în care :  $\xi = t - t_m$

$$T^X(z, \xi) = T_p - T(z, \xi)$$

cu condițiile :

$$\begin{aligned} T^X &= T_p - T_A & \text{la } z = 0, \quad \xi \geq 0 \\ T^X &= 0 & \text{la } z = L, \quad \xi \geq 0 \end{aligned} \quad (39)$$

$$T^X = T_p - T_A - \sum_{n=1,3,5}^{\infty} \sin \frac{n \pi}{2L} z \quad \text{la toți } z, \quad \xi = 0$$

Distribuția temperaturii inițiale la  $\xi = 0$  în varianță post-melt se obține din ecuația (36) pentru  $t = t_m$ . După aplicarea transformărilor Laplace și Sines ecuația (37) (domeniul transformării sinus fiind de la 0 la L), rezultă :

$$\begin{aligned} \frac{\tilde{T}_x}{T_x} &= \frac{(T_T - T_A)}{p(p + \gamma_a)} \quad \left| \begin{array}{c} \frac{a\pi}{L} \\ L \end{array} \right. \quad \left| \begin{array}{c} \frac{2L}{\pi} \frac{T_T - T_A}{a} \\ p + \gamma_a \end{array} \right. \quad \left| \begin{array}{c} a=1,2,3 \\ a=1,2,3 \end{array} \right. \\ &\quad + \frac{\frac{L}{\pi} B_a}{p + \gamma_a} \quad \left| \begin{array}{c} a=1,2,3 \end{array} \right. \end{aligned} \quad (40)$$

unde  $\gamma_a = \frac{a^2 \pi^2}{L^2} a$  :

$$B_a = \sum_{n=1,3,5,\dots}^{\infty} A_n \left\{ \frac{\sin \frac{n+2a}{2} \pi}{n+2a} - \frac{\sin \frac{n-2a}{2} \pi}{n-2a} \right\} \quad (41)$$

Inversarea ecuației (16) conduce la :

$$\begin{aligned} T &= T_T - (T_T - T_A) \left( 1 - \frac{2}{\pi} \right) - \sum_{n=1,2,3}^{\infty} \left\{ (-1)^{n+1} \frac{2}{n\pi} (T_T - T_A) + \right. \\ &\quad \left. - \frac{2\pi^2}{L^2} (t-t_n) \sin \frac{n\pi}{L} z \right\} + \frac{2}{\pi} B_a \quad (42) \end{aligned}$$

Cind  $t \rightarrow \infty$  forma soluției se apropie de forma cunoscută a distribuției transmiterii căldurii pentru o bară cu temperaturi constante și diferite la capete. Ecuațiile (36) și (42) reprezintă soluția completă pentru întreaga fază de încălzire. Pentru ambele cazuri introducerile constante a căldurii se obține adăugind  $\lambda \rightarrow \infty$ .

În concluzie, relațiile de calcul al cimpului termic la sfârșitul prins freare sunt :

$$T = \frac{\dot{Q}}{k \cdot e_p} \left\{ \frac{\sqrt{t}}{\sqrt{\pi}} \exp \left[ -\left( \frac{Y}{2\sqrt{at}} \right)^2 \right] - \frac{Y}{2\sqrt{a}} \operatorname{rfc} \frac{Y}{2\sqrt{at}} \right\} \text{ după Rihalim;}$$

$$T = T_A + \sum_{n=1,3,5}^{\infty} \left\{ (-1)^{\frac{n-1}{2}} \frac{4L^{\frac{1}{n}}}{n^2 \pi^2 k} (1 - e^{-\frac{\gamma t}{n}}) + \right.$$

$$\left. + \frac{\frac{\pi}{kL} \omega_n}{(e^{-\lambda t} - e^{-\gamma t})} \right\} \sin \frac{n\pi}{2L} z \text{ după Hollander și}$$

Cheag pentru varianta pre-melt și

$$T = T_1 - (T_T - T_A) \left( 1 - \frac{2}{L} \right) - \sum_{n=1,2,3}^{\infty} \left\{ (-1)^{n+1} \frac{2}{n^2 \pi^2} (T_T - T_A) + \right.$$

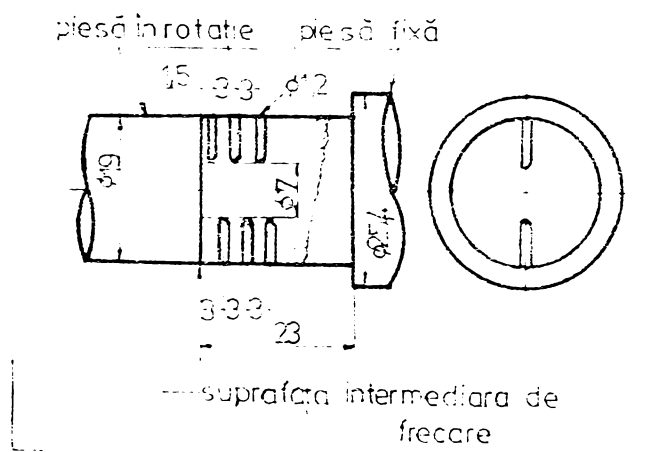
$$\left. + \frac{z}{\pi B_n} - \frac{2^2 \pi^2}{L^2} (t - t_n) \sin \frac{n\pi}{L} z \right\} \text{ după Hollander și}$$

Cheag pentru varianta post-melt.

#### 1.5.4. Rezultatele măsurărilor experimentale ale temperaturii

La sudarea oțelurilor, oțelurilor cu titan, cuprului cu nichel, oțelurilor cu cupru etc., în timpul desfășurării procesului de sudare, nu lec emisioni de lumină datorită temperaturilor ridicate stinse în zone sudurii. Urmărirea și înregistrarea acestora ne dă o imagine asupra desfășurării procesului de sudare. La sudarea fontelor nodulare, cuprului cu aluminiu, oțelului cu aluminiu nu au loc emisii de lumină.

Măsurările de temperatură în sudură și zone influențată termic s-au efectuat cu ajutorul termocuplelor. Metoda este grea și rezultatele diferă de la autor la autor /30/, /31/. Diferențele apar datorită condițiilor diferite de sudare și a metodologiei de implantare a termocuplelor. Datele asupra temperaturii maxime în zone de sudare variază între  $900^{\circ}$  și  $1300^{\circ}\text{C}$  dar toate sunt sub temperatură de topire.



**FIGURA 25.** Epruvete folosite la măsurarea temperaturii.

In figura 25 /30/ se prezintă un tip de epruvete folosite la măsurarea temperaturii. Termocuplale din alumel-chromel cu diametrul de 0,3 mm sunt amplasate la o anumită distanță față de suprafață intermediară de-a lungul axei barelor. Temperatura la suprafață intermediară s-a estimat prin extrapolarea valorilor de temperatură din diferite puncte. In diagramele din figura 26 se prezintă diagramele de distribuție ale temperaturii la sudarea unui oțel cu 0,25% C cu el însuși cu diferite regimuri de sudare. Temperatura în zona de sudare se găsește în domeniul  $1250\ldots 1310^{\circ}\text{C}$ . Din diagramele prezente se poate vedea că la o viteză de rotație constantă gradientul de temperatură este mai abrupt cu creșterea presiunii axiale de freccare.

In figura 27 se prezintă distribuția temperaturii de-a lungul axei pieselor la sudarea unui oțel cu 0,25% C cu aluminiul. Temperatura suprafeței intermediare atinge  $645^{\circ}\text{C}$  la 4,7 secunde după atingerea pieselor și se menține atât timp cînd se oprește rotația uneia din piese.

In figura 28 se prezintă distribuția temperaturii la sudarea unui oțel cu 0,25% C cu aliaj de titan. In acest caz temperatura suprafeței intermediare este de  $1030^{\circ}\text{C}$  la diferite presiuni de freccare, se atinge după 1,0 secunde de la contactul pieselor și se menține la această temperatură pînă cînd se oprește rotația uneia din piese.

Tabel 1

Material	Diametru mm)	Conditii de sudare			Temperatura fazei incalzire °C	Temperaturi minime de lucru °C
		Viteza piese pe rot. rot/min)	Presiunea neferoase kg/mm² sec.	Temperatura fazei fierbere °C		
Otel carbon-Otel carbon (25% C)	25	5080	4,0	11,0	1310	1 + r = 1480
	"	3510	"	"	1300	
	"	2380	"	"	1310	
	"	1770	"	"	1240	
	"	3510	8,0	"	1270	
	"	1770	"	"	1250	
Otel carbon (0,25% C)-Titan	19	3510	7,0	3,0	1080	Temperatura de lucru = 1480 °C
	"	"	100	"	1180	
	"	"	150	"	1150	
	"	2380	"	"	1150	
	"	1770	"	"	1180	
Otel carbon (0,25% C)-Aluminiu	25	3510	1,2	4,	645	Temperatura de lucru = 1480 °C A = 655
	"	"	"	257	645	
	"	"	"	233	645	
Otel carbon (0,25% C)-Cupru	19	3510	2,0	1,2	540	Faza fierbere = 1480 °C
	"	"	"	2,2	540	
Cu - Al	19	1770	2,5	2,5	440	Temperaturi de lucru = 1480 °C
	"	"	4,0	"	440	
	"	"	5,5	"	480	
	"	"	7,0	1,25	510	
	"	3510	2,5	2,5	510	
	"	"	4,0	"	510	
	"	"	5,5	"	510	
	"	"	7,0	"	510	
	"	"	8,5	1,25	510	
	"	"	10,0	"	510	
	19	1770	2,5	2,5	510	
	"	"	4,0	"	510	
	"	"	5,5	"	510	
	"	"	7,0	"	510	
Copper-Nickel	19	3510	2,5	2,5	1004	Faza fierbere = 1480 °C
	"	"	5,0	"	1083	
	"	"	7,5	"	1150	
	"	"	10,0	"	1180	
	"	"	12,5	"	1250	
	"	3510	2,5	2,5	525	
Copper-Mg	19	1770	4,0	3,0	440	Temperatura de lucru = 1480 °C Mg = 450
	"	"	7,0	"	440	
	"	"	10,0	1,25	440	
	"	1770	13,0	"	440	
	"	3510	4,0	3,0	460	
	"	"	7,0	"	460	
Manganos-Copper	"	"	10,0	1,25	460	Temperatura de lucru = 1480 °C Mn = 450
	"	"	13,0	"	460	
	"	"	16,0	"	460	
	"	"	19,0	"	460	

Valorile de frecare corespunzătoare scurtării ciclice de lucru

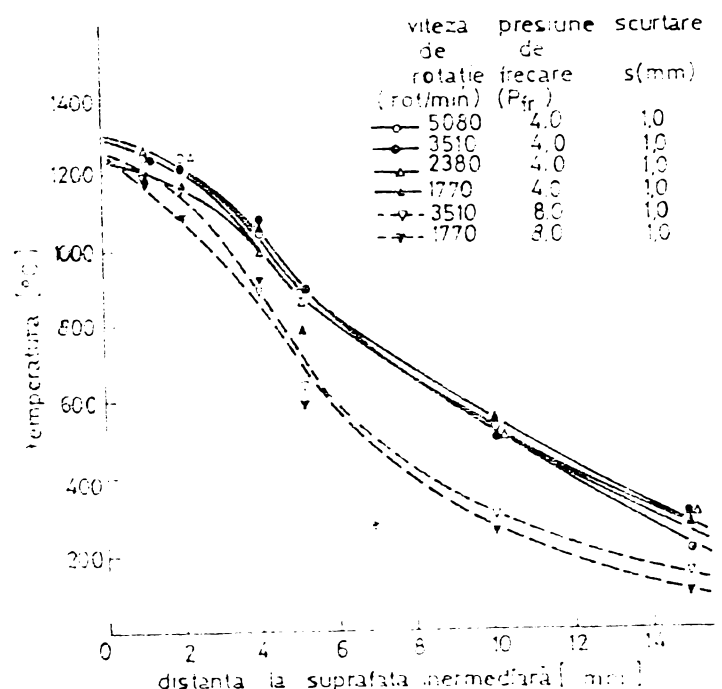


Figura 26. Distribuția temperaturii la sudarea barelor din otel

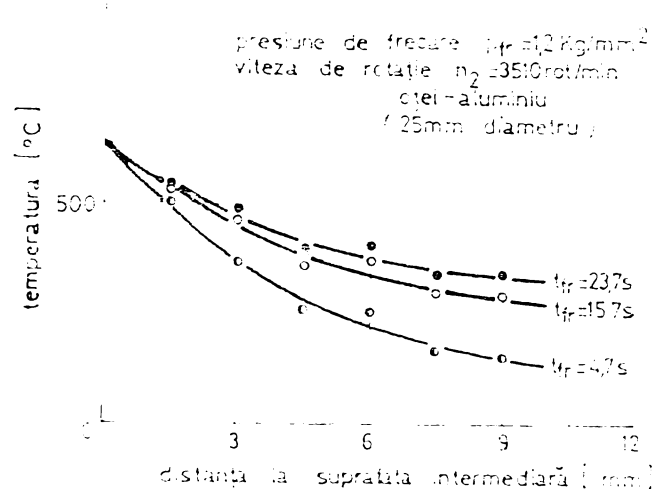
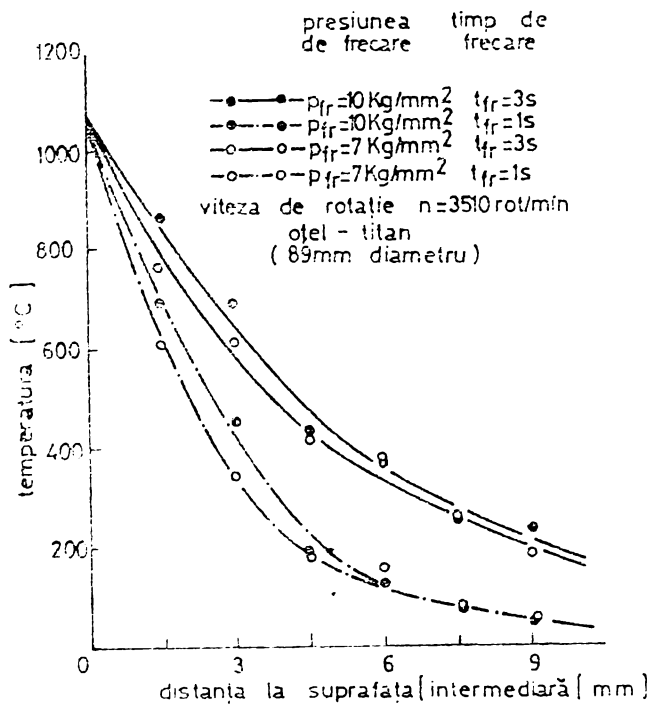


Figura 27. Distribuția temperaturii la sudarea barelor din oțel cu bare din aluminiu

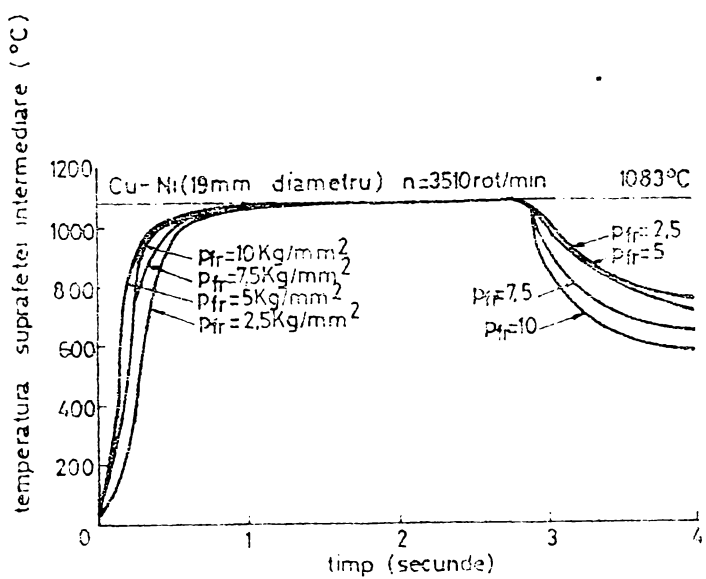
Temperaturile determinate în suprafață intermedie pentru diverse combinații de materiale se prezintă în tabelul 1.

În figurile 29 și 30 se arată variația în timp a temperaturii în suprafață intermedie pentru combinațiile Cu-Bi și Cu-Al. Pentru determinarea diagrameelor din cele două figuri s-a utilizat acestajul prezentat schematic în figura 21. Din figure se observă că în vederea asigurării unui contact perfect s-a folosit un contact de sareur.

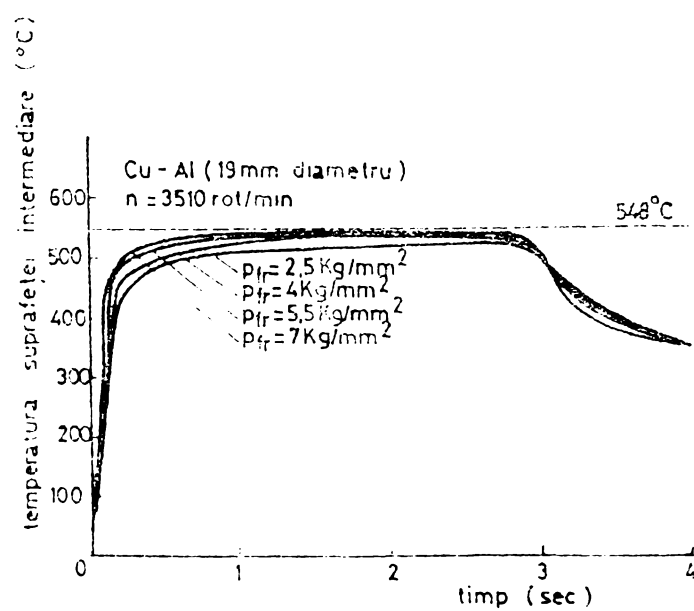
Experimentările efectuate au arătat că temperatura în suprafețele în frecare crește rapid după contactul componentelor și atinge 80 ... 90 % din temperatură maximă într-un timp scurt pînă la 0,2 secunde. Phenomenul corespunde cu atingerea primului maximum al momentului de frecare (vezi capitolul 1.3). Temperatura în suprafață intermedie în cazul sudării materialelor diferite este sub temperatură fazei lichide existente în diagrame de echilibru a metalalor ce se sudează.



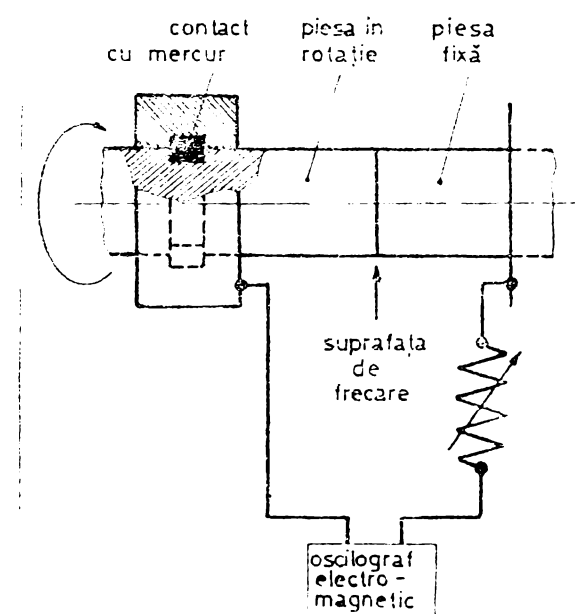
**Figura 28.** Distribuie temperatura la sudarea berelor din otel cu beră din titan



**Figura 29.** Variatia temperaturii suprafeei intermediiare la sudarea cuprului cu nichel

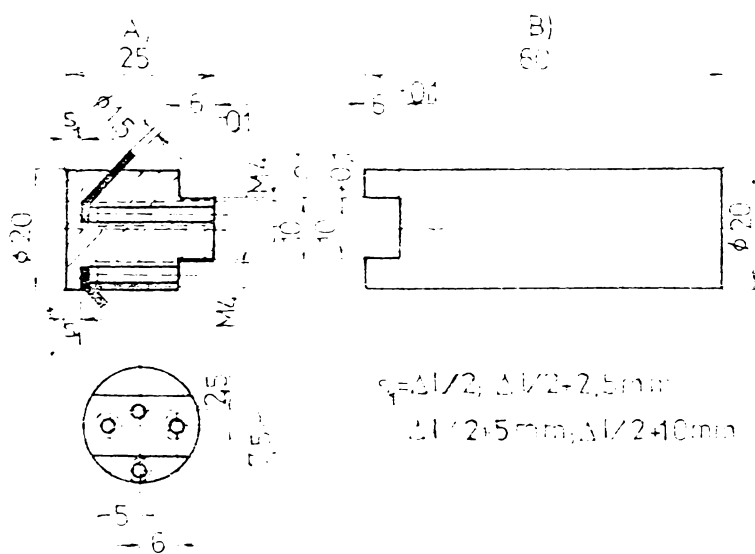


**Figura 30.** Variatia temperaturii suprafeei intermediiare la sudarea cuprului cu aluminiu



**Figura 31.** Schema de montaj pentru măsurarea temperaturii

Se observă că o dată cu creșterea vitezei de rotație tinde să crească și temperatură în suprafață intermediară. Prezinența de fricare are un efect redus asupra creșterii temperaturii.

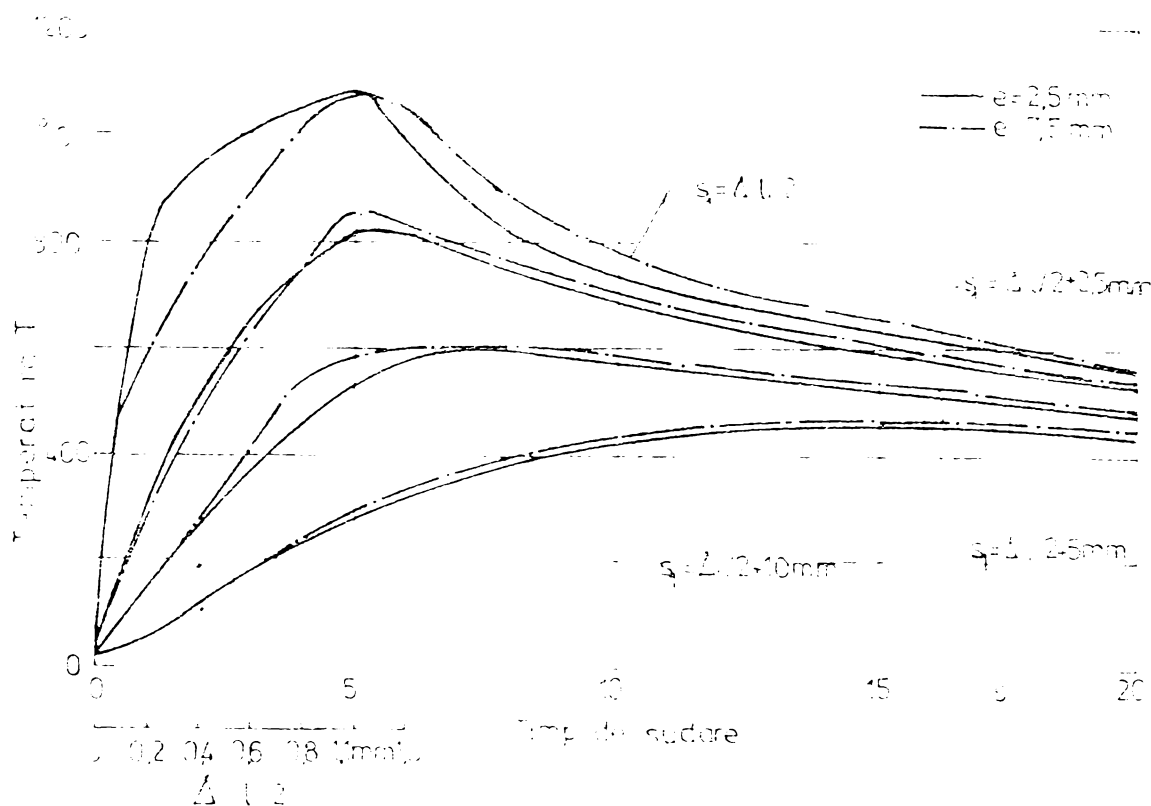


**Figura 32.** Epruvetă pentru măsurarea temperaturii; A și B sudate electric ;  $S_1$  - distanță pînă la zona sudurii

Un alt tip de epruve folosite pentru măsurarea temperaturii se prezintă în figura 32 / 31 /. Partea A se aducează electric de partea B și împreună constituie componentă care nu se rotește. La măsurători s-a folosit termocouple de 0,2 mm diametru din nichel/crom-nichel. Pentru determinarea temperaturii maxime în centru sudurii cîteva epruve au fost prevăzute cu termocouple plasate în axa de rotație la distanță  $\frac{\Delta L}{2}$  față de suprafață frontală ( $\Delta L$  - scurterea axială). La celelalte epruve, termocouplele s-au amplasat la 2,5 ; 6 și 7 mm radial față de axa de rotație și la  $\frac{\Delta L}{2}$  ;  $\frac{\Delta L}{2} + 2,5$  mm ;  $\frac{\Delta L}{2} + 5$  mm ;  $\frac{\Delta L}{2} + 10$  mm distanță ( $S_1$ ) față de capătul berei

Resultatele măsurărilor sunt prezentate în figurile 33 și 34. În urma experimentărilor s-a constatat următoarele :

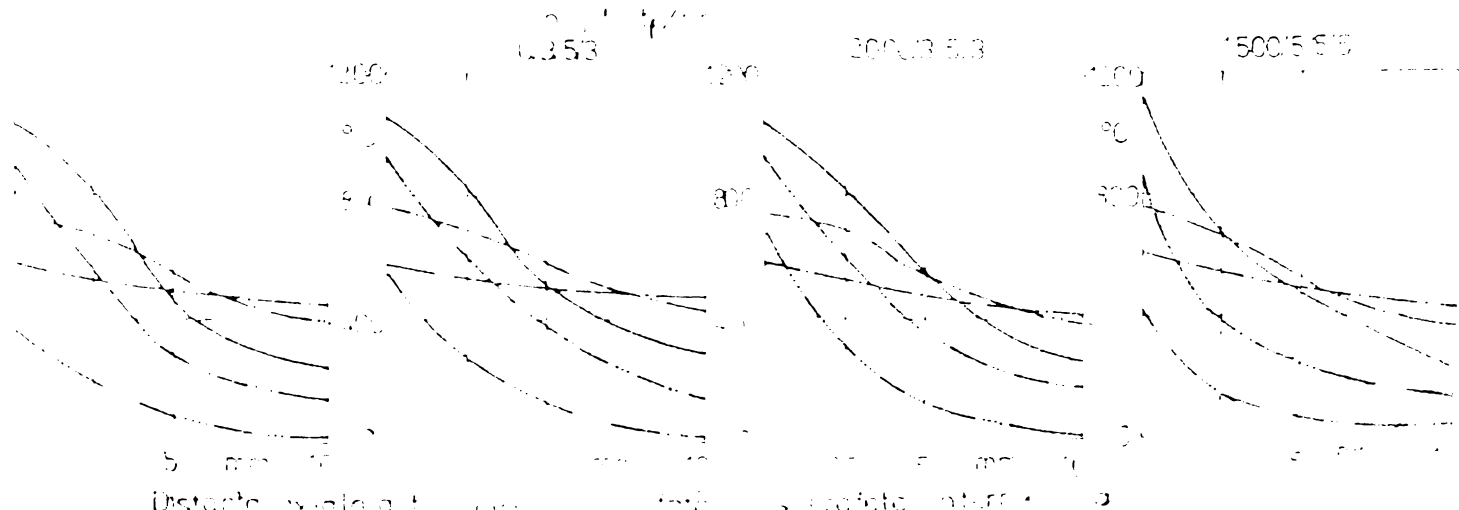
- temperatură maximă în suprafață intermediară se atinge pentru scurt timp în etapa de frinare ;



**Figura 33.** Distribuție radială și axială a temperaturii funcție de timp și scurtare axială

- viteză de încălzire axială la începutul fazei de freare și deplasarea axială a căldurii la sfârșitul procesului de încălzire prin freare este mai mare la viteze de rotație ridicate și presiuni axiale joase ;

- măsurările efectuate în centrul suprafeței de freare și în exteriorul barelor (parametre optice) au arătat că temperaturile în timpul fazei de încălzire sunt la centru și la margine cu aproximativ  $50 \dots 100^{\circ}\text{C}$  mai scăzute decât în celelalte zone de freare. În timpul fazei de frânare temperatură scade considerabil la centrul barei și crește cu aproximativ  $50 \dots 100^{\circ}\text{C}$  la exteriorul barelor.



**Figura 34.** Distribuție axială a temperaturii funcție de vite-

## 2. TEHNOLOGIA SUDARII PRIN FRECARE

### 2.1. Pregătirea componentelor pentru sudare

Componentele ce se sudează prin frecare pot fi debitate pe strung, ferăstrău mecanic sau cu disc abraziv, rugozitatea suprafețelor având o importanță mică asupra desfășurării procesului de sudare prin frecare.

În timpul mișcării relative a componentelor de sudat în ele iau naștere vibrării. Acestea sunt cu atât mai mari cu cît lungimea liberă (lungimea din exteriorul bocurilor sau fălcilor dispozitivului de prindere) este mai mare. Se recomandă ca această lungime să fie aproximativ egală cu diametrul componentei ce urmează a fi sudată /32/.

O influență asupra desfășurării procesului de sudare prin frecare și asupra rezultatelor lui (calitatea sudurii) o are gradul de curățire al capetelor componentelor ce urmează a fi sudate. Dacă suprafețele metalice în contact sunt acoperite cu murdărie, grăsimi, rugină, durata fazei de încălzire prin frecare se modifică decărcea o parte din timpul afectat acestei etape se consumă pentru îndepărțarea acestor impuriități. De asemenea, gradul de contaminare al suprafețelor, sau grosimea stratului de rugină, poate dифeри de la o componentă la alta, în acest caz, la parametrii constanți ai regimului de sudare, păstrarea constantă a calității sudurilor nu este asigurată. Din acest motiv, se recomandă ca suprafețele capetelor componentelor de sudat să fie curățite de grăsimi și murdărie sau să fie degresate iar stratul de rugină îndepărtat prin polizare. În cazul în care nu se poate asigura o curățire perfectă a capetelor componentelor, se preferă ca pregrădarea ciclului de sudare să se facă pe baza scurtării axiale. Componentele care au capetele acoperite cu un strat subțire de rugină nu împiedică desfășurarea ciclului de sudare decărcea acest strat se distrugă repede în timpul frecării și se elimină prin devură.

Componentele, care anterior au fost tratate termic sau prelucrate la cald, sunt acoperite cu un strat de zgură (țundăr) format din oxizi greu fusibili. Acest strat trebuie îndepărtat de pe suprafetele frante și de pe cele de prindere în băcuri deoarece stratul din capete împiedică începerea procesului de sudare prin frecare și stratul de pe suprafetele de prindere favorizează slăbescerea componentelor în băcuri în timpul sudării.

Debitarea capetelor componentelor de sudat trebuie să se facă astfel ca unghiul de inclinare al suprafetelor să nu fie mai mare de  $\pm 1^\circ$  față de planul normal la axe componentelor deoarece în caz contrar o parte din timpul de frecare respectiv din valoarea scurtării axiale se consumă pentru asigurarea contactului pe întreaga suprafață a componentelor.

### 2.2. Parametrii regimului de sudare

Parametrii regimului de sudare prin frecare sunt :

- viteza de mișcare relativă a componentelor de sudat;
- presiunea la frecare ;
- presiunea la refuzare ;
- timpul la frecare ;
- timpul la refuzare ;
- scurtarea axială.

Alegerea acestor parametri este determinată de următorii factori :

- natura materialelor componentelor de sudat ;
- forme și dimensiunile componentelor de sudat ;
- calitatea suprafetelor care se aduc în contact în timpul mișcării relative.

2.2.1. Viteza relativă influențează productivitatea procesului și extinderea cimpului termic în componente de sudat. Prin creșterea vitezei relative se reduce durata ciclului de sudare, începe mai devreme stabilizarea momentului de frecare, scade presiunea necesară încălzirii și scade cantitățile de metal consumat în băură.

O viteză mică produce o încălzire insuficientă în special în vecinătatea axei presei și o repartizare neuniformă a căldurii în capetele componentelor de sudură. La o viteză mică, zona influențată termic are o formă dublu concavă, care se aplatizează treptat pe măsură ce crește viteză (figura 35).

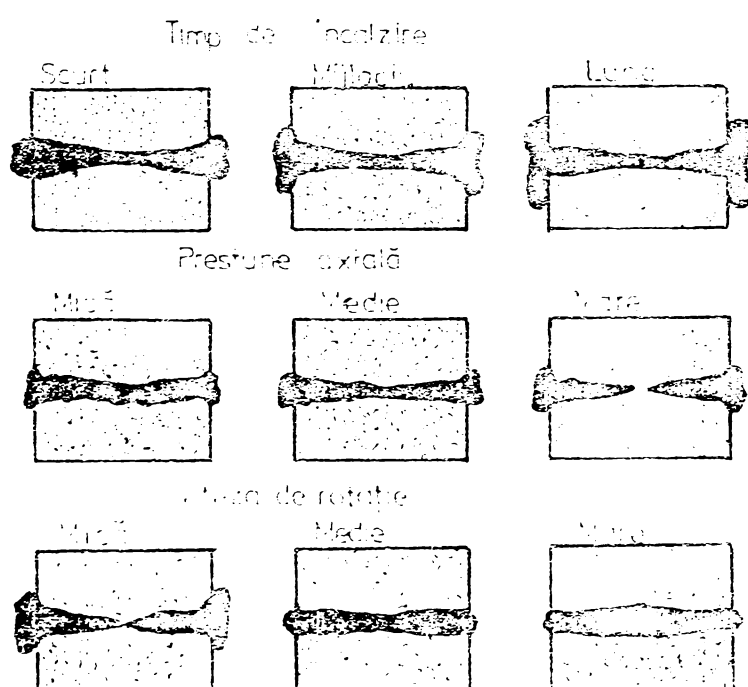


Figura 35. Influența timpului de fricare, presiunii axiale, vitezei de rotație asupra formei ZIT.

Se recomandă (11) viteză relative în domeniul  $0,6 \dots 3$  m/secundă. Relația dintre diametrul nominal al piesei  $d_n$  și turăția  $n$  (rotații/minut) este :

$$n \cdot d_n = (1,2 \dots 10) \cdot 10^4 \quad (43)$$

Pentru oțeluri,  $n \cdot d_n = 3 \cdot 10^4$  (viteză relativă de aproximativ 1 m/secundă) (44)

$$\text{Pentru cupru } n \cdot d_n = (4 \dots 4,5) \cdot 10^4 \quad (45)$$

$$\text{Pentru titan } n \cdot d_n = (8 \dots 10) \cdot 10^4 \quad (46)$$

Ridicarea vitezei de rotație, în special la sudarea secțiunilor mari (peste  $700 \text{ mm}^2$ ), este avantajoasă, dar ridică probleme constructive la realizarea mașinilor, în alegerea lagărelor sistemului de antrenare, echilibrării maselor în rotație etc.

2.2.2. Presiunea la frecare. În cadrul unui ciclu de sudare prin frecare continuă se utilizează, de obicei, două nivale de presiune: o presiune la frecare și o presiune (mai mare sau cel puțin egală) la refurare.

Presiunea din etapa de frecare influențează direct momentul de frecare, respectiv cantitatea de căldură generată, determinând prin această temperatură maximă în zone de sudare. Presiunea la frecare influențează sărimea deformării plastice în etapa de încălzire prin frecare, care are un rol important în asigurarea calității sudurii. Toate aceste aspecte au fost tratate pe larg în capitolul I al lucrării.

La sudarea oțelurilor reziste cu conținutul în carbon < 0,45% și cu celor slab aliaste, presiunea la frecare se recomandă să avan valori cuprinse între  $30 \dots 60 \text{ N/mm}^2$ . Valoarea presiunii la frecare crește cu creșterea conținutului în carbon a materialului de bază și cu creșterea conținutului în elemente de aliere. Astfel, oțelurile aliaste se pot suda cu presiuni la frecare cuprinse între  $60 \dots 120 \text{ N/mm}^2$  (oțelurile austenitice) putindu-se ajunge chiar la  $300 \text{ N/mm}^2$  în cazul sudării oțelurilor de oțel. Presiunea la frecare, la o anumită viteză relativă, este în strânsă corelație cu timpul de frecare. Cu creșterea presiunii de la frecare scade timpul de frecare necesar pentru a asigura o anumită deformare plastică.

Pelosirea unei presiuni mai scăzute în etape de încălzire prin frecare, permite utilizarea unor mașini de sudat prin frecare de putere mai mică. După cum s-a văzut în diagrame din figura 6, momentul de frecare este un maximum în prima etapă. Această maxima al momentului de frecare poate fi atenuată prin introducerea în această etapă, a unei trepte de presiuni mai mici. În acest mod ciclul de sudare va avea trei trepte de presiune, din care

două în etapa de încălzire prin freare, ceea ce conduce la creşterea răsăreştelui energetic al procesului de sudare, la scăderea usurii magazinii de sudat dar și la lunginere ciclului de sudare.

2.2.3. Presiunea la refulare. Se recomandă ca presiunea la refulare să fie mai mare decât cea de la freare. În cazurile în care se lucrează la valerile maxime ale utilajului se poate utiliza la refulare o presiune egală cu cea de la freare. De obicei, raportul dintre presiunea de refulare și cea de la freare se alege între limitele :

$$\frac{P_{\text{refulare}}}{P_{\text{freare}}} = 1,5 \dots 3 \quad (47)$$

Valearea presiunii de refulare influențează rezistența sudurii, datorită acțiunii sale asupra structurii zonei îmbinării. Astfel, cu creșterea presiunii de refulare scade granulația materialelor din zona sudurii /11/.

La sudarea prin freare a unui oțel nealiat cu conținut în carbon < 0,16%, temperatura de austenitizare se atinge în numai o secundă. După o încălzire de peste două secunde grăunții de austenită cresc și rezistența sudurii scade. De exemplu, succurile realizate cu o presiune de freare și refulare de  $30 \text{ N/mm}^2$  (un singur ciclu de presiune) manifestă o descreștere a plasticității, evidențiată prin încercarea la îndoire, adăugând cu creșterea timpului de freare /34/. Aplicarea unei presiuni la refulare superioare celei de la freare conduce la finisarea structurii metalografice.

Presiunea de refulare nu trebuie să depășească o anumită valoare. Deformarea excesivă în timpul refularii poate fi în detrimentul integrității mecanice a sudurii. La o refulare excesivă materialul încălzit este impinsă în bavuri și vor veni în contact zone de metal mai reci, rezultând îmbinări cu caracteristici mecanice slabe.

Crescerea presiunii de la frecare la valoarea presiunii de refulare coincide cu intreruperea rotirii. Practic acest moment este fie înainte, fie după oprirea componentei în rotație. A doua variantă este mai bună, deoarece la cîteva fractiuni de secundă după oprire metalul din sudură nu se răcește și efectul refulării nu se schimbă, pe cînd în cazul primei variante, crescerea presiunii în timpul rotirii produce un surplus de cădere a căldurii și crește consumul de metal.

2.2.4. Timpul de frecare ; trebuie ales astfel încît el să asigure o distribuție uniformă a temperaturii pe suprafețele frontale ale picioarelor de sudat și o expulzare a impurităților prezente inițial pe respectivele suprafețe.

Corespondător presiunii de la frecare utilizate există un domeniu limitat al timpului de frecare pentru producerea unor suduri satisfăcătoare. De exemplu, la sudarea unor bare cu diametrul de 20 mm din oțel neutru ( $C = 0,19\%$ ) cu o presiune de frecare de  $30 \text{ N/mm}^2$  și o presiune de refulare de  $90 \text{ N/mm}^2$  s-a arătat că la tempi scurți (mai puțin de 3 secunde) sudurile supunse la tractiune s-au rupt în imbinare datorită neconsolidării ei. Suduri satisfăcătoare s-au produs cu tempi de frecare între 3 și 8 secunde. În cazul folosirii unor tempi mai lungi la frecare, rezistența sudurii scade datorită formării unor structuri metalografice grosolană și formării unor creațături la baza gulerului devurii. Tempii de frecare scurți pot fi folosiți la sudarea oțelurilor neutre cu carbon  $\leq 0,25\%$ . Ca și în cazul sudării electrice prin presiune cu topire intermediară, în funcție de capacitatea utilajului, se pot alege regimuri dure de sudare (tempi scurți și presiuni ridicate la frecare) sau regimuri moi de sudare (tempi lungi asociati cu presiuni joase la frecare). În cazul oțelurilor susceptibile la călire, pentru reducerea vitezei de răcire, se recomandă tempi mai lungi de încălzire.

2.2.5. Timpul de refulare, comparativ cu cel de frecare este scurt deoarece la oprirea mișcării relative, sudura se răcește cu viteză mare. Materialul își pierde plasticitatea

Intr-un timp mai scurt de o secundă. S-a observat totuși că o ședinere mai îndelungată a timpului de refuzare are efecte favorabile asupra caracteristicilor mecanice ale sudurii.

**2.2.6. Scurtarea axială.** Deafăgăurarea ciclului de sudare poate fi controlată, respectiv programată prin scurtarea axială în locul parametrilor de timp. În acest caz comanda trecerii de la etapa încălzirii prin frecare, la etapa de frânare și apoi la refuzare este dată de valoarea scurtării componentelor corespunzătoare fiecărei etape. Controlul procesului prin scurtarea axială se recomandă la sudarea pieselor a căror lungime totală trebuie să se încadreze în limite strânse ( $\pm 0,1$ ) și în cazul utilajelor la care viteza de rotație este scăzută ( $< 1500$  rot/min).

Scurtarea axială este un estimator al mărinii deformației plastice din timpul sudării. O anumită valoare a scurtării determină, într-o cantică măsură, calitatea sudurii. Astfel o scurtare axială prea mică produce o sudură cu rezistență slabă datorită faptului că nu s-au îndeplinit condițiile termice și mecanice necesare formării unei suduri corespunzătoare. La o scurtare axială prea mare, se consumă inutil material în bavură și pot rezulta structuri grecoane datorate menținerii îndelungate a pieselor în domeniul găsitorit.

### **2.3. Influență parametrilor asupra caracteristicilor sudurilor realizate**

#### **2.3.1. Caracteristici metalurgice**

Structurile metalografice care apar la sudarea prin frecare sunt determinate de ciclul temperatură - timp, fiind influențată și de presiunea axială.

Analize metalografice a unei suduri realizate prin frecare la bare  $\varnothing 18$  mm din oțel EN3B cu compoziție chimică : C = 0,25% ; Si = 0,35% ; Mn = 1,0% ; P = 0,060% ; S = 0,060% evidențiază două regiuni distincte : o zonă centrală îngustă de grosuțe relativ fină și o zonă influențată termic mai largă

cu structuri corespunzătoare ciclurilor termice. În cazul otelurilor ferito-perlitice zona influențată termic se poate delimita în mai multe zone care împreună cu zona centrală formează următoarele :

1. Zona A - zona centrală, zona deformărilor plastice însemnate (zona plasăfiată). În această zonă s-a produs trecerea particulelor de metal dintr-o componentă în alta, materialul fiind supus unor deformări plastice repetate. Se estimează că în această zonă temperatura este în jur de  $1300^{\circ}\text{C}$ , metalul are o granulație fină.

2. Zona B - zona de granulație foarte fină. Analiza microstructurală arată că în această zonă materialul a fost supus unor puternice deformări plastice, dar nu a participat la freare și nici la procesul de transfer. Structura materialului este bainită superioară în zonele adiacente zonei A și bainită inferioară în zonele mai îndepărtate.

3. Zona C - zona de trecere. Materialul în această zonă a suferit o încălzire între punetele de transformare  $\text{AC}3$  și  $\text{AC}1$  ( $830^{\circ}\text{C} - 730^{\circ}\text{C}$ ), interval în care zonele bogate în perlită s-au transformat în austenită, iar ferita nu s-a transformat.

4. Zona D - zona de globulizare. În această zonă materialul a fost încălzișit la o temperatură sub  $\text{AC}1$  ( $730^{\circ}\text{C} - 650^{\circ}\text{C}$ ), condiții în care lamelele de cementită ale perlitei s-au globulizat.

5. Zona E --zona de recristalizare a feritei. Temperatură în această zonă a fost între  $650 - 550^{\circ}\text{C}$ , condiții în care cristalele deformate de ferită au recristalizat, crescând o parte din grăunți.

6. Zona P - structura materialului de bază, temperatură materialului nu s-a ridicat peste  $550^{\circ}\text{C}$ .

Studiul mecanismului de formare a îmbinării (capitolul 1) în ceea ce privește mecanismul de formare a îmbinării în funcție de aliajele care se sudorează sau loc, la nivelul zonei intermedii, difuzii ale elementelor de aliare, anastecuri secundare.

ee ale acestora ( difuzie + amestec mecanic ). Astfel, la sudarea unor oțeluri feritice de înaltă rezistență cu oțeluri austenitice s-a observat că mișcarea elementelor de aliere în oțeluri aliate nu este cauzată de difuziune conform legii lui Fick , ci mai ales datorită unui amestec mecanic . Sudind aliaje de nichel cu oțel nitrurat s-a observat și o difuzie a elementelor de aliere dintr-un material în altul la limite sudurii /31/.

In figura 36 se prezintă aspectul macro și microstructural a unor bare de  $\varnothing 13$  mm din oțelul EN38 sudate prin frecare cu presiuni de frecare de 30, 45, 65, 105, 150 N/mm<sup>2</sup> și viteze de rotație de 975 și 1825 rot/min.



Figure 36. Aspectul macro și microstructural al sudurilor realizate cu presiuni de frecare 30, 45, 65, 105, 150 N/mm<sup>2</sup> și viteze de rotație de 975 și 1825 rot/min.

Din figură se observă că lățimea și forma zonei influențate termic este determinată de valoarea presiunii de freccare și a vitezei de rotație.

La o presiune joasă ( $30 \text{ N/mm}^2$ ) zona influențată termic are o lățime mare și marginile aproape paralele. Cu creșterea presiunii zonea influențată termic se îngustează pînă la gîtuire spre centrul barei și profilul ei devine dublu conic.

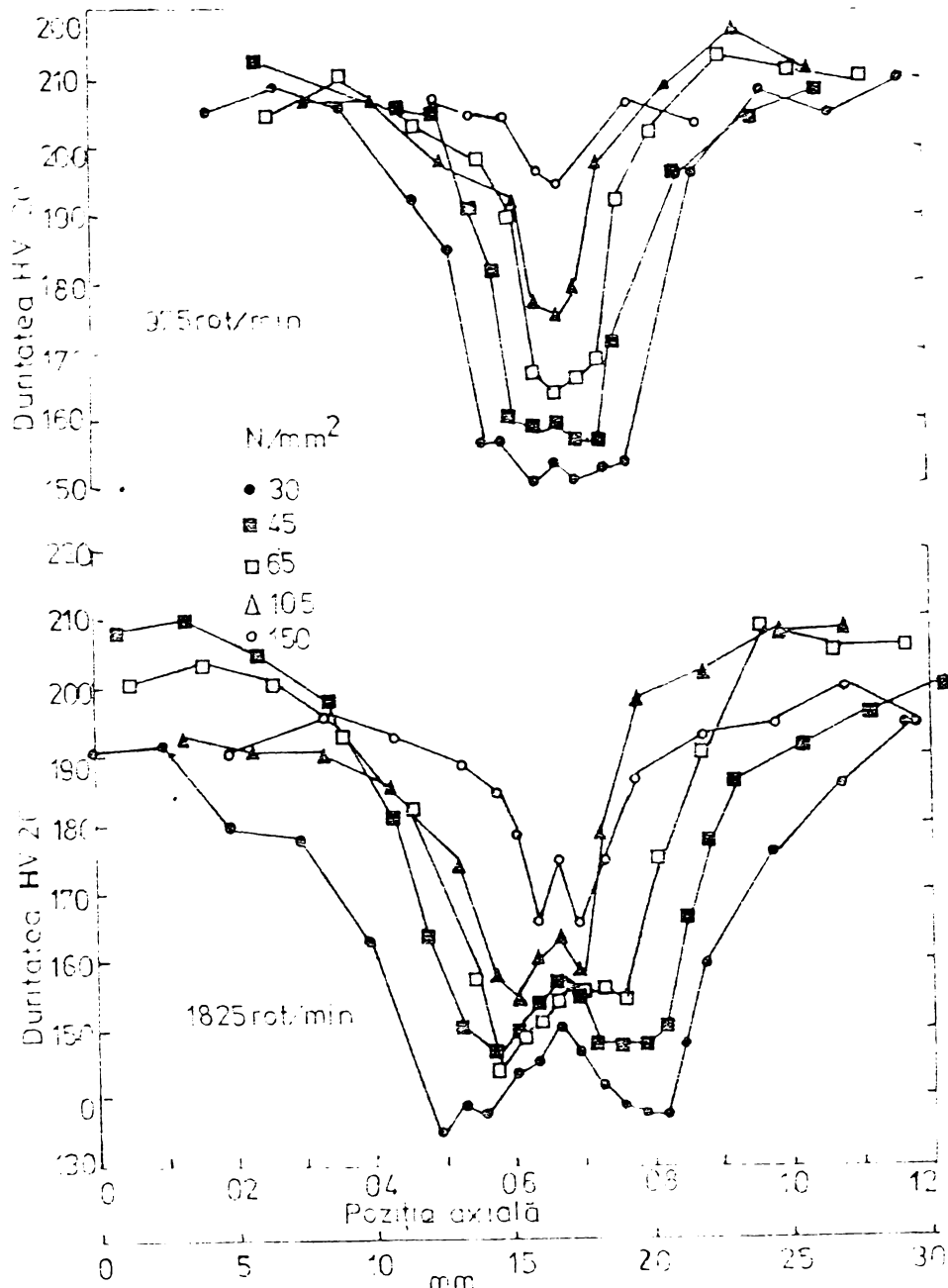
La aceeași presiune de freccare, viteză de rotație mai mare 1825 rot/min produce o zonă influențată termic mai lată cu un profil mai puțin gîtuit în comparație cu sudura similară produsă cu viteză de rotație mai joasă (975 rot/min).

In cazul sudării cu presiuni de freccare scăzute,  $30 \text{ N/mm}^2$  și viteză de rotație mare, 1825 rot/min, în secțiune sunt evidențiate defecte de "lipă de legătură". Aceste defecte sunt eliminate prin creșterea presiunii la  $45 \text{ N/mm}^2$ .

Presiunea de freccare și viteză de rotație influențează și structura materialului în zone sudurii. Examinarea microstructurală a sudurilor realizate cu presiuni coborite ( $30 \text{ N/mm}^2$ ) evidențiază prezența structurii Widmanstätten. Această structură dispără edată cu creșterea presiunii de freccare, respectiv structura devine tot mai fină pe mîsură ce presiunea de freccare crește. La presiune de freccare constantă, în special la valori coborite ( $30 \text{ N/mm}^2$ ) structura e mai groasă în turăție ridicată (1825 rot/min), comparativ cu cea produsă de turății mai coborîte (975 rot/min).

In figura 37 se prezintă distribuția durității de-a lungul zonelor sudurii într-o secțiune longitudinală a barelor de  $\# 18 \text{ mm}$  din șteful EN3B. La acest tip de șteful în zonele sudurii duritatea este mai scăzută decit în materialul de bază. Duritatea zonei centrale și a zonei influențate termic a fost efectuată de viteză de rotație și presiunile aplicate.

Crescerea presiunii între limitele arătate ( $30 \dots 150 \text{ N/mm}^2$ ) provoacă îngătarea zonei de variație a durității și creșterea durității pe mîsură ce crește presiunea de freccare.



**Figura 11.** Influență presiunii de frezare și vitezei de rotație asupra distribuției durităților.

Astfel, dacă la presiunea de  $30 \text{ N/mm}^2$  duritatea minimă a sudurii a fost în jur de  $150 \text{ HV20}$  la presiunea de  $150 \text{ N/mm}^2$  aceasta a crescut la  $195 \text{ HV20}$  și de  $200 \dots 210 \text{ HV20}$  a materialului de bază.

Cresterea vitezei de rotație de la  $975 \text{ rot/min}$  la  $1825 \text{ rot/min}$  provoacă o lărgire a zonei de variație a durității. La aceeași presiune de frezare creșterea turării provoacă o scădere a durității minime în sudură cu aproximativ  $20 \text{ HV20}$ .

## 2.3.2. Caracteristicii mecanice

### 2.3.2.1. Rezistența la tracțiune

Procedeul de sudare prin frecare fiind un procedeu de sudare în stare solidă nu este afectat de unii factori care nășoară rezistența sudurii, cum ar fi : structuri de turnare, contaminare atmosferică. Din acest motiv, rezistența sudurii, în condițiile alegerii corecte a parametrilor de sudare este egală cu cea a materialului de bază.

Pentru a vedea influența presiunii de frecare și vitezei de rotație asupra rezistenței la tracțiune s-au sudat bare din otelul EN3B cu presiunile de frecare 30, 45, 75, 105, 150 N/mm<sup>2</sup> și vitezele de rotație 975 rot/min și 1825 rot/min. Modul cum influențează acești parametri asupra rezistenței la tracțiune se prezintă în tabelul 2.

Parametrii de sudare	Viteză de rot/min	Bare Ø 18 mm			Bare Ø 25 mm		
		Rezistență la ruperere Rm, N/mm <sup>2</sup>	% din efect Rm-MB	Ajuns la ruperere	Rezistență la ruperere Rm, N/mm <sup>2</sup>	% din efect Rm-MB	Ajuns la ruperere %
975	30	495	95	94	470	90	10,1
	45	455	95	10,4	480	92	9,0
	75	535	100	7,7	485	93	8,0
	105	550	100	7,7	510	97	8,9
	150	555	100	7,7	515	99	12,9
1825	30	460	89	15,5	400	77	5,2
	45	430	89	15,5	435	87	11,8
	75	-	-	-	480	92	9,0
	105	515	-	-	495	94	7,5
	150	540	100	7,7	510	98	8,0

Tabelul 2. Rezultatele încercărilor la tracțiune.

Din tabel se observă că o dată cu creșterea presiunii de frecare crește rezistența la tracțiune a sudurii. Astfel, pentru viteza de rotație de 975 rot/min ruperile se produc în materialul de

beză de la presiunea de  $45 \text{ N/mm}^2$  în sus iar la viteza de 1825 rot/min ruperile se produc în materialul de beză la presiunea de frecare de  $150 \text{ N/mm}^2$ .

### 2.3.2.2. Resistență la îndoire

Aprecierea insușirilor de plasticitate ale sudurilor realizate prin frecare se poate face prin încercarea la îndoire. Efectul parametrilor de sudare asupra unghiului maxim de îndoire s-a urmărit sudind bare de  $\varnothing 18 \text{ mm}$  din oțel EN3B cu presiuni de frecare de 30, 60, 90  $\text{N/mm}^2$ , presiuni de refugare de 30, 60, 90, 120, 150  $\text{N/mm}^2$  și tempi de frecare între 1 și 10 secunde /35/.

Efectul presiunii de refugare s-a studiat menținând presiunea de frecare constantă la  $30 \text{ N/mm}^2$  și folosind presiunile de refugare și tempii de frecare menționate. În figura 33 se prezintă diagrame de variație a unghiului maxim de îndoire funcție de presiunea de refugare și timpul de frecare. Sudurile realizate cu presiunea de frecare și de refugare de  $30 \text{ N/mm}^2$  (un singur ciclu de presiune) au valori scăzute ale unghiului maxim de îndoire ( $< 30^\circ$ ) și acestea descresc cu creșterea timpului de frecare. Examind microscopic sudurile realizate cu presiunile de  $30 \text{ N/mm}^2$  și cu timpul de frecare de 2 secunde în ZIT apare o structură ferito-perlitică de granulație fină. Sudurile realizate cu același presiuni dar cu timpul de frecare de 10 secunde prezintă în ZIT o structură Widmanstätten.

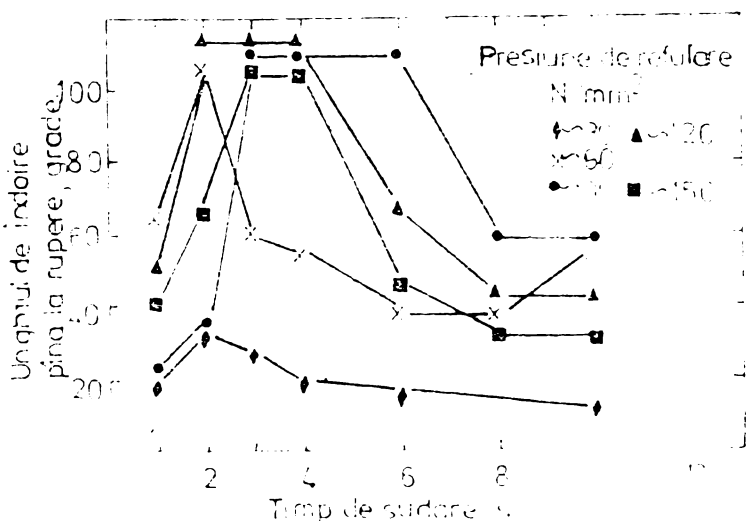


Figura 33. Influența timpului și presiunii de frecare și refugare asupra unghiului de îndoire pînă la rupere.

Crescerea presiunii de refulare face să se cărească valoarea unghiului maxim de îndoire, condiționat de timpul de frecare care nu trebuie să depășească o anumită valoare.

Refularea are două efecte favorabile asupra structurii respectiv rezistenței ZIT și anume :

a) Ruperea și dispersarea fină a incluziunilor. În materialul de bază incluziunile sunt continue și orientate paralele cu axe preseelor. În etapa de încălzire prin frecare, în procesul de deformare plastică, metalul este forțat să curgă în afară (formând devure) spre o direcție normală față de axă întrenind în acestă curgere și incluziunile. Orientarea incluziunilor spre o direcție normală față de axa piesei duce la slăbirea rezistenței piesei sudate. Prin aplicarea unei presiuni de refulare cu o valoare suficient de mare se obține ruperea respectiv fărămițarea incluziunilor și dispersarea lor fină în structură. Spre exemplu, sudurile realizate cu tempi scurți ( $\leq 3$  secunde) și cu o presiune de refulare mai mică de  $90 \text{ N/mm}^2$  intotdeauna se rupe în ZIT (figura 39). Examind cu microscopul electric ruptura se observă că rezistența slabă se dătorează rupelor prin incluziunile orientate normal față de axa presei (figura 39.b). Crescerea presiunii de refulare peste  $90 \text{ N/mm}^2$  a făcut ca incluziunile reorientate pe direcția normală față de axa piesei să fie suficient de deformate și de răspândite în matricea de altfel ductilă a structurii încât să nu prezinte amorse de fisuri (figura 39.a).

b\_ Finisarea grăușilor de susțință. În etapa de încălzire prin frecare temperatura de susțințizare se atinge într-o secundă. Deoarece la frecare se utilizează o presiune coborîtă ( $30 \text{ N/mm}^2$ ) și acestă presiune se menține un timp mai lung în sudură apără structura Widmannstätten grosolană. Prin aplicarea în etapa de refulare a unei presiuni mai ridicate se produce o finisare a granulației și implicit îmbunătățirea caracteristicilor mecanice ale sudurii. Spre exemplu, dacă la frecare se utilizează o presiune de  $30 \text{ N/mm}^2$  timp de 1 secundă și după frecare se aplică o presiune  $\geq 90 \text{ N/mm}^2$  unghiul de îndoire depășește  $90^\circ$ .



Figura 39. Efectul presiunii de refulare asupra dispersiei incluziunilor la presiunea de frecare  $30 \text{ N/mm}^2$  și timp de frecare 3 secunde : a) localizarea ruperii la presiunea de refulare  $30 \text{ N/mm}^2$ ; b) orientarea incluziunilor la presiunea de refulare  $30 \text{ N/mm}^2$ ; c) împrejimea incluziunilor la presiunea de refulare  $90 \text{ N/mm}^2$ .

Din figura 38 reiese că rezistența la indoire este influențată și de tiptul de frecare. Chiar pentru presiuni de refulare  $\geq 90 \text{ N/mm}^2$  există un domeniu limitat al timpului de frecare pentru producerea sudurilor satisfăcătoare (unghi de indoire  $> 90^\circ$ ). Epruvetele sudate cu presiunea de frecare de  $30 \text{ N/mm}^2$  și presiunea de refulare de  $90 \text{ N/mm}^2$  s-au comportat diferit la indoire funcție de timpul de frecare. Astfel, cele sudate cu tempi scurți  $< 3$  secunde s-au rupt la valori mici ale unghiului de indoire datorită neconsolidării sudurii. Suduri satisfăcătoare s-au realizat cu tempi de frecare cuprinși între 3 și 8 secunde. Utilizarea unor tempi mai lungi de frecare au dus la scăderea rezistenței la indoire din două motive : grăunți grosolani și reorientarea contrară a materialului de bază.

La presiuni de refulare sălivate ( $\sim 30 \text{ N/mm}^2$ ) ZIT are tendință pronunțată de fragilizare datorită formării structurii grosolane Widmanstätten la tempi de frecare  $> 9$  secunde (figura 40.a și 40.b). Practografia ruperii (figura 40.a) evidențiază ruperi tipice de elivaj asociate cu structura Widmanstätten.



Figura 40. Aspectul ruperii unei suduri supuse la îndoire : a) localizarea ruperii; b) structura ZIT; c) fractografia zonei; condiții de sudare : timp de frecare 3 secunde; presiune de refulare  $30 \text{ N/mm}^2$

Utilizarea unor presiuni de refulare mai mari de  $90 \text{ N/mm}^2$  în scopul finisării structurii e produs reorientarea fibrajului materialului de bază. Sudurile realizate cu presiuni de refulare de  $150 \text{ N/mm}^2$  și cu tempi de frecare de 10 secunde s-au rupt la îndoire la unghiuri mici ( $30^\circ$ ). Ruperile s-au produs prin scurgerea benzilor ferito-perlitice datorită reorientării benzilor materialului de bază la un unghi critic (figurile 41 a, b, c). O altă cauză e aceea că ruperi la unghiuri mici de îndoire, după cum rezultă din figurile presentate, o constituie prezența fisurilor la baza bevirii, fisuri datecate presiunilor de refulare mari.

Rezistența la îndoire a sudurilor prin frecare este influențată și de valoarea presiunii de frecare. Presiunea de frecare este în strînsă corelație cu timpul de frecare pentru realizarea unor suduri satisfăcătoare. Astfel s-a văzut că la presiuni de frecare de  $60 \text{ N/mm}^2$  utilizarea unor tempi scurți și a presiunii de refulare tot de  $60 \text{ N/mm}^2$  produc suduri cu ductilitate scăzută datorită răspindirii neadecvate a incluziunilor.

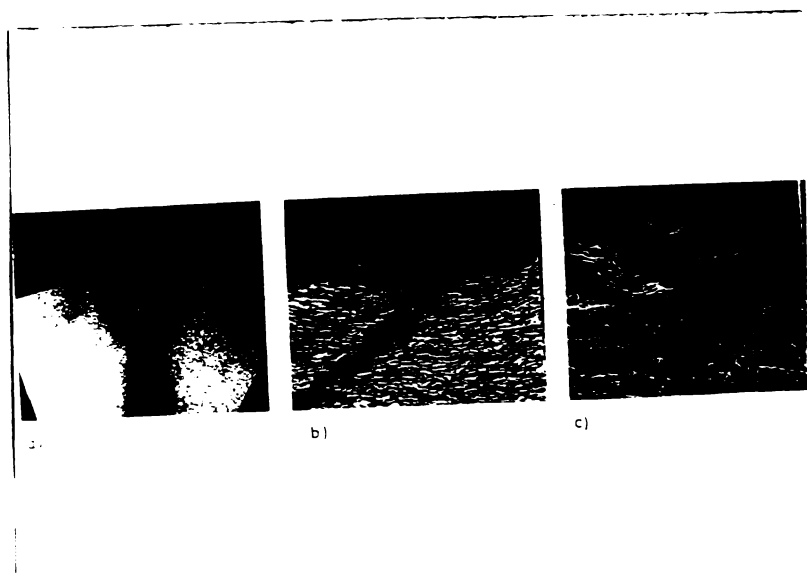


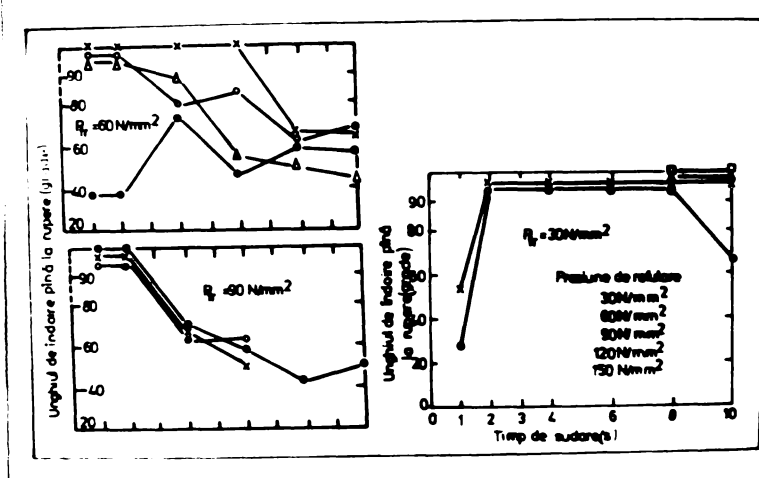
Figura 41. Aspectul ruperii unei suduri supuse la indoire :  
a) localizarea ruperii; b) baza bavurii; fractografie  
zonei ; condiții de sudare : timp de frecare 10 secunde,  
presiune de frecare  $30 \text{ N/mm}^2$ ; presiune de refulare  
 $150 \text{ N/mm}^2$

Utilizarea unor tempi lungi la acești parametri provoacă scăderea  
ductilității datorită suprareîncălzirii ZIT (figura 42.a). Dacă  
presiunea de frecare de  $60 \text{ N/mm}^2$  este asociată cu presiunea de  
refulare de  $90 \text{ N/mm}^2$  suduri satisfăcătoare (unghiuri de indoire  
 $\geq 90^\circ$ ) s-au obținut cu tempi de frecare cuprinși între 1 și 2  
secunde.

La utilizarea unor presiuni de frecare de  $90 \text{ N/mm}^2$   
fără mitărea și răspindirea inclusiunilor în structură precum și  
finisarea grăunților de susținătură se realizează în etape de fre-  
care nemulțimind necesară creșterea presiunii în etapa de refulare  
pentru obținerea unor suduri satisfăcătoare din punct de vedere  
al rezistenței la indoire (figura 42.b).

Rezistența la indoire a sudurilor realizate cu tempi  
de frecare mai mari de 2 secunde s-a imbunătățit prin aplicarea  
unui tratament termic de normalizare după sudare (încălzire 30  
de minute la  $900^\circ\text{C}$ , răcire în aer). Astfel, pentru tempi de fre-  
care între 2 și 10 secunde s-au obținut suduri satisfăcătoare

din punct de vedere al unghiu lui de indoire indiferent de presiunile de frecare utilizate ( presiuni de frecare  $30\ldots 90 \text{ N/mm}^2$  ; presiuni de refulare  $30\ldots 150 \text{ N/mm}^2$  ) conform figurii 42.c. Sudurile realizate cu tempi scurți ( $< 2$  secunde) de frecare au fost doar parțial îmbunătățite decercocă tratamentul termic aplicat nu poate remedia lipsa de legătură a acestora și nici reorientările incluziunilor, cauze ale rezistențelor slabă ale acestor suduri. Tratamentul termic de normalizare a remediat unele defecțiuni metalurgice cum ar fi existența grăunților grosolanii în ZIT și în cazul unei refulări excesive normalizarea a înlocuit structura lamelată reorientată adiacentă ZIT cu grăunți mai echi axiali.



**Figura 42.** Influența presiunii de frecare și a tratamentului termic după sudare asupra rezistenței la indoire :  
a) presiune de frecare  $60 \text{ N/mm}^2$ ; b) presiune de frecare  $90 \text{ N/mm}^2$ ; c) presiune de frecare  $30 \text{ N/mm}^2$  și normalizare după sudare ( 30 minute la  $900^\circ\text{C}$  )

In concluzie ceeațărilor legate de încercarea la îndoire a epruvetelor din oțel cu conținut scăzut în carbon su- date prin frecare se pot nota următoarele :

- La sudarea componentelor cu tempi de frecare mai scăzuti decit cei recomandati și cu presiuni de frecare coborite ( $30 \text{ N/mm}^2$ ) se obțin rezultate slabe la îndoire datorită neconsolidării sudurii și nedispersării incluziunilor. Incluziunile mari, orientate normal față de axa pieselor sunt locuri slabe de-elongul cărora se pot produce fisuri.

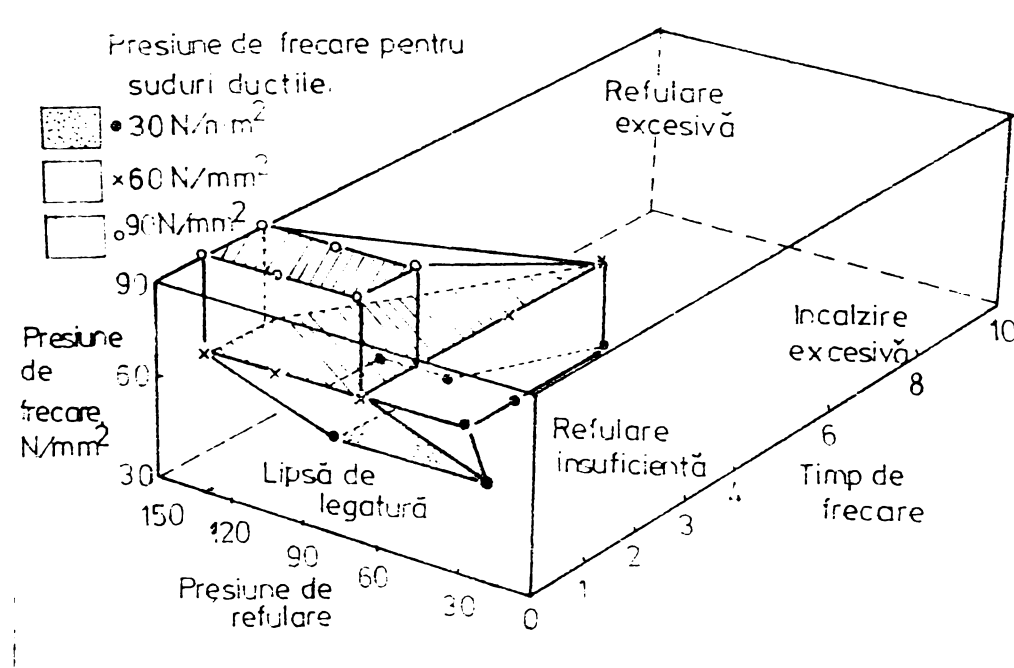
- Refularea cu o presiune mai mare decit cea de frecare produce ruperes și dispersarea incluziunilor. Valoarea presiunii de refulare trebuie să fie suficient de mare pentru a produce fărănișarea grăunților grosolanii de susținută formăti în etapa de încălzire prin frecare minimalizând astfel tendința puternică de a forma structure Widmanstätten.

- Tratamentul termic de normalizare după sudare poate elimina efectele negative ale supraîncălzirii ZIT și ale refulării excesive datorate slegerii necorespunzătoare a parametrilor regimului de sudare.

- La sudarea oțelurilor cu conținut scăzut în carbon, nealăst, parametrii de sudare pot varia în limite destul de largi pentru a obține suduri care să reziste la unghiuri de îndoire  $> 90^\circ$ . Între presiunea de frecare, presiunea de refulare, timpul de frecare există corelații strânse. Față de valorile parametrilor utilizati în experimentări se poate construi diagrame spațiale a valorilor parametrilor care produc suduri cu rezistență la îndoire satisfăcătoare. Această diagrame se prezintă în figura 4).

### 2.3.2.3. Rezistență la torsionă

Rezistență la torsionă a sudurilor prin frecare s-a analizat comparativ cu rezistență la tracțiune și rezistență la îndoire. Experimentările s-au efectuat cu componente din oțel nealăst cu conținut mediu de carbon, OLC45, bare de 20 mm diametru.



**Figura 43.** Parametrii de sudare pentru obtinerea unor suduri cu rezistență la îndoire optimă.

Pentru experimentări s-au utilizat următoarele valori ale parametrilor de sudare :

- presiuni de frcare 40; 60; 80 N/mm<sup>2</sup>
- presiuni de refulare 120; 140; 160 N/mm<sup>2</sup>
- timp de frcare : 2,30 ; 3,22 ; 4,52 ; 5,63 secunde.

Vitezele de rotație și timpul de refulare s-au menținut constante la valorile 1450 rot/min respectiv 2,30 secunde.

Prin combinarea tuturor valorilor parametrilor sus-menționati s-au obținut 36 regimuri de sudare. Cu fiecare regim s-a efectuat 9 suduri. Aceste suduri au fost supuse la trei încercări (cîte 3 suduri pentru fiecare încercare) fără ca piecele să fie tratate termic după sudare :

- încercare la tracțiune statică ;
- încercare la tensiune ;
- încercare la îndoire.

Resultatele la încercări arată următoarele :

a) Piezele sudate cu toate cele 36 de regimuri supuse la tracțiune s-au rupt în materialul de bază în afara zonei influențate termic.

b) Piezele sudate cu toate regimurile supuse la torsion s-au rupt în materialul de bază în afara zonei influențate termic indiferent de sensul de răcire.

c) În urma încercării la îndoire s-au selectat 4 regimuri de sudare la care unghiul de îndoire a fost  $130^\circ$  fără că apară fisuri. Aceste regimuri se prezintă în tabelul 3.

Nr. regim	Ptr. (mm/min.)	îndoiere		d (mm)
		1	2	
1	10	10	10	10
2	15	15	15	15
3	30	30	30	30
4	60	60	60	60

Tabelul 3. Regimuri de sudare care asigură suduri la care unghiul de îndoire a fost  $130^\circ$  fără apariția fisurilor

Păță de aceste rezultate se pot trage următoarele concluzii :

- Caracteristicile de rezistență la tracțiune și de rezistență la răcire a sudurilor realizate prin frecare a berelor din oțel neutru cu 0,45%C nu sunt afectate în mare măsură de parametrii de sudare exceptându-se putind varia în limite destul de largi dacă aceste limite sunt bine alese.

- Încercarea la torsion nu ne dă informații suplimentare asupra îngrijirilor sudurilor prin frecare față de încercarea la tracțiune.

- Insusirile de plasticitate ale sudurilor, caracterizate prin incercarea la indoire, limiteaza varietatea parametrilor regimului de sudare a otelurilor cu 0,45% C. Aceste insusiri pot fi imbunatatite de alegerea regimurilor dure respectiv regimuri cu presiuni de refuzare ridicate.

#### 2.3.2.4. Resistenta la oboseala

Calitatea sudurilor prin frecare se reflecta si in resultatele obtinute in urma incercarii lor la oboseala.

Astfel, la solicitari de oboseala prin incovoiere rotativă barele din oțel 3630 (aceeași cu 40MoCN15) sudate prin frecare și tratat termic se comportă egal sau chiar mai bine decât materialul de bază, fenomen explicat prin finisarea structurii în zone imbinării.

Rezultatele incercărilor la oboseala de torsione a sudurilor realizate din oțelul SAR 3630 (corespondator oțelului 33MoC11) arată o rezistență la oboseala apropiată de cea a materialului de bază ne sudat.

#### 2.4. Alegerea parametrilor regimului de sudare

Elaborarea tehnologiei de sudare presupune determinarea unor valori numerice pentru fiecare parametru de sudare. În cazul sudării otelurilor realizate cu conținut scăzut și mediu de carbon ( $\leq 0,45\%$ ) parametrii regimului de sudare pot varia în limite largi fără a influența semnificativ calitatea sudurilor. Astfel, prin combinarea valorilor parametrilor regimurilor de sudare se poate obține teoretic și experimental un număr mare de soluții posibile de regimuri de sudare. Din acest motiv activitatea tehnologică de sudare presupune optimizarea tehnologiei, adică determinarea celei mai bune decizii tehnologice (regim de sudare), funcție de criteriul (criteriile) luate în considerare. Optimizarea constă în determinarea aceluia regim de sudare pentru care criteriul respectiv are valoarea maximă sau minimă. De

obicei se urmărește determinarea regimului cu consumul energetic minim respectiv regimul cu pierderile minime în bavură.

Optimizarea tehnologiei în cazul sudării prin frecare nu se poate face printr-o metodă analitică directă deoarece, aşa cum s-a văzut în capitolul I al lucrării, între parametrii de sudare nu există relații matematice ci doar relații empirice cu valabilitate condiționată și limitată. Pentru optimizare se poate utiliza o metodă indirectă, spre exemplu, metoda gradientului /37/. Această metodă experimentală pornește de la un regim de sudare oarecare și se apropie, prin îmbunătățiri succesive, de regimul optim, pe direcția gradientului.

Metoda gradientului s-a aplicat, spre exemplu, la determinarea regimurilor de sudare a rolelor de benzi rulante /37/. Parametrii regimului de sudare s-au determinat pentru următoarele trei tipodimensiuni de piese :

D<sub>1</sub> bare (OL50) ⌀ 36x30 mm + țeavă OLT35 ⌀ 35x6x130 mm ;  
D<sub>2</sub> bare (OL37) ⌀ 45x30 mm + țeavă OLT35 ⌀ 42x4x130 mm ;  
D<sub>3</sub> bare (OL37) ⌀ 49x30 mm + țeavă OLT35 ⌀ 45x4x130 mm .

Optimizarea tehnologică s-a efectuat pentru trei din parametrii regimului de sudare și astfel : timpul de frecare, presiunea la frecare și presiunea la refulare. Acești parametri au fost alegi pentru optimizare pe considerentul că influențează cel mai mult calitatea sudurilor. Restul parametrilor s-au menținut constant în timpul experimentărilor la următoarele valori :

- viteza de rotație 1450 rot/min, determinată de performanțele mașinii de sudat prin frecare utilizate ;
- timpul de întirzire la frânare 0,09 secunde ;
- timpul de refulare 2,21 secunde.

Drept criteriu de optimizare s-a considerat rezistența sudurii care trebuie să fie mai mare sau cel puțin egală cu a materialului de bază la valori minime ale scurtării axiale.

Rezistența sudurii s-a apreciat prin încercarea la tracțiune a piezelor sudate nedebevurate. S-au luate în conside-

rare pentru optimizarea regimurilor la care piesele s-au rupt in materialul de baza respectiv in afara sudurii si la care scurterea axială a avut valorile cele mai mici.

**- Optimizarea regimului de sudare pentru tipodimensionarea D1.**

Forma si dimensiunile componentelor de sudat precum si proprietatile fizice si metalurgice ale materialelor de baza recomandă, ca posibile, valorile parametrilor de optimizat prezентate in tabelul 4.

Nr. crt.	$P_f$ da N/mm <sup>2</sup>	$P_g$ da N/mm <sup>2</sup>	$t_f$ secunde
1	2	4	2,2
2	4*	1	7,7
3	6	6*	4,52
4	8	1	3,10

**Tabelul 4. Parametrii regimului de sudare recomandati pentru optimizarea D1**

Optimizarea tehnologică s-a posuit de la regimul ales arbitrar ( 2 ; 3 ; 2 ) care corespunde la  $p_f = 40 \text{ N/mm}^2$ ,  $p_g = 30 \text{ N/mm}^2$ ,  $t_f = 4,52$  secunde.

Prin variația parametrilor cu un pas, în sus și în jos, rezultă regimurile tehnologice care împreună cu rezultatele la tractiune și scurterii axiale se prezintă în tabelul 5.

Perturbând variabilele au rezultat cinci regimuri de sudare. Pieselete sudate cu aceste regimuri au fost incercate la tractiune. La cinci regimuri ruperile s-au produs în materialul de bază. Din aceste cinci regimuri scurterea axială cea mai mică ( 3,10 mm ) a avut-o regimul notat cu ( 2;3;1 ).

Punct	Regimul de sudare			Rezultatele incercării la tracțiune		Sudarea la sudare				Observații
	P <sub>f</sub> (kgf/mm <sup>2</sup> )	P <sub>r</sub> (kgf/mm <sup>2</sup> )	t <sub>f</sub> (sec)	Locul ruperii	F <sub>max</sub> (kgf)	ΔL (mm)	X (mm)	Interval de confidență (mm)	Interval de toleranță (mm)	
(2;3;2)	4	8	4,52	m.b.	23600	3,4				
				m.b.	23700	4,2				
				m.b.	23400	4,1	4,1	3,205 4,995	1,02 7,18	
				m.b.	23600	5,2				
				m.b.	23800	3,5				
(1;3;2)	2	8	4,52	m.b.	22600	2,8				
				sud.	19000	3,2				
				m.b.	23500	2,1	2,3	1,565 3,035	0 5,4	
				sud.	19800	1,3				
				m.b.	23600	2,2				
(3;3;2)	6	8	-52	m.b.	23600	5,3				
				m.b.	23800	5,3				
				m.b.	23600	5,8	5,1	5,587 6,613	4,32 7,88	
				m.b.	22900	5,7				
				m.b.	23650	5,7				
(2;2;2)	4	6	4,52	m.b.	22900	4,1				
				m.b.	23000	3,1				
				m.b.	24700	2,3				
				m.b.	23200	4,1	3,77	2,91 4,63	1,38 5,16	
				m.b.	22650	5,2				
				m.b.	23350	3,8				
(2;3;1)	4	8	3,22	m.b.	23300	3,5				
				m.b.	23800	3,7				
				m.b.	23700	2,3				
				m.b.	23100	2,5	3,10	2,38 3,82	0,75 5,63	
				m.b.	23200	3,2				
				m.b.	22800	4,0				
(2;3;3)	-	8	5,58	m.b.	23900	4,4				
				m.b.	23200	4,9				
				m.b.	24000	5,4	4,87	4,582 5,056	3,23 6,51	
				m.b.	23300	5,2				
				m.b.	23600	5,7				

**OBSERVAȚII:** - Intervalul de confidență și medie sunt calculați pentru o incertitudine  $\gamma = 95\%$ .  
 - Intervalul de toleranță este valoarea diferenței între medie și punctul de extREM.

Alegind regimul ( 2;3;1 ) ca regim de bază, prin același metodologie, se poate concepe cel de-al doilea sistem de optimizare prezentat în tabelul 6.

Punctul	Regimul de sudare			Rezultatul încercărilor la tracțiune		Scurtarea la sudare				Observații
	P <sub>f</sub> (kgf/mm)	P <sub>r</sub> (kgf/mm)	t <sub>f</sub> (sec.)	Locul ruperii	F <sub>max</sub> (kgf)	Δl (mm)	X (mm)	Interval de confidență (mm)	Interval de toleranță (mm)	

(3;4;2) este cu (2;3;1) din primul sistem

(2;3;2)	2	8	3,22	zit	22400	0,7	-	-	-	Nu s-a luat în considerare datele ruperilor la sudură că vor fi mici față
				sud.	17400	3,0				
				sud.	15000	1,5				
(4;4;2)	6	8	3,22	Nu s-a putut realiza.						
(3;3;2)	4	5	3,22	m.b	24900	2,0	2,8	1,63 3,97	0,2 5,4	
				m.b	23300	3,5				
				m.b	23800	2,5				
				m.b	23400	2,9				
				sud.	17500	3,3				
				sud	24900	1,4				
(3;3;1)	4	8	2,30	m.b	23000	3,1	2,18	1,612 2,748	0,11 4,25	
				m.b	23550	2,0				
				m.b	23800	2,0				
				m.b	23000	2,3				
				zit + sud	23100	1,7				
				sud	23150	2,2				

Din tabel se observă că s-au obținut din nou patru regimuri. Dintre acestea, două regimuri ( 3;4;2 și 3;4;3 ) au parametrii identici cu două regimuri prezentate în tabelul 5, deci, deoarece experimentele și urmă ( 4;4;2 ) nu s-a putut realiza datorită performanțelor limitate ale măginii de sudat. Cu restul de trei regimuri s-au făcut suduri și piecele sudate s-au incercat.

la tractiune. Se observă că nici unul din aceste trei regimuri nu satisface cerințele criteriului de optimizare propus deoarece ruperile la tractiune s-au produs în sudură. Din acest motiv vom considera ca regim optim, regimul rezultat din primul sistem de optimizare respectiv ( 2;3;1 ) cu parametrii  $p_f = 40 \text{ N/mm}^2$  ;  $p_p = 30 \text{ N/mm}^2$  ;  $t_f = 3,22$  secunde.

- Optimizarea regimului de sudare pentru tipodimensiunea D2.

Pentru optimizarea parametrilor de sudare a tipodimensiunii D2 s-au propus valorile prezentate în tabelul 7.

Nr. crt.	$p_f$ $\text{kg f/mm}^2$	$p_p$ $\text{kg f/mm}^2$
1	2,5	
2	5,7	
3	7,5	

Tabelul 7. Parametrii regimului de sudare recomandati pentru optimizarea D2

Ca punct (regim) de plecare s-a ales arbitrar regimul ( 2;2;3 ) cu valorile  $p_f = 50 \text{ N/mm}^2$  ;  $p_p = 75 \text{ N/mm}^2$  ;  $t_f = 4,52$  secunde. Prin perturbarea variabilelor, cu cîte un pas, în sus și în jos, s-au obținut regimurile de sudare prezentate în tabelul 8. Tabelul conține și rezultatele la tractiune ale pieselor sudate și încercate precum și scurtarea axială obținută după sudare cu aceste regimuri.

Se observă că din cele șase regimuri rezultate, două ( 3;2;3 și 2;1;3 ) nu s-au putut experimenta datorită capacitatei limitate a mașinii de sudat și s-au obținut două regimuri la care piesele sudate și încercate la tractiune s-au rupt în mate-

iectul	Regimul de sudare			Rezultatele încercărilor la rupere		Scurtarea la sudare				Observații				
	P <sub>f</sub> (kg/mm <sup>2</sup> )	P <sub>r</sub> (kg t/mm <sup>2</sup> )	t <sub>f</sub> (sec.)	Locul ruperii	F <sub>max</sub> (kgf)	Δl (mm)	X (mm)	Interval de confidență (mm)	Interval de toleranță (mm)					
2; 3)	5,0	7,5	4,52	m.b	18750	6,7	7,15	6,49	4,79					
				m.b	18750	6,3								
				zit+sud.	18700	7,4								
				zit+sud	18700	7,7								
				m.b	18400	7,3								
				m.b	18400	7,7								
; 3)	2,5	7,5	4,52	sud.	9100	3,9	-	-	-	Nu s-a luat în considerare datorita ruperilor în sudură la valori mici ale lui F <sub>max</sub> .				
				sud.	9100	4,1								
				sud.	9100	4,2								
				sud.	9100	6,2								
2)	7,5	7,5	4,52	Nu s-a încercat.										
3)	5,0	5,0	4,52	Nu s-a încercat.										
; 3)	5	10	4,52	m.b	18400	7,8	11,6	8,49	0,96					
				m.b	18400	8,4								
				m.b	18100	12,8								
				m.b	18100	13,3								
				m.b	16400	12,0								
				m.b	16400	12,8								
2)	5	7,5	3,22	m.b	19350	5,7	5,62	5,146	4,86					
				m.b	19350	5,9								
				m.b	18600	6,3								
				m.b	18600	5,9								
				m.b	18400	5,0								
				m.b	18400	6,0								
				m.b	18600	4,7								
				m.b	18600	5,5								
; 2)	5	10	3,22	m.b	18500	5,8	5,66	4,71	1,99					
				m.b	18500	5,7								
				m.b	18400	5,3								
				m.b	18400	5,4								
				sud.	18550	6,0								
				sud.	18550	5,2								
				m.b	18300	5,5								
				m.b	18300	6,2								
				m.b	18100	5,9								
				m.b	18100	6,7								

rialul de bază. Din cele două regimuri s-a considerat regimul optim, cel cu scurtaresea mai mică ( $5,62 \text{ mm}$ ), respectiv ( $2;2;2$ ) cu  $p_f = 50 \text{ N/mm}^2$ ;  $p_r = 75 \text{ N/mm}^2$ ;  $t_f = 3,22 \text{ secunde}$ .

**- Optimizarea regimului de sudare pentru tipodimensiunea D2**

Optimizarea a permis de la valorile parametrilor prezentate în tabelul 9.

Nr. crt.	$P_f$ $\text{kg/mm}^2$	$P_r$ $\text{kg/mm}^2$	$t_f$ secunde
1	2	4	3,77
2	4	5	3,77
3	6		

**Tabelul 9. Parametrii regimului de sudare recomandati pentru optimizarea D3**

Ca regim de plecare s-a ales ( $2;3;2$ ) respectiv  $p_f = 40 \text{ N/mm}^2$ ;  $p_r = 80 \text{ N/mm}^2$ ;  $t_f = 4,52 \text{ secunde}$ . Prin perturbarea variabilelor s-au obținut regimurile prezentate în tabelul 10. Din tabel rezultă ca regim optim, conform criteriului emis, chiar regimul de plecare dat de punctul ( $2;3;2$ ).

Din metodologie prezentată se vede că pentru obținerea unor regimuri optime de sudare pentru 3 tipodimensiuni de pieze s-a utilizat doar 20 regimuri de sudare.

Punctul	Regimul de sudare			Rezultatele încercărilor la tracțiune		Scurgere la sudare				Observații
	P <sub>f</sub> (kgf/mm)	P <sub>r</sub> (kgf/mm)	t <sub>f</sub> (sec.)	Locul ruperii	F <sub>max</sub> (kgf)	Δl (mm)	X (mm)	Interval de confidență	Interval de toleranță	
2.3.2	4	8	4,52	m.b	27600	3,2	3,71	3,08	1,21	
				m.b	26700	3,1				
				m.b	23700	3,9				
				m.b	23700	5,1				
				m.b	23300	4,8				
				m.b	23300	4,1				
				m.b	24800	3,5				
				m.b	24800	4,1				
				m.b	26700	2,3				
				m.b	26700	3,0				
3;2)	2	8	4,52	sud.	10100	3,0	-	-	-	Nu s-a luat în considerare datele ruperilor în suduri la valori maxime ale lui F <sub>max</sub> .
				sud.	10100	2,7				
				sud.	14400	2,7				
				sud.	14400	3,4				
3;2)	6	8	4,52	m.b	23500	8,4	6,714	6,24	4,98	
				m.b	23500	10,6				
				m.b	26600	6,5				
				m.b	26600	6,1				
				m.b	23300	7,3				
				m.b	23300	7,3				
				m.b	26600	6,3				
				m.b	26600	5,4				
				m.b	23200	7,4				
				m.b	23200	6,9				
2.2.2)	4	6	4,52	sud.	20000	3,1	-	-	-	Nu s-a luat în considerare datele ruperilor în sudura la valori mici ale lui F <sub>max</sub> .
				sud.	20000	5,1				
				sud.	19000	3,5				
				sud	19000	3,3				
				m.b	24500	2,6				
				m.b	24500	3,5				
2.3.1)	4,0	80	3,22	sud.	24100	1,5	2,66	1,69	0	
				sud.	24100	2,6				
				m.b	22800	1,9				
				m.b	22800	4,1				
				m.b	23350	3,1				
				m.b	23350	2,8				
2.3)	4,0	80	5,68	m.b	26300	3,3	3,90	3,171	1,38	
				m.b	26300	4,2				
				m.b	26100	4,7				
				m.b	26100	3,7				
				sud	26200	2,4				
				sud.	26200	2,6				

Tabelul 10

## 2.5. Controlul calității sudurilor realizate prin frecare

Unii cercetători /38/ consideră că analiză metalografică a sudurii este suficientă pentru aprecierea calității unui lot de piese sudate prin frecare. La sudarea prin frecare datorită deformărilor plastice uniforme și a despărțiri uniforme a căldurii, structura sudurii este superioară cea obișnuită a fabri căilor realizate prin procedee electrice sau cu fascicul de electroni microstructura fiind un criteriu valabil pentru aprecierea calității sudurii.

Elementele geometrice ale unei suduri realizate prin frecare sunt prezentate în schițe din figura 44. Aceste mărimi sunt evidențiate prin examinarea unei secțiuni longitudinale prin piesă sudată, atacată chimic pentru evidențierea macrostructurii. Din punct de vedere geometric se va urmări întotdeauna ca diametrul format de vîrful creștăturii becurii  $D_C$  să fie mai mare decât diametrul  $d$  al piesei sudate și unghiul " $\alpha$ " format de beuria celor două componente sudate să fie cît mai mare. Acestea se realizează prin alegerea corespunzătoare a parametrilor de sudare.

Examinarea macrostructurală mai evidențiază forme și extindere ZIT care este corelată cu valoarea parametrilor de sudare și prezența unor defecte. Aceste defecte sunt, de obicei, de două feluri : defecte de lipsă de legătură (L) și fisuri. Fisurile pot apărea la creștătura becurii (P1), la baza gulerului becurii (P2) și în ZIT (P3) (figura 45).

În continuare se prezintă cîteva exemple din principalele defecte macrostructurale care pot apărea la sudurile realizate prin frecare /39/ :

- în figura 46 se prezintă defectul "lipsă de legătură". Acest defect poate fi cauzat de o scurtare axială insuficientă determinată de un timp de frecare prea mic respectiv de utilizarea unor presiuni de frecare și refuzare prea mici;

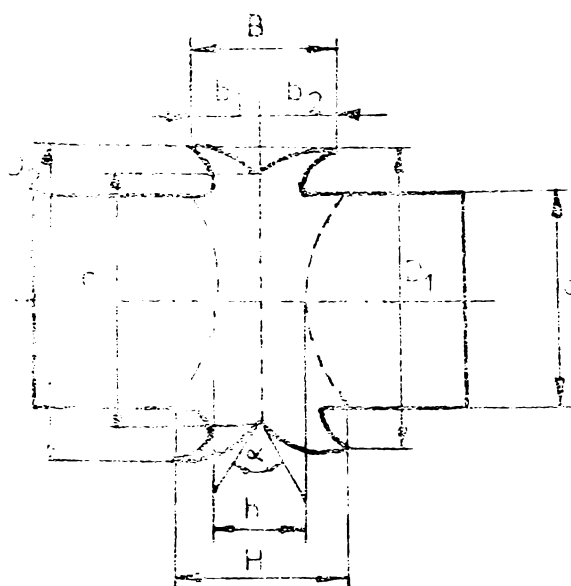


Figura 44. Elementele geometrice ale sudurii realizate prin freccare

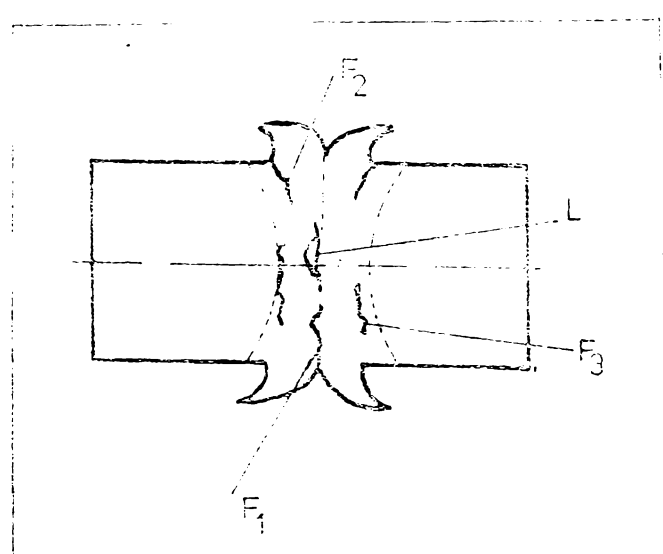


Figura 45. Defecte macrostructurale ale sudurilor realizate prin freccare

- În figura 47 se prezintă o plesă sudetă cu o sondă influențată termic suprafațăle și cu defecte de lipă de legătură spre marginile barelor. Suprafațălăre este ca efect o structură de granulație care respectiv precipitarea unor fosforide în zona sudurii ;



Figura 46. Defect de "lipă de legătură" datorat timpului de freccare prea scurt



Figura 47. Defect datorat suprafațălării

- În figura 48 se prezintă fisuri de tipul F1, F2 și F3 care apar de obicei la sudarea materialelor susceptibile la călire care suferă durificări apreciabile cauzate de ciclul termic de la sudare sau călirea în aer după sudare dacă nu sunt imediat introduse în cuptorul de tratament termic.

Din punct de vedere microscopic se investighează zonele și subzonele sudurii pentru a evidenția defecte microstructurale sub formă de fisuri, prezența constituenților fragili și a compușilor intermetalici de rezistență slabă. În figura 49 se prezintă un strat de lățime mare ( $> 5\mu$ ) de compuși intermetalici apărut la sudarea a două metale diferite și care au efecte negative asupra rezistenței și plasticității sudurii.

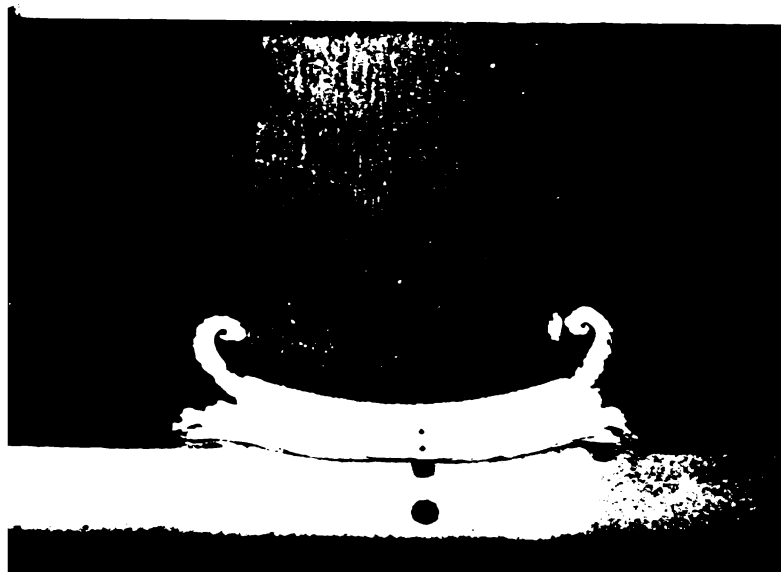


Figura 48. Defecte datorită durificării zonei sudurii

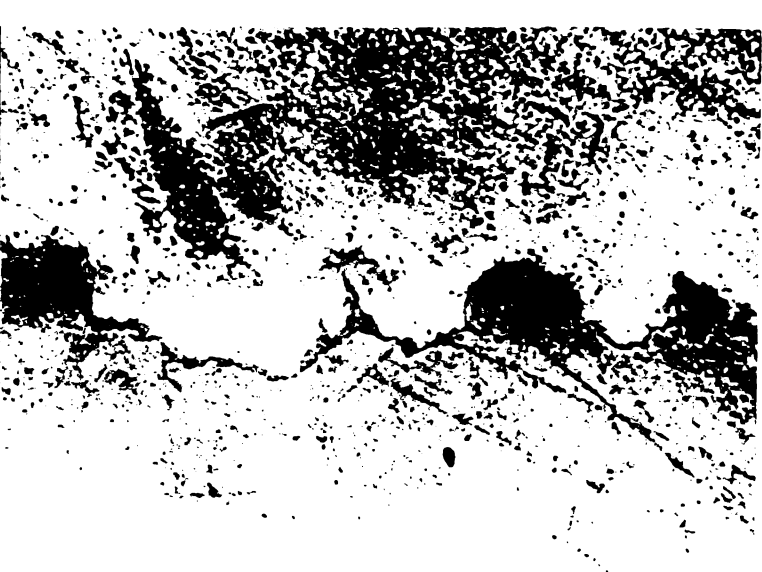


Figura 49. Strat de compuși intermetalici apărut la sudarea a două materiale diferite

Caracteristicile mecanice ale sudurilor realizate prin frecare determinate prin încercări distructive și interpretate statistic dau uneori informații suficiente despre calitatea unui anumit lot de piese. Metodele de control distructiv sunt însă scumpe și greoale. Din acest motiv s-a studiat posibilitățile aplicării unui control nedistructiv. Aplicabilitatea metodelor

clasică nedistructive la controlul sudurilor realizate prin frecare este limitată datorită particularităților geometrice ale sudurilor. Roentgen și gamadefectoscopia precum și metodele magnetice nu dă rezultate satisfăcătoare.

Examinarea ultrasonică, folosind tehnica ecoului longitudinal poate detecta prezența discontinuităților de legătură de la suprafață intermediară nefiind suficient de sensibilă pentru a evidenția zonele cu legături slabe rezultate din condițiile metalurgice ale sudurii. Metoda nu se poate folosi în cazul sudării a două materiale diferite din cauza reflexiei create de schimbarea bruscă a permisibilității mediului de propagare a ultrasunetelor.

In ultimii ani există preocupări pentru elaborarea unei metode de control a parametrilor procesului de sudare prin frecare, bazată pe proprietățile specifice procesului de sudare prin frecare și asuze, reproductibilitatea caracteristicilor mecanice la sudurile executate în condițiile aceluiși regim de sudare. A apărut ideea că o condiție necesară și suficientă pentru obținerea unor proprietăți constante a sudurilor la un lot de piese sudate prin frecare constă în securarea conținerii în limite date a parametrilor procesului.

Experiența utilizării industriale a sudării prin frecare a dovedit că în funcționarea mașinilor de sudat apar abateri de la regimul propus și că limitele acestor abateri sunt uneori de neacceptat. La dereglarea regimului pot concura mai multe cauze : scăderea presiunii în timpul frecării datorită scăderii presiunii aerului în conductele de aer comprimat sau a presiunii uleiului ; modificarea regimului de frânare ce urmare a modificării stării suprafețelor de frecare de la frâne ; o dereglare în funcționarea pupitru lui electric de comandă al mașinii produce dereglares graficului de timp etc.

Aceste observații au dus la concluzia necesității urmăririi în timp a variațiilor parametrilor procesului și chiar compararea periodică a graficului procesului în curs de desfăgu-

rare, cu graficul etalon. De asemenea control se poate face în două variante :

- controlul tuturor parametrilor,
- controlul selectiv a unui număr de parametrii și la limită, a unuia singur.

În măsura cecuri controlul poate fi făcut, pieză cu pieză, sau prin sondaj.

Controlul poate fi activ sau pasiv. Controlul pasiv se limitează la urmărirea parametrilor procesului. Controlul activ presupune un sistem de control care se poate integra într-un sistem de automatizare, care operează corectarea parametrilor în timpul procesului, prin compararea lor permanentă cu valorile programate. Un sistem de control activ se bazează pe posibilitatea obținerii unor variații a unei mărimi electrice, proportionale cu variație unor parametrii ai procesului, variație care aplicată unui sistem de automatizare, operează oprirea mașinii sau chiar corecția parametrilor în timpul procesului.

La elaborarea unui proces cu număr minim de criterii de control în primul rînd trebuie alesă acele criterii care pe de o parte descriu cel mai bine comportarea în exploatare a viitoarei suduri, iar pe de altă parte reflectă cît mai complet variațiile parametrilor de bază ai procesului de sudare.

Un asemenea criteriu îl poate constitui temperatura în zone sudurii și variația acesteia în timp. Acest criteriu reflectă bine desfășurarea procesului de sudare prin frecare în decursul perioadei de încălzire prin frecare. Temperatura în zone intermedii și a piezelor de sudat depinde de viteză de rotație, presiunea de frecare, coeficientul de frecare al suprafețelor, elasticitatea materialului etc. Variația acestor factori este în timpul unui ciclu cît și de la un ciclu la altul poate fi observată analizând oscilograma variației temperaturii în zone sudurii.

Un alt criteriu poate fi scurtarea axială și variația sa în timp. Există un domeniu restrins de valori ale vitezei de deformare plastică care asigură suduri acceptabile.

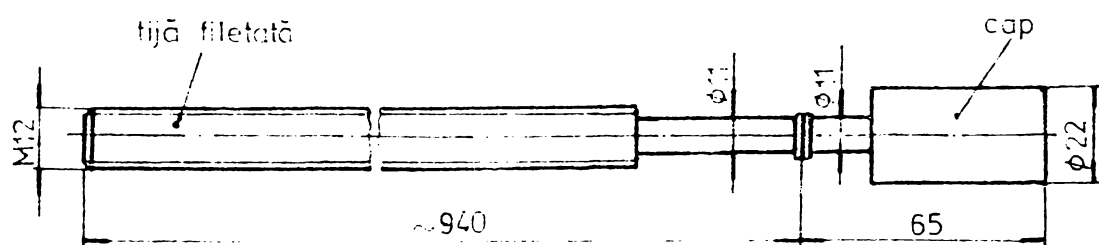
O metodă de asigurare a unei calități constante sudurilor realizate prin frecare constă în aplicarea unui sistem de control prin calculator pentru procesul de sudare /27/. Pentru controlul prin calculator este necesar ca sincronizarea și stabilizarea parametrilor instalației precum și controlul și comanda funcțiilor instalațiilor să fie asigurate de calculator. Un astfel de sistem de control flexibil are menirea de a facilita repetarea cricării configurații dorite a vitezei de rotație sau a forței axiale în timp ce ciclul progresează. Urmând interogarea și stocarea periodică în calculator în timpul procesului de sudare, datele măsurate sunt prelucrate în mod adecvat și elaborate în formă grafică și numerică. Până în prezent s-au creat sisteme programe adecvate pentru mai multe procese de sudare aplicabile la diferite tipuri de materiale. Sistemul constă, în principal, dintr-un program de standardizare și un program de comandă. Legăturile logice din cadrul sistemului-program sunt controlate cu ajutorul unui autoprogramator logic special elaborat. Aceasta traduce legăturile logice și le transformă în instrucțiuni de control. Întrucât legăturile sunt disponibile ca fișe de informații, există posibilități multiple de adaptări.

### **3. Sudarea prin frecare a diferitelor tipuri de piese din oțel și alte materiale**

Capitolul 3 cuprinde rezultatele cercetărilor proprii efectuate cu ceezia stabilirii tehnologiilor de sudare prin frecare a unor tipuri de pieze de diverse tipuri de oțeluri și din alte materiale. Dintre tehnologiile studiate au fost selectate cîteva pentru acest capitol în aşa fel încît să fie prezentate o gamă de tipuri de materiale de bază și diverse forme constructive ale componentelor de sudat.

#### **3.1. Sudarea suruburilor de întindere (51)**

Suruburile de întindere (figura 3.13) sunt piese componente ale unor utilaje agricole fabricate la întreprinderea Tehno-metall Timișoara. Ele sunt executate din oțel 0L50, oțel nealiat cu conținut mediu de carbon de 0,3%.



**Figura 50. Surub de întindere.**

**3.1.1. Sudarea acestor piese s-a făcut cu următorii parametrii :**

- viteza de rotație 1400 rot/min ;
- presiunea de frecare  $100 \text{ N/mm}^2$  ;
- presiunea de refulare  $200 \text{ N/mm}^2$  ;

- timpul de frecare 2,3 secunde ;
- timpul de refuzare 4,2 secunde.

Acest regim de sudare a dat o scurtare axială medie de 9,1 mm.

3.1.2. Pieselete sudate au fost examinate macro și microstructural. Examinarea macrostructurală nu a evidențiat defecțiuni în sudură ; forme zonei influențate termic (figura 3.14) este specifică sudurilor prin frecare obținute cu regimuri dure : îngustă ca extindere și formă de "clepsidră". Revura alungită, de formă neregulată, se datorează faptului că viteza de rotație utilizată (1450 rot/min) a fost de limită inferioară recomandată pentru piesele cu diametrul în zona sudurii de 11 mm (vezi capitolul 2, punctul 2.2.1). În punct de vedere microstructural s-a

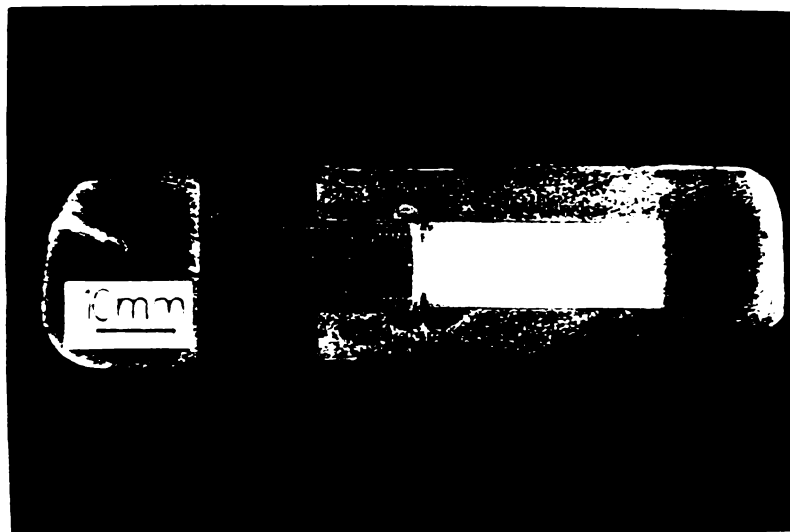


Figura 51. Macrostructura surubului de întindere sudat prin frecare.

observat că cele două componente de sudat au o structură ferito-perlitică în benzi (proporția constituenților 35/65) de granulație diferită :

- capul surubului debosit dintr-o vară laminată de 22 mm diametru, a avut sărișoară grăuntelui ~ 3 (STAS 5490-71) (figura 52) ;

- tija surubului, debită dintr-o bară laminată de 12 mm diametru, a avut o granulație  $\sim 9$  (STAS 5490-71) (figura 53).

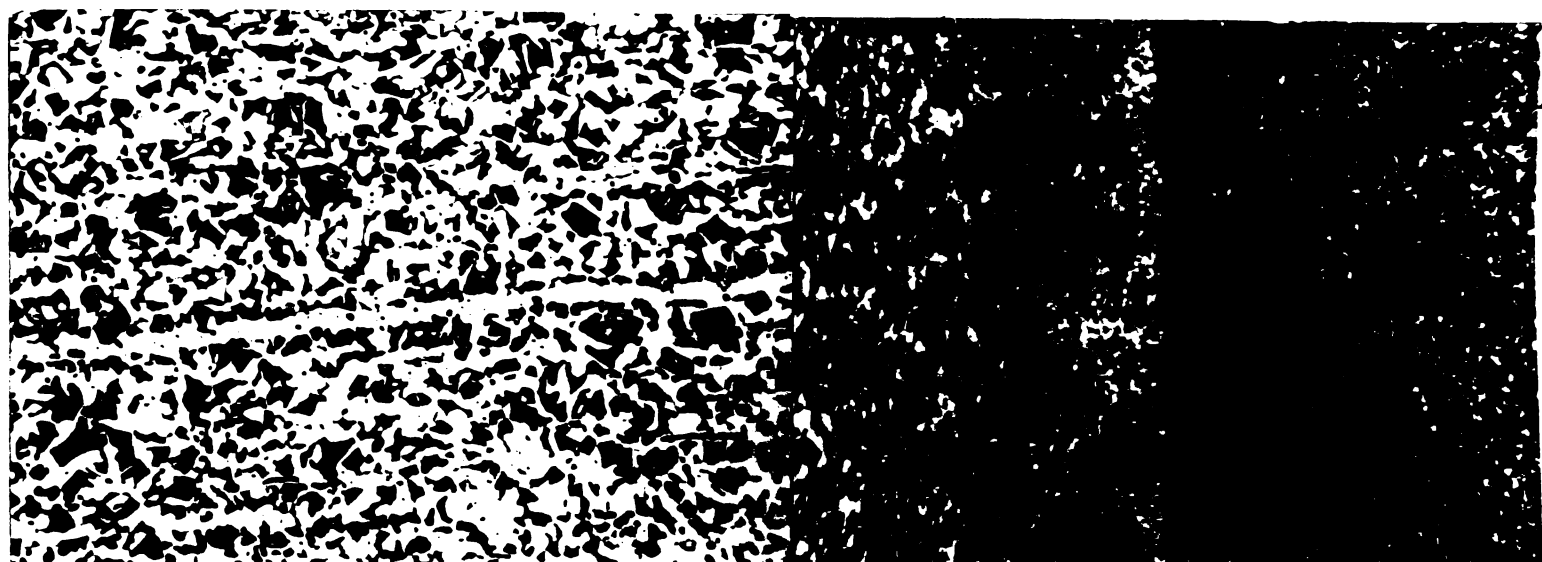


Figura 52. Microstructura capului surubului, x100, Nitel 24

Figura 53. Microstructura tijei surubului, x100, Nitel 24

Diferența de granulație a materialelor celor două componente a avut ca efect apariția în zone centrală și sudurii a unei suprafețe de delimitare a celor două componente, figura 54, fenomen care nu apare la sudarea a două componente, din același oțel și granulație. Ca urmare a ciclurilor termice, în ZIT-urile celor două componente s-a finisat structura (mărimea grăumentului  $\sim 10$ ), s-a modificat proporția constituenților și a apărut ferita seiculeră. Nu s-au observat defecte microstructurale. În lungul



Figura 54. Microstructura sudurii surubului de întindere, x100, Nitel 24

zonelor sudurii s-au efectuat măsurători de duritate (HV5) după două direcții emplasate simetric față de axa piesei la aproximativ  $3/4$  din reză. Din diagrama de variație a durităților (figura 55) se observă că trecerea de la duritatea materialului capului șurubului (164,4 HV5) la duritatea tijei (219,75 HV5) se face prin sudură lin, fără o durificare a sudurii.

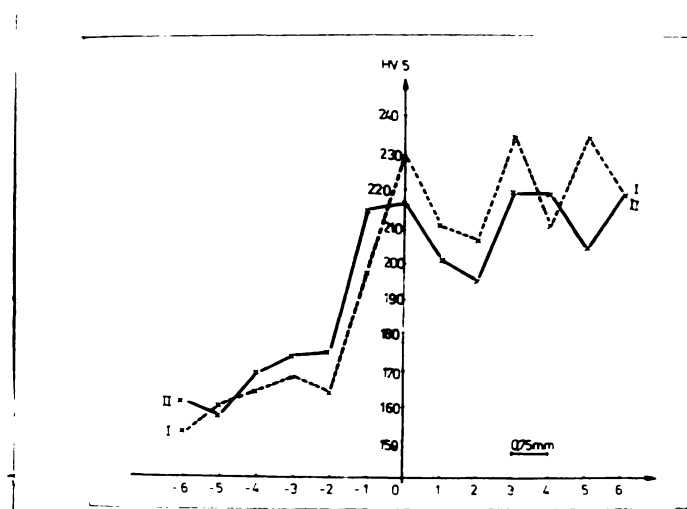


Figura 55. Variația durităților în zonele sudurii.

Aspectul microstructural și duritățile determinate în sudură nu au indicat existența constituenților fragili respectiv necesitățea unui tratament termic după sudare.

3.1.3. Piezele sudate au fost încercate la tracțiune. Ruperile s-au produs în materialul de bază al capului șurubului, în afara ZIT, la o valoare medie de  $687 \text{ N/mm}^2$ .

3.1.4. Înainte de a fi sudate prin frecare șuruburile de întindere au fost prelucrate prin aşchieră din baza de diametru capului șurubului. Prin aplicarea procedeului se reduce consumul de oțel cu 35...45% și manopera cu 60...70% (în funcție de lungimea tijei) pentru fiecare piesă.

### 3.2. Sudarea rolelor de benzi rulante transportoare /52/

Sudarea prin frecare a rolelor de benzi rulante s-a studiat cu scopul înlocuirii procedeului de sudare manuală a acestora. Pregătirea componentelor pentru sudare (figura 56 ) este mai economică în cazul sudării prin frecare.

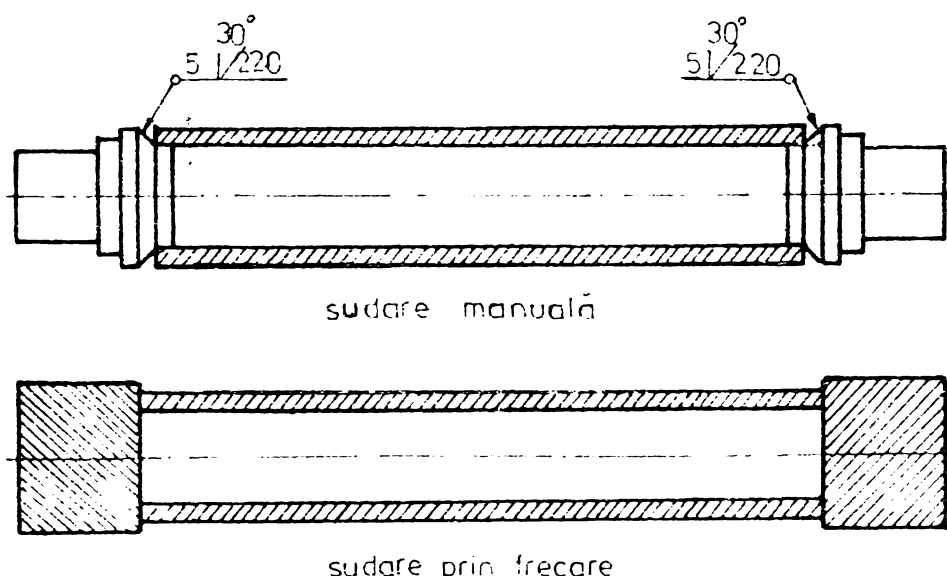


Figura 56. Forma componentelor rolelor înainte de sudare.

Componentele intermediare ale rolelor sunt confecționate din țevi de uz general pentru construcții și instalații (OLT35), iar capetele din bare lazinete din oțel OL37 și OL50. Dimensiunile componentelor, compoziția chimică și caracteristicile mecanice ale materialelor de bază utilizate sunt prezentate în tabelul 11.

Valorile pentru compozitie chimică și caracteristicile mecanice prezentate în tabelul 19 se înscriu în limitele prevăzute de standardele în vigoare.

3.2.1. Parametrii regimului de sudare s-au stabilit folosind metoda de optimizare prezentată în capitolul 2 paragraful 2.4. Valorile considerate optime sunt prezentate în tabelul 12.

Nr. crt.	Material	Compoziția chimică, %					Caracteristice mecanice			
		C	Mn	Si	P	S	Rc N/mm <sup>2</sup>	Rm N/mm <sup>2</sup>	A %	Z %
1	Cep $\varnothing 36$	0,37	0,55	0,51	0,019	0,019	359	578	26	53,9
2	Teava $\varnothing 35 \times 6$	0,08	0,51	0,26	0,010	0,010	270	404	34,5	-
3	Cep $\varnothing 45$	0,21	0,59	0,27	0,036	0,029	280	401	31,3	70,9
4	Teava $\varnothing 42 \times 4$	0,13	0,40	0,29	0,015	0,017	330	488	34,6	-
5	Cep $\varnothing 48$	0,21	0,58	0,26	0,034	0,019	278	379	43	67,9
6	Teava $\varnothing 45 \times 4$	0,07	0,33	0,05	0,017	0,026	186	303	45	-

**Tabelul 11. Compoziția chimică și caracteristicile mecanice ale materialelor utilizate**

Timpul îmbinării	Regim	Parametrii de sudare					Valoarea medie a scurtării mm
		n rot/min	p. freq N/mm	p.ref. N/mm <sup>2</sup>	p.freq. s	p.ref. s	
D1 bare $\varnothing 35$ , OL 50+ tevi $\varnothing 36 \times 6$ , OL 35	optim RO	1450	40	80	3,22	2,21	3,1
	comparativ RC			50			-
D2, bare $\varnothing 45$ , OL 37+ tevi $\varnothing 42 \times 4$ , OL 35	optim RO	1450	50	75	3,22	2,31	5,9
	comparativ RC			100			-
D3 bare $\varnothing 48$ , OL 37+ tevi $\varnothing 45 \times 4$ , OL 35	optim RO	1450	40	40	4,52	2,21	3,7

**Tabelul 12. Parametrii regimului de sudare prin frecare a rolelor**

În lucrare s-a urmărit și influența forței de refulare asupra mărimiilor grăuntelui cristalin. Astfel regimurile optime notate cu (RO) s-au comparat cu regimuri care au presiuni de refuire cu un pas mai mic sau mai mare (notate cu RC - regim de comparație) decât cele ale regimului optim.

3.2.2. Pieselete sudate su fost examinate macro și microstructural. Aceste examinări su arătat că sudurile realizate su întâi defecte. In figura 57 este prezentată macrostructura sudurii realizată cu RC pentru tipodimensiunea D1.

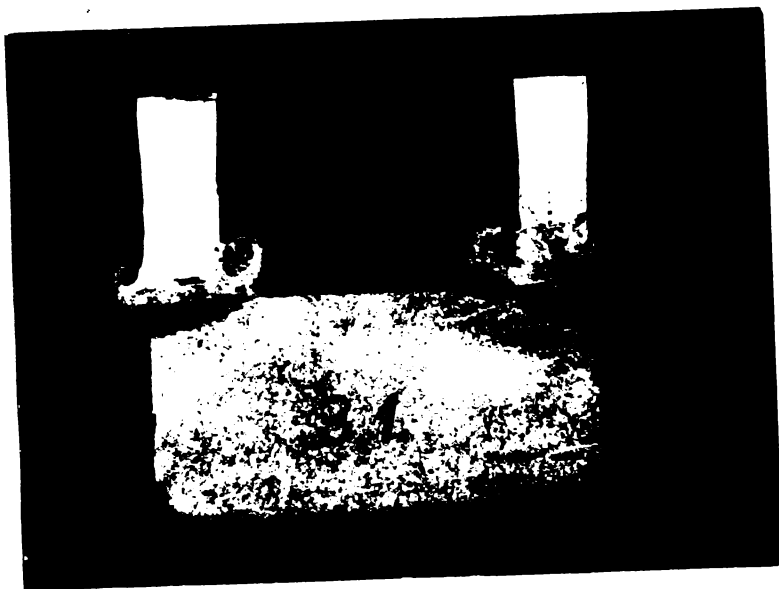
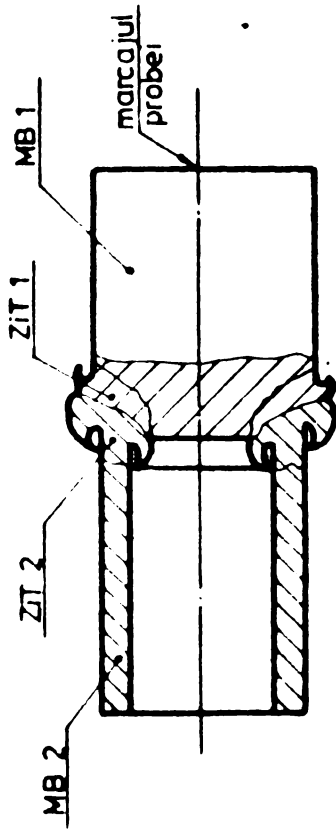


Figura 57. Macrostructura sudurii D1, Ritel 104

Examinarea la microscop a sudurilor a evidențiat o structură ferito-perlitică la care diversele zone su întâi delimitate prin mărimea diferită a grăunțelui cristalin și proprietăți diferite a constituenților strucțurali conform tabelului 13.

In capitolul 2 paragraful 2.2.3 se arătat influența presiunii de refuzare asupra calității sudurii. Pentru a urmări modul cum influențează presiunea de refuzare mărimea grăunțelui cristalin, tipodimensiunile D1 și D2 au fost sudate cu regimurile de comparație RC, la care presiunea de refuzare a fost mai mică cu un pas (paragraful 2.4) la D1 și mai mare cu un pas la D2.



Marcajul probei	Zona examinată	Atac chimic		Examinări microscopice (100:1)		Figura nr :	Observații
		Micro	Macro	Constituenti STAS 7626 - 66	Proportie constituenți STAS 7626 - 56		
3-1 D1 - RO	Boră MB 1			ferită și perlită	30 / 70	6	
	Boră ZIT 1	Nital 2%	Nital 2%	perlita și ferită	60 / 40	7-8	
	Teavă MB2			ferită și perlita	15 / 85	6-7	detecte de sudare
	Teavă ZIT 2			ferită și perlita	20 / 80	9	
	Zonă sudurii			ferită și perlită	5 / 85	-	
3-1 D1 - RC	Boră MB 1			ferită și perlita	35 / 55	6-7	
	Boră ZIT 1	Nital 2%	Nital 10%	perlita și ferită	80 / 20	7	
	Teavă MB2			ferită și perlita	15 / 85	6-7	nu se observă detecte de sudare
	Teavă ZIT 2			ferită și perlita	20 / 80	8	
	Zonă sudurii			ferită și perlită	5 / 85	-	
3-4 D2 - RO	Boră MB 1			ferită și perlita	35 / 65	6-7	
	Boră ZIT 1	Nital 2%	Nital 10%	perlita și ferită	80 / 20	7-8	
	Teavă MB2			ferită și perlita	10 / 90	5	nu se observă detecte de sudare
	Teavă ZIT 2			perlita și ferită	65 / 35	6-7	
	Zonă sudurii			ferită și perlita	15 / 85	7	
3-6 D2 - RC	Boră MB 1			ferită și perlita	30 / 70	6-7	
	ZIT 1	Nital 2%	Nital 10%	perlita și ferită	65 / 35	7	
	Teavă MB2			ferită și perlita	35 / 90	6-5	nu se observă detecte de sudare
	Teavă ZIT 2			ferită și perlita	20 / 90	6	
	Zonă sudurii			ferită și perlita	15 / 85	16	

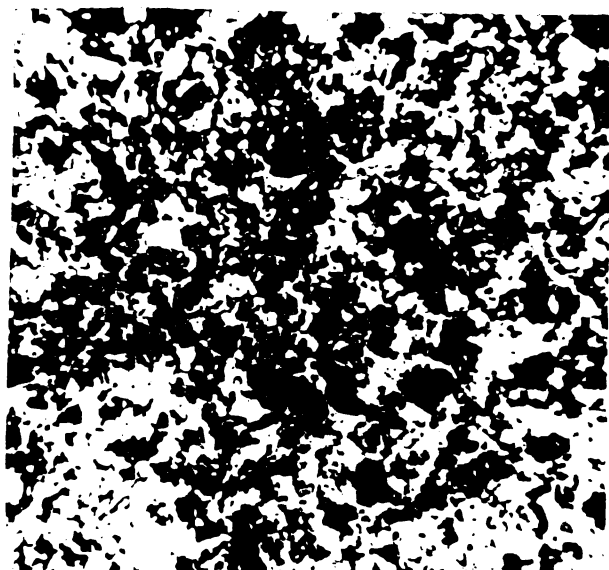


Figura 58. Microstructura ZIT la D1, RC (x100, atac Nitral 25)

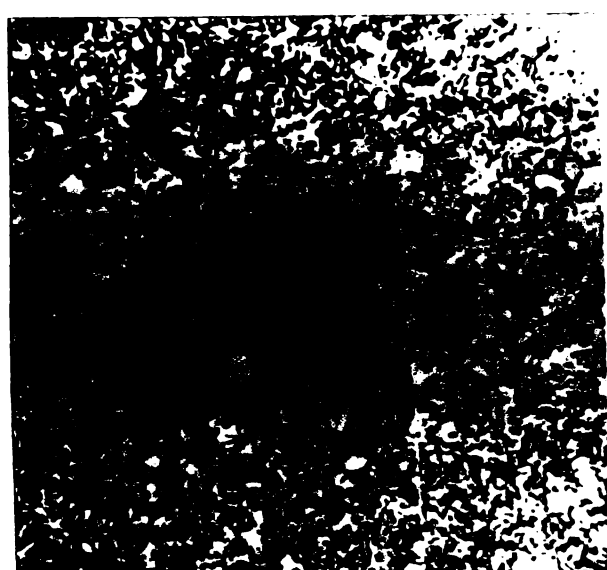


Figura 59. Microstructura ZIT, la D1, RO (x100, atac Nitral 25)



Figura 60. Microstructura ZIT la D2, RO (x100, atac Nitral 25)



Figura 61. Microstructura ZIT la D2, RC (x100, atac Nitral 25)

Mărimea presiunii de refuzare are ca efect micșorarea granulației. Dependența dintre mărimea grăuntelui, regimul de sudare utilizat și zona examinată se prezintă în diagramele din figura 62.

3.2.3. Piezile sudate cu regimurile recomandate au fost supuse la încercarea de tracțiune. Încercarea s-a efectuat pe pieze sudate la ambele capete și nedebururate, așa cum lucrează în exploatare. Ruperea s-a produs în toate cazurile în materialul țevii (figura 63) în afara zonelor influențate termic.

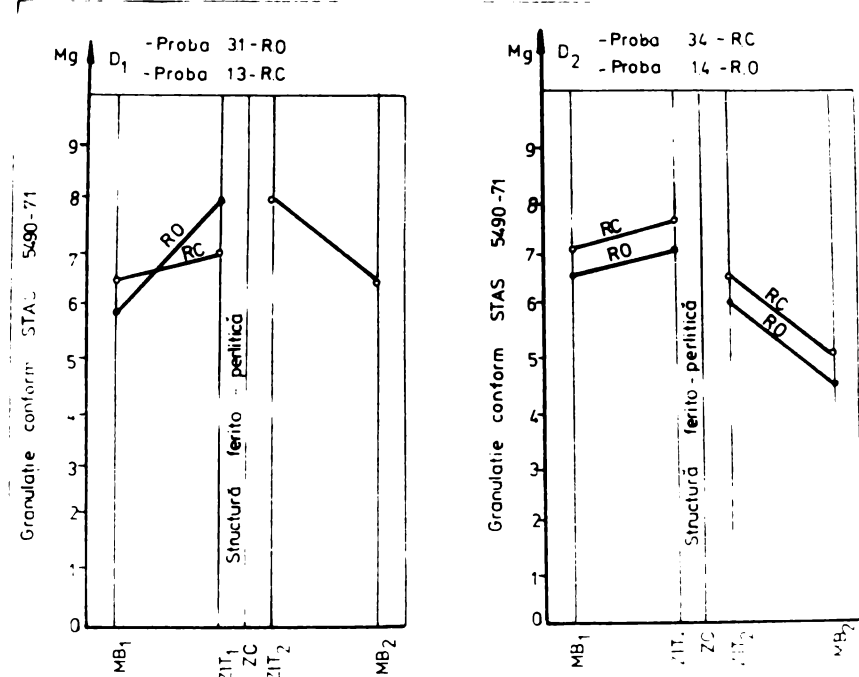


Figura 62. Dependența dintre mărimea grăunțelui, regimul de sudare și zona examinată.



Figura 63. Rolă sudată prin frecare încercată la tractiune (tipodimensiune D2)

3.2.4. Aplicarea sudării prin frecare la realizarea rolelor de benzi rulante la întreprinderea UNIO Satu Mare a avut ca efect obținerea unor importante economii de energie electrică, manoperă și materiale. Astfel la o producție de 1050 role/zi s-au obținut următoarele economii : 51.075 ore manoperă sudură/an, 95500 kWh/an și 31,5 tone electrozi/an. Din calculul de eficiență efectuat a rezultat că un ax sudat prin frecare costă de 3,2 ... 3,75 ori mai puțin (funcție de tipodimensiune) decât un ax sudat manual.

### 3.3. Sudarea tarozilor de mașină /53/

Sudarea prin frecare a tarozilor de mașină (figura 64) este utilă în două situații :

- la realizarea tarozilor cu coadă curbă din terozi scurți și,
- la recondiționarea tarozilor rupti cind ruperes se produce în coadă.

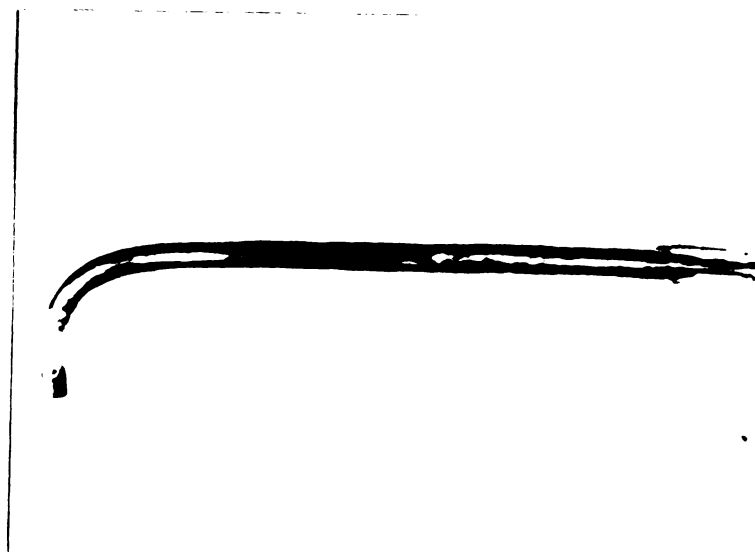


Figura 64. Tarod de mașină.

Cozile de tarozi sunt confectionate din otel OLC45. Otelul OLC45 este un otel nealiat cu conținut mediu de carbon care se utilizează în stare normalizată, îmbunătățită sau după călirea superficială a pieselor. Compoziția chimică a acestui otel, conform standardului, variază în limitele : C = 0,42...0,49%; Mn = 0,5...0,3%; Si = 0,17...0,37; P<sub>max</sub> = 0,040%; S<sub>max</sub> = 0,040%; Cr = 0,30%; Ni max.0,30%; Cu = 0,30%; Ti max.0,05%.

Experimentările de sudare s-au efectuat pe bare lamine de 12,5 mm, 14 și 16 mm diametru. Compoziția chimică a materialului de bază utilizat s-a încadrat în limitele sus-menționate. Examinările structurale pe un lot mare de bare au evidențiat existența mai multor structuri în materialul de bază. În principal s-au reacționat două tipuri de structuri: una constituită din sorbită și martensită (figura 65) și cealaltă ferito-perlitică în rețea (figura 66). Măsurările de duritate au confirmat aspectul microstructural: barele cu structură sorbitică și martensitică au durități între 50 și 55 HRC iar cele cu structură ferito-perlitică au durități între 30 și 33 HRC.



Figura 65. Microstructura materialului cozii de tarod, x100,  
Nitul 26



Figura 66. Microstructura materialului cozii de tarod, x100,  
Nitul 26

Neomogenitatea structurală a materialului de bază datorată neomogenității tratamentului termic se reflectă în valorile disperse ale caracteristicilor mecanice ale acestuia. Astfel, rezistența la rupere  $R_u$  a variat de la  $600 \text{ N/mm}^2$  la  $1900 \text{ N/mm}^2$ .

Tabel 14. Regimurile de sudare, selecționate dintre regimurile experimentate pe baza rezultatelor la tracțiune, sunt prezentate în tabelul 14.

Nr crt.	Dimensiune terod mm	Tip oțel	Parametrii regimurilor de sudare					Scurtare axială ramă		
			Turatie rot./min	P frecare N/mm <sup>2</sup>	Prefulcare N/mm <sup>2</sup>	frecare/trefulcare		x	Interval confidențial	
						s	s		L	U
1	φ 125	OLC 45	1450	100	200	2,30	2,21	5,20	4,89	5,50
2	φ 14	OLC 45	1450	80	160	2,30	2,21	3,28	2,90	3,59
3	φ 16	OLC 45	1450	80	160	3,10	2,21	4,70	4,40	5,00

Tabelul 14. Parametrii regimurilor de sudare a terozilor de magină

3.3.2. Macrostructurile sudurilor realizate cu cele trei regimuri nu evidențiază defecte având aspectul asemănător cu cel present în figura 67.



Figura 67. Macrostructura sudurii terod φ 14 mm, Nitel 106

Din punct de vedere microstructural, la toate tipo-dimensiunile de componente studiate, s-au întîlnit trei cazuri în funcție de structura materialului de bază :

- 1 - ambele componente au avut o structură ferito-perlitică ;
- 2 - ambele componente au avut o structură formată din martensită și sorbită

3 - o componentă prezintă o structură ferito-perlitică și ocazională cu martensită și sorbită.

In cazul 1, ciclurile termice și mecanice care acționează în timpul procesului de sudare au ca efect o finisare a structurii și în zona centrală cît și în zone influențate termic (figura 68 și 69). In zona centrală nu se poate distinge o suprafață netă de treiere de la o componentă la alta, mărimea grăunțelui scade de la zona centrală (mărime ~ 8), spre zone influențate termic (mărime ~ 9) iar ferita și perlita au o tendință accentuată de globulizare (figurile 68 și 69 comparativ cu 65).



Figura 68. Microstructură zonei centrale tarod 9 12, x500,  
Nital 2%

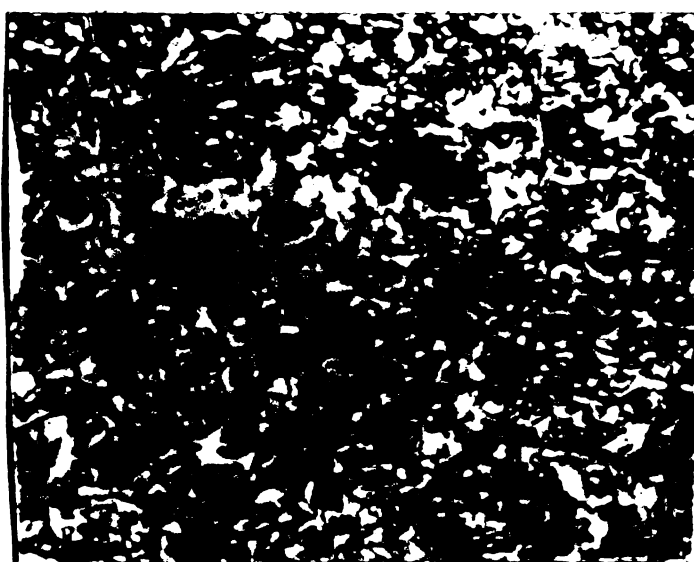


Figura 69. Microstructură ZIT,  
tarod 9 12, x500, Nital 2%

In cazul 2, se manifestă ocazional proces de finisare a structurii zonei centrale și ZIT-ului comparativ cu structura materialului de bază ca și în cazul 1. In zona centrală (figura 70) structura este formată din martensită și sorbită coexistând o delimitare a trecerii de la o componentă la alta. In ZIT nu mai apare martensită, structura fiind formată din sorbită și ferită (figura 71).

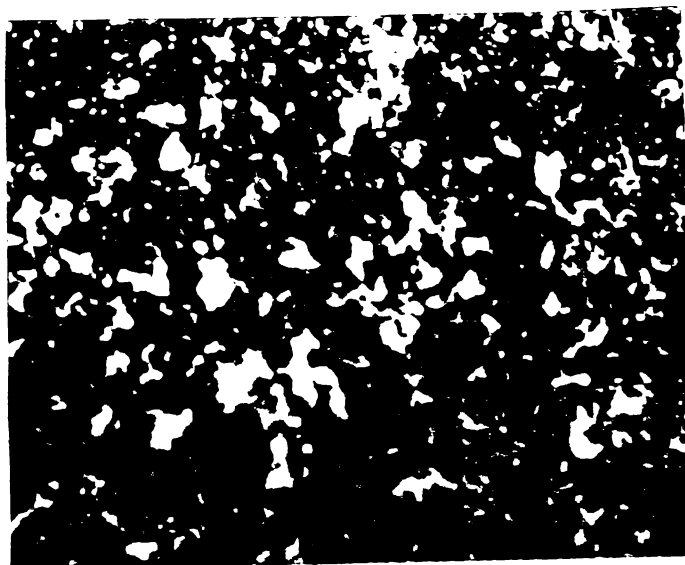


Figure 70. Microstructure zonei centrale tarod # 14, x500,  
Fital 25

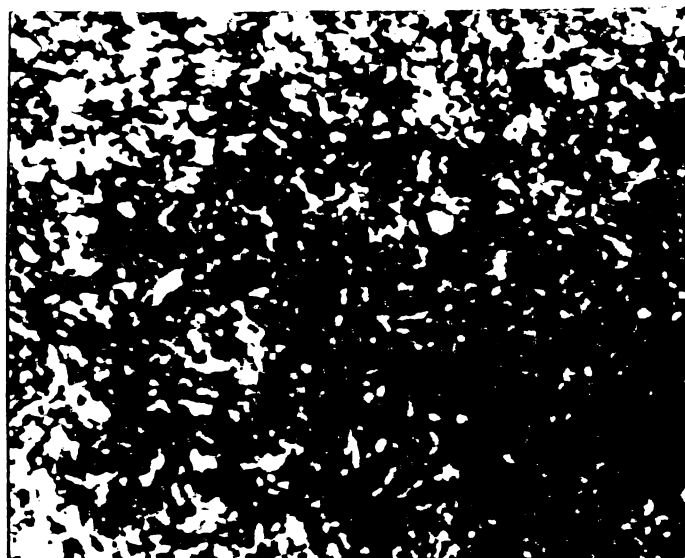


Figure 71. Microstructure ZIT,  
tarod # 14, x500, Fital 25

In cazul 3 structurile diferite ale materialelor celor două componente au ca rezultat obținerea unor suduri asymetrice din punct de vedere structural. Astfel, spre materialul de bază ferito-perlitic, zona influențată termic are o structură ferito-perlitică de granulație fină (mărime grăunte  $\sim 10$ ), granulație care crește spre zona centrală ( $\sim 9$ ) și apar formăriuni de sorbită. Cantitatea de sorbită crește și pe măsură ce înaintăm spre zona influențată termic a celeilalte componente sporește mertensita. Structurile, corespunzătoare fiecărei zone, au aspectul asemănător cu cele prezентate în figurile 68 ... 71.

Diagrama de variație a durităților de-a lungul zonelor sudurii în cazul 1, figura 72, arată că duritățile au o disperzie mică cu valori apropiate de 300 HV1, putindu-se delimita mai greu zonele sudurii.

In cazul 2, materialele de bază au constituenți struc- turali de duritate ridicată ( $\sim 500$  HV1). Duritatea scade spre zone influențată termic, figura 73, și crește brusc spre zona centrală. Diferența între duritatea maximă și cea minimă depășește 300 HV1 ceea ce indică o durificare puternică a sudurii.

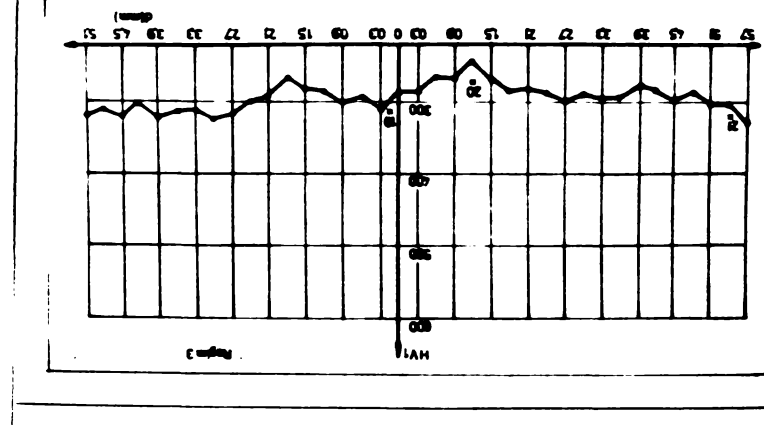


Figura 72. Variatia duritatilor in sectiune longitudinala a berelor sudate in cazul 1.

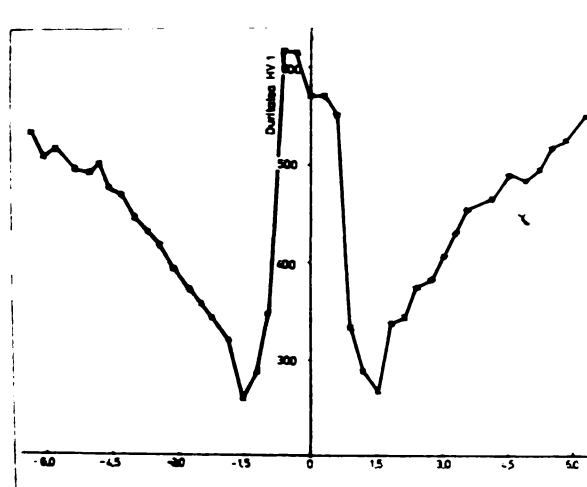


Figura 73. Variatia duritatilor in sectiune longitudinala a berelor sudate in cazul 2.

Pieselete sudate în cazul 3, la care o componentă are structură ferito-perlitică și cealaltă cu sorbită și martensită au fost tratate termic prin revenire după sudare (încălzire timp de o oră la  $400^{\circ}\text{C}$  urmată de răcire în aer). Diagrama de variație a durităților la piesele sudate și revenite este prezentată în figura 74. Din diagramă se poate vedea că tratamentul termic de revenire a eliminat complet durificarea sudurii și curba de variație a durităților evidențiază o trecere lină, prin sudură, de la componentă mai dură spre cea mai puțin dură.

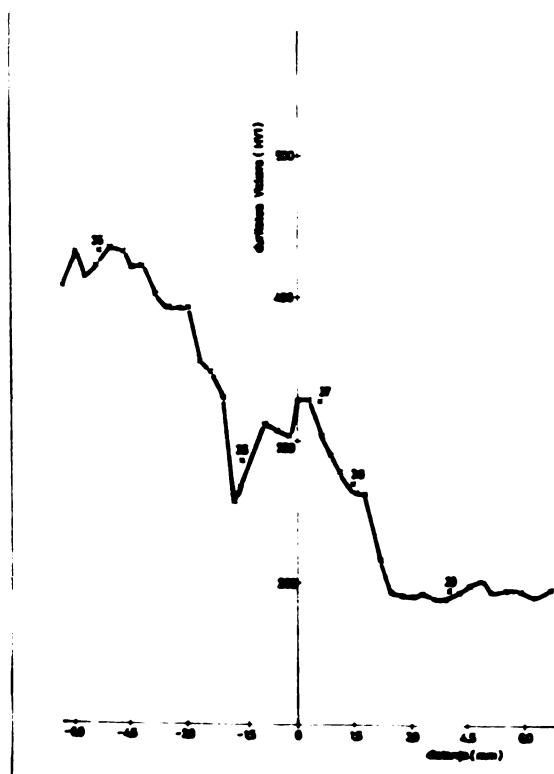


Figura 74. Variația durităților în secțiunea longitudinală a barelor sudate în cazul 3.

Din cele prezentate, se poate trege concluzia că o dată cu creșterea conținutului în carbon la oțelurile nealiate pentru obținerea unor suduri prin frecare corespunzătoare din punct de vedere structural, pe lângă compoziția chimică a materialului de bază o importanță deosebită o are structura metalografică și în special omogenitatea ei. Pentru oțelul CLC45,

cele mai bune rezultate se pot obține dacă materialul de bază are o structură ferito-perlitică omogenă. În acest caz nu e nevoie de tratament termic după sudare.

3.3.3. Neomogenitatea structurală a materialului de bază conduce la o comportare la sudare diferită. Acest aspect se reflectă și în rezultatele la încercările mecanice ale pieselor sudate. Astfel rezistența la tracțiune variază în limite largi de la  $550 \text{ N/mm}^2$  la  $1190 \text{ N/mm}^2$  și la o mulțime de epruvete ruperile s-au produs în sudură la valori mai mari decât de rupe-riilor produse în materialul de bază îngreunând interpretarea rezultatelor.

3.3.4. Până la utilizarea sudării prin frecare tarzii rupti în coadă nu se recondiționează. Prin aplicarea proce- deului la întreprinderea de șuruburi Bucău se pot obține econo- mii de materiale de aproximativ 415.800 lei/an.

3.4. Sudarea arborelui cu cane de la autotrenioanele,  
"ROMAN" /54/

Ambale componente ale arborelui cu cane, figura 75, sunt executate din piese forjate din OLC60, oțel de calitate, nealiat, cu conținutul în carbon cuprins între 0,57 și 0,65%, care se utilizează în stare normalizată sau îmbunătățită.

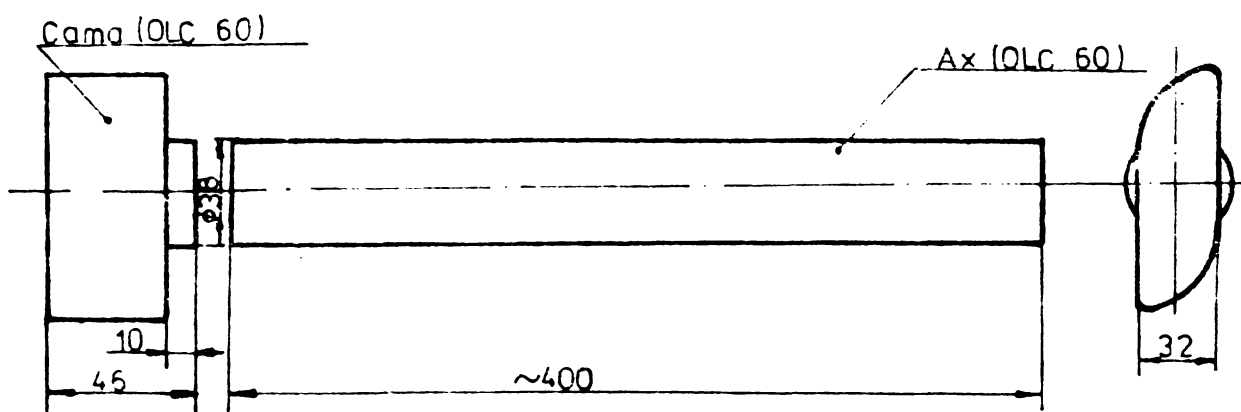


Figura 75. Forma componentelor de sudat

Componentele de sudat, cu compoziție chimică în limitele prevăzute de standarde (STAS 320-80), au o structură ferito-perlitică cu proporție constituentilor  $\sim 50/50$  și mărimea grăunțelor  $\sim 6$  iar duritatea cuprinsă între 176 și 186 HV.

3.4.1. În urma experimentărilor preliminare de sudare s-a propus următorul regim de sudare :

- viteza de rotație : 1460 rot/min
- presiunea de frecare :  $40 \text{ N/mm}^2$
- presiunea de refuzare :  $30 \text{ N/mm}^2$
- timp de frecare : 4,16 secunde
- timp de refuzare : 3,2 secunde
- scurtarea medie : 6,24 mm

Sudurile realizate au fost studiate din următoarele puncte de vedere :

- aspect metalografic ;
- încercarea la tracțiune statică ;
- încercarea la răsucire statică.

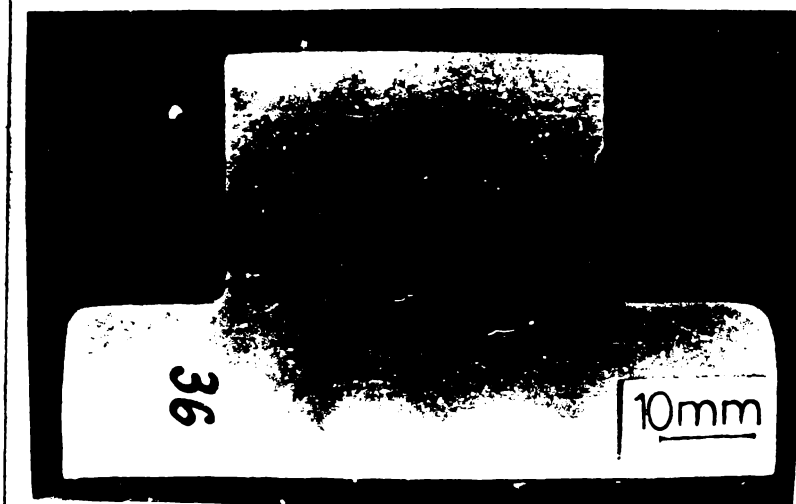
3.4.2. Din punct de vedere metalografic piesele sudate s-au studiat în două variante :

- fără tratament termic după sudare
- cu tratament termic de îmbunătățire după sudare (călire la  $320^\circ\text{C}$ , 40°, răcire în ulei și revenire la  $530^\circ\text{C}$ , 1 oră, răcire în aer).

Examinarea macroscopică a piezelor sudate și debuvrate nu a evidențiat defecte, figura 76.

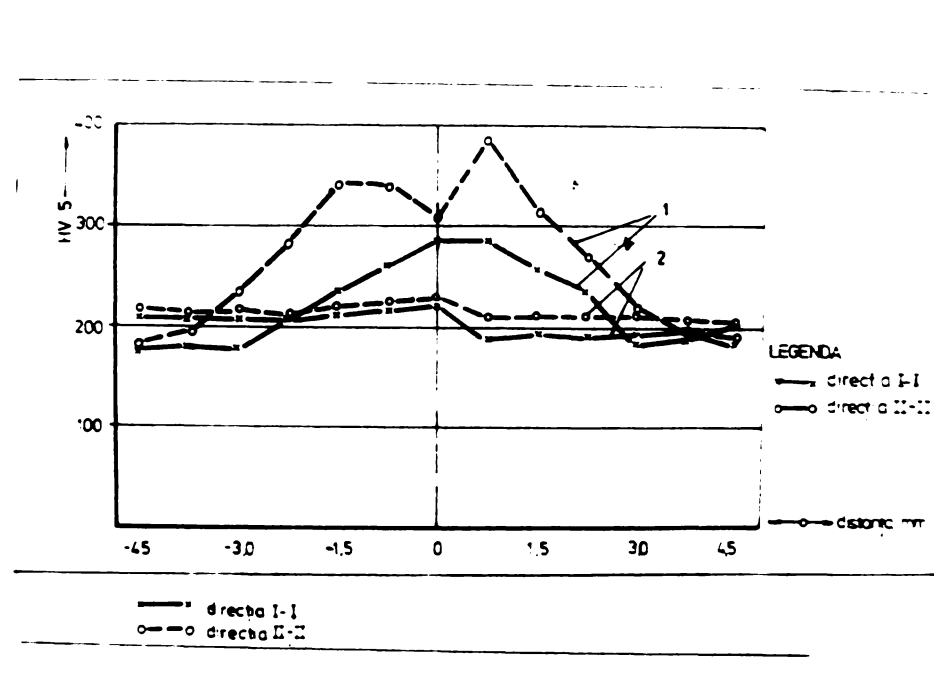
In casul piezelor netratate termic după sudare structura zonei influențate termic se compune din perlită, ferită, sorbită și beinită cu grăunți fini, de mărime 3 - 9 iar zona centrală din sorbită și ferită de granulație mai fină, mărime  $\sim 10$  (STAS 5490-71).

Aplicarea tratamentului termic de îmbunătățire piezelor sudate are ca efect transformarea constituentilor sorbită și beinită în perlită și ferită de granulație fină cu mărimea grăunților  $\sim 9$  în zona influențată termic și  $\sim 10$  în zona centrală.



**Figura 76.** Macrostructura arborelui cu cale sudat prin frecare.

Fisurătorile de duritate de-a lungul zonelor sudurii arată o creștere a durătății spre zona influențată termic și zona centrală la piesele netratate după sudare (curba I, figura 77) și duritate constantă în toate zonele la piesele îmbunătățite după sudare (curba II, figura 77).



**Figura 77.** Variatia durătăților de-a lungul zonelor sudurii : curba I pentru piese sudate și netratate termic și curba II pentru piese sudate și îmbunătățite.

3.4.3. Piecele sudate și debavurate au fost încercate la tracțiune. Încercarea s-a efectuat cu ajutorul dispozitivului prezentat schematic în figura 78.

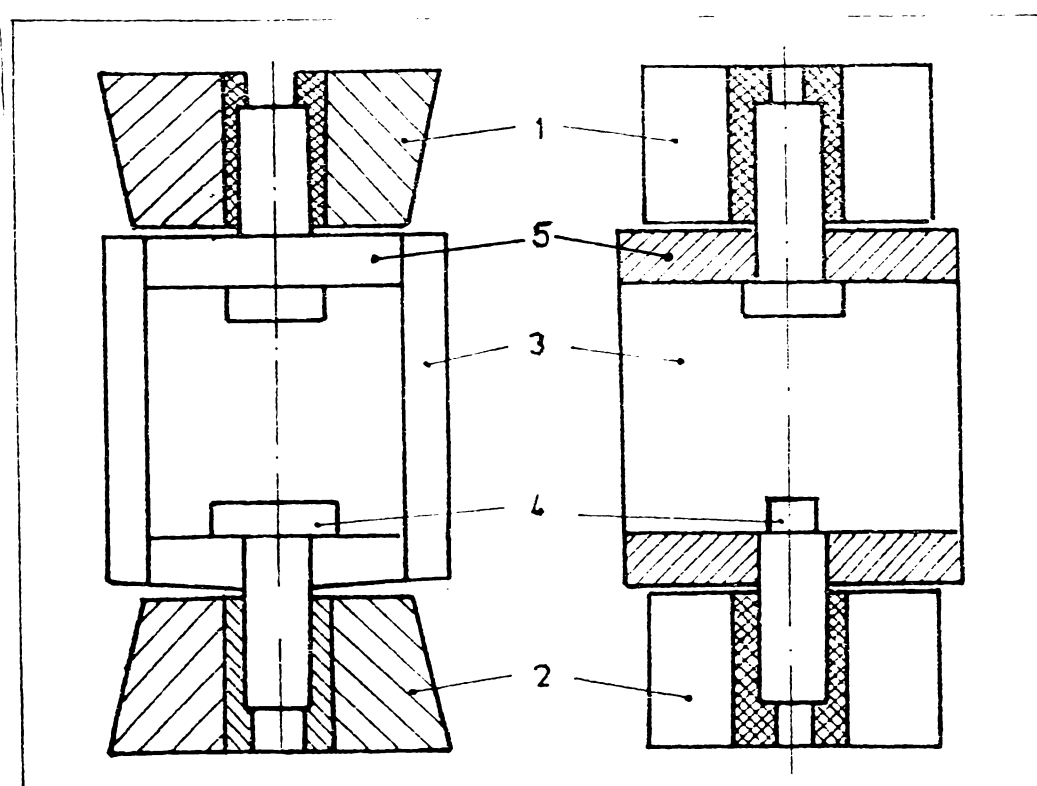


Figura 78. Schema dispozitivului de încercat la tracțiune :

- 1 - băcurile superioare ale mașinii de tracțiune ;
- 2 - băcuri inferioare ; 3 - cadru dispozitiv ;
- 4 - piesă sudată ; 5 - placă suport

Încercarea s-a efectuat cu cinci piese sudate cu regimul menționat. Toate piesele supuse la tracțiune s-au rupt în materialul de bază având aspectul ca în figura 79.

Pieselete sudate și debavurate au fost încercate și la răsucire statică. Pentru încercare s-au utilizat tot cinci piese. Superile s-au produs în materialul de bază la unghiuri de răsucire între 620 și 690 grade și momente de torsionă între 1040 și 1400 Nm. Aspectul epruvetelor în urma încercării la răsucire statică este prezentat în figura 30.

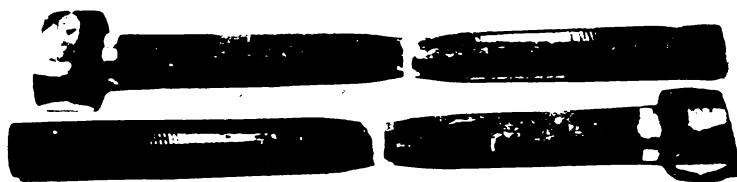


Figura 79. Piese în urma încercărilor de tractiune statică

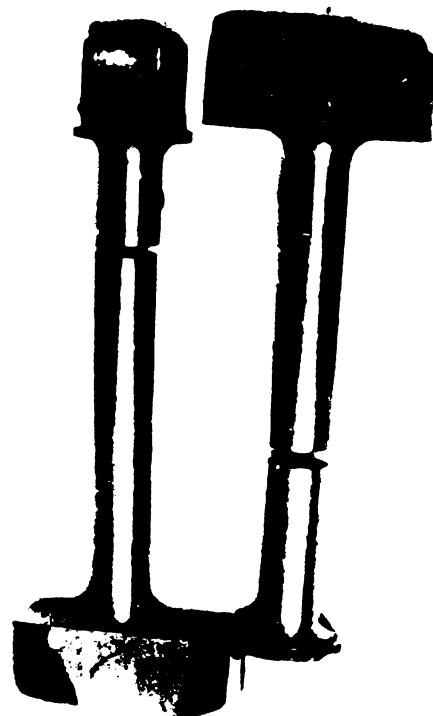


Figura 80. Piese în urma încercărilor de răsucire statică.

3.4.4. Realizarea arborelui cu came din două componente sudate între ele prin frecare are următoarele avantaje :

- simplifică operația de forjare prin simplificarea formei piesei brute, forjarea putindu-se executa pe piese automate verticale, de cadență mare, crescînd productivitatea muncii și reducîndu-se numărul de piese rebutate ;

- realizează axul camei din bare laminate la un preț de cost mai scăzut și la dimensiuni mai apropiate de cele ale piesei finite;

- reduce mărimea adsosului necesar prelucrărilor mecanice ulterioare.

Aplicarea noii tehnologii la IMPS Salonta va aduce acestei întreprinderi economii estimate la 1,4 milioane lei/an.

#### 3.5. Sudarea arborilor cardanici /55/,/56/

Arborii cardanici s-au sudat prin frecare pentru prima oară în anul 1965 la uzina "Lihacev" din Moscova pentru automobilul

"ZIL 130". După anul 1970 procedeul s-a aplicat la întreprinderile Ford din Europa și apoi s-a extins și la celelalte firme.

La ISIM Timișoara ne-am ocupat de sudare prin frecare a erborilor cardanici de la autoturismele "ARO" și de sudarea prin frecare a erborilor cardanici de la autocamioanele "ROMAN".

2.5.1. Arborii cardanici de la autoturismele "ARO" fabricate la I.M.Huscel sunt compuși din trei elemente : furcă, țeavă și cap cardan. Forme și dimensiunile celor trei componente în zona sudurii se prezintă în figura 31.

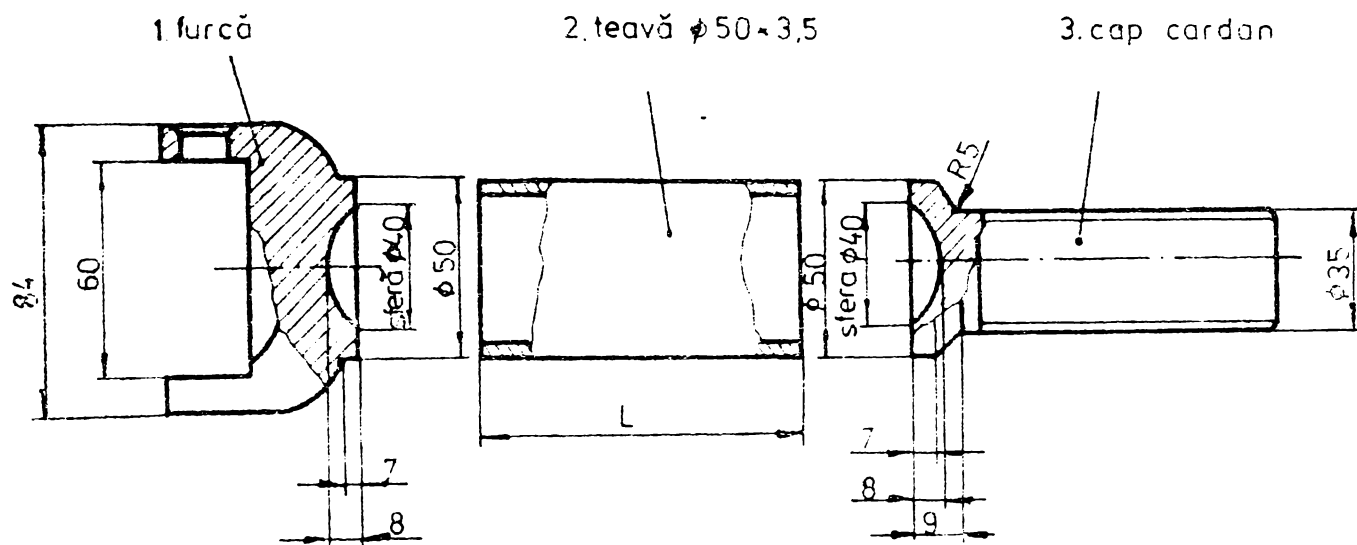


Figura 31. Forma și dimensiunile componentelor de sudat prin frecare

Compoziția chimică determinată a materialelor utilizate este dată în tabelul 15.

Componente	Material	Compoziție chimică %									
		C	Mn	Si	S	P	Cr	Ni	C	Alte elem.	
Țeavă	OLT 35	0,11	0,64	0,26	0,030	0,031	-	-	-	-	
Cap cardan	40 C 10	0,26	0,78	0,37	0,023	0,031	0,92	0,12	0,24	0,021 Mo	
Furcă	OLC 45	0,43	1,13	0,27	0,020	0,017	—	urme	0,12	—	

Tabelul 15. Compoziție chimică a materialelor utilizate

Examinările structurale au evidențiat pentru cele trei componente următoarele :

- Tevile din OLT35 au o structură ferito-perlitică cu mărimea grăumentului aproximativ 8, conform STAS 5490ç71, proporție constituentilor 10/90.

- Capetele cardan din otel 40C10 au o structură ferito-perlitică de granulație aproximativ 9, proporție constituentilor 65/35.

- Furcile din OLC45 au o structură perlito-feritică de granulație fină, aproximativ 10, proporție constituentilor 55/45.

3.5.1.1. Realizarea ansamblului arbore cardanic prin frecare, figura 32 se face cu două suduri :

- 1 - sudarea capului cardan cu țeava intermediară
- 2 - sudarea subansamblului cap cardan + țeavă cu furca

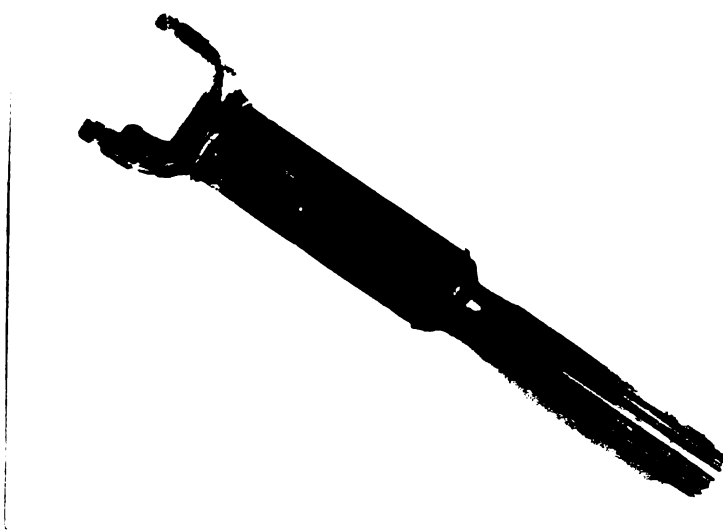


Figure 32. Arbore cardanic sudat prin frecare.

Cele două suduri : cap cardan + țeavă și furcă + țeavă diferă prin forma componentelor de sudat respectiv prin volumul de material ce trebuie încălzit (cap cardan și furcă) în timpul procesului de sudare. Experimentările de sudare au fost conduse în aşa fel încât să obținem același regim de sudare pentru ambele suduri.

Parametrii acestui regim sunt următorii :

- viteza de rotație : 1460 rot/min.,
- presiunea de frecare : 31 N/mm<sup>2</sup>,
- presiunea de refulare : 73 N/mm<sup>2</sup>,
- timp de frecare : 12,20 secunde,
- scurtare medie : 19,2 mm (din care 10,2 mm pentru sudura 1 și 9,5 mm pentru sudura 2)

Sudurile realizate au fost examineate din următoarele puncte de vedere :

- aspect macro, microstructural și variații de duritate
- rezistență la tracțiune statică
- rezistență la răsucire statică
- rezistență la aplatisare.

3.5.1.2. Examinarea macrostructurală (figure 33 și 34) nu a evidențiat defecte. Forma și dimensiunile ZIF-ului și bavurii

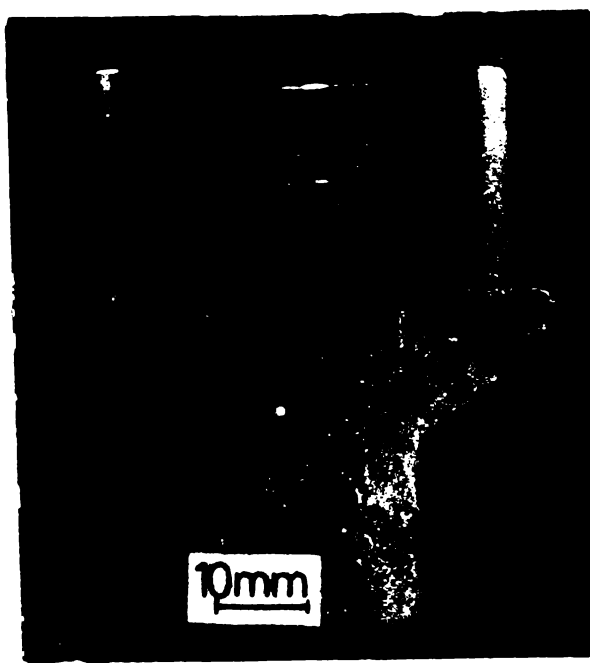


Figura 33. Macrostructura sudurii cap cardan-țeavă, Nitral 10

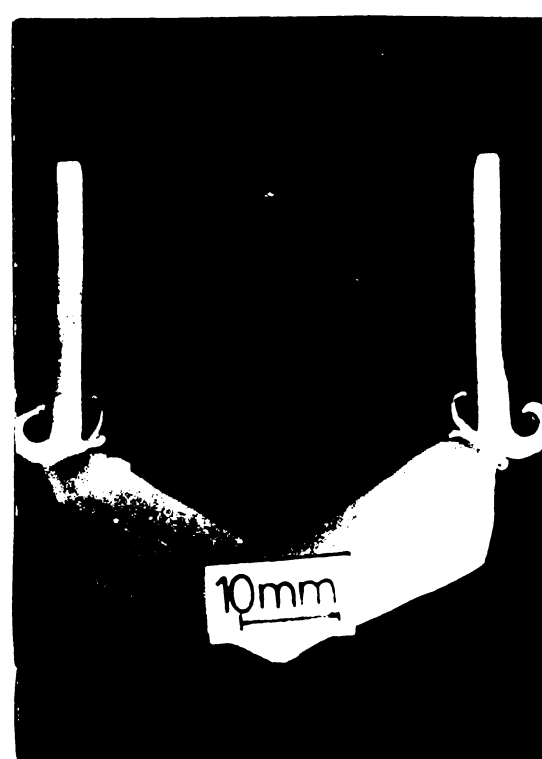


Figura 34. Macrostructura sudurii furcă-țeavă, Nitral 10

indică o încălziere proporțională a capetelor componentelor de sudură și o deformare plastică corespunzătoare a acestora.

Examinarea microstructurală a sudurilor realizate nu a evidențiat defecțiuri microstructurale în zona centrală a căii în ZIT-urile celor trei componente. Structurile metalografice nu prezintă constituenții duri și fragili.

Măsurările de duritate efectuate dinspre lungul zonelor sudurii prezintă valori a căror distribuție este dată în diagramele din figura 85.

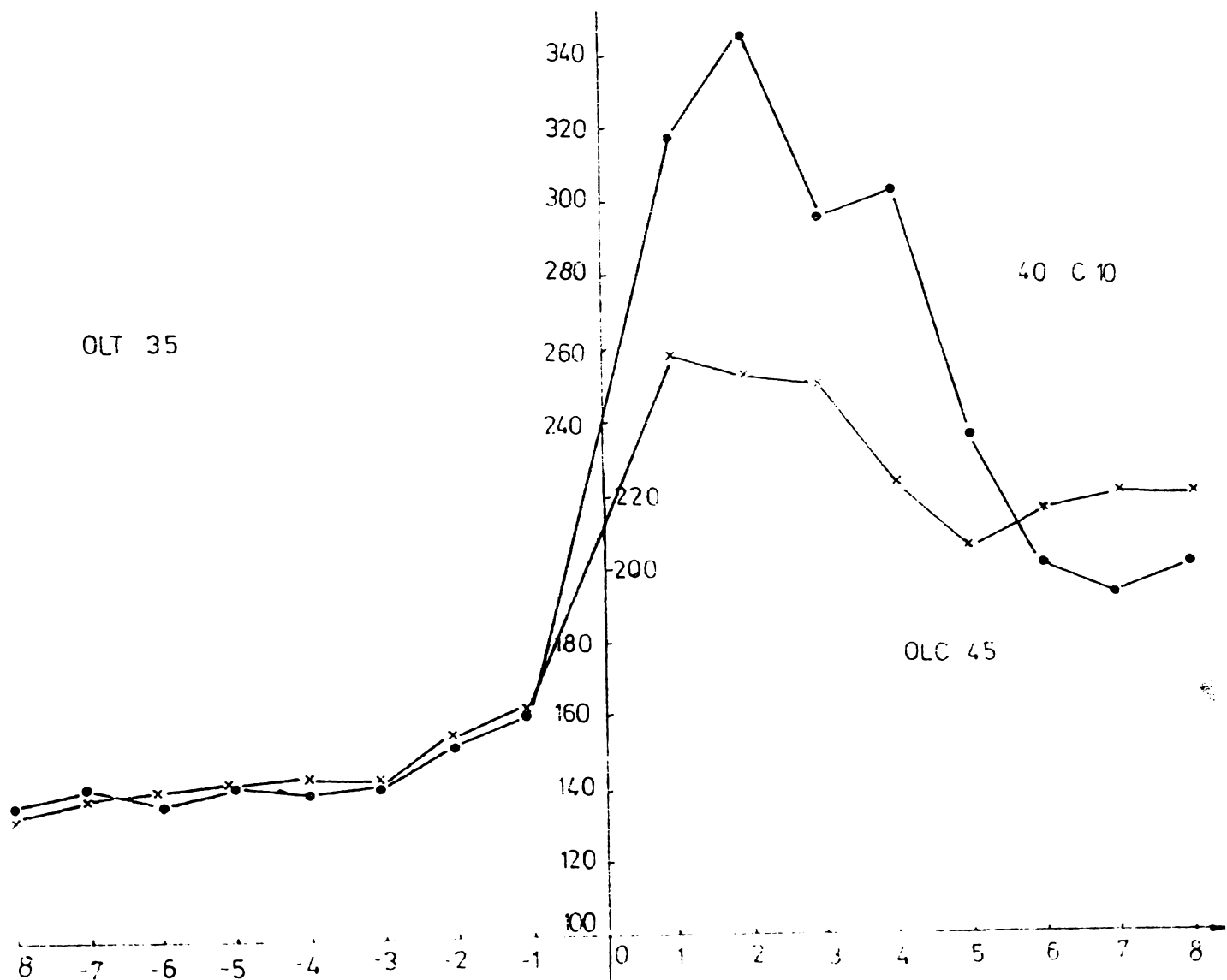


Figura 85. Diagrama de variație a durităților

La sudura capului cardan cu țeava intermediară duritatea maximă în ZIT-ul etajului 40C10 nu depășește 345 HV5 ; în cazul sudurii furcii cu țeava intermediară duritatea maximă nu depășește 260 HV5 în ZIT-ul etajului OLC45.

Aspectul microstructural al sudurilor și valorile durăților permit concluzia că piesele sudate cu regimul recomandat nu necesită tratament termic după sudare.

2.5.1.3. Pentru încercarea de tractiune au fost sudate cu regimul recomandat cinci capete cardan cu țevi intermediare și cinci furci cu țevi intermediare. Încercarea s-a efectuat cu piese sudate și nedebavurate. Ruperile, în ambele cazuri au avut loc în materialul țevilor intermediare (figurile 36 și 37).

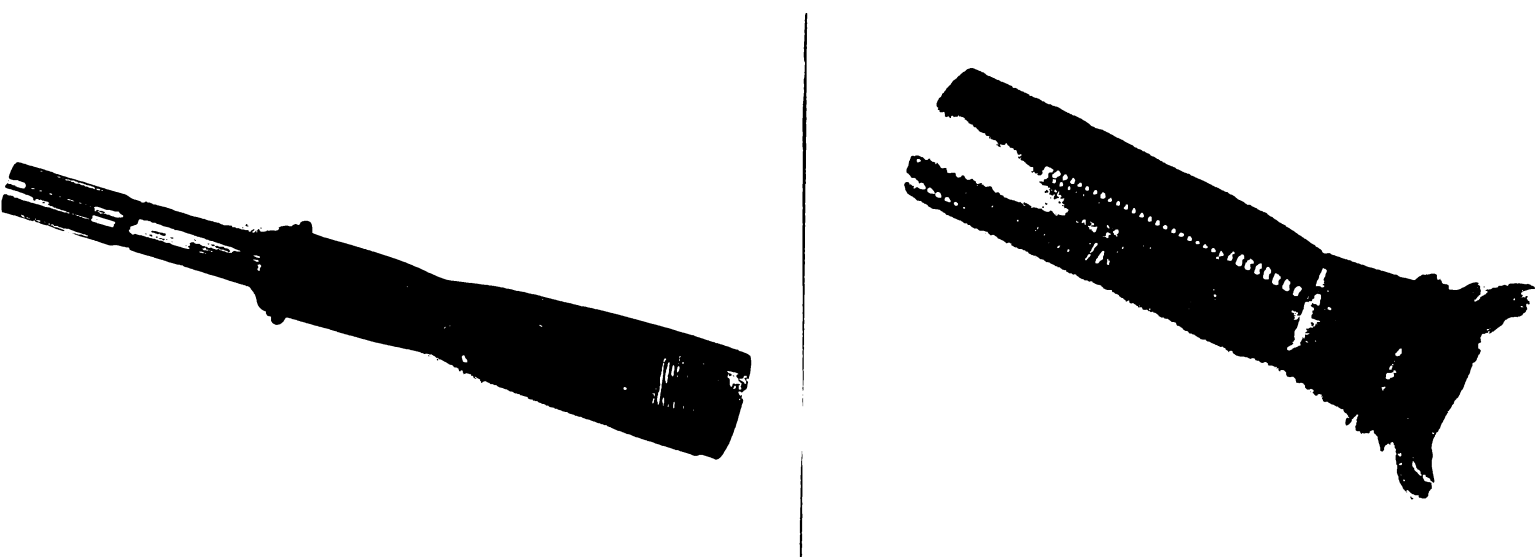


Figura 36. Cap cardan sudat, prin Figura 37. Furcă sudată prin frecare, încercat la tractiune frecare, încercată la tractiune

Solicitarea la răsucire este principala solicitare la care sunt supuși arborii cardanici în exploatare. În conformitate cu prescripțiile cașetului de sarcini aceste subansamblu sunt solicitate la un cuplu maxim de 1600 Nm. Piesele sudate și debavurate au fost încercate la răsucire la un cuplu maxim de 2600 Nm. Pentru încercare s-au folosit trei piese. După încercare piesele au fost controlate vizual și au lichide penetrante și nu s-a observat la nici una din ele fisuri sau deformații în zona sudurii și în alte zone.

Încercarea la aplatisare a arborilor cardanici testează insusirile de plasticitate ale sudurilor supunindu-i la solicitări complexe. Încercarea constă în turtirea unui tronson de țevă între două dormuri care au diametrul egal cu diametrul țevii (50 mm) la o distanță de 50 mm de sudură (eguală cu diametrul țevii respectiv al dormului).

Pieselete aplatisate, figurile 38 și 39, nu au avut fisuri sau smulgeri în sudură sau materialul de bază.

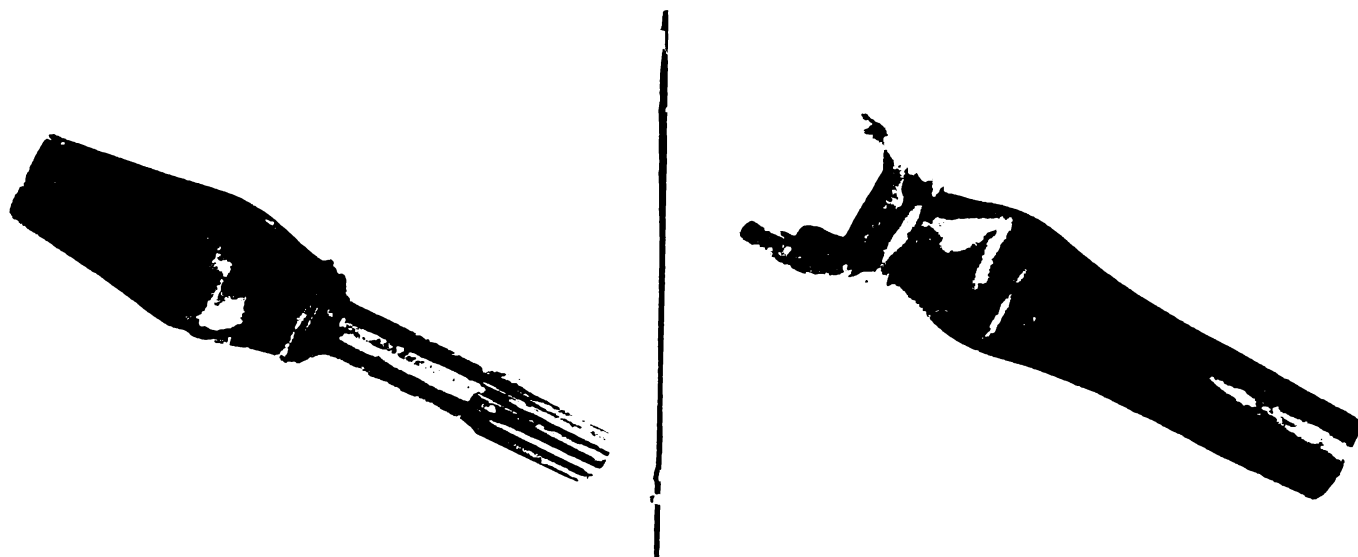


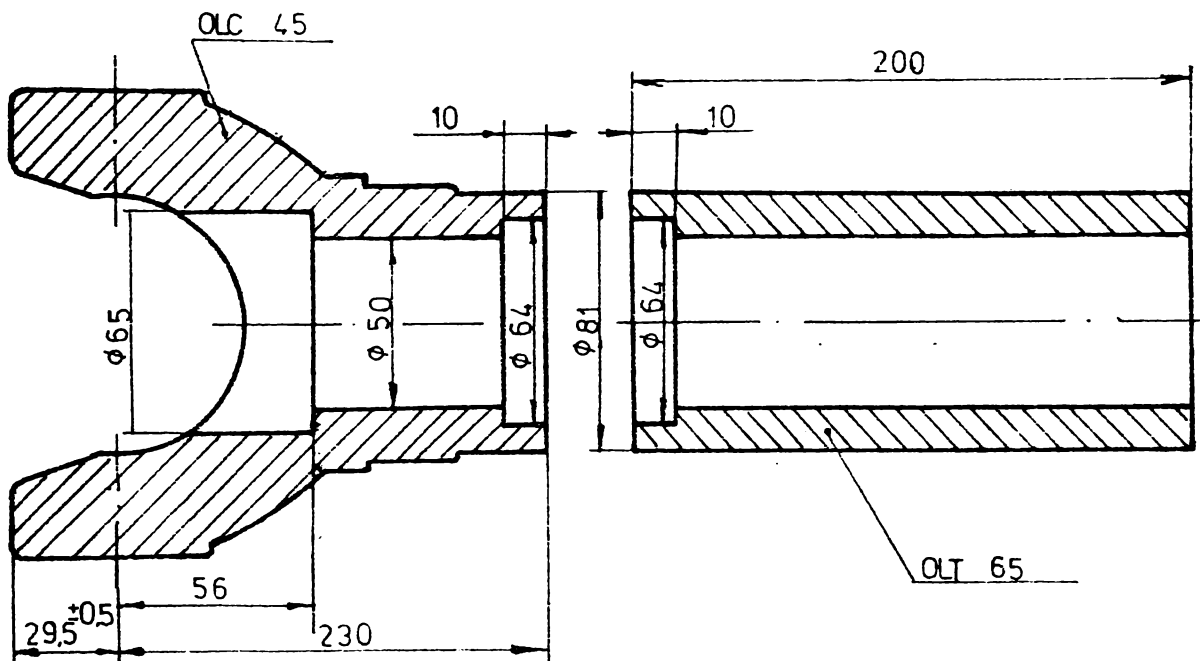
Figura 38. Cap cardan sudat și încercat la aplatisare

Figura 39. Furcă sudată și încercată la aplatisare

3.5.1.4. Sudarea prin frecare a arborilor cardanici înlocuiește tehnologia de sudare cu arcul electric a acestora. Astfel, se simplifică modul de pregătire a capetelor componentelor și se obțin economii de materiale, manoperă și energie electrică, la operațiile de pregătire și sudare, de aproximativ 400.000 lei/ an. Această eficiență s-a calculat pentru I.M. Muscel, la o producție anuală de aproximativ 35.000 arbori cardanici.

3.5.2. Arborii cardanici de la autocamioanele "ROMAN" care se fabrică în prezent la I.P.A. Sibiu cu în componență subansamblul furcă cu butuc. Furcile cu butuc sunt de trei tipuri și diferă între ele prin secțiunea de sudat și materialele de bază utilizate, figura 90.

In toate cazurile furcile sunt componente forjate iar butucii, componente de țevi laminate. Compoziția chimică și structura metalografică a materialelor utilizate se prezintă în tabelul 16.



**Figura 90.** Forme și dimensiunile componentelor de sudet  
- materialele de bază utilizate

Tip di- mensiune	Componentă	Compoziția chimică						Structura meta- lografică
		C	Mn	Si	P	S	Cr	
1	Furcă	0,45	0,71	0,27	0,015	0,028	lipsă	perlita de revenire, sorbită
	Butuc	0,41	1,12	0,38	0,027	0,016	lipsă	perlita de revenire sorbită
2	Furcă	0,39	0,79	-	0,02	0,027	0,98	ferită, perlita globulară
	Butuc	0,42	0,77		0,028	0,016	1,10	ferită, perlita globulară
3	Furca	0,49	0,78	0,28	0,035	0,025	urme	perlita, ferită cu rețea sorbită
	Butuc	0,41	0,88	0,28	0,032	0,028	urme	perlita, ferită cu rețea sorbită

**Tabloul 15.** Compoziție chimică și structura metalografică a materialelor

**Tabloul 16.** Sudarea prin frezare a celor trei tipuri de furci cu butuc și-a făcut cu rezultările din tabelul 16.

Tipodimensiune	Parametrii regimului de sudare					Scurtare axială medie mm
	n rot/min	P.frec N/mm	P.ref N/mm	t.frec s	t.ref s	
1	1450	60	120	3,84	5,40	9,9
2	1450	60	120	3,84	5,40	9,4
3	1450	40	80	3,84	5,40	6,4

Tabelul 13. Parametrii regimului de sudare.

Pieselete sudate cu aceste regimuri arată ca în figura 91.

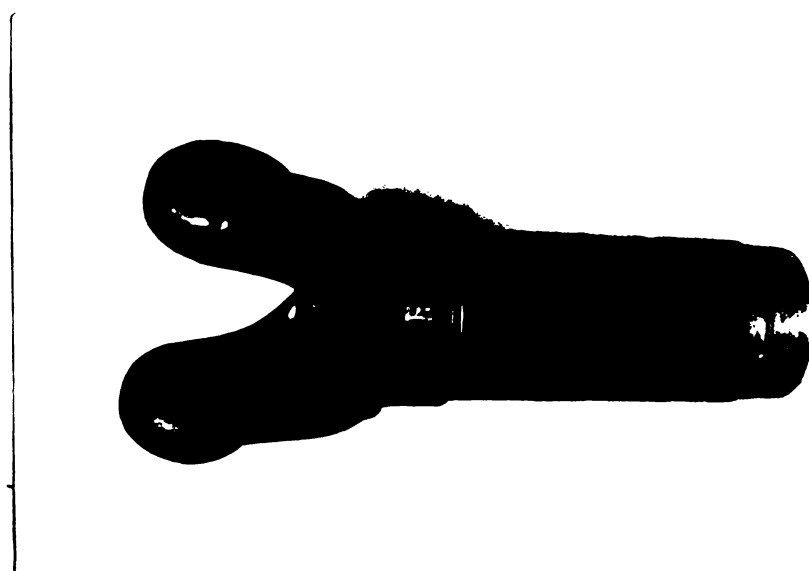


Figura 91. Purcă cu butuc emantă prin frecare, tipodimensiunea 2.

Din piezile sudate au fost prelevate epruvete pentru studiul macro și microstructural și pentru încercarea la tracțiune.

**3.5.2.2.** Din punct de vedere al aspectului macro și microstructural epruvetele analizate nu prezintă defecți de sudare. Forma și dimensiunile bavurii și ZIT-ului (figura 92 pentru tipodimensiunea 2) indică o încălzire și o deformare plastică corespunzătoare a capetelor componentelor.



**Figura 92.** Macrostructura sudurii, tipodimensiunea 2, Nitral 10.

Tipodimensiunile 1 și 3, care au furcile executate din OEC45 și butucii din OLT65 prezintă în zona centrală o structură de granulație fină (mărime de grăunte  $r \sim 10$ ) formată din perlită, ferită și sorbită. Zona influențată termic spre materialul furcilor păstrează aceeași constituență ca și zona centrală dar de granulație mai mare (mărime de grăunte  $\sim 9$ ) iar spre materialul butucilor sorbite nu mai apare și avem ca și constituenți perlită, ferită, ferită aciculară cu mărimea grăuntelui  $\sim 3$ . Duritatea maximă a constituenților din zonele sudurii nu depășește 345 HV5.

Tipodimensiunea 2 are componentele din oțel 40Cr10 și după sudarea lor au fost tratate termic prin normalizare (încălzire 45 minute la  $840^{\circ}\text{C}$ , răcire în aer). În urma acestui tratament termic se obține în toate zonele sudurii o structură ferito-perlitică cu durități cuprinse între 200 și 230 HV5.

**3.5.2.3.** Pentru încercarea la tractiune, din frecare tipodimensiune său sudat cîte 3 piese cu regimurile din tabelul 16. Din frecare piesă sudată s-au prelevat cîte 3 epruvete plate, de tip API, pentru încercarea la tractiune conform STAS 6713-76. În toate cazurile ruperile s-au produs în materialul de bază. Aspectul epruvelelor în urma încercării la tractiune statică se prezintă în figura 93.

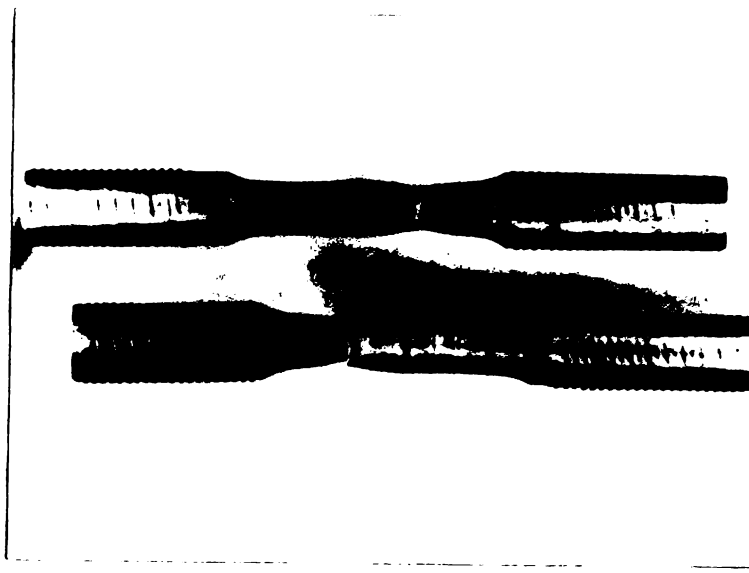


Figura 93. Epruve în urma încercării la tracțiune statică.

3.5.2.4. Sudare prin frecare a fureilor cu butuc înlocuște tehnologia de forjare a acestui subansamblu. Realizarea din două bucăți aduce economii de măneră, materiale și energie electrică de peste 5 milioane lei/an la o producție de aproximativ 150.000 bucăți/an.

### 3.6. Sudarea axelor planetare /36/

Axele planetare ale motoîncărătoarelor fabricate la I.M.Timișoara su componente (figura 94) din oțel 41MoC11.

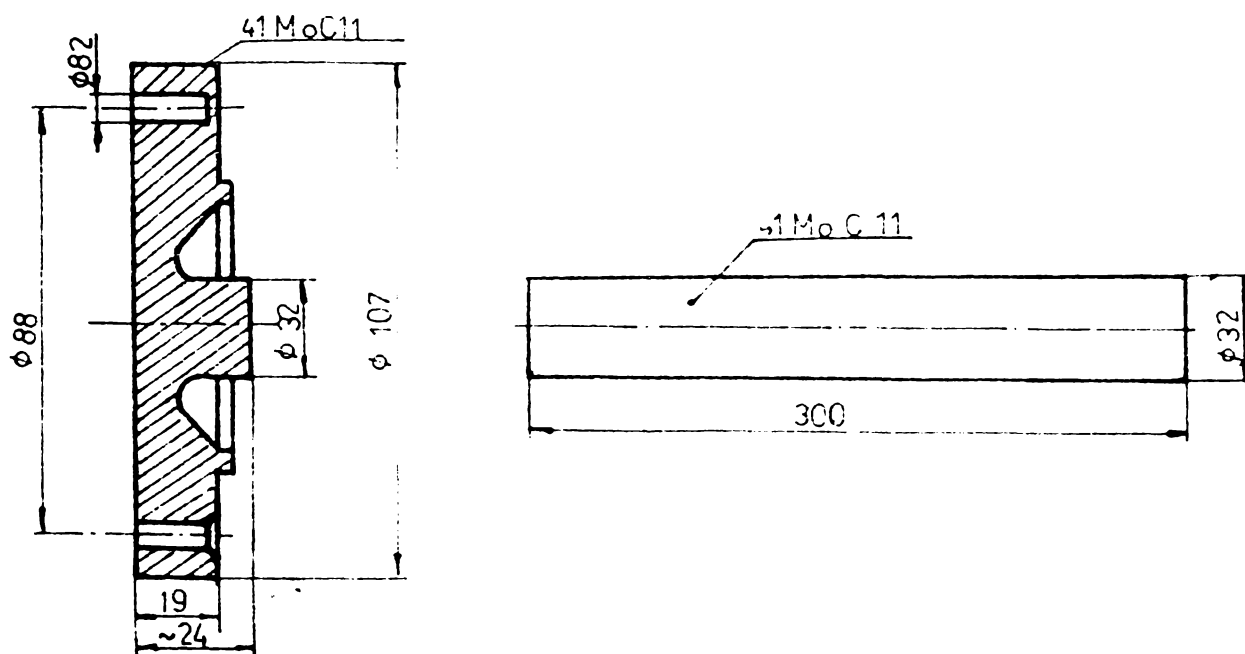


Figura 94. Forme componentelor de sudat

Oțelul 41MoC11, oțel QT, este destinat pieselor puternic solicitate și caracteristicile sale mecanice se obțin după aplicarea tratamentului termic de îmbunătățire. În vechea tehnologie de fabricație a axelor planetare, semifabricatele din 41MoC11 se forjează după care se aplică un tratament termic de normalizare. Apoi, după faza de degresare, piesele prelucrate se îmbunătățesc pentru obținerea unei durități cuprinse între 220 și 250 HB.

În actuala variantă, axele planetare se realizează din semifabricate laminate sudate între ele prin frecare. Compoziția chimică și structura metalografică a materialelor utilizate în experimentări se prezintă în tabelul 18.

Componență	Compoziția chimică %							Structură metalografică
	C	Mn	S	P	N	Mo	Cr	
Flanșă	0,44	0,55	0,028	0,022	0,014	2,0	1,10	Ferită fină,
Bază	0,40	0,657	0,21	0,021	0,018	1,6	1,12	Ferită, perlită, sorbită

**Tabelul 18.** Compoziția chimică și structura metalografică a materialelor utilizate

### 3.6.1. La sudare s-a folosit regimul :

- viteza de rotație : 1450 rot/min,
- presiunea de frecare :  $50 \text{ N/mm}^2$ ,
- presiunea de refuzare :  $100 \text{ N/mm}^2$ ,
- timp de frecare : 23,3 secunde,
- timp de refuzare : 7,16 secunde,
- scurtare axială : media 6,70 mm

Axele planetare sudate cu acest regim arată ca în figura 95.

Pieseile sudate au fost examineate din următoarele puncte de vedere :

- aspect macro-microstructural și variații de duritate de-a lungul zonelor sudurii ;

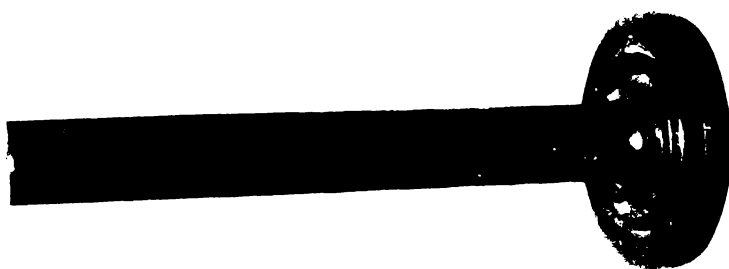


Figura 95. Ax planetar sudat prin frecare

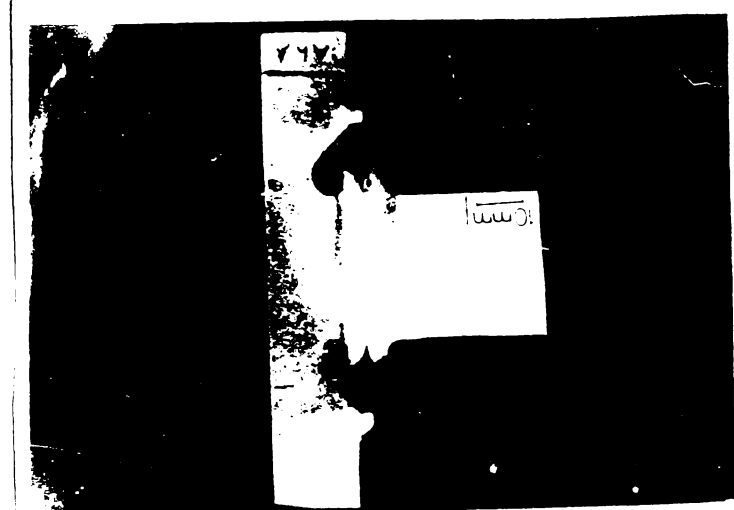


Figura 96. Macrostructura axului planetar sudat prin frecare kital 10x

- rezistență la tractiune ;
- rezistență la îndoire.

3.6.2. Macrostructurile axelor planetare sudate,  
figura 96, nu conțin defecte.

Examinările microstructurale și măsurătorile de durată s-au efectuat pe epruvete prelevate din piese sudate în trei variante :

- a) fără tratament termic după sudare
- b) normalizare după sudare
- c) îmbunătățire după sudare.

In urma procesului de sudare la piesele netratate termic după sudare în zona influențată termic (figura 97) și zona centrală structura este ferito-bainitică sciculară. Prin aplicarea tratamentului termic de normalizare în zona influențată termic (figura 93) și în zona centrală se obține o structură ferito-perlitică de granulație fină (mărime grăunte ~ 3). Piesele îmbunătățite după sudare au în zonele sudurii în structură perlită, ferită, ferită sciculară, sorbită de granulație fină (mărime grăunte ~ 9, figura 99).



Figura 97. Microstructura ZIT,  
fără tratament termic, x100,  
Nital 26



Figura 98. Microstructura ZIT,  
normalizată, x100, Nital 26

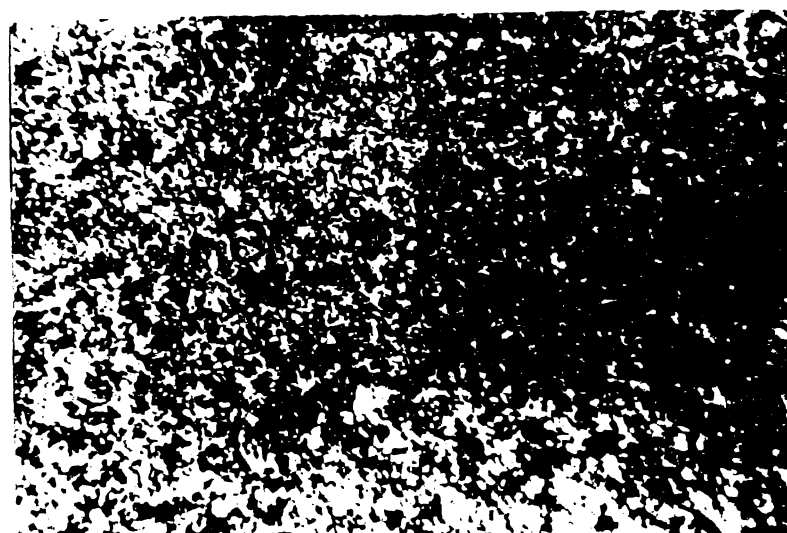
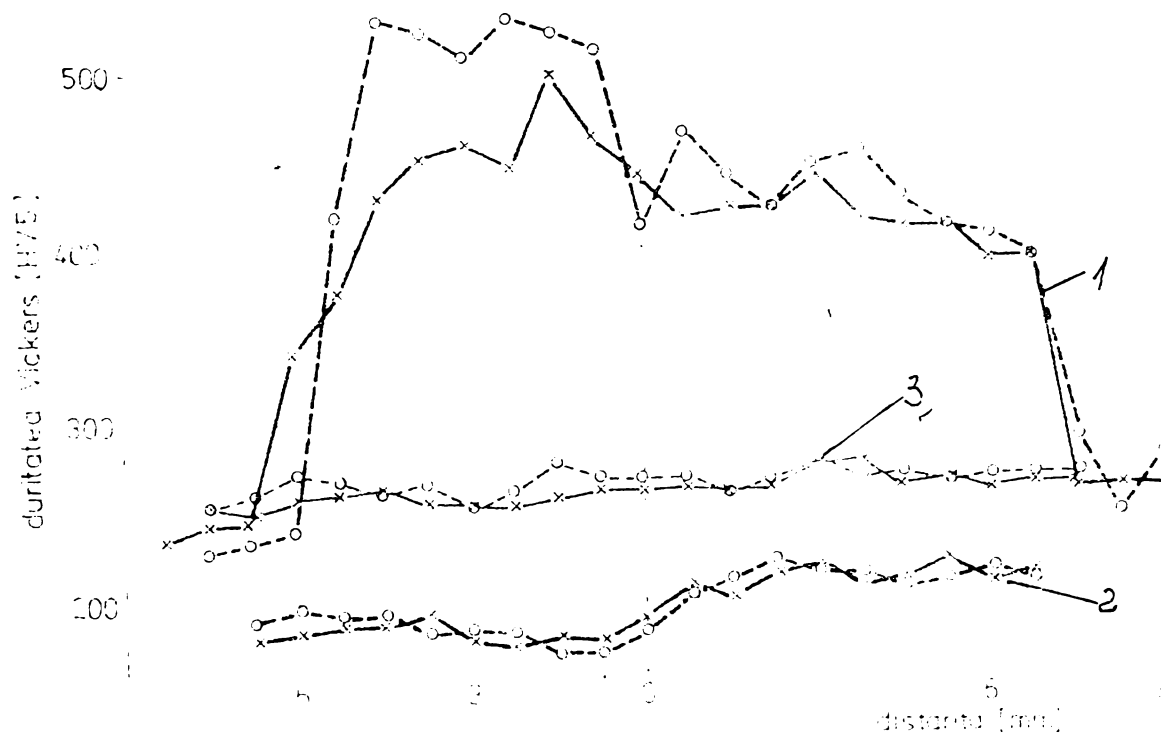


Figura 99. Microstructura ZIT,  
imbunătățită, x100, Nital 26

Influența tratamentului termic după sudare se observă și din diagrama de variație a durităților prezentată în figura 100. Astfel, la piesa ne trataată după sudare avem o durificare a sudurii, diferență dintre duritatea materialului de bază și cea maximă este de 200 HV5 în toate zonele sudurii.



**Figura 100.** Variația durităților în zonele sudurii : 1 - fără tratament termic ; 2 - normalizare după sudare ; 3 - îmbunătățire după sudare.

3.6.3. Încercarea la tracțiune s-a efectuat pe piese sudate și debavurate folosind dispozitivul 1, adaptat corespunzător, din figura 73.

Ruperile s-au produs, prin scurgere, în materialul flanșelor.

Încercarea la indoire s-a efectuat cu două piese simultan prinse într-un dispozitiv și a decurs în conformitate cu schema de aplicare a sarcinii prezentată în figura 101.

S-au incercat, comparațiv, piese sudate în cele trei variante de tratament termic. Resultatele cele mai bune, respectiv unghiul de indoire cel mai mare pînă la apariția fisurilor, s-a obținut cu piesele sudate și normalize (  $\alpha = 17^\circ \dots 20^\circ$  ).

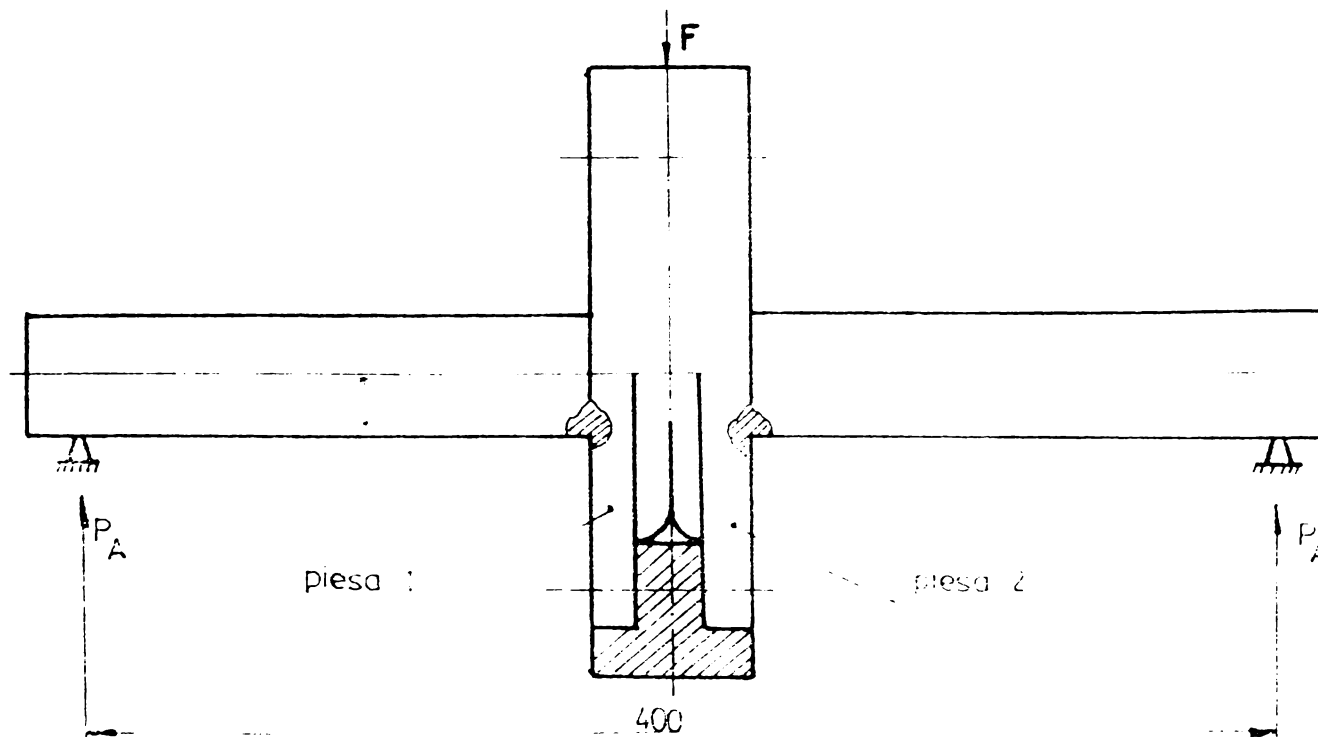
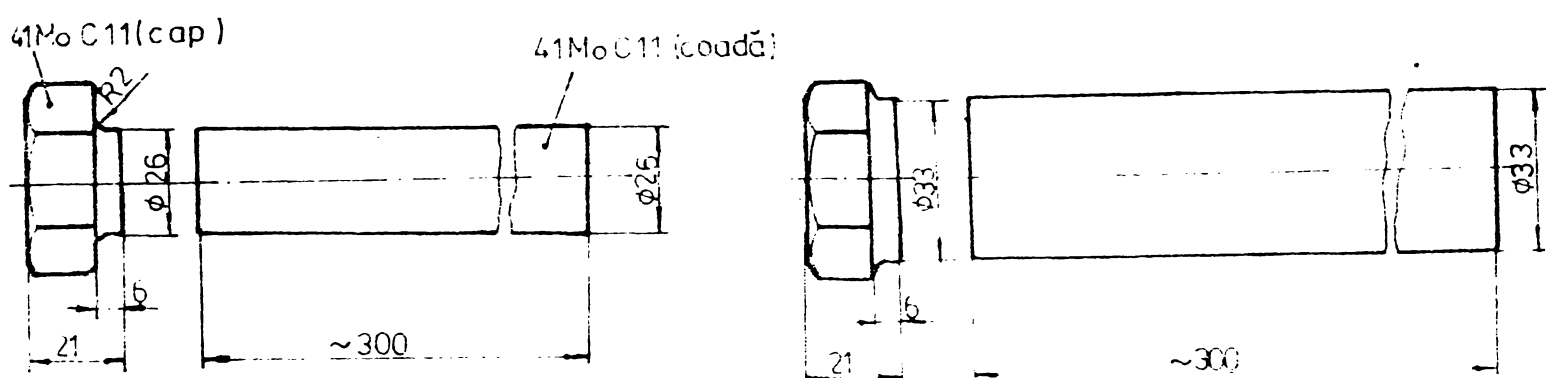


Figura 101. Schema de aplicare a sarcinii.

3.6.4. Înlocuirea axelor planetare forjată cu axe planetare sudate prin frezare este economică. Astfel, un semifabricat de ax planetar forjat costă 171,75 lei/buc. Realizarea acestui semifabricat din bare laminate, debitate și sudate între ele prin frezare costă 45,95 lei/buc. reducindu-se aproximativ de 4 ori prețul semifabricatului și obținindu-se astfel importante economii emale de muncoperdă, cu energie electrică și materiale.

### 3.7. Sudarea suruburilor de pânuire /58/

Suruburile de pânuire, utilizate la unele tipuri de reduse-toare fabricate la I.M.Timișoara, au componente din oțel 41MnCr11 cu forme și dimensiunile conform figurii 102.



**Figura 102.** Forma și dimensiunile componentelor șuruburilor M24 și M30

**3.7.1.** În sudarea acestor componente s-a folosit regimurile din tabelul 19.

Tipodimensiune	Parametrii de sudare					Scurtare axială mm
	n rot/min	p. freq. N/mm	p. ref. N/mm	t. freq. secunde	t. ref. secunde	
M 24	1450	60	120	17	4,55	4,84
M 30	1450	60	105	23,8	7,16	6,82

**Tabelul 19.** Parametrii regimurilor de sudare a șuruburilor de pătuire.

Pieseile sudate au fost examineate din următoarele puncte de vedere :

- aspect macro-microunistructural, variații de duritate de-a lungul zonelor sudurii ;
- rezistență la tracțiune statică ;
- rezistență la tracțiune determinată prin încercare pe căii ineliniști sub cap ;
- rezistență la tensiunea a capului șurubului.

3.7.2. Macrostructurile sudurilor realizate nu au avut defecte (figurile 103, 104).

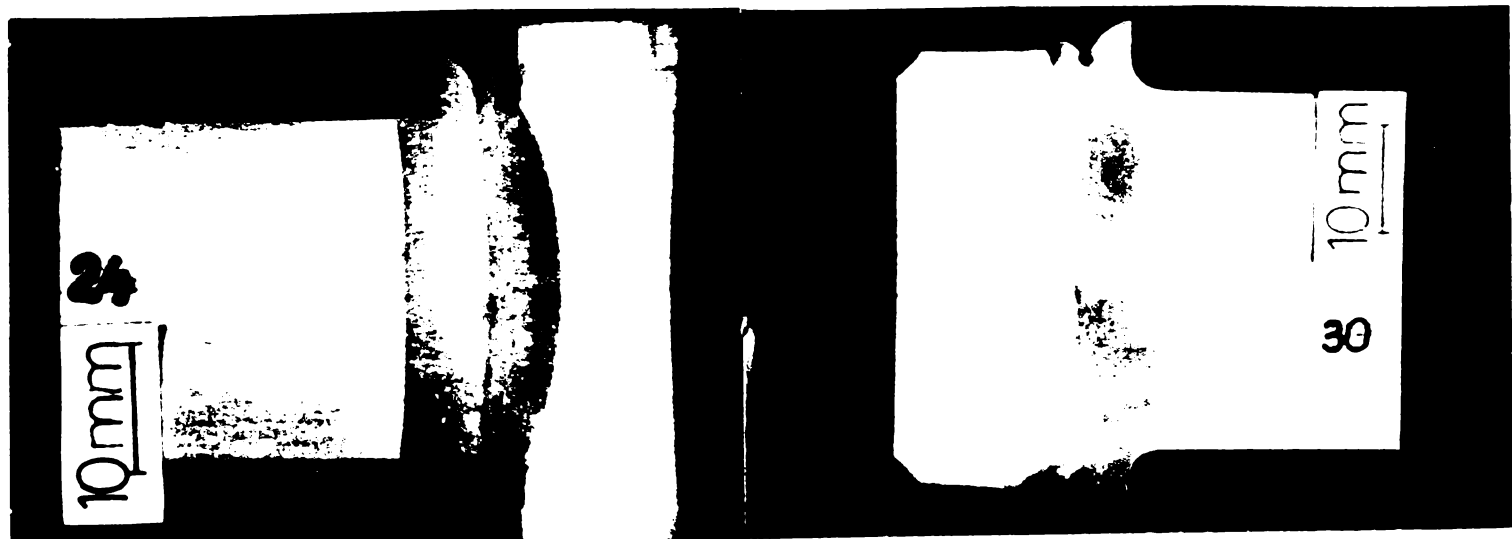


Figura 103. Macrostructura su-  
rub M24, sudat prin frecare,  
Nitai 106

Figura 104. Macrostructura su-  
rub M30, sudat prin frecare,  
Nitai 106

Din punct de vedere microstructural piesele sudate au fost studiate în două variante :

- a) fără tratament termic după sudare
- b) normalizare după sudare

Datorită procesului de sudare în zona centrală și cea influențată termic, structura se finisează și apar constituenții: sorbită, bainită și urme de martensită. Prin aplicarea tratamentului termic de normalizare, după sudare, bainita și martensita se transformă și în zonele sudurii structura devine ferito-perlitică cu sorbită.

Aspectul microstructural este confirmat de măsurăriile de duritate. Astfel, la probele netratate după sudare, duritatea crește în ZIT pînă la 470 HV5. Prin aplicarea tratamentului termic de normalizare duritatea devine aproximativ constantă în toate zonele sudurii nedepășind 310 HV5.

3.7.3. Încercarea la tracțiune s-a efectuat cu cîte 5 piese sudate și debavurate folosind dispozitive de prindere adecvate formei constructive a șuruburilor de păguire. Ruperile s-au produs în materialul de bază.

Încercarea la tracțiune a șuruburilor cu cală înclinață sub cap este o încercare standardizată a șuruburilor STAS 2700/3-79, și pentru efectuarea ei, sub capul șurubului s-a așezat o cală oblică din oțel (figura 105). Unghiul de înclinare  $\alpha$  s-a ales  $10^\circ$  asigurîndu-se astfel condițiile de încercare cele mai nefavorabile. Cele cinci piese sudate, normalizate, debavurate și încercate s-au rupt în materialul de bază, figura 107.

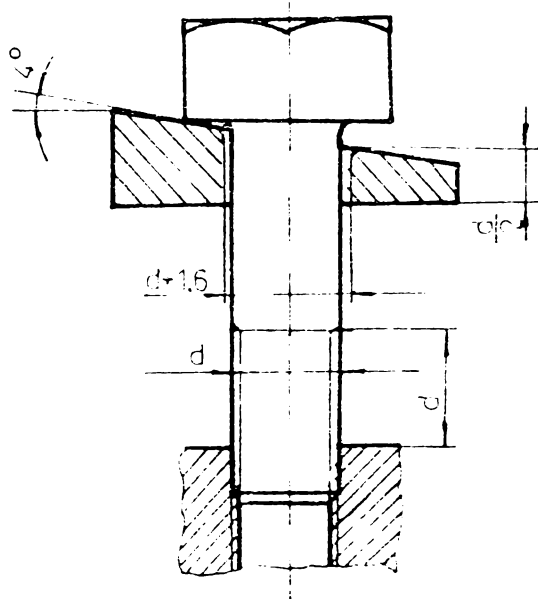


Figura 105. Cală oblică

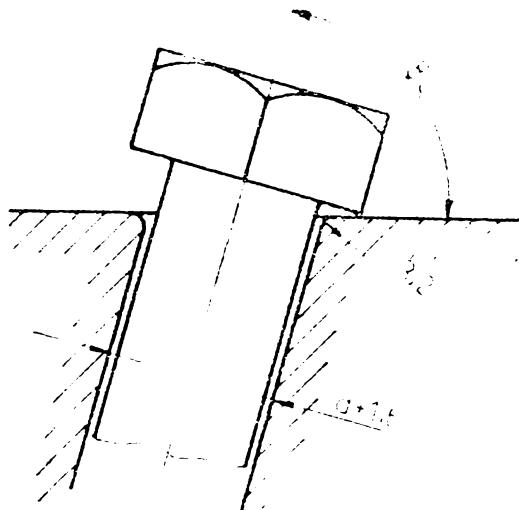


Figura 106. Matrîță pentru încercare tenacității capului șurubului

Încercarea tenacității capului șurubului este, de asemenea, o încercare standardizată (STAS 2700/3-78) și pentru aceasta cinci piese sudate, normalizate și debavurate, s-au introdus într-o matrîță (figura 106) și s-au lovit cu un ciocan cu cădere liberă avînd energie cinetică de 350 Joule. Ruperile s-au produs în materialul de bază fără ca în zonele sudurii să apară fisuri, (figura 108).

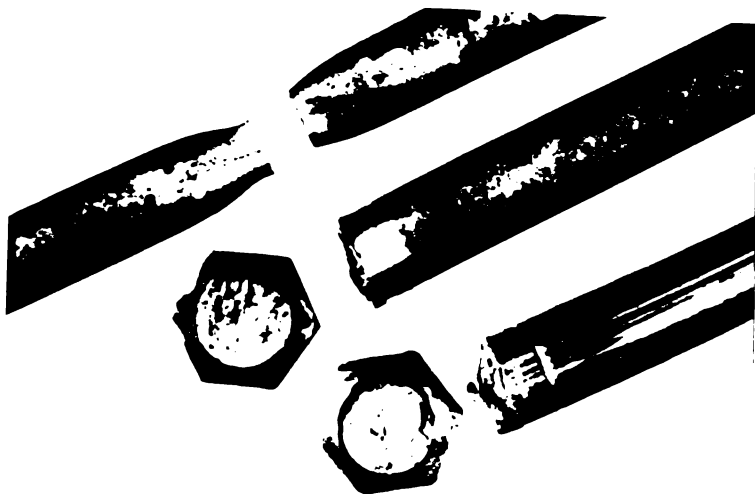


Figura 107. Suruburi sudate și încercate la tracțiune cu cală înclinată sub cap



Figura 108. Suruburi sudate și supuse încercării tenacității capului

3.7.4. În vechea tehnologie suruburile de păsuire lungi se execută din semifabricate forjate iar cele de lungimi mai mici din bare hexagonale strungite pe toată lungimea tijei. Prin sudarea prin frecare a capului hexagonal cu o bară laminată la dimensiunea tijei se obțin economii de aproximativ 15 lei/buc.

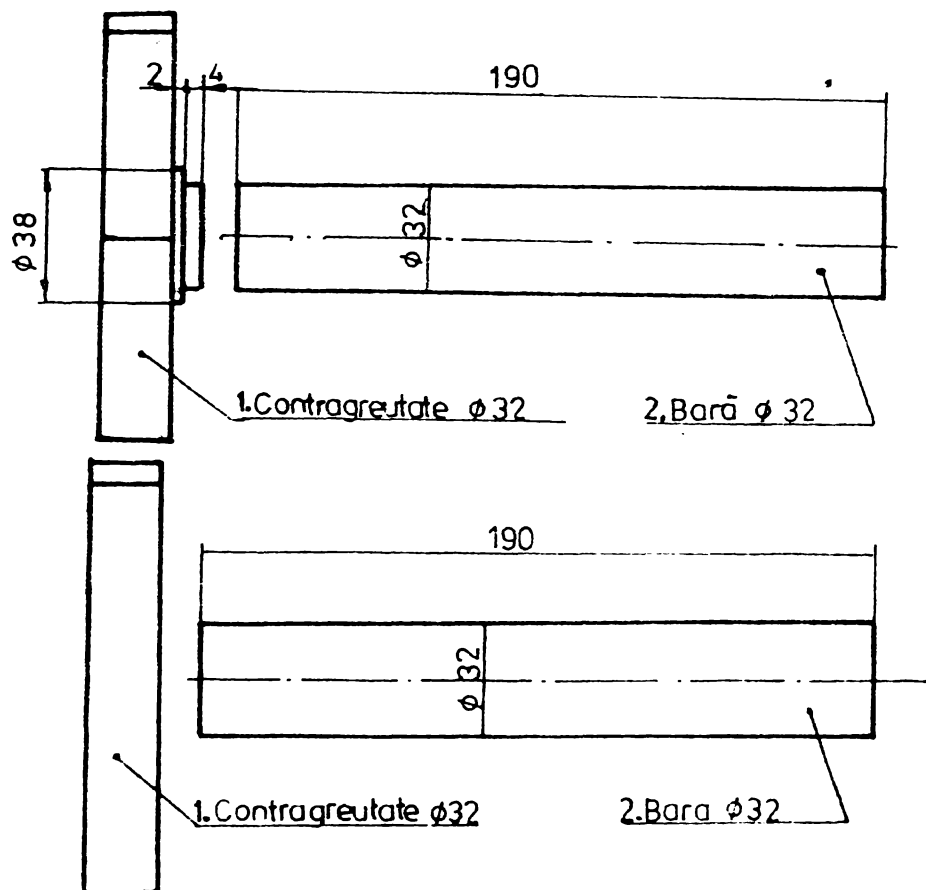
### 3.8. Sudarea arborilor cotiți /59/,/60/

Anumite tipuri de compresoare, în fabricație la întreprinderea "Timpuri Noi" București, folosesc arbori cotiți asamblăți din piese forjate din oțel 41MoC11. Pentru obținerea unor avantaje economice s-a propus executarea acestor piese din două componente, contragreutate și ax, sudate între ele prin frecare și înlocuirea oțelului 41MoC11 cu oțelurile nealiate OLC45 și OL37.

Cele două componente au fost pregătite în două variante constructive : forma A și forma B conform figurii 109 și din cele trei tipuri de oțeluri menționate. Astfel, experimentările de sudare s-au efectuat în următoarele patru combinații de forme și

materiale :

- C1. Contragreutate 41MnCr11, forma A + ax 41MnCr11
- C2. Contragreutate 41MnCr11, forma B + ax 41MnCr11
- C3. Contragreutate OLC45 , forma B + ax OLC45
- C4. Contragreutate OLC7 , forma B + ax OLC7



Planșă 102. Forme și dimensiuni ale componentelor de suport

În teste cele patru esurări, contragreutajile s-au constituit din semifabricate furjate și unele din semifabricate laminate. Compoziția chimică a materialelor folosite se prezintă în tabelul 29.

Combi-năție	Compo-nența	Compoziția chimică %								
		C	Mn	Si	P	S	Ni	Mo	Cr	Cu
C 1 + C 2	1	0,42	0,73	0,31	0,029	0,012	-	0,16	1,15	-
	2	0,39	0,69	0,17	0,020	0,016	0,23	0,14	1,10	0,09
C 3	1	0,39	0,60	0,28	0,020	0,012	-	-	0,16	-
	2	0,36	0,59	0,23	0,021	0,012	-	0,03	0,14	-
C 4	1	0,15	0,38	0,02	0,017	0,024	-	-	-	-
	2	0,39	0,59	0,24	0,020	0,014	-	0,02	0,13	-

Tabelul 20. Compoziția chimică a materialelor utilizate.

Tabl. 21. Parametrii regimurilor de sudare utilizati la sudarea celor patru combinații se prezintă în tabelul 21.

Combi-nație	Parametrii regimului de sudare					Scurtare axială medie mm
	n rot/min	p. freq. N/mm <sup>2</sup>	p. ref. N/mm <sup>2</sup>	t. freq. sec.	t. ref. sec.	
C 1	1450	50	105	23	7	5,7
C 2	1450	80	110	23	7	7,6
C 3	1450	80	110	18	7	6,5
C 4	1450	50	110	23	7	7,0

Tabelul 21. Parametrii regimurilor de sudare.

Simplificarea formei constructive a capetelor componentelor (formă B comparativ cu A) modifică condițiile de încălzire și deformare plastică a acestora. Din acest motiv, la sudarea combinației C2, au fost necesare prelungiri de frezare și refuzare mai mari față de C1 la același timp de frezare și refuzare.

Sudurile realizate cu regimurile din tabelul 21 s-au studiat comparativ, între ele, din următoarele puncte de vedere :  
- aspect macro-microstructural și variații de duritate de-a lungul sudurilor

- rezistență la tracțiune statică
- rezistență la oboselă.

3.3.2. Piezele sudate nu au avut defecte macrostructurale. În figurile 110 și 111 sunt prezentate macrostructurile sudurilor realizate pentru combinațiile C1 și C3.

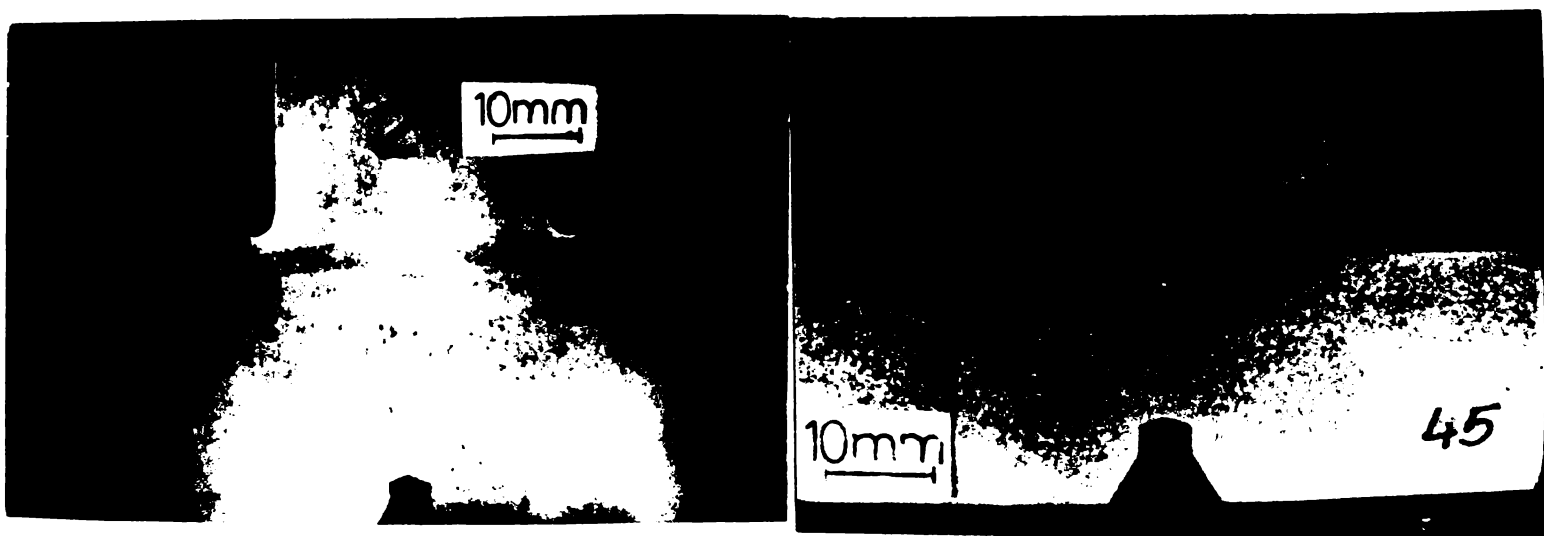


Figura 110. Macrostructura sudurii C1, Nital 10%

Figura 111. Macrostructura sudurii C3, Nital 10%

Piezele sudate în combinațiile C1 și C2, având ca material de bază oțelul 41MoCr11 prezintă în zona influențată structuri martensitice, cu durități mai mari de 600 HV5. Ca urmare, după sudare se aplică un tratament termic de normalizare (încălzire 30 minute la  $360^{\circ}\text{C}$ , răcire în aer) obținindu-se o structură formată din perlită, ferită și sorbită, cu durități cuprinse între 200 și 300 HV5.

Piezele sudate în combinație C3 cu ambele componente din OLC45 au în zona influențată termic pe lingă perlită și ferită, bainită superioară cu duritatea de aproximativ 340 HV5. Acest constituant cu duritatea mai ridicată se transformă prin aplicarea unui tratament termic de revenire a piezelor sudate (încălzire 30 minute la  $600^{\circ}\text{C}$ , răcire în cuptor).

Pieselete sudate în combinația C4 cu componenta din OL37 și OLC45 au în zona influențată termic a materialului OLC45 și structuri martensitice cu durată de aproximativ 390 HV5. Prin aplicarea unui tratament termic de revenire acești constituenți se transformă.

3.3.3. Incercarea la tractiune s-a efectuat pe piese sudate, figura 112.

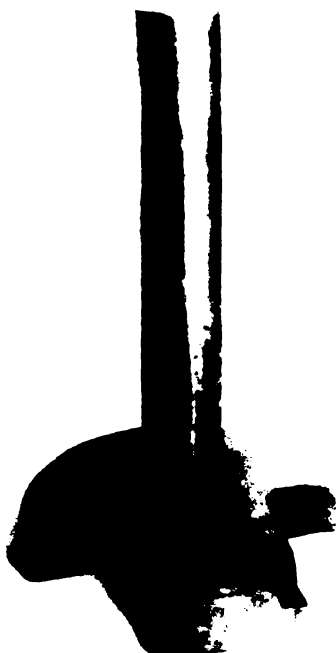
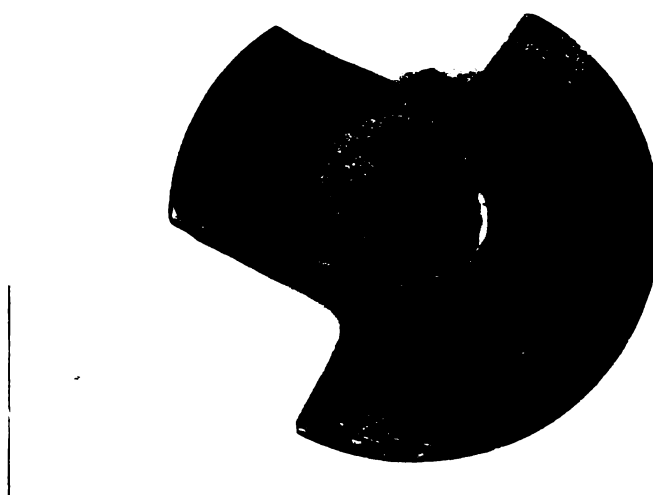


Figura 112. Piesă sudată,  
combinatia C4



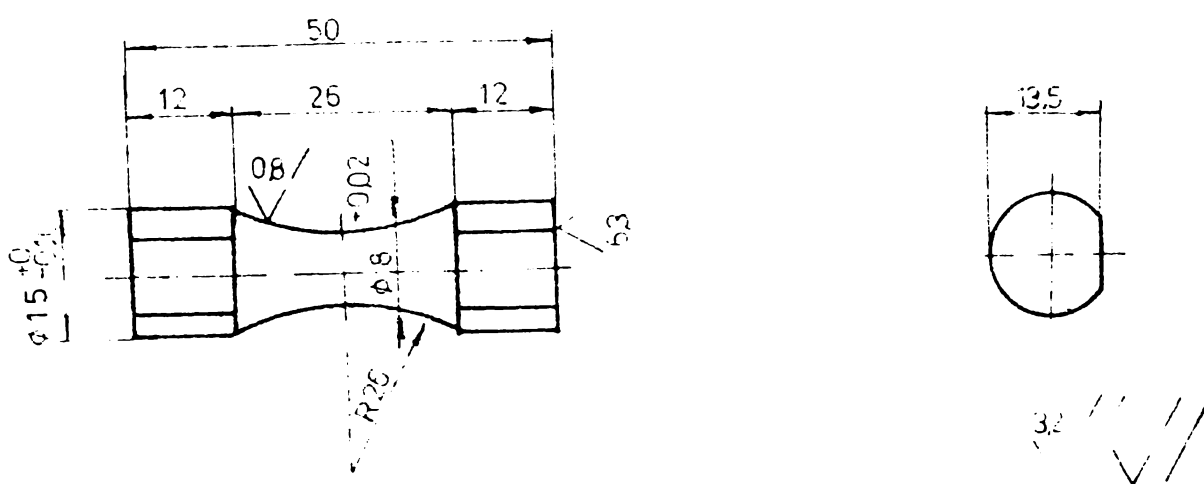
Figura 113. Piesă sudată neco-  
respunzător după incercarea  
la tractiune

Pentru incercare piesele au fost debavurate și s-a utilizat un dispozitiv asemănător cu cel prezentat în figura 78. Incercarea la tractiune a constituit un criteriu de selecție a regimurilor de sudare. Astfel, au fost eliminate regimurile la care ruperile s-au produs în zona centrală a sudurii și în ruptură s-au observat defecte de "lipsă de legătură" (figura 113). Pieselete sudate cu regimurile din tabelul 20 s-au rupt prin emulgeri de material din contragreutăți și au aspectul din figura 114.



**Figura 114.** Piesă sudată în combinația C3  
supusă la tracțiune

Elementele de arbori extinși sudăți prin freare în cele 4 combinații au fost încercate la oboscală prin torsiuime cu epruvete de formă și dimensiunile prezentate în figura 115, prelevate din zona sudurii.



**Figura 115.** Forme epruvei de oboscală

Valorile tensiunilor de oboscală la torsiuime medie axială și minimi sunt prezentate în tabelul 22.

Combinăție	$\sigma_{-1}$ min N/mm <sup>2</sup>	$\sigma_{-1}$ N/mm <sup>2</sup>	$\sigma_{-1}$ max N/mm <sup>2</sup>
C 1	204,69	230,83	255,57
C 2	215,8	231	246,2
C 3	184,2	232,5	279,8
C 4	195,6	206	216,3

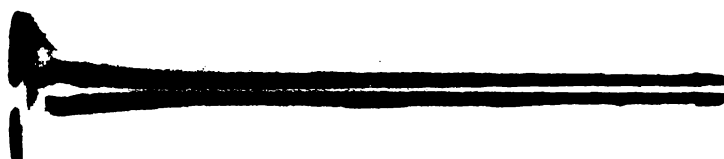
Tabelul 22. Valurile tensiunilor de obosale la torsiune

Combinățiile C1, C2, C3 au tensiuni la obosale medii apropiate. Combinăția C4 are o valoare mai scăzută cu aproximativ 25 N/mm<sup>2</sup>, dar este cea mai economică (din punct de vedere al formei constructive și al costului materialelor). În prezent pieze sudate în cele patru combinații se află în durată la întreprinderile "Timpuri Noi" București urmând ca decizia alegerii uneia din cele patru variante să se ia în funcție de rezultatele durării.

2.8.4. Indiferent de varianta care se va adopta la întreprinderile "Timpuri Noi" București înlocuirea operațiiei de forjare a elementelor de arberi cotiți cu stântarea contragreutăților din table și sudarea lor prin frecare cu bare laminată va conduce la refacerea pierderilor tehnologice și la obținerea unor importante economii de muncoperă, materiale și energie electrică. Aceste economii se estimează la cel puțin 400.000 lei/an la actualul volum de producție al întreprinderii.

### 2.9. Sudarea supapelor motoarelor diesel

Tehnologia de sudare prin frecare a supapelor motoarelor diesel s-a studiat cu cca șase similarii de către I.G.M. Reșița a fabricației motoarelor diesel tip ALCO. Supapele acestor motoare (figura 116) au capul forjat sub formă de ciupercă din oțelul sustenitie termoresistent 21.4H și coada forjată sub formă de bare din oțelul de îmbunătățire 40MoCr15. Ambele componente au în zonele sudurii diametrul de 18 mm.



**Picior 116. Supapă de motor ALCO**

**Compoziția chimică și caracteristicile mecanice ale materialelor utilizate se inseră în limitele prezentate în tabelul 23.**

Tipul oțelului	Compoziția chimică %												Caracteristici mecanice			
	C	Mn	Si	Cr	Ni	Mo	S	P	Cu	Ti	N 2	Rc N/mm	Rm N/mm	δ %	χ %	
21- 4 N	0,47	8,0...	max.	20,0	3,25		0,04	max.			0,38					
SAE- EV8	0,57	10,0	0,25	22,0	4,50	-	0,09	0,03	-	-	0,50	527	1145	9	9	
40MoCN15	0,37	0,50	0,17	0,60	1,25	0,15	max.	max.	max.	max.		950	1100		50	
STAS 791- 80	0,44	9,80	0,37	0,90	1,65	0,30	0,035	0,035	0,30	0,02	-	850	1000	12	55	

**Tabelul 23. Compoziția chimică și caracteristicile mecanice ale materialelor de bază**

**Caracteristicile mecanice ale acestor oțeluri se obțin în urma aplicării următoarelor tratamente termice :**

**- pentru oțelul 21.4N : călire în apă după o încălzire la  $1170^{\circ}\text{C}$  și menținere 14 ore la  $760^{\circ}\text{C}$  (durificare);**

**- pentru oțelul 40MoCN15 : călire în ulei după o încălzire la  $950^{\circ}\text{C}$  urmată de o revenire în ulei după o menținere 1,5 ... 2 ore la  $580^{\circ}\text{C}$ .**

Structura oțelului 21.4F este austenită cu carburi complexe plesate intergranular și în șiruri, figura 117.

Structura oțelului 40MoCr15, în stare nefimbunătătită, este ferito-perlitică în șiruri, figura 118.

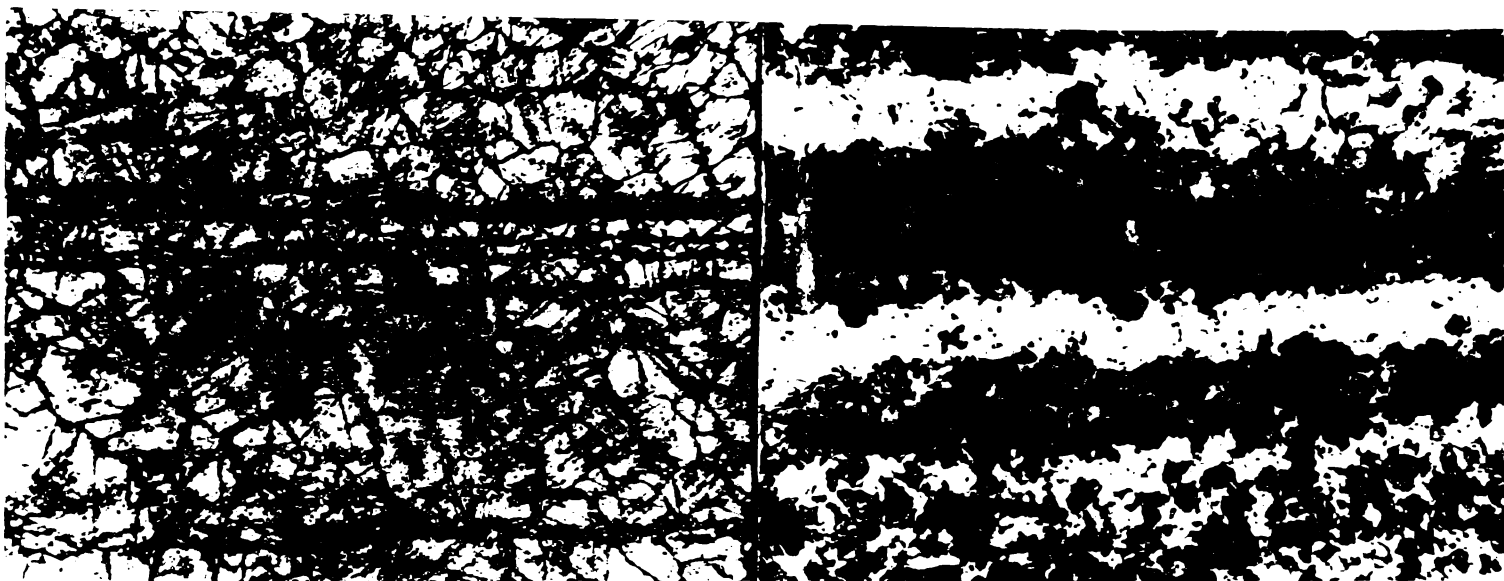


Figura 117. Structura oțelului  
21.4F, x100, V2A

Figura 118. Structura oțelului  
40MoCr15, x100, Nital 2%

3.9.1. Parametrii regimului de sudare a componentelor de supele s-au ales încercând aproximativ 20 regimuri. Eliminarea regimurilor necorespunzătoare s-a făcut pe baza rezistenței la tractiune, folosind ca și criteriu,  $R_g$  sudură  $\geq R_m$  material de bază. Se recomandă următorii parametrii de sudare :

- viteza de rotație 1450 rot/min ;
- presiunea de frecare  $130 \text{ N/mm}^2$  ;
- presiunea de refulare  $195 \text{ N/mm}^2$  ;
- timp de frecare 10,32 secunde ;
- timp de refulare 2,75 secunde .

Sudurile realizate cu regimul menționat au fost analizate din următoarele puncte de vedere :

- aspect macro-microstructural și variațiile de duritate de-a lungul zonelor sudurii ;
- rezistență la tractiune statică ;

- rezistență la tractiune dinamică ;
- rezistență la tractiune la temperatură  $\vartheta = 200^{\circ}\text{C}$ .

3.9.2. Oțelurile din care sunt făcute cele două componente ale supapelor sunt diferite din punct de vedere al compoziției chimice, al structurii metalografice, al caracteristicilor mecanice și se comportă diferit din punct de vedere al deformării plastice. Oțelul 21.4E, oțel termoresistent se deformează mai greu decât oțelul 40MoCr15 și din acest motiv la sudare se folosește matriță de formare (figura 119) care se montează pe capătul de sudat al barei din 40MoCr15 pentru a împiedica deformarea excesivă a acesteia și provoacă deformarea oțelului 21.4E.

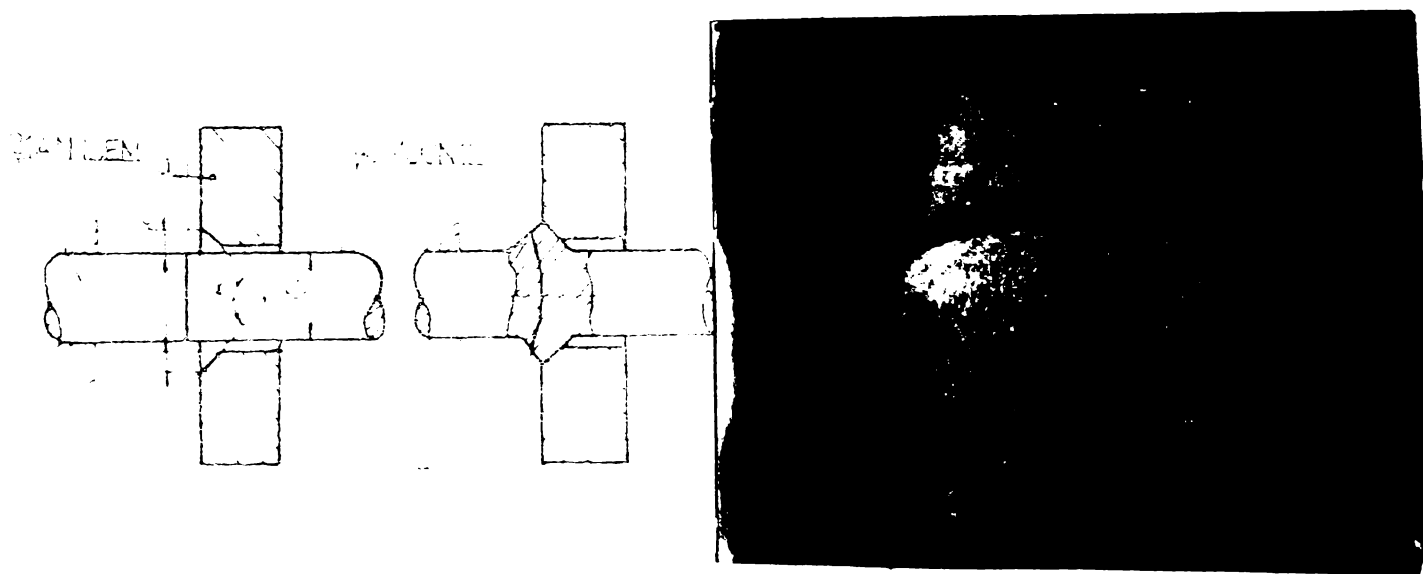


Figura 119. Matriță de formare

Figura 120. Macrostructură supapei sudate prin frecare

Datorită utilizării matriței de formare, la macrostructurile supapelor sudate (figura 120) suprafetele de separare între cele două materiale au o formă curbă.

Sudurile realizate nu au defecte macrostructurale.

Pieseile sudate și netratate termic sunt fragile și dure, duritatele atingând 600 HV5 în zonele sudurii : Stabilirea tratamentului termic pentru piesele sudate a fost dificilă deoarece

fiecare din cele două materiale reclamă alt tratament termic. În urma experimentărilor s-a ajuns la următoarea tehnologie :

- a) Tratamentul termic complet al capului supapei :  
călire + durificare
- b) Călirea cozii supapei
- c) Sudarea prin frecare a celor două componente
- d) Revenirea piesei sudate

Din punct de vedere microstructural, sudura prezintă o zonă centrală cu o structură fină formată din amestecul celor două materiale (figura 121). Modificările structurale din materialul 21.4N se caracterizează prin creșterea grăunților în zona influențată termic față de materialul de bază, iar în vecinătatea plamului central al sudurii se observă o alungire a acestora în direcție perpendiculară pe axa barei (figura 122). În materialul 40MoCr15 datorită tratamentului termic de revenire aplicat pieselor sudate, în toate zonele avem o structură de revenire (perlită, bainită, cu precipitați), asemănătoare materialului de bază (figura 123).



Figura 121. Microstructura zonei centrale, x500, V2A+ Nital 2%

Figura 122. Microstructura zonei central spre ZIT,  
oțel 21.4N, x500

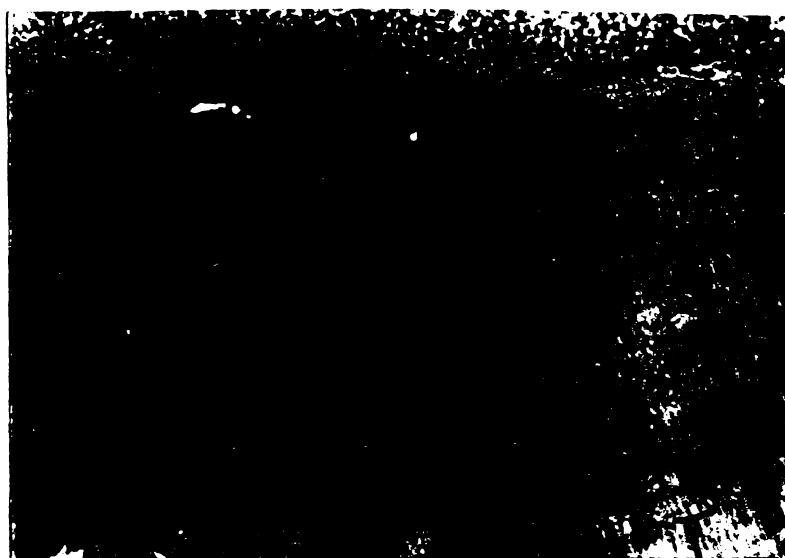


Figura 123. Microstructura zonei centrale spre ZIR  
oțel 40MoCr15, x100

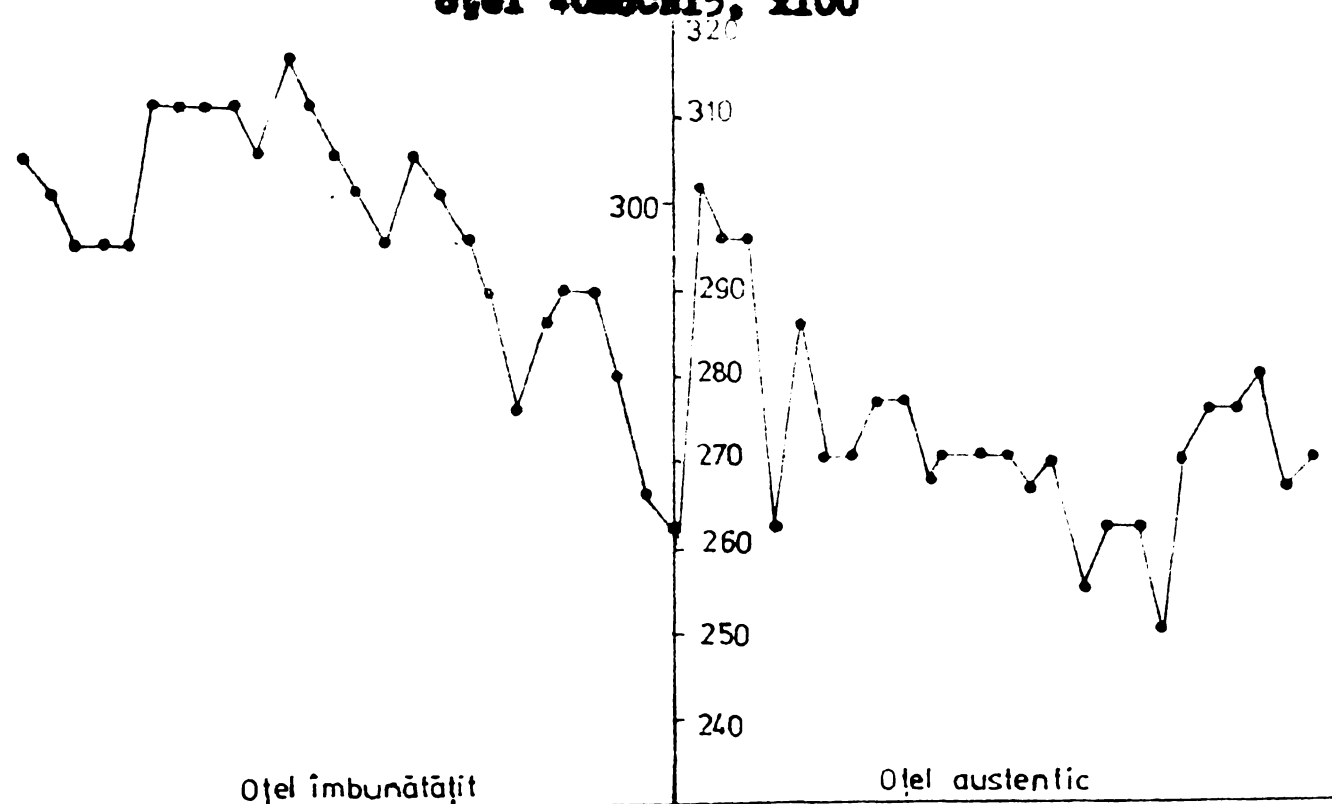


Figura 124. Varietăile de duritate de-a lungul zonelor sudurii

Varietăile de duritate s-au determinat prin măsurători HV2. Din diagrame, figura 124, se observă că nu există variații mari de duritate la trecerea de la un material spre celălalt.

2.9.3. Încercările mecanice s-au efectuat pe epruvete standardizate prelevate din piesele sudate.

În incercarea la tractiune statică efectuată pe cinci epruvete cu diametrul de 16 mm în zona calibrată, toate ruperile au avut loc în materialul capului supapei.

Încercarea la tractiune dinamică s-a efectuat cu un ciocan pendul Charpy cu o energie de 300 Nm având dispozitivele de prindere adaptate pentru tractiune dinamică. Epruvetele, cu diametrul de 6 mm în zona calibrată, s-au rupt fragil, în afara ZIT, în oțelul 21.4N, figura 125.

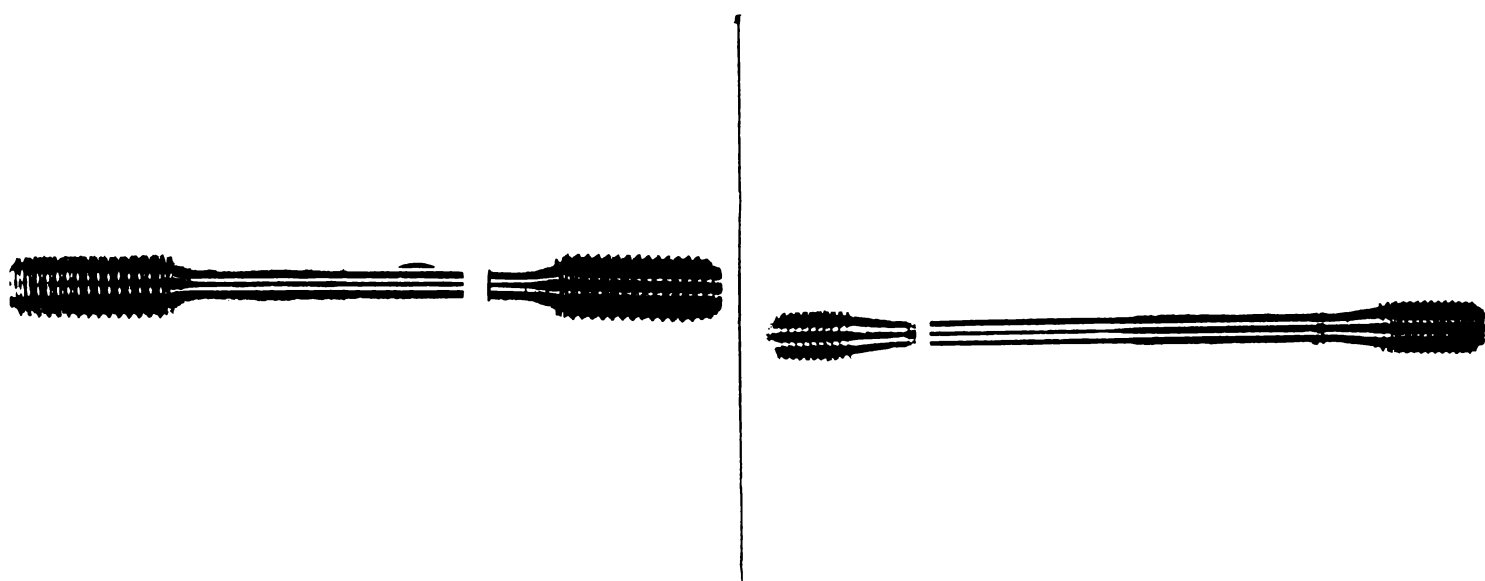


Figura 125. Epruvetă ruptă prin tractiune dinamică

Figura 126. Epruvetă ruptă prin tractiune la 200°C

Încercarea la tractiune la cald s-a efectuat la temperatură de 200°C, apreciindu-se că ar fi temperatura maximă care se atinge în zona sudurii. Ruperile s-au produs în zona calibrată, de 10 mm diametru, a oțelului 21.4N, figura 126.

Rezultatele încercărilor mecanice, interpretate statistic cu o încredere  $\gamma = 0,95$ , sunt prezentate în tabelul 24.

Felul încercării	Nr epruvetă	Media	Interval de confidență		P	K	Interval de toleranță	
			L	U			L	U
tractiune statică N/mm <sup>2</sup>	5	1222	1118	1156	0,95	5,744	946	1428
tractiune dinamică N/mm <sup>2</sup>	5	1148	1033	1263	0,95	5,079	933	1763
tractiune la cald N/mm <sup>2</sup>	5	878	848	908	0,95	5,079	757	939

Tabelul 24. Rezultatele încercărilor mecanice

3.9.4. Pe baza rezultatelor obținute s-a trecut la fabricarea în țară a supapelor de motoare ALCO, eliminindu-se importul acestora începând din anul 1974.

### 3.10. Sudarea sculelor aschietoare /62/

Confectionarea sculelor de tip : burghie, freze, tarozi din două părți sudate prin frecare, este aplicația cea mai răspândită la ora actuală a acestui procedeu. Până la apariția sudării prin frecare, sculele s-au sudat electric prin presiune, prin topire intermediară. Procedeul de sudare prin frecare a înlocuit sudarea electrică prin presiune datorită avantajelor tehnico-economice și anume : obținerea unor suduri calitativ superioare cu un consum energetic, de manoperă și materiale mai scăzut; creșterea productivității procesului de sudare; creșterea preciziei geometrice (coaxialitatea) pieselor sudate prin frecare și eliminarea aproape în întregime a rebuturilor la sudare. Totodată s-au îmbunătățit condițiile de mediu prin eliminarea degajărilor de fum, scintei, împreșcări de material incandescent.

Dintre oțelurile utilizate pentru părțile active ale sculelor s-au luat în studiu oțelurile Rp3, Rp5, W3433. Compoziția chimică și caracteristicile mecanice ale oțelurilor folosite la experimentări se prezintă în tabelul 25.

Tip oțel	Compoziția chimică %										Rc Nm/mm²
	C	Si	Mn	Cr	Mo	N	V	S	P	-	
Rp 3	0,75	0,42	0,25	3,4	-	15,5	0,43	0,012	0,05	-	722
Rp 5	0,78	-	-	3,57	5,5	1,21	1,75	0,015	0,019	-	71
W 3433	0,87	0,34	0,31	4,13	5,13	6,01	1,8	0,018	0,018	-	-

Tabelul 25. Compoziția chimică și caracteristicile mecanice ale oțelurilor utilizate.

Oțelurile de scule au structura formată din perlită fină cu carburi complexe uniform distribuite (figura 127).

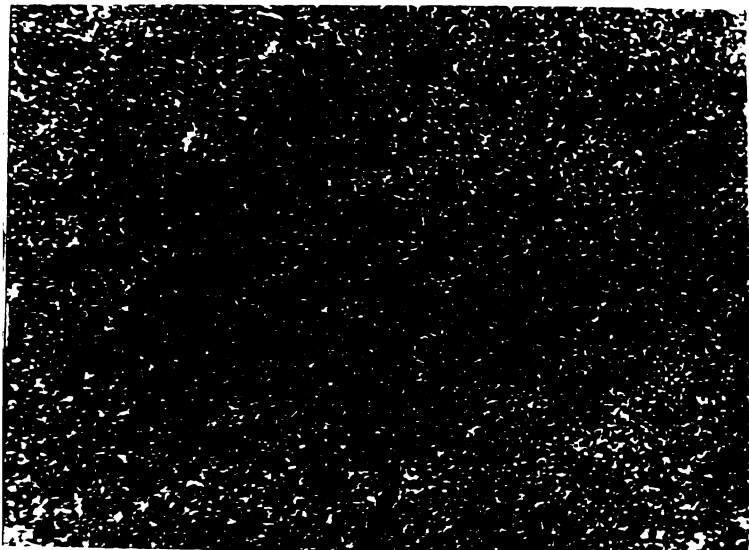


Figura 127. Microstructura oțelului Rp5, x300

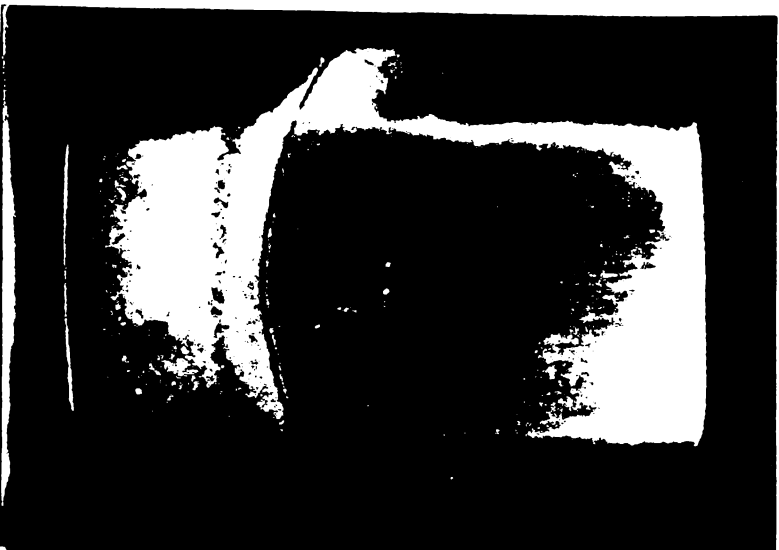


Figura 128. Macrostructura probei Rp5 + OLC45, ⌀ 16 mm

Partea de suport, respectiv coada sculei, se confectionează din oțel OEC45, oțel care a fost prezentat în subcapitolele anterioare.

3.10.1. Experimentările de sudare s-au efectuat pe semi-fabricate sub formă de bare de 12, 14, 16 și 22 mm diametru. Selectarea regimurilor de sudare s-a făcut pe baza rezistenței la tracțiune statică, unghiului de răsucire pînă la rupere și scurtării axiale. Cele mai bune rezultate s-au obținut cu regimurile prezentate în tabelul 26.

Combinăția de materiale	Diametrul pre-selor, mm	Parametrii regimului de sudare						Scurgere axială medie
		p, min <sup>-1</sup>	p, freq. <sup>-1</sup>	p, raf., N/mm <sup>2</sup>	t, freq., secunde	t, ref., secunde	t, secunde	
Rp5 + OLC 45	12	1450	300	36	2,5	7,16	4,5	
	16	135	250	25	2,44	7,16	5,5	
Rp 3 + OLC 45	16	1450	250	17	2,44	7,16	5,1	
	22	1450	130	13	18,55	7,16	8,1	
M3033 + OLC 45	14	135	150	30	4,52	7,72	5,7	

Tabelul 26. Parametrii regimului de sudare a sculelor

Sudurile executate cu aceste regimuri au fost studiate din următoarele puncte de vedere :

- aspect macro-microstructural și variații de duritate de-a lungul zonelor sudurii
- rezistența la tracțiune
- rezistența la torsiune.

3.10.2. Din punct de vedere macrostructural piesele sudate nu prezintă defecte (figura 128). Suprafața de separație dintre cele două materiale are forma convexă datorită folosirii la sudare a matricei de formare la fel ca și la sudarea supapeilor (figura 119).

Piesele sudate și netratate termic după sudare, respectiv răcite în aer, sunt extrem de dure și fragile. Prelucrarea mecanică în aceste condiții devine dificilă și piesele se rup fragil la simpla lor elidere de la o anumită înălțime. În zona influențată termic a oțelului W3433 netratat termic după sudare se formează o structură poliedrică cu martensită, susținută reziduală și carburi complexe în șiruri, (figura 129). Duritatea în această zonă atinge valori de peste 900 HV1. Din acest motiv, imediat după sudare piesele se introduc într-un cupor încălzit la 450...500°C. După terminarea sudării unui anumit lot de piese, temperatura cupotorului se ridică la 840...850°C și se menține această temperatură 240 minute după care piesele se răcesc odată cu cupotorul.

Examinarea microscopică a pieselor sudate și recopate evidențiază în zona centrală (figura 130) o subzonă decarburată a materialului OLC45. Zona limitrofă se remarcă printr-o structură fină cu carburi complexe și perlită. Zona influențată termic a oțelului rapid se caracterizează prin prezența perlitei globulare fine și a carburiilor complexe uniform distribuite în masa perlitică (figura 131). Zona influențată termic a oțelului OLC45 are structura formată din ferită și perlită, care datorită ciclului termic de la sudare, sunt aşezate în formațiuni separate având numai uneori tendință de a forma o rețea de ferită în jurul unor formațiuni de perlită (figura 132).

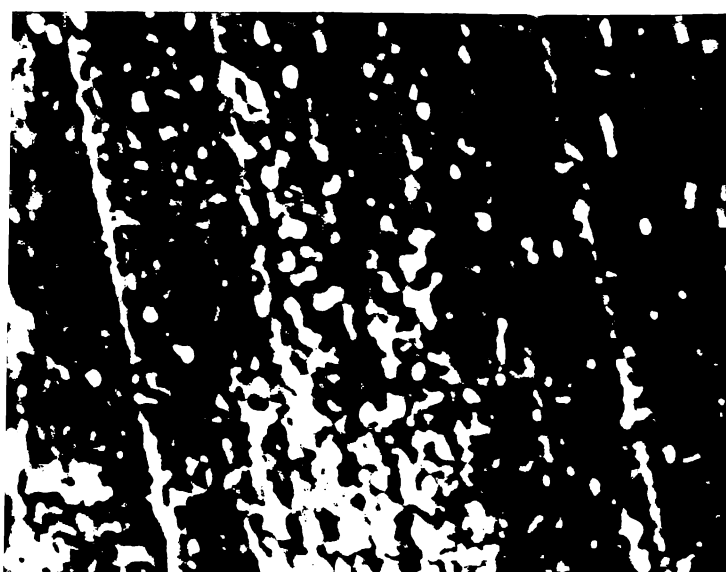


Figura 129. Microstructura ZIT,  
oțel W3433, netrăstat după sudare,  
x500, Nital 2%



Figura 130. Microstructura ZC,  
Rp5 + OLC45, recopit după sudare,  
x300, Nital 2%

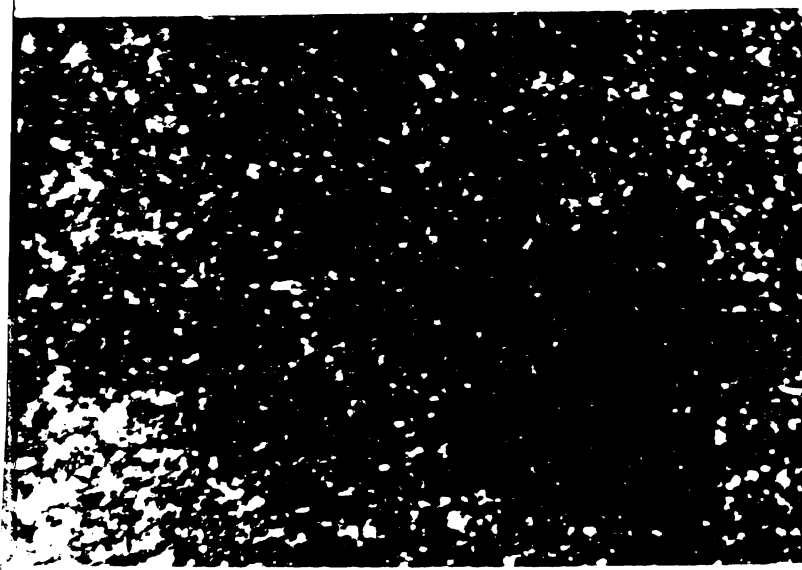


Figura 131. Microstructura ZIT,  
Rp5, recopit după sudare, x300,  
Nital 2%



Figura 132. Microstructura ZIT,  
OLC45, recopit după sudare, x300,  
Nital 2%

3.10.3. Tipodimensiunile de 12 și 16 mm s-au studiat comparațiv prin freare și prin topire intermediară. Rezultatele obținute se prezintă în tabelul 27.

Diametru barelor	Criterii de comparatie	Sudare prin frecare	Sudare prin topire intermediara
	Timp de sudare	9,46 secunde	36 secunde
	Extindere ZIT :		
	OLC45	8 mm	12 mm
	Rp5	4 mm	8 mm
12 mm	Duritate max. :		
	ZIT OLC45	260 HV5	220 HV5
	ZIT Rp5	360 HV5	360 HV5
	Torsiune	452°	247°
	R <sub>m</sub> mediu	673 N/mm <sup>2</sup>	599 N/mm <sup>2</sup>
	Structura	Ferito-perlitica fină cu carburi complexe	Necorespunzătoare având formațiuni de ledeburită
	Timp de sudare	14,60 secunde	36 secunde
	Extindere ZIT :		
	OLC45	12 mm	16 mm
	Rp3	7 mm	10 mm
16 mm	Duritate max.:		
	ZIT OLC45	240 HV5	220 HV5
	ZIT Rp3	350 HV5	340 HV5
	Torsiune	670°	263°
	R <sub>m</sub> mediu	653 N/mm <sup>2</sup>	632 N/mm <sup>2</sup>
	Structura	Ferită-perlită fină cu carburi complexe	Necorespunzătoare având formațiuni de ledeburită

Tabelul 28. Date comparative ale sudării prin frecare și prin topire intermediară

Din tabel rezultă superioritatea sudurilor realizate prin frecare și anume, timpii de sudare sunt mai mici; zone influențată termic mai îngustă; unghiul de răsucire pînă la rupere mai mare, structură corespunzătoare. La sudarea prin topire intermediară în zona centrală a sudurii apar formații de rețea ledeburitice grosolane, figura 133, care apar mai/ales la supraîncălziri și sint nedorite în sudură deoarece constituie amorsă metalurgică de fisurare fragilă.



Figura 133. Microstructura zonei centrale a sudurii realizate prin topire intermediară, x300, Bițal 26

3.10.4. Avantajele de ordin tehnic ale sudurii prin frezare se regăsesc și în cifrele de eficiență economică. Aprecierea le-a supraeficienței economice a procedului s-a efectuat luând în considerare productivitatea procedului, scurtarea pierderii la sudare. Pe baza datelor oferite de I.S.Rignov s-au obținut valoriile de eficiență din tabelul 26.

	Ø 12mm		Ø 16 mm		Ø 22mm	
	STI	SF	STI	SF	STI	SF
Manopera [lei/buc]	0,0766	0,0385	0,0837	0,0504	0,109	0,0616
Consum energie [lei/buc]	0,0669	0,0030	0,072	0,0147	0,0162	0,0436
Scurtare la sudare [lei/buc]	0,0172	0,00389	0,027	0,0217	0,0489	0,0148
TOTAL	0,1607	0,05739	0,1836	0,0868	0,174	0,1812

Tabelul 26. Eficiență economică globală a sudurii prin frezare (SF) față de sudarea prin topire intermediară (STI)

3.11. Sudarea rotoarelor de turbină /63/

Motoarele diesel de 150 CP sunt utilizate cu turbosuflante pentru supraalimentare, fabricate la întreprinderea Hidromecanica Brașov. Aceste turbosuflante cu partea de turbină (figura 134) compusă dintr-un rotor turnat din materialul turboterm W4989 și un ax din oțel OLC45. Compoziția chimică și caracteristicile mecanice ale materialelor utilizate la experimentări se prezintă în tabelul 29.



Figura 134. Turbină pentru supraalimentarea motoarelor diesel



Figura 135. Microstructură materialului W4989, x100, Nital 25

Materiale	Compoziția chimică %											Caracteristici mecanice			
	C	Mn	Si	S	P	Cr	Ni	Mo	W+Nb	Fe	Cr	Rc N/mm <sup>2</sup>	Rm N/mm <sup>2</sup>	A 5 %	2
W 4989	0,40	0,60	0,36	0,018	0,014	19,70	20	3,70	7,90	5,50	rest	390,8	519,8	2,26	256
OLC 45	0,45	0,58	0,28	0,28	0,015	-	-	-	-	rest	-	376,8	592,6	22,4	45,8

Tabelul 29. Compoziția chimică și caracteristicile mecanice ale materialelor utilizate

Examinările structurale au evidențiat pentru materialul rotorului o structură specifică aliajelor de cobalt, cu carburi speciale în masa eutectică (figura 135). Materialul cozii are o structură ferito-perlitică în rețea cunoscută (subcapitolul 3.4).

3.11.1. La experimentările de sudare efectuate pentru determinarea parametrilor optimi de sudare s-a văzut că aliajul de cobalt se deformează plastic mai greu decât oțelul OLC45 și, din acest motiv, se utilizează matriță de formare (figura 119) montată pe dispozitivul de prindere al axului turbinei. Din punct de vedere al rezistenței la tracțiune și al scurtării axiale cele mai bune rezultate s-au obținut cu următorii parametrii de sudare:

- viteza de rotație 1450 rot/min ;
- presiune de frecare  $140 \text{ N/mm}^2$  ;
- presiune de refulară  $250 \text{ N/mm}^2$  ;
- timp de frecare 23,8 secunde ;
- timp de refulară 7,16 secunde ;
- scurtare axială medie 6,3 mm .

Diametrul componentelor în zona sudurii a fost de 25 mm.

Pieselete sudate au fost examinate macro-microstructural, din punct de vedere al variațiilor de duritate și încercate la tracțiune.

3.11.2. Macrostructurile rotorilor de turbină sudăți prin frecare nu evidențiază defecte de sudare și se observă ca formă cu cele prezентate la sudarea supapelor și sculelor, zona de separație a celor două materiale are o formă concavă datorită utilizării matriței de formare.

Examinând la microscop zonele sudurii, se delimitescă zona centrală, (figura 136) rezultată din amestecul celor două materiale, în care se remarcă "zone albe" specifice sudurilor realizate prin presiune la materialele bogat aliate. Zone influențată termic spre materialul rotorului Z4939 formată din aglomerări de carburi speciale în masa eutectică are granulația mai mare

decit materialul de bază și grăunții orientați în direcția linilor de curgere a materialului spre bavură (figura 137). Zone influențată termic a materialului OLC45 evidențiază o structură ferito-perlitică cu ferită aciculară în vecinătatea zonei centrale.

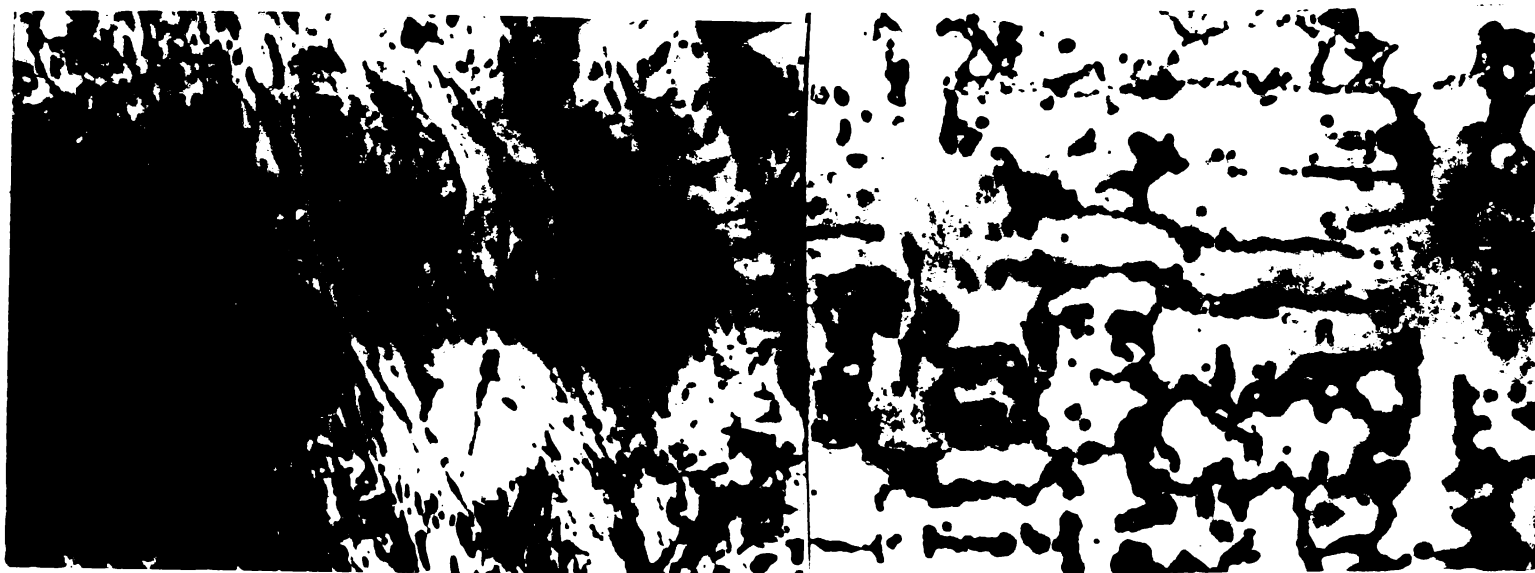


Figura 136. Microstructura zonei centrale a sudurii, x100,  
Nital 2% + V2A

Figura 137. Microstructura ZIT a materialului W4939, x100,  
V2A

Duritățile au valori cuprinse între 290 ... 330 HV5 în partea de rotor și 175 ... 230 HV5 înspre coada turbinei. Treceerea de la o duritate de material la alta se face prin sudură fără să se remarcă o durificare a acesteia.

Rezultatele măsurătorilor de duritate și studiul microstructural ne permit să tragem concluzia că turbinele sudate prin frecare cu regimul menționat nu necesită tratament termic după sudare.

3.11.3. Piezele sudate au fost încercate la tracțiune. Ruperile s-au produs în materialul de bază, W 4939, la valori medii de  $556 \text{ N/mm}^2$ .

3.11.4. Realizarea rotorului de turbină din două componente a avut ca efect o economie considerabilă de aliaj de cobalt. Într-o primă variantă sudarea celor două componente s-a efectuat manual cu electrozi înveliți, tehnologie care nu a dat

satisfacție din punctul de vedere al preciziei geometrice a piesei sudate și a rezistenței sudării. Sudarea prin frecare elimină neajunsurile sudării manuale în condițiile obținerii unor importante economii de măsură, material și energie electrică estimată pentru întreprinderea "Hidromecanica" Brașov la aproximativ 250.000 lei/an.

### 3.12. Sudarea carcăselor de bobine

Anumite tipuri de distribuitoare hidraulice au carcăsele bobinelor compuse din trei piese : corp bucăță și ștuț cu dimensiunile și forme ca în figura 133. S-a pus problema sudării prin frecare a celor trei componente, dintre care corpul și ștuțul confectionate dintr-un material cu foarte bune proprietăți magnetice, iar bucața intermediară dintr-un material nemagnetic.

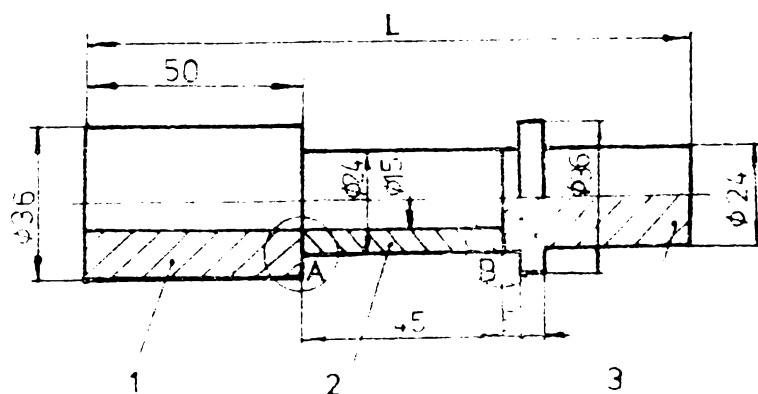


Figura 133. Componente de carcasse bobine

S-au încercat următoarele trei combinații :

- 1) fier armeo (corp) + BzAl10 (bucăță) + fier armeo (ștuț)
- 2) fier armeo (corp) + Aluminiu (bucăță) + fier armeo (ștuț)
- 3) fier armeo (corp) + oțel 7TNC190 (bucăță) + fier armeo (ștuț)

Pieselete sudate în cele trei combinații au fost încercate la tracțiune. Cele mai bune rezultate s-au obținut la combinația 3), respectiv fier armeo + oțel inoxidabil.

Compoziția chimică a celor două materiale se prezintă în tabelul 30.

Tip material	Compoziția chimică (%)						
	C	Mn	Si	P	S	Ni	Cr
otel inoxidabil 7TNC 180	0,08	1,71	0,59	0,029	urme	8,92	17,73
fier armco	0,12	1,09	0,08	0,079	0,191		

Tabelul 30.

Din punct de vedere structural materialul de bază magnetic, fierul armco, prezintă o structură din perlită și ferită în benzi iar oțelul inoxidabil o structură austenitică cu macle și carburi complexe.

3.12.1. În stabilirea parametrilor regimului de sudare s-a observat că cele două suduri A și B (figura 133) nu se pot realiza cu aceeași parametrii deoarece componentele din fier armco au forme și secțiuni diferite în zonele de sudat, ceea ce implică condiții de încălzire diferite. Parametrii regimului de sudare sunt prezentate în tabelul 31. Cele două regimuri diferă între ele prin faptul că sudura A necesită timp de frecare mai lung decât sudura B.

	Parametri regimului de sudare					Scurtoarea oxita medie mm
	n rot/min	p <sub>frec</sub> N/mm <sup>2</sup>	p <sub>ref</sub> N/mm <sup>2</sup>	t <sub>frec</sub> secunde	t <sub>ref</sub> secunde	
Sudura A	1450	54,5	109	4,52	4,86	3,81
Sudura B	1450	54,5	109	3,22	4,86	3,70

Tabelul 31.

3.1.2.2. Cu aceste regimuri s-au obținut suduri fără defecte macro sau microstructurale. În figura 139 se prezintă macrostructura pieselor sudate. Din punct de vedere microstructural în sudură se observă o zonă centrală, figura 140, formată din amestecul celor două materiale și de ambele părți zona influențată termic. Spre fierul armco structura este perlito-feritică de granulație mai fină decât în materialul de bază iar spre oțelul inoxidabil structura este austenitică cu ferită finisată și carburi complexe.



Figura 139. Macrostructura pieselor sudate.



Figura 140. Microstructura 2 C, x100, Kital 23

Deoarece lungul zonelor sudurii, duritatea maximă în ZIT-ul oțelului inoxidabil nu depășește 270 HV0,1 și nu se rezarcă treptări bruscă de la o valoare la alta a durității. Examinarea microstructurală și măsurătorile de duritate nu reclamă necesitatea unui tratament termic după sudare.

3.12.3. Pieselete sudate au fost încercate la tractiune. Ruperile s-au produs în materialul ștuțului (fier armă) în apropierea ZIT fenomen favorizat și de configurația piesei. Valorile de rupere au fost  $350 \text{ N/mm}^2$ ;  $335 \text{ N/mm}^2$  și  $373 \text{ N/mm}^2$ ; valori ce s-au considerat satisfăcătoare față de solicitările la cere sănt supuse carcasele de bobină.

### 3.13. Probleme de tratament termic al pieselor sudate

Exemplele prezentate în cele 12 subcapitole anterioare, acoperă o gamă mare de oțeluri utilizate ca materiale de bază ale componentelor de sudat. Rezultatele obținute permit concluzia că la sudare prin frecare a oțelurilor, de la oțelurile nealiate cu conținut scăzut în carbon pînă la oțelurile bogat aliaste, indiferent de combinația utilizată, se pot obține suduri de calitate cu îngrijiri comparabile cu ale materialelor de bază.

După cum s-a văzut la sudarea componentelor din oțeluri nealiate cu conținutul în carbon pînă la 0,45% (3.1 și 3.2), piesele sudate nu necesită tratament termic deoarece în sudură nu apar constituente duri sau fragili, duritățile nedepășind 350 HV5. Odată cu creșterea conținutului în carbon, obținerea unor suduri prin frecare corespunzătoare din punct de vedere structural este condiționată de omogenitatea structurală a materialului de bază. Astfel, la sudarea componentelor din OLC45 (subcapitolul 3.3) cele mai bune rezultate s-au obținut în cazul în care materialul de bază a avut o structură ferito-perlitică omogenă, caz în care, nu a fost nevoie de tratament termic după sudare.

La sudarea componentelor a căror materiale de bază au conținutul în carbon  $> 0,45\%$  (subcapitolul 3.4) sau conțin elemente de aliere (subcapitolele 3.6, 3.7, 3.8) ciclurile termice de la sudare provoacă apariția în zonele sudurii a unor constituente structurale duri și fragili de tip martensitic sau bainitic cu durități mai mari de 350 HV5. În aceste cazuri, după sudare, se recomandă aplicarea unui tratament termic.

Tratamentul termic aplicat pieselor sudate este în funcție de gradul de aliere, respectiv tipul oțelului (de îmbunătățire, de scule, termorezistent etc.) și de necesitățile tehnologice de fabricare a piesei respective. Astfel, spre exemplu, o piesă sudată care are ca material de bază un oțel de îmbunătățire poate fi normalizată dacă după sudare urmează prelucrări mecanice sau poate fi îmbunătățită dacă după sudare nu mai sunt necesare prelucrări mecanice. De asemenea, tratamentul termic de îmbunătățire poate fi aplicat complet după sudare sau se poate intercală cu procesul de sudare, după schema călire - sudare - revenire.

Problema tratamentului termic este mai dificilă în cazul sudării a două oțeluri care diferă unul față de celălalt din punct de vedere al compoziției chimice, structuri metalografice și proprietăților mecanice cum a fost de exemplu cazul sudării supapelor de motoare diesel (subcapitolul 3.9). Astfel, dacă s-ar fi utilizat pentru piesa sudată un tratament termic adecvat oțelului cozii supapei 40MoCN15 nu s-ar fi asigurat proprietățile necesare capului supapei realizat din oțelul austenitic termoresistent 21.4N, iar dacă s-ar fi utilizat pentru piesa sudată tratamentul termic potrivit oțelului 21.4N s-ar fi produs arderea oțelului 40MoCN15. În acest caz s-a recomandat intercalarea procesului de sudare cu tratamentul termic respectiv tratarea completă a corpului supapei - călirea cozii supapei - sudarea celor două componente - revenirea piesei sudate. Juxtapoziția acestei combinații a fost confirmată de analizele macro și microstructurale, măsurările de duritate și rezultatele încercărilor mecanice.

Oțelurile de scule după sudare prin frecare necesită un tratament termic de recoscere, deoarece duritatea în zonele sudării poate atinge valori de 900 HV5.

#### 3.14. Încercările mecanice ale pieselor sudate prin frecare

În cadrul celor 12 exemple de aplicații ale procedeului de sudare prin frecare, presentate în acest capitol, piesele sulate au fost supuse la o mulțime de încercări mecanice. Aceste

incercări au fost fie incercări "clasice" : tractiune, îndoire, torsiune, oboscală fie specifice unor piese, ca de exemplu, incercarea cu cală inclinată sub cap respectiv incercarea tensității capului la suruburile de păsuire sau incercare la aplatisare a axelor cardanice etc. De asemenea aceste incercări s-au efectuat fie pe epruvete standardizate prelevate din piesele sudate fie pe piese sudate, debavurate sau nedebavurate.

In toate cazurile, ruperile s-au produs în materialele de bază, atestând astfel calitatea sudurilor obținute cu regimurile recomandate.

#### 4. SUDAREA PRIN PRECARE CU MATERIAL DE ADMIS

##### 4.1. Extinderea domeniului de aplicare a procedeului de sudare prin frecare

Procedeul de sudare prin frecare are o mulțime de variante, în funcție de modul cum este dezvoltată energia cinetică de frecare /64/. La variantele care se aplică industrial pînă în ora actuală, una din componenteile de sudat este antrenată în mișcare de rotație, ceea ce limitează aplicarea procedeului din următoarele motive:

- lungimea componentei rotitoare nu poate depăși 500 mm din cauza posibilității de strîngere și antrenare în mișcare de rotație ;

- la sudarea a două componente cu contur diferit de cel circular, oprirea componentei rotitoare pe conturul componentei fixe (latură pe latură) se realizează cu dispozitive electronice și mecanice complicate și din acest motiv nu s-a extins industrial.

Pentru a depăși aceste limite s-au dezvoltat variante ale procedeului bazate pe scheme prezentată principial în figura 141.

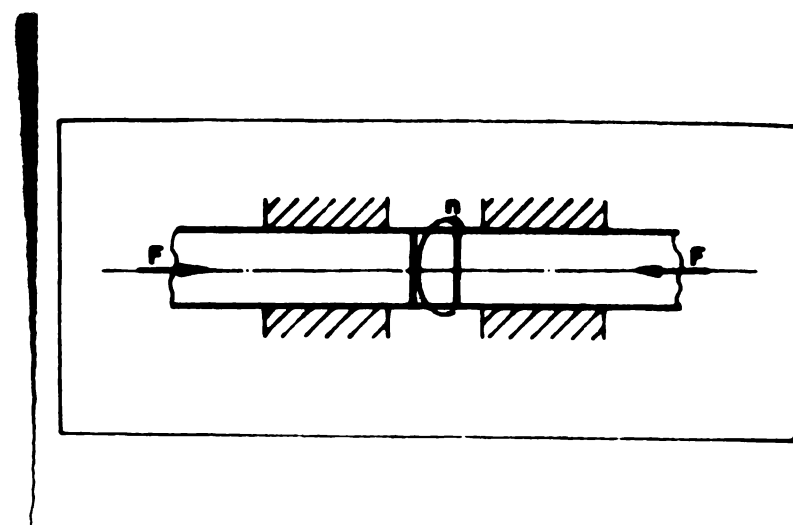


Figura 141. Schema de principiu

Componentele de sudat, prinse în dispozitive adecvate, efectuează o mișcare de apropiere sub efectul forțelor de apăsare axială și între ele se rotește o piesă intermediară realizând astfel încălzirea capetelor în vedere sudării lor. Schema din figura 141 este cunoscută teoretic de mult timp dar punerea în aplicare, respectiv conceperea unui echipament adecvat să dovedit să fi dificilă.

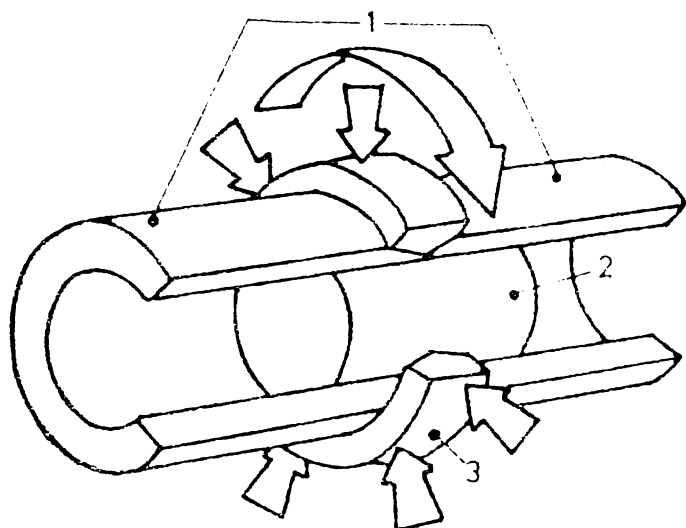
În funcție de materialele care se sudează, de modul în care s-au conceput echipamentele de sudat, se cunosc următoarele trei variante ale procesului :

- 4.1.1. - sudarea prin frecare indirectă /65/,
- 4.1.2. - sudarea prin frecare radială /66/,
- 4.1.3. - sudarea prin frecare cu material de adeos /67/

4.1.1. Procedeul este denumit indirect, deoarece generarea căldurii este realizată de un element separat, de un disc care se rotește între componente de sudat. Discul se rotește pînă cînd se atinge temperatura necesară sudării, după care este îndepărtat, iar componentele sunt refurate împreună. Metoda a fost studiată și experimentată de specialiștii de la ZIS Halle (RDG) pentru sudarea barelor și țevilor de material plastic /41/. Discul se rotește între componente de sudat pînă cînd se atinge temperatura de  $220 \dots 250^{\circ}\text{C}$  după care se îndepărtează și urmează refurarea. Prin acest procedeu se asigură sudării o rezistență la tracțiune de  $0,3 \dots 1$  din valoarea materialului de bază, iar rezistența la oboseală este apropiată de cea a materialului de bază.

4.1.2. Sudarea prin frecare radială, concepută și realizată din anul 1975, la Institutul de sudură din Londra, este prezentată schematic în figura 142.

Două țevi cu capetele tegite conic sunt apropiate și prinse în dispozitive care nu permit rotirea sau deplasarea lor axială. În zona sudării, în interiorul țevilor, se localizează un dorn care susține peretii pentru a nu fi deformati și totodată impiedică formarea bevrurii interioare în timpul procesului de



**Figure 142.** Schema de principiu a sudării prin frecare radiale:  
1 componentă de sudat (țevi) ; 2 dorn de susținere;  
3 inel rigid comprimat și întrenat în rotație

sudare. Un inel solid din material compatibil cu materialul de bază este poziționat în deschizătura capetelor prelucrate ale țevilor de sudat. Inelul are unghiul la vîrf mai ascuțit decât teșitura țevilor pentru a promova curgerea metalului de la baza sudurii precum și pentru a reduce vîrful inițial al momentului de torsion. Pentru a genera condițiile termomecanice necesare sudării inelul este rotit și în același timp supus unei compresiuni radiale uniforme. La terminarea etapei de încălzire prin frecare, rotirea inelului este oprită în timp ce încărcarea radială de compresiune se menține sau chiar crește pentru a consolida sudura.

#### 4.1.3. Sudarea prin frecare cu material de ados

Sudarea prin frecare cu material de ados a fost propovădă la ISIM Timișoara începând cu anul 1975 cind, pe o mașină de sudat prin frecare convențională s-a adaptat un dispozitiv care a permis realizarea sudurilor prin rotirea unor piese

intermediare între două componente apăsate axial una spre celălaltă. Schema de principiu a variantei utilizate se prezintă în figura 143.

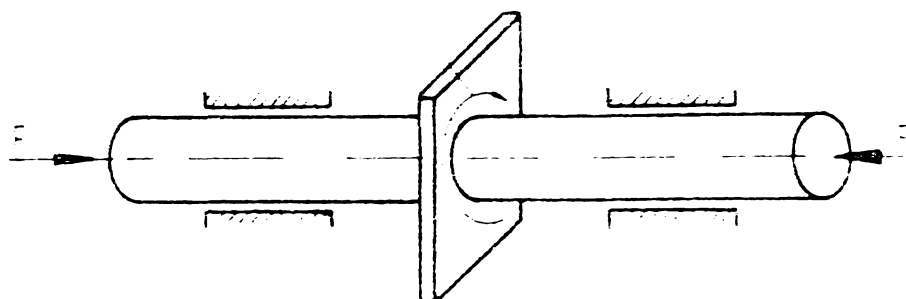


Figura 143. Schema de principiu a sudării cu material de ados.

Materialul de ados are forme de plăcuță. Grosimea plăcuțelor depinde de secțiunea componentelor de sudat. Conturul plăcuței poate avea orice formă ; s-a preferat unul poligonal (pătrat) deoarece acest contur nu necesită mecanisme de strângere în interiorul dispozitivului de rotire, întreaga plăcuță putând fi făcută prin laturile conturului. Materialul plăcuței se preferă să fie similar cu cel al materialului de bază deoarece o parte din acest material participă la formarea sudării.

Materialul de ados este rotit între cele două componente apăsate una spre celălaltă pînă cînd se crează condițiile termomecanice necesare formării sudării respectiv plastificarea materialului capitelor componentelor ; urmășă frinarea materialului de ados și refularea componentelor. Ciclul de sudare este identic cu cel descris în capitolul 1, corespunde sudării prin frecare convenționale și cuprinde cele trei etape cunoscute : etapa de încălzire prin frecare, etapa de frinare și etapa de refulare.

#### 4.2. Sudarea prin frecare radială

Sudarea prin frecare radială, prezentată principal la punctul 4.1.2, devine fezabilă dacă sunt rezolvate următoarele trei condiții :

1 - conceperea unei metode de aplicare uniformă a compresiunii radiale pe inelul de sudat care să nu provoace distrugerea lui ;

2 - conceperea dispozitivului de rotire și aplicare a compresiunii radiale ;

3 - utilizarea unui material corespunzător, respectiv rezistent la temperaturi ridicate și cu conductivitate termică redusă, pentru fabricarea dornului - suport al sudurii.

##### 4.2.1. Echipamentul experimental

Experimentările de sudare au fost inițiate pe o magină de sudat prin frecare convențională adaptată corespunzător. Compreziunea radială uniformă s-a realizat prin apăsarea unui inel conic prelucrat ca în figura 144.a într-o carcășă cu o concavitate interioară potrivită.

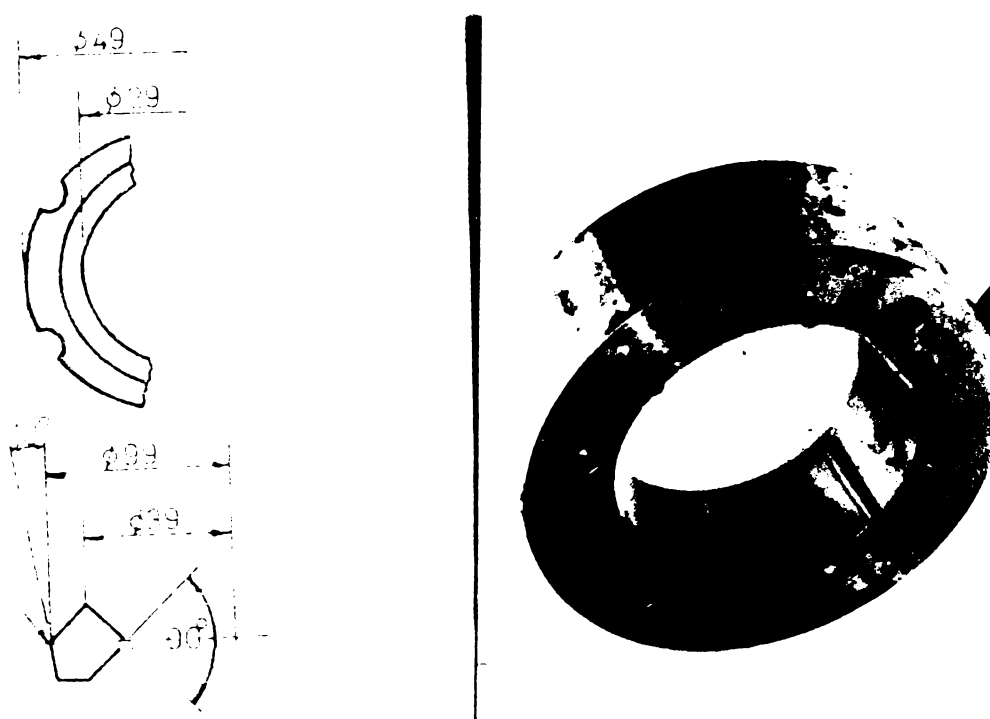


Figura 144. Forme și dimensiunile cubansamblului rotitor :  
a) inel conic; b) carcăș de comprimare și rotire

Experimental s-a constatat că la o forță axială de 100 kN se poate obține o compresiune la rece prin care diametrul interior al găurii se reduce cu 5,5 mm.

Dispozitivului i s-au recunoscut următoarele dezavantaje :

1 - Necessitatea mișcării axiale a inelului față de carcăsă pentru realizarea compresiunii radiale.

2 - Necessitatea prelucrării canelurilor pe inel și carcăsă.

3 - Formă geometrică complicată a inelului.

Pentru depășirea acestor dezavantaje s-a conceput și realizat un dispozitiv multibac la care compresiunea radială uniformă și antrenarea în rotație a inelului intermediar se realizează prin 12 baci prevăzute cu o dantură corespunzătoare. La acest dispozitiv sudarea se poate realiza cu inele intermedii de formă simplă, figura 145.

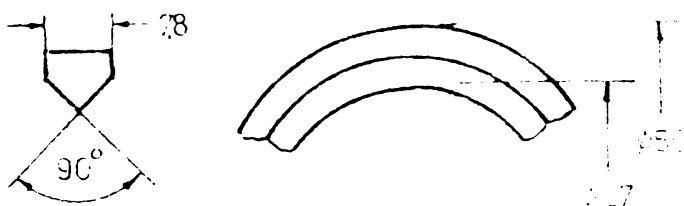


Figura 145. Forma inelului corespunzătoare dispozitivului multibac.

Ambale dispozitive s-au experimentat pe o mașină de sudat prin frecare cu forță axială de 110 kN dotată cu un motor electric de antrenare de 15 kW.

Pornind de la rezultatele promisișătoare obținute de la cele două dispozitive s-a realizat prototipul unei mașini de sudat prin frecare radiale destinață cercetării geometriei inelului și țevilor, parametrilor de sudare și proprietăților statice și dinamice al sudurilor țevilor cu diametrul exterior de 50 mm și grosime de perete de 6 mm.

De asemenea, s-a realizat un dispozitiv care poate suda țevi de 110 mm diametrul exterior și 10 mm grosime. Pentru compresiunea inelului s-a utilizat o forță axială de 1000 kN și pentru antrenarea lui o putere de 270 kW.

#### 4.2.2. Experimentări de sudare

4.2.2.1. În cazul dispozitivului inel-carcesă conică la experimentări s-au utilizat țevi din oțel nealiat cu conținut scăzut în carbon de dimensiunile 33 x 25 mm și inelul de forma și dimensiunile din figura 144.

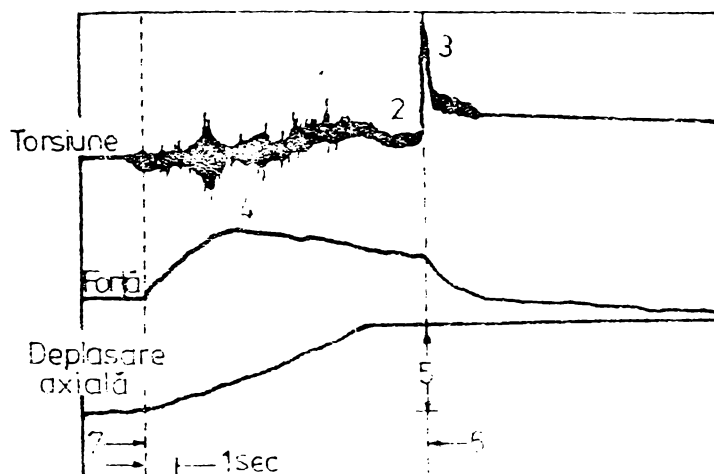
Cu dispozitivul multibac s-au sudat țevi de dimensiunile 33 x 25 mm folosind ca piese intermediare inele de forme și dimensiunile prezentate în figura 145.

Tevile au fost prelucrate în capete în un unghi de  $100 \dots 110^\circ$  și un usâr de 0,4 ... 1,5 mm.

În etapa de încălzire prin frecare carcasa cronică se deplasează față de inelul conic cu o viteză constantă ; durata încălzirii prin frecare fiind determinată de o anumită deplasare axială prestatibilă. În timpul experimentărilor forță de compresiune radială a rămas constantă în timpul frânării și refulării. Inelul intermediar s-a rotit cu o turătie de 2190 rot/min ; la această turătie nu au apărut vibrații radiale care să influențeze negativ procesul de sudare.

Înțial, dornul suport al zonei sudurii s-a executat din oțel inoxidabil dar nu a dat satisfacție deoarece s-a deformat împreună cu țevile de sudat. Dintre materialele încercate cel mai bine s-a comportat un aliaj de Ni turnat  $P_K$  24 folosit la turbine.

În timpul desfășurării procesului de sudare s-a înregistrat variația în timp a momentului de torsion, forței și deplasării axiale obținându-se diagramele din figura 146.



**Figura 146.** Variatia in timp a momentului de torsiune, forței și deplasării axiale. 1 - virf inițial 110 Nm ; 2 - moment de echilibru 30 Nm ; moment final 280 Nm ; 4 - forță maximă 37 kN ; 5 - deformare plastică 9 mm; 6 - sfîrșitul sudurii ; 7 - începutul sudurii.

Prin aplicarea forței axiale crescătoare asupra inelului rece ( la temperatura mediului ambient ), acestea se comprimă radial acționând asupra capătelor țevilor. La sudare, forță necesară comprimării inelului descrește în timp datorită încălzirii acestuia ca urmare a desfășurării procesului de încălzire prin frecare. Nivelele maxime ale forțelor au variat între 32 - 62 kN reflectând diferențele între caracteristicile de generare a căldurii de la sudură la alta. Nivelul de 62 kN este substanțial mai mic decât 100 kN necesare compresiunii la rece a inelului intermediar. În momentul contactului, momentul de torsiune crește spre un virf inițial apoi scade spre o valoare medie, de echilibru, care se menține pînă la sfîrșitul etapei de încălzire cînd crește spre un maxim în timpul frinării inelului intermediar.

Mișcarea axială a inelului în conicitate este relativ liniară în timpul comprimării inelului la rece cît și în timpul sudării. La o viteză de deplasare axială de 0,6 ... 1,5 mm/secundă corespunde o viteză de deformare plastică radială de 0,1 ... 0,25

mm/secundă. Această viteză de deplasare este mai mică decât cea cu care se lucrează în mod obișnuit la sudarea prin frecare convențională, clasică, la sudarea oțelurilor nealiate cu conținut scăzut în carbon. Pentru obținerea unor viteze mai mari s-a preconizat conceperea unor echipamente mai robuste care să permită obținerea unor viteze mai mari de deformare.

Tevile sudate au fost solicitate la o presiune internă de 550 bar. Pentru a provoca ruperea țevilor la această presiune s-a redus prin aşchiere grosimea peretilor cu 2 mm. Fisurile care s-au produs, figura 147, s-au localizat în materialul de bază departe de zonele sudurii.

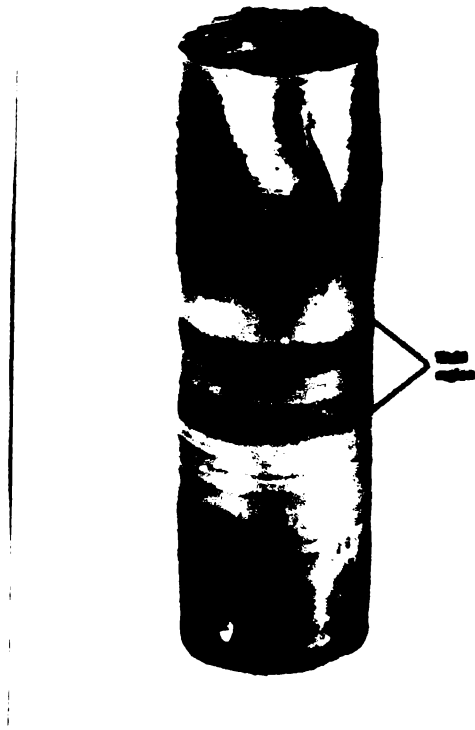


Figura 147. Teava sudată radial prin frecare supusă la presiune internă de 550 bar

Sudurile realizate au fost încercate la îndoire. Pentru aceasta s-au prelevat epruvete sub formă de segmente longitudinale de 6 mm lățime. Îndoires s-a executat cu dormuri de diametrul  $2t$  ( $t$  = grosimea țevii) urmărindu-se determinarea plasticității sudurii din exteriorul respectiv interiorul țevii. Unghiul maxim de îndoire pînă la apariția fisurilor a avut valori cuprinse între  $5$  și  $45^\circ$ . S-a observat că una din suprafețele intermediare ale sudurii a prezentat o zonă oxidată albăstruiie

ceea ce sugerează că trebuie îmbunătățită curgerea de metal în timpul procesului de sudare.

In cadrul experimentărilor s-au sudat țevi pregătite cu unghiul de deschidere de  $100^\circ$  (față de  $110^\circ$ ) fără a se observa modificări în comportarea sudurilor. De asemenea s-au efectuat suduri modificând tureția la 1460 rot/min respectiv la 975 rot/min și utilizând diverse caracteristici de frânare și s-a constatat că modificarea acestor parametri nu a influențat semnificativ aspectul sudurilor din punct de vedere macrostructural și nici caracteristicile lor mecanice.

S-a observat că lăsarea unui rost între capetele țevilor de aproximativ 0,8 mm influențează negativ pătrunderea sudurii pe toată grosimea țevilor iar în zonele periferice s-au depistat defecte de "lipsă de legătură". Defectele constatate s-au atribuit comprimării radiale insuficiente a inelului conic și curgerii limitate de metal în timpul sudării.

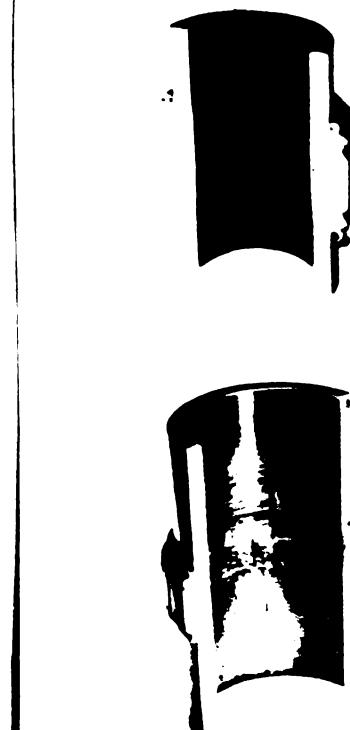
4.2.2.2. Sudarea țevilor cu dispozitivul multibac a evidențiat realizarea unor deformații compresive uniforme a inelelor intermediare iar pregătirea unor sănțulete în capetele bacurilor a avut ca efect o bună transmitere a puterii fără prezența sluncărilor. În figura 148.a se prezintă aspectul inelului sudat pe care sunt vizibile crestăturile de pe suprafața externă și bavura sub formă de colier rezultată din curgerea metalului dintre suprafetele în frecare.

Examinarea macroscopică, figura 148.b a zonei sudurii relevă o suprafață intermediară fără defecte spre exteriorul țevilor și cu incluziuni de oxizi spre baza sudurii.

4.2.2.3. S-au sudat țevi cu diametrul de 50 mm și grosimea peretelui de 6 mm și țevi cu diametrul de 110 mm și grosimea peretelui de 10 mm, figura 149, cu prototipul unei magini concepute după principiul sudării prin frecare radiale. Examinarea macro-microstructurală a evidențiat o sudură fără defecte macrostructurale și microstructurale fiind lipsită de constituenți fragili și de granulație mare.



**Figura 148.** Teava sudată radial cu dispozitiv multibac : a) aspectul exterior al sudurii ; b) aspectul macrostructural



**Figura 148.** Secțiuni prin țevi sudate radial prin frecare : a) țeavă  $\varnothing 50 \times 6$  mm ; țeavă  $\varnothing 110 \times 10$  mm.

Din figura 149 se observă că după sudare nu s-a format o oasvră interioară. Interiorul țevilor a fost susținut de un cop segmentat care are o suprafață rigidă de sprijin și este prevăzut cu găuri radiale fine.

Sudurile realizate s-au încercat la îndoire obținindu-se unghiuri de îndoire mai mari de  $90^\circ$  fără apariția fisurilor.

Încercarea la tracțiune s-a efectuat pe țevi sudate și debavurate. Rezultatele au arătat o creștere a rezistenței sudurii comparativ cu țevile sudate cu arcul electric.

In urma încercării de reziliență, pe epruvete Charpy V prelevate din suduri, s-au obținut valori medii ale energiei de rupere de 71 J la temperatură de  $-10^\circ\text{C}$ .

#### 4.2.3. Perspectivele dezvoltării sudării prin frecare radiale

Realizarea prototipului mașinii de sudat prin frecare radială și rezultatele experimentale obținute au demonstrat că sudarea prin frecare radială poate produce suduri cu caracteristici mecanice ridicate și fără defecte macro și microstructurale în special la sudarea țevilor din oțel. Autorii lucrării /66/ prognozează extinderea sudării prin frecare radiale în următoarele domenii :

a) Sudarea țevilor de foraj marin. Sudarea prin frecare radială menține avantajele sudării prin frecare convenționale privind timpul scurt de sudare, productivitatea ridicată, reproducibilitatea parametrilor de sudare. Spre deosebire de sudarea cu arcul electric procesul de sudare este mai puțin influențat de condițiile climatice nefavorabile și datorită faptului că sudura se poate realiza în plan orizontal și vertical operațiile de sudare a țevilor de foraj se pot efectua chiar pe platformele marine de foraj. Calitatea sudurilor poate fi verificată ultrasonic sau printr-o metodă de control activ al parametrilor regimului de sudare.

De asemenea o mașină de sudat prin frecare radială poate fi exploatată avantajos din punct de vedere economic dacă este montată în halele de fabricație a țevilor de foraj la capătul linilor de fabricație.

b) Sudarea șaibelor și bucelor pe bare. În componenta diverselor montaje sunt necesari arbori cu secțiuni în trepte care de obicei se prelucrează din bare plane sau se forjează, ceea ce necesită un volum mare de manoperă. Cu ajutorul sudării prin frecare radiale se pot obține suduri de formă prezentată în figura 150 care după sudare necesită doar o achiziție pentru a obține forme geometrică dorită. Această soluție oferă posibilitatea obținerii unor bucei cu proprietăți diferite de ale materialului axului pe care se sudează.

c) Sudarea inelilor sau șaibelor în interiorul corpuri-  
lor cilindrice. Dacă în locul dispozitivului de compresiune ra-  
dială se utilizează un dispozitiv care provoacă o dilatăție radia-  
lă uniformă a unui inel, se pot suda în interiorul corpurielor ci-  
lindrice inele cu proprietăți identice sau diferite de cele ale  
materialelor corpurielor cilindrice, figura 151.



Figura 150. Bucă sudată prin  
frecare, radială pe un ax

Figura 151. Inele sudate prin  
frecare radială în interiorul  
țevilor

d) Repararea țevilor de foraj defecte.

#### 4.3. Sudarea prin frecare cu material de adeos

Sudarea prin frecare cu material de adeos se deosebește de sudarea prin frecare indirectă prin faptul că piesele intermedia-  
ră nu numai că incălzesc capetele componentelor de sudat dar și  
poate participa la formarea sudurii. Aceasta are avantajul că  
impuritățile care se găsesc în capetele componentelor sunt elimi-  
nate din sudură, în bavură, prin procesul de curgere a materialu-  
lui plastificat și capetele componentelor nefiind în contact cu

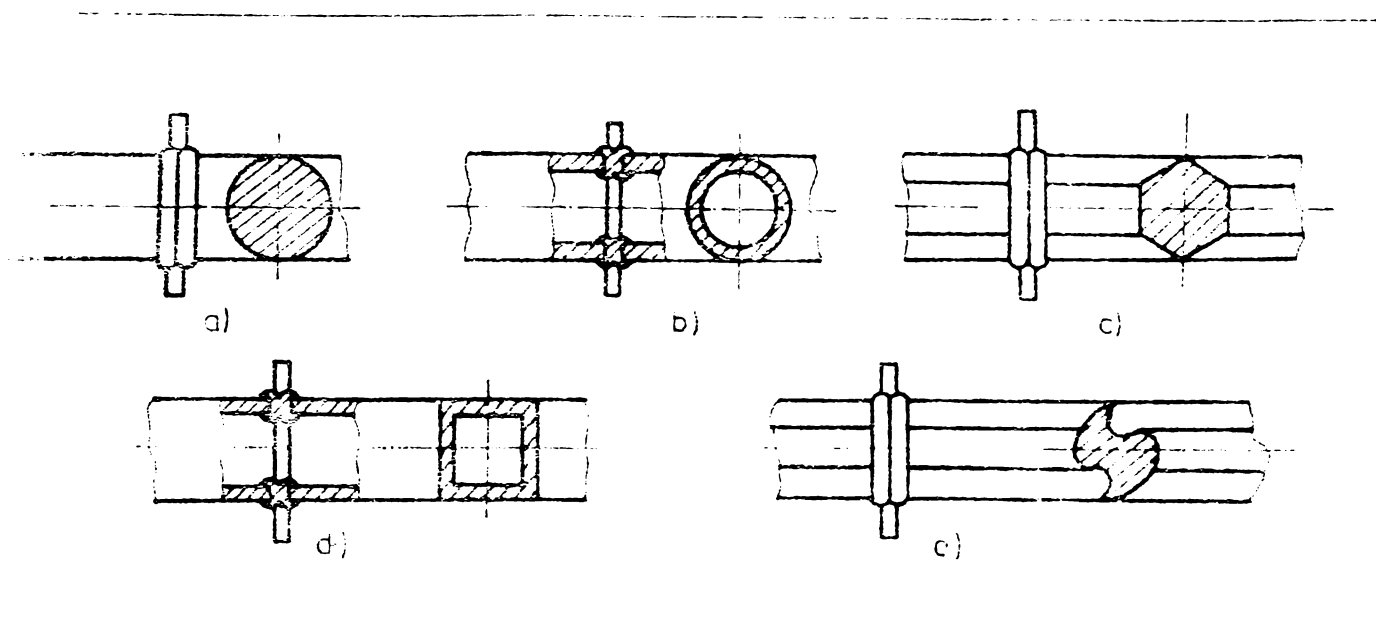
atmosferă în sudură nu apar fenomene de oxidare. Din acest motiv sudarea prin frecare cu material de adaos se poate aplica la toate materialele și combinațiile de materiale la care se aplică sudarea prin frecare clasică, convențională sau prin inertie.

Sudarea prin frecare cu material de adaos se deosebește de sudarea prin frecare radială prin faptul că procesul de sudare cuprinde întreaga suprafață a capetelor componentelor de sudat și piese intermediare – materialul de adaos – nu trebuie comprimat sau diluat radial în vederea sudării celor două componente, ceea ce simplifică considerabil echipamentul de sudare adecvat. Se consideră că principalul avantaj al variantei propuse este posibilitățea sudării unor componente de orice lungime și cu secțiuni de formă diferită de cea circulară (pătrat, hexagon sau de orice formă care asigura o anumită rigiditate). Bazat pe schema de principiu prezentată în figura 143 se pot realiza următoarele tipuri de suduri :

- a) bare rotunde de lungimi mari, figura 152.a
- b) țevi rotunde de lungimi mari, figura 152.b
- c) bare profilate : pătrate, hexagonale etc. de lungimi mari, figura 152.c
- d) țevi profilate: pătrate, dreptunghiulare de lungimi mari, figura 152.d
- e) componente de forme speciale, figura 152.e.

La sudarea țevilor, figura 152.b, obturarea de către plăcuțe intermediare a interiorului țevii respectiv formarea bavurii interioare se pot evita prin utilizarea unor plăcuțe intermediare decupate central conform diametrului găurii și a unor dornuri plasate interior în zona de sudare care împiedică formarea bavurii interioare.

Pentru tipurile de suduri, 152.c,d,e s-a acordat de către OSIM București brevetul nr.72723 pentru inventia cu titlul "Procedeu de sudare a barelor profilate".



**Figura 152.** Tipuri de suduri ce pot fi obținute cu material de ados sub formă de plăcuță

Comparativ cu sudarea prin frecare clasică, convențională sau inertială, și cu celelalte două variante ale sudării prin frecare cu piesă intermediară, sudării prin frecare cu material de ados i se pot recunoaște următoarele avantaje :

- se pot suda componente cu secțiuni de forme diferite de cea circulară ;
- se pot suda componente de orice lungime și toată gama de materiale ce pot fi sudate clasice prin frecare ;
- sudura se realizează pe întreaga suprafață a componentelor de sudat ;
- nu necesită prelucrarea capetelor componentelor ;
- piesa intermediară are formă simplă și nu necesită prelucrări mecanice complicate fiind debitată din table laminate ;
- nu necesită dispozitive complicate de comprimare sau dilatare a piesei intermediare ;
- întrenarea în mișcare de rotație se face prin conturul plăcuței și nu necesită dispozitive complicate ;
- constructiv, maginile de sudat prin frecare cu material de ados sunt mai simple decât cele clasice deoarece nu au nevoie de dispozitive care să preia eforturile axiale considerabile ;

- posibilitatea sudării unor materiale considerate incompatibile cum ar fi aliajele de zirconiu cu unele oțeluri inoxidabile sau unele aliaje de aluminiu cu unele oțeluri. Pentru a le suda se alege în mod corespunzător materialul de adăos ca și material tampon, spre exemplu, aluminiu pur pentru sudarea unor aliaje de aluminiu cu oțeluri.

#### 4.3.1. Echipamentul de sudat realizat

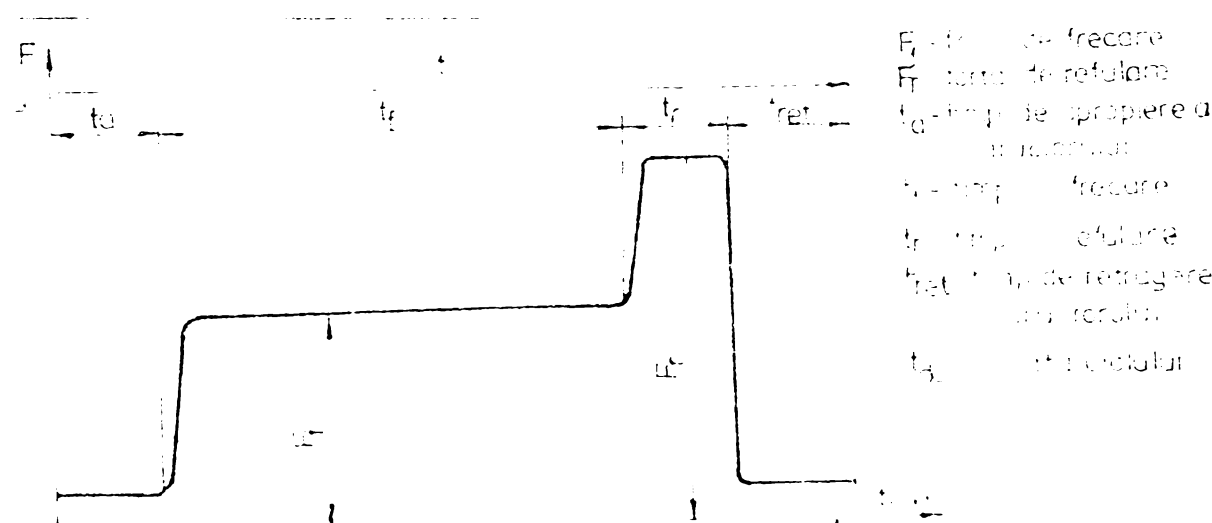
Cu echipamentele de sudat prin frecare existente se pot realiza suduri la care cel puțin una din piese este de revoluție și poate fi antrenată în mișcare de rotație. Piesa care este antrenată în mișcare de rotație este limitată în lungime de către dispozitivul de prindere al acesteia. De la aceste considerante a pornit ideea de a se concepe o mașină de sudat prin frecare cu material de adăos bazat pe schema de principiu prezentată în figura 143.

4.3.1.1. Prințile experimentării s-au efectuat pe o mașină de sudat prin frecare convențională, tip ZTb10 (import RPP) adaptată corespunzător. De la mașina inițială s-a reutilizat parte electrică de comandă și automatizare, sistemul pneumohidraulic de realizare a forțelor axiale și dispozitivele de strângere a pieselor fixe. Pe batiul mașinii s-a montat dispozitivul de prindere și antrenare în rotație a materialului de adăos. Materialul de adăos în acest caz s-a prezentat sub forma unor plăci dreptunghiulare de dimensiunile 40 x 46 mm cu grosimi variabile de la 2 ... 3 mm. O vedere generală a montajului de laborator realizat se prezintă în figura 153.

Echipamentul este semiautomat, ciclul de sudare fiind automatizat, iar introducerea și scoaterea pieselor din mașină se face manual. Sistemul pneumohidraulic al mașinii permite o reglare în trepte a presiunii de frecare și refuzare, figura 154.



**Figura 153.** Montaj de laborator al echipamentului de sudat prin frecare cu material de adasos



**Figura 154.** Variatia in timp a forței axiale utilizată la sudarea prin frecare cu material de adasos.

Montajul de laborator din figura 153 are următoarele caracteristici tehnice :

- diametrul circumferis al pieselor ce pot fi sudate :  
10 ... 20 mm ;
- turistica materialului de adasos : 1500 rot/min ;
- forța de frecare maximă : 45000 N ;
- forța de refuzare maximă 45000 N ;
- presiunea de alimentare : 0,5 MPa ;
- consum de aer comprimat : 8 m<sup>3</sup>/oră ;
- puterea motorului de antrenare : 15 kW .

Dintre părțile componente ale montajului de laborator, elementul de mătase îl constituie dispozitivul de prindere și antrenare în mișcare de rotație a materialului. Antrenarea materialului de adăos (plăcuță intermediară) se face de la un motor electric asincron trifazat de 15 kW cu turată de 3000 rot/min. Mișcarea de rotație se transmite de la acest motor la subansamblul rotor prin intermediul unui pinion din poliamidă grafilită. În interiorul rotorului se găsește locașul pentru materialul de adăos. Materialul de adăos se așează în suportii adăos care permit susținerea și antrenarea unor plăcuțe de dimensiunile 45 x 40 mm și de grosime variabilă de la 2 ... 3 mm. Subansamblul rotor este ghidat și susținut de 4 role din poliamidă grafitată. Pentru o deservire ușoară, respectiv introducerea materialului de adăos și scoaterea piesei sudate ansamblul este compus din două părți. Cele două segmente de rotor se pot deschide ele fiind asambleate printr-un ghidaj coadă de rîndunică. Poziția închis și deschis a rotorului precum și piesele componente ale acestuia se văd în fotografiiile din figurile 155 și 156.



Figura 155. Rotor în poziție închis    Figura 156. Rotor în poziție deschis

Pe modelul experimental realizat s-au făcut experimentări de sudare a unor bare hexagonale cu deschiderea de 14 mm din OLC45. Pentru sudarea lor s-a folosit ca material de adaos plăcuțe din OL37 de dimensiunile 46 x 40 x 4 mm. Pentru realizarea sudurii, figura 157, s-a folosit următorul regim de sudare :

- turătia materialului de adăos : 1500 rot/min
- grosimea materialului de adăos : 4 mm
- presiunea de frecare : 75 N/mm<sup>2</sup>
- presiunea de refuzare : 145 N/mm<sup>2</sup>
- timp de frecare : 4,5 secunde
- timp de refuzare : 1,6 secunde.

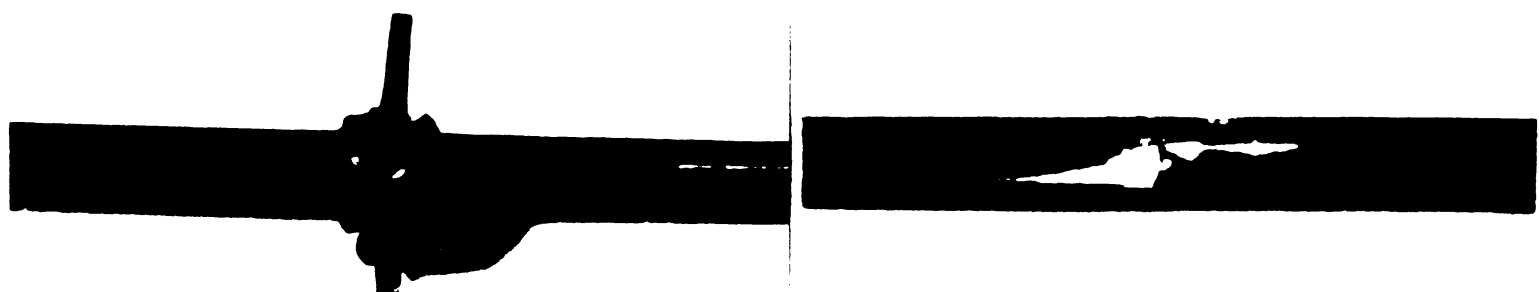


Figura 157. Bară hexagonală sudată Figura 158. Bară hexagonală prin frecare cu material de adăos sudată și debavurată

Dacă după sudare se îndepărtează havura și restul materialului de adăos proba sudată are aspectul unei bare hexagonale continue laturile celor două componente suprapunindu-se, figura 158.

Rezultatele obținute pe modelul de laborator prezentat au fost încurajatoare astfel s-a trecut la conceperea și realizarea prototipului unei mașini de sudat prin frecare cu material de adăos.

4.3.1.2. Prototipul mașinii de sudet prin frecare cu material de adeos, denumit MSF-20 A (semnificația literelor din simbolizare este : mașină - sudare - frecare - adeos iar cifra reprezintă valoarea forței axiale maxime în tone), figura 159, a fost conceput și realizat la ISDE Timișoara în vederea realizării tipurilor de suduri prezentate în figura 152.

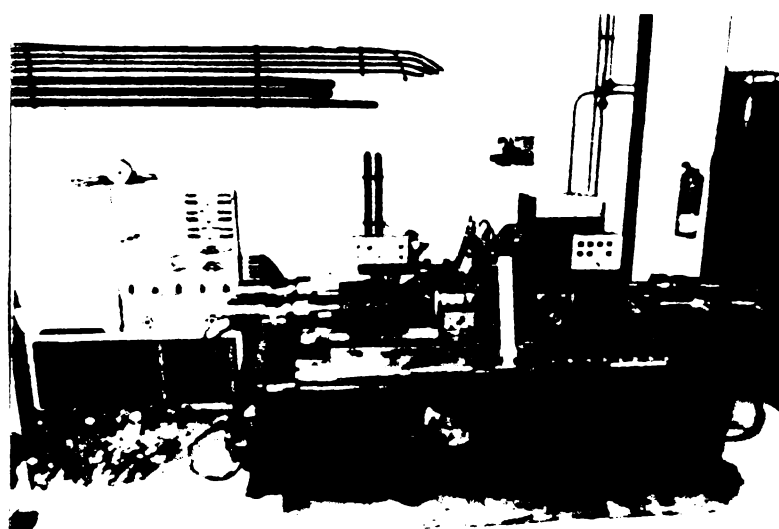


Figura 159. Prototipul mașinii MSF-20 A.

Caracteristicile principale ale prototipului realizat sunt următoarele :

- Dimensiunile componentelor care se pot suda :
  - bare rotunde : maxim  $\varnothing$  40 mm, minim  $\varnothing$  20 mm
  - țevi rotunde : maxim  $\varnothing$  60 mm, minim  $\varnothing$  20 mm
  - bare pătrate : maxim 35 mm, minim 20 mm
  - bare hexagonale : maxim 55 mm, minim 7 mm
  - componente de altă formă cu secțiunea maximă de  $1250 \text{ mm}^2$  și secțiunea minimă de  $300 \text{ mm}^2$
- Lățimea piesei intermediare : 3 ... 20 mm
- Lungimea maximă a pieselor de sudat : 1500 mm fără sprijinirea
- Puterea și turăția motorului electric de antrenare a rotorului : 37 kW ; 1500 rot/min
- Puterea totală instalată : 52,3 kW
- Prinarea rotorului : cu frână electromagnetică
- Forța de frecare maximă : 200 kN

- Forță de refuzare maximă : 200 kN
- Timpul de frecare : 1 ... 30 secunde
- Timpul de refuzare : 1 ... 15 secunde
- Productivitatea 50 ... 90 suduri/oră

Prototipul este semiautomat, ciclul de sudare fiind automatizat, iar introducerea componentelor de sudat și scoaterea pieselor sudate se execută manual. Ciclul de sudare corespunde ciclului de sudare al mașinilor de sudat prin frecare convenționale. Mașina MSP-20 A se compune în principal din următoarele figura 160 :

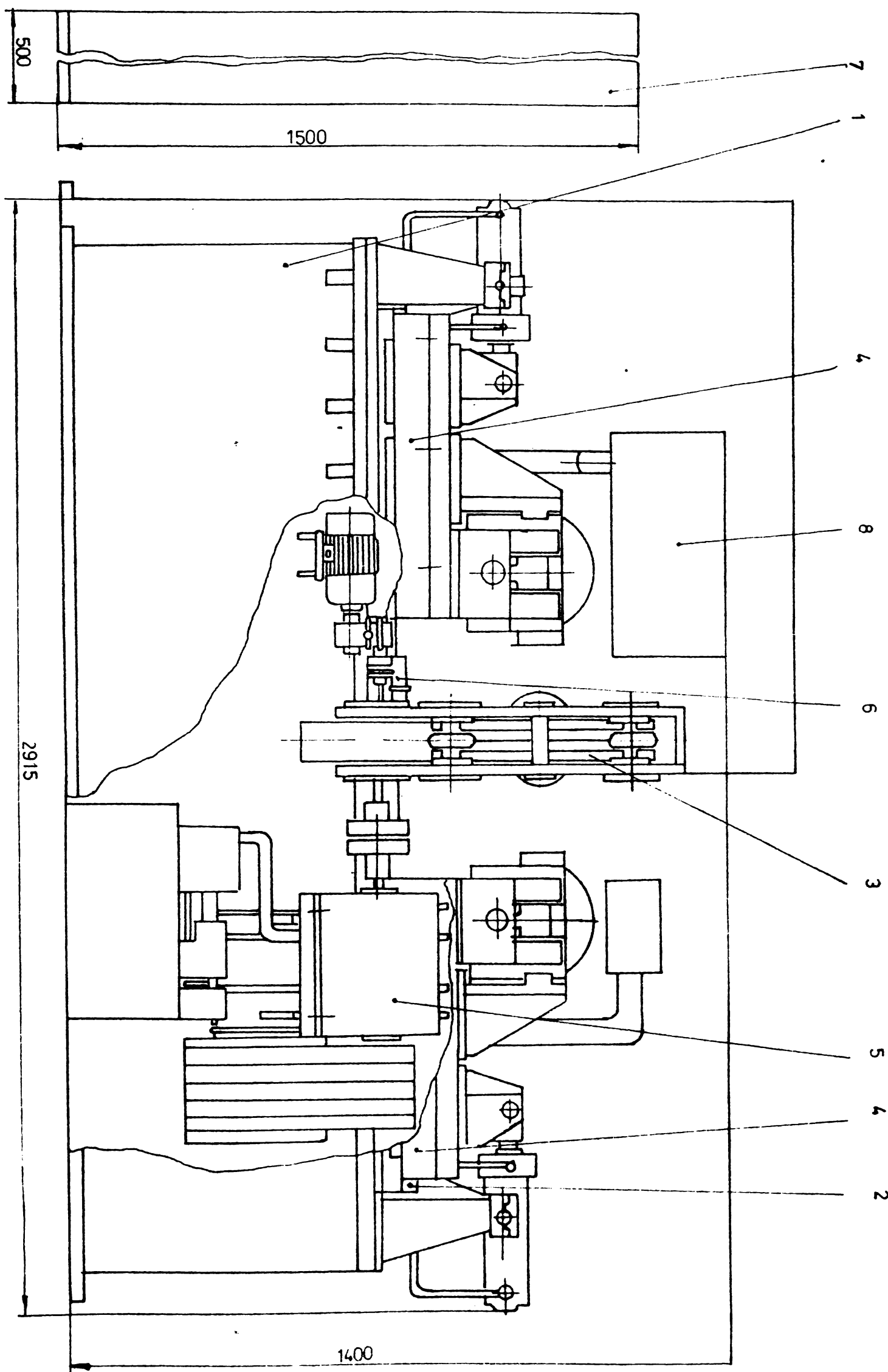
- parte mecanică : batiu (1), ghidaje (2), dispozitiv de prindere și rotire al piesei intermediare (3), mecanism de antrenare a rotorului (4), cuplaj și frână electromagnetică (5) ; senzor stîngă (6), senzor dreapta (7), dispozitiv de sincronizare (8), dispozitiv de ungere și răcire (9) ;

- instalație hidraulică : panou hidraulic (10), cilindri de acționare ai saniei (11), cilindrii de acționare a bacurilor (12), conducte de legătură (13) ;

- instalație electrică de acționare și automatizare : motorul electric de antrenare în mișcare de rotație (14), dulapul de alimentare (15), pupitrul de comandă (16).

Batiul în construcție sudată din tablă grosă de oțel OL37, constituie partea de rezistență a mașinii și servește ca suport pentru ghidajele mașinii și dispozitivului de sincronizare. În interiorul batiului sunt montate : instalație de ungere și răcire a cuplajului și frânei electomagneticice ; motorul electric de antrenare a rotorului ; mecanismul de antrenare al rotorului format din : roți de curea și curele (17), cuplaj și frână electromagnetică, montate în carcasa (5), cuplaj elastic cu bolțuri (18) și pinionul, (19).

Ghidajele mașinii fixate rigid de batiu servesc drept suport de glisare pentru dispozitivul de prindere și rotire al



materialului de adaos format din subanșembul rotor (20) și carcasa rotorului (21) și pentru cele două sănii ale mașinii.

Dispozitivul de prindere și rotire al mașinii s-a conceput și realizat inițial din două segmente care să permită deschiderea lui în același mod ca și la montajul de laborator, figurele 155 și 156, cu deosebire că operația de deschidere și închidere a rotorului se va efectua automat cu ajutorul unui cilindru hidraulic. Încercările de anduranță au demonstrat că această soluție conduce la o uzură rapidă a mecanismului de închidere – deschidere a rotorului și în continuare la uzura danturii pinionului (19) și a rotorului. Din acest motiv s-a conceput un rotor rigid, figura 161, care are în partea centrală un locșag în care este montat dispozitivul post-adaos care permite montarea ușoară a materialului de adaos sub formă de plăcuțe având conturul de forma dorită. Materialul de adaos poate avea grosimi cuprinse între 3 și 20 mm.



Figura 161. Subanșemblu rotor

Mecanismul de trenare al rotorului asigură rotirea piesei intermediare cu o turatăie de 1000 rot/min pe durata impusă de etapa de încălzire din cadrul procesului de sudare prin frecare.

De o parte și cealaltă a dispozitivului de prindere și rotire pe ghidajele mașinii sunt montate cele două sănii cu becurile de strângere a componentelor fixe. Sănilor sunt actionate de

patru cilindri hidraulici (11) care realizează și ciclul de forță necesare procesului de sudare prin frecare. Pentru ca cele două sănii să asigure o apropiere cu aceeași viteză și o apăsare uniformă a ambelor componente pe materialul de adaos s-a conceput dispozitivul de sincronizare (8) format din două cremaliere și o roată dințată comună care nu permite deplasarea săniilor cu viteze diferite.

Instalația hidraulică a fost concepută din două circuite distincte :

- circuitul săniilor care realizează avansul rapid pînă la contactul componentelor cu materialul de adaos, forță de frecare, forță de refugare și retragerea săniilor. Acest circuit dispune de o putere instalată de 11 kW și o pompă cu regulator de putere care asigură la cilindri hidraulici o forță de apăsare reglabilă de 200 kN la o viteză de deplasare de 20 mm/secundă ; presiunea de lucru 140 bar ;

- circuitul bacurilor care are o putere instalată de 11 kW și este echipat cu o pompă cu regulator de putere și realizează o forță de strinare de 250 kN la o presiune de 150 bar.

Panoul hidraulic și dulapul cu aparate electrice sunt separate de mașina propriu-zisă. Temporizările necesare ciclului de sudare, date de seterul de comandă, se realizează numeric, secvențial, cu o toleranță de  $\pm 1\%$  în gama 0,04 – 40,96 secunde, prin transformarea oscilațiilor sinusoidale de frecvenței de 50 Hz în impulsuri rectangulare. Impulsurile comandă un numărător electronic care împreună cu o matrice de decodificare, patru comutatoare de programare și registrele de memorie au funcția de patru relee de timp legate în serie. După fiecare numărare, registrele de memorie sunt aduse la zero de circuite de stergere.

Mașina de sudat prin frecare MSP-20 A execută următoarele operații : strinarea componentelor fixe în bocurile de pe sănii ; avansul săniilor pînă la contactul cu materialul de adaos ; etape de încălzire prin frecare ; etape de frinare ; etape de refugare ; deschiderea bocurilor ; retragerea săniilor.

Cu excepția așezării componentelor în becuri, a materialului de ados în locașul de pe rotor și scoaterea piesei sudate, celelalte operații se execută automat.

Se pot regla următoarele parametrii : forța de strângere a componentelor, forța de frecare, forța de refulare, timpul de menținere a forței de frecare, timpul de menținere a forței de refulare, timpul de întirziere al frânării rotorului.

Cu mașina MSP-20 A se sudă bare rotunde, bare pătrate (figura 162) și țevi (figurile 163 și 164).

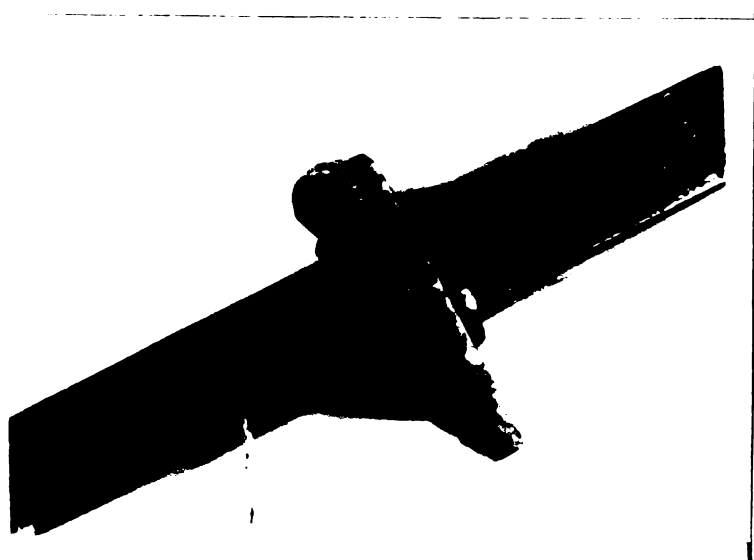


Figura 162. Bare pătrătă sudată cu material de ados

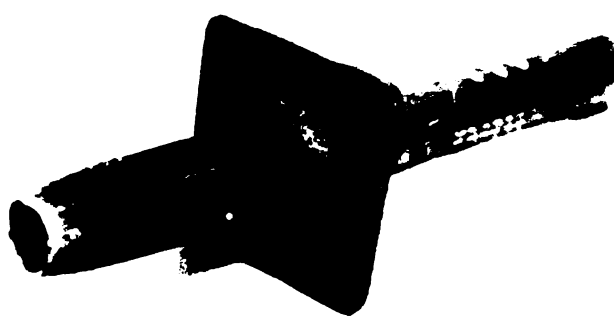


Figura 163. Tevă sudată cu material de ados

Tevile din OLT35 cu diametrul exterior de 34 mm și grosimea peretelui de 3,5 mm se sudă cu material de ados din OL37 cu următorul regim de sudare :

- grosimea materialului de ados : 4 mm
- turările materialului de ados : 1200 rot/min
- presiunea de frecare :  $117,5 \text{ N/mm}^2$
- presiunea de refulare :  $211 \text{ N/mm}^2$
- timp de frecare : 4,12 secunde
- timp de refulare : 1,26 secunde.

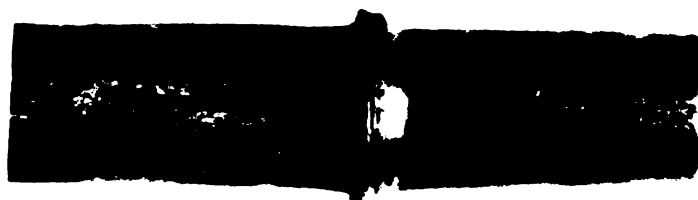


Figura 164. Teavă sudată cu materialul de adaos.

Tevile sudate cu acești parametri s-au încercat la tractiune. După cum se vede în figura 163, ruperile s-au produs în materialul de bază al țevii. Dacă timpul de sudare crește cu 2 secunde, materialul de adaos se consumă în timpul procesului de sudare, materialele din exteriorul și interiorul țevii rămase de la plăcuța intermediară pot fi ușor îndepărtați și țeava sudată are continuitate ca în figura 164.

#### 4.3.2. Sudarea prin frecare cu material de adaos a barelor rotunde

S-a arătat în subcapitolul precedent că pentru a suda prin frecare cu material de adaos ~~magina~~ realizată la IJIM Timișoara a fost concepută pentru a respecta ciclul de sudare aferent sudării prin frecare convenționale. În acest caz față de parametrii regimului de sudare prin frecare convențională, viteza de rotație, presiunea de frecare, presiune de refulare, timp de frecare, timp de refulare apare un parametru suplimentar și anume: grosimea materialului de adaos.

Pentru a studia sudurile realizate prin frecare cu material de adas s-au sudat bare de 34 mm diametru din oțel OL50. Ca și material de adas s-au utilizat plăcuțe debitate din table laminate din oțel OL37 la dimensiunile 70 x 70 mm și de diverse grosimi.

Sudurile s-au încercat la tractiune pe epruvete nedebavurate de forma prezentată în figura 165.

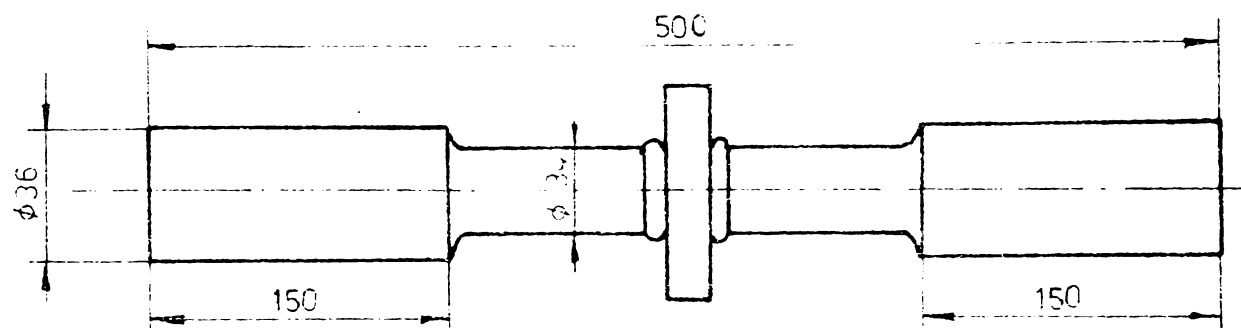


Figura 165. Forma epruvetelor de tractiune

Ne-am propus să determinăm grosimea minimă a materialului de adas la care piesele sudate supuse la tractiune să se rupă în materialul de bază OL50.

Experimentările de sudare au inceput cu plăcuțe de 4 mm grosime. La această grosime a plăcuței indiferent de ceilalți parametrii și regimului de sudare (turația s-a menținut constant la 1200 rot/min) materialul de adas s-a consumat în timpul ciclului de sudare fără a reuși să provoace extinderea sudurii pe întreaga suprafață a capetelor componentelor. Pieselete încercate la tractiune s-au rupt toate în sudură și aspectul rupturii a arătat că sudura a cuprins doar o mică parte a suprafeței capetelor componentelor.

Măriind grosimea materialului de adas crește mărimea suprafeței sudate respectiv rezistența la tractiune a sudurii. Sudura a cuprins întreaga suprafață a capetelor componentelor de la grosimi de 6 și 7 mm, dar suduri la care ruperea să se producă în materialul de bază s-au realizat doar cu materiale de adas de 8 mm grosime.

4.1.2.1. Pentru de la aceste incercări preliminare s-a întocmit un program de experimentări de sudare prin frezare cu material de adânc (OL37 de 8 mm grosime) a barelor din OL50 de 34 mm diametru. Compoziția chimică a celor două materiale se încadrează în limitele prevăzute de standardele în vigoare (au fost prezentate în capitolul 3).

Cunoscând parametrii regimului de sudare recomandăți în casul sudării prin frezare convenționale ne-am propus să optimizăm parametrii regimului de sudare prin frezare cu material de adânc. În acest scop s-a menținut constant : viteză de rotație 1200 rot/min, timpul de refuzare 1,6 secunde și grosimea materialului de adânc 8 mm și s-a variat : presiunea de frezare, presiunea de refuzare și timpul de frezare. Drept criteriu de optimizare s-a ales rezistența la tracțiune a sudurii încercate pe opruvete de formă prezentată în figura 165.

Pentru optimizare ne-am propus valorile din tabelul 32.

Tabelul 32.

Nr. crt	Forță frezare			Forță refuzare			Timp frezare (poziție comutator) secunde
	pres. spec N/mm <sup>2</sup>	pres. ulei barr	forță N	pres. spec N·mm <sup>2</sup>	pres. ulei barr	forță N	
1	40	15	32400	80	35 - 5	62800	11 -
2	50 <sup>•</sup>	20	39300	90	40	70800	12 <sup>•</sup> - 89
3	60	25	47000	100 <sup>•</sup>	45	78500	13 -
4	70	30	55000	11	50	85500	14 -
5	80	35	62800	120	55	94000	15 -

Pornind de la regimul arbitrar ales dat în punctele 2 și 3, și având valorile parametrilor notate cu asterix în tabelul 32 prin perturbarea variabilelor se obțin regimurile prezentate în tabelul 33.

Tabelul 33.

Nr. regim	Combinăție	$p_f$ (bar)	$p_r$ (bar)	$t_f$ (pos)
R1	2 ; 3 ; 2	20	45	12
R2	1 ; 3 ; 2	15	45	12
R3	3 ; 3 ; 2	25	45	12
R4	2 ; 2 ; 2	20	40	12
R5	2 ; 4 ; 2	25	50	12
R6	2 ; 3 ; 1	20	45	11
R7	2 ; 3 ; 3	20	45	13

Pieselete sudate cu aceste regimuri au fost încercate la tractiune. Rezultatele obținute sunt prezentate în tabelul 34. Din tabel rezultă că cele mai bune rezultate s-au obținut cu R5 la care toate ruperile au avut loc în materialul de bază. Parametrii acestui regim sunt deoi următorii :

- grosimea materialului de ados 3 mm,
- turăția materialului de ados 1000 rot/min.,
- presiune de frecare  $60 \text{ N/mm}^2$ ,
- presiune de refugare  $110 \text{ N/mm}^2$ ,
- timp de frecare, 8,9 secunde
- timp de refugare 1,6 secunde.

4.3.2.2. Pornind de la regimul considerat optim, prezentat mai sus, neam propus să vedem cum influențează timpul de frecare și presiunea de refugare asupra aspectului sudurii, structuri metalografice, rezistenței la tractiune și dacă există o corelație între ele în cazul sudării prin frecare cu material de ados.

Tabelul 33.

Nr. re- gim	Regim de sudare			Nr. epruv.	$\Delta l$ mm	Rezultate tracțiune		Observații
	p. fr. bar	p. ref. bar	t. fr. poz.com			Forță maxi- de rupere	Locul ruperii	
R 1	20	45	12	1.1	3,7	454000	M B	
				1.2	3,5	403000	S	
				1.3	3,7	426000	S	
R 2	15	45	12	2.1	-	480000	M B	
				2.2	-	425000	S	
				2.3	-	413000	S	
R 3	25	45	12	3.1	4,5	481000	M B	
				3.2	4,0	420000	S	
				3.3	5,2	413000	S	
R 4	20	40	12	4.1	6,2	423000	S	
				4.2	2,4	417000	S	
				4.3	2,1	327000	S	
(R 5)	25	50	12	5.1	3,9	476000	M B	
				5.2	2,5	454000	M B	
				5.3	4,1	480000	M B	
R 6	20	45	11	6.1	3,6	483000	M B	
				6.2	3,0	406000	S	
				6.3	2,8	480000	S	
R 7	20	45	13	7.1	2,7	451000	S	
				7.2	3,7	447000	S	
				7.3	4,5	454000	M B	

In acest sens s-au efectuat măsurări cu regimurile prezentate în tabelul 35. Tabelul conține și rezultatele încercării la tracțiune.

Tabelul 36.

Nr regim	Parametrii regim				Scurtare m m	Mar- caj oprire	Rezultat tracțiune		Observații
	p.fr N/mm	p.ref. N/mm	t.fr. sec	tref. sec			Forță maximă de rupere N	Loc rupere	
R 8	60	80	5,2	1,6	6,4	1,1	271	S	.
					6,1	1,2	423	S	.
					6,8	1,3	334	S	.
					3,7	1,4	332	S	.
					5,3	1,5			retinut macro
R 9	60	110	5,2	1,6	5,8	3,1	484	S	.
					5,9	3,2	491	S	.
					3,2	3,3	461	S	.
					5,8	3,4			retinut macro
					4,0	3,5	453	S	.
R 10	60	110	11,52	1,6	9,2	7,1			retinut macro
					9,3	7,2	481	S	.
					9,3	7,3	498	MB	.
					7,4	7,4	439	S	.
					10	7,5	476	S	.
R 11	60	110	8,9	1,6	6,4	8,1	485	MB	.
					8,3	8,2	493	MB	.
					8,0	8,3	486	MB	.
					7,3	8,4	500	S	.
					5,5	8,5			retinut macro
					4,8	8,6	446	MA	.
R 12	60	160	8,9	1,6	14,0	9,1	328	S	.
					10,2	9,2			retinut macro
					8,3	9,3	481	S	.
					10,7	9,4	497	MB	.
					6,3	9,5	501	MB	.
R 13	60	210	8,9	1,6	8,0	10,1	496	MB	.
					15,7	10,2	266	S	.
					16,3	10,3			retinut macro
					16,4	10,4	246	S	.

In tabel regimul optim (secolgi din tabelul 34) se poate ca R 11.

Din piesele sudate cu frecare din cele șase regimuri au fost prelevate epruvete care s-au examinat metalografic. În planșele 1 ... 6 sunt prezentate macrostructurile sudurilor realizate, fibrajele lor, structurile metalografice la mărirea de 100x, acel Nital 2%, pentru fiecare zonă în parte și diagramele de variație a durităților de-a lungul zonelor sudurii. Scheme de amplasare a durităților se prezintă în figura 166.

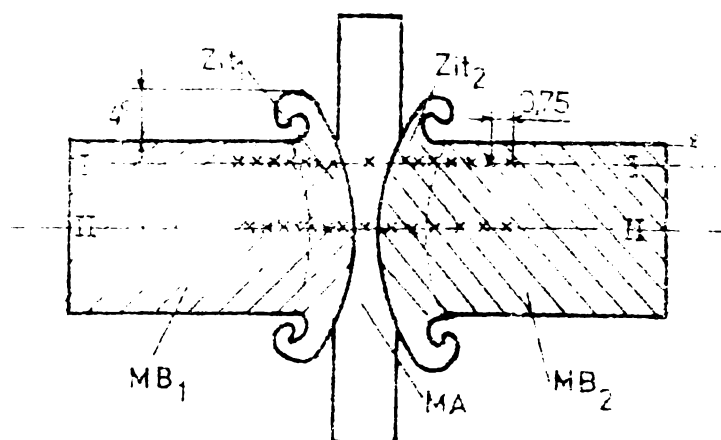


Figura 166. Schema de amplasare a durităților

Comparind datele prezentate în tabelul 34 cu fotografările și figurile din planșele 1 ... 6 se pot formula următoarele observații :

Sudurile cu material de ados sunt compuse dintr-o zonă centrală, de formă variabilă dependentă de parametrii regimului de sudare, formată din materialul de ados; de o parte și altă zonele de trecere spre materialul de bază (figura 14, planșa 4) și zonele influențate termic dispuse simetric față de zona centrală.

Forme zonei centrale, extinderile ei, structura metalografică depind de parametrii regimului de sudare. Astfel, comparind macrostructurile din planșele 1 și 2 respectiv 4, 5 și 6 se observă că o dată cu creșterea presiunii de refuzare (ceiși parametrii constanți). Zona centrală în primă fază se îngustează apoi și modifică formă și de la o formă dublu concavă cu curburi liniă și

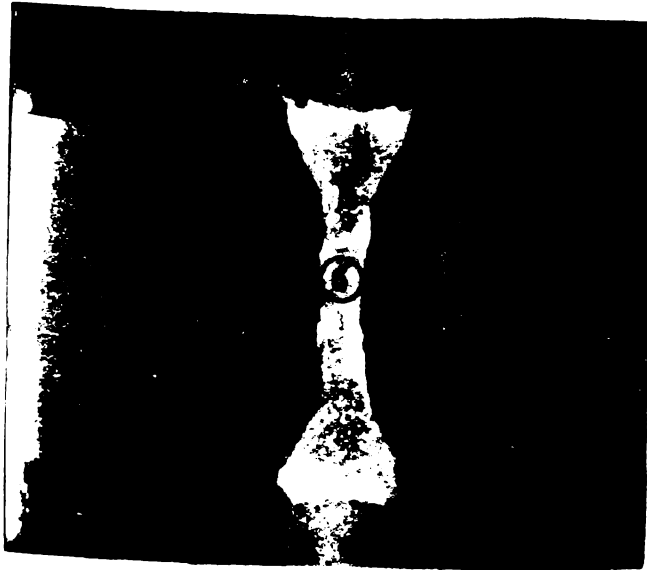


Fig.1

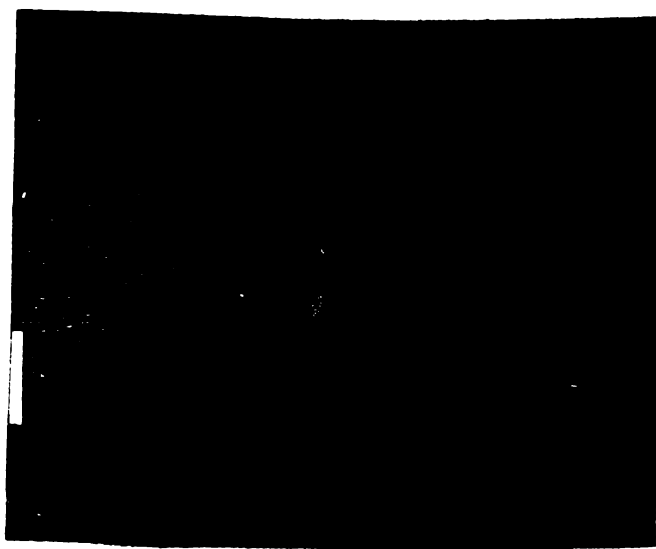


Fig. 2



Fig. 3

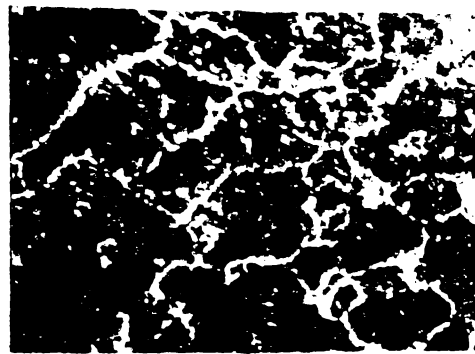


Fig. 4



Fig. 5

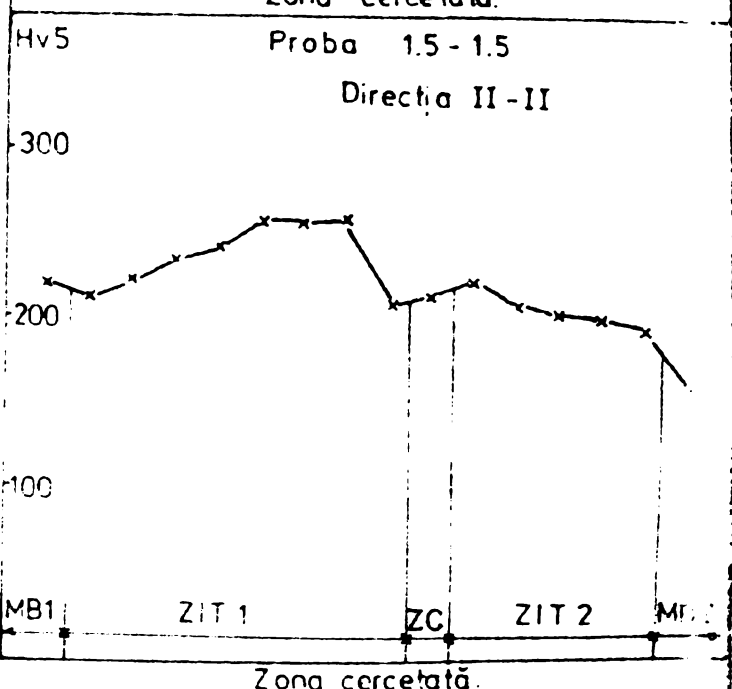
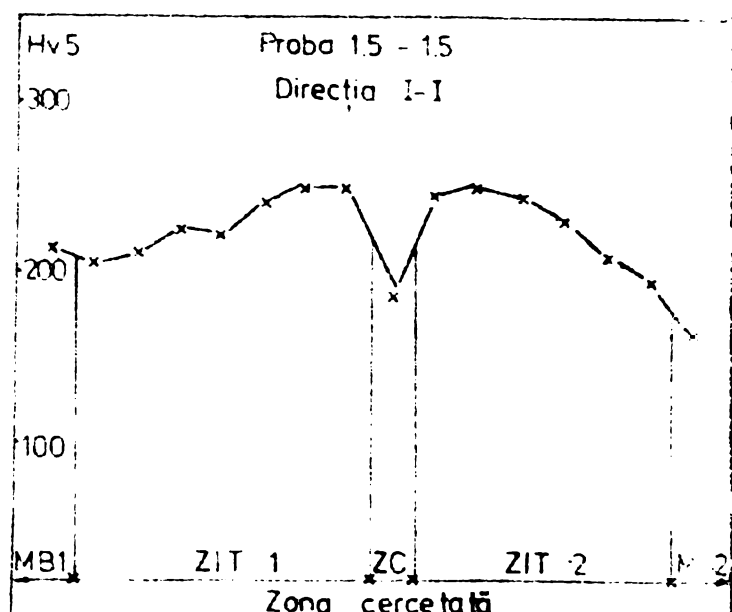


Fig. 5

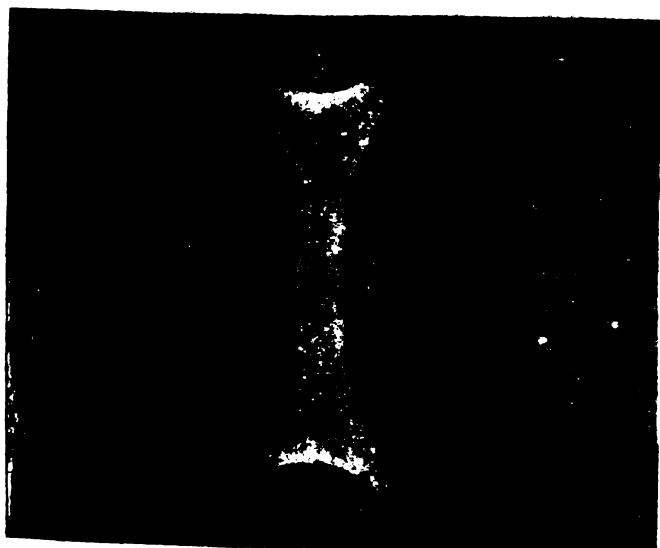


Fig. 7



Fig. 8



Fig. 9

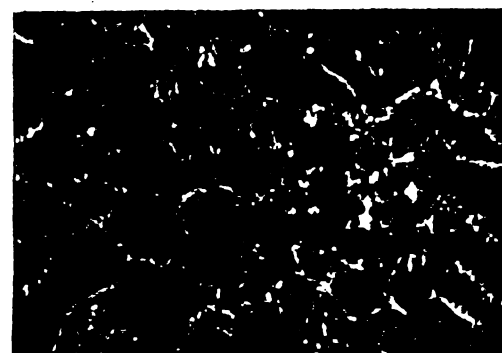


Fig. 10

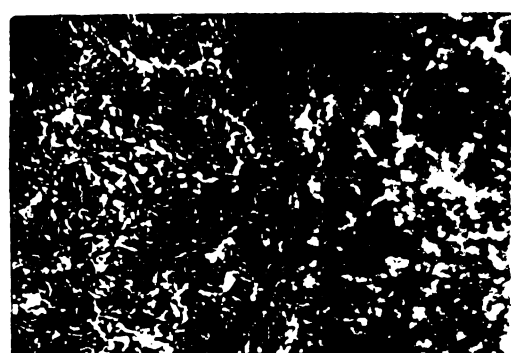


Fig. 11

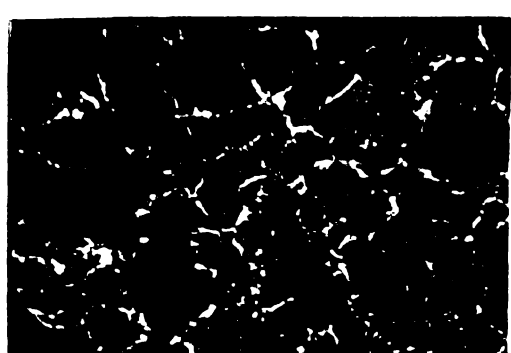
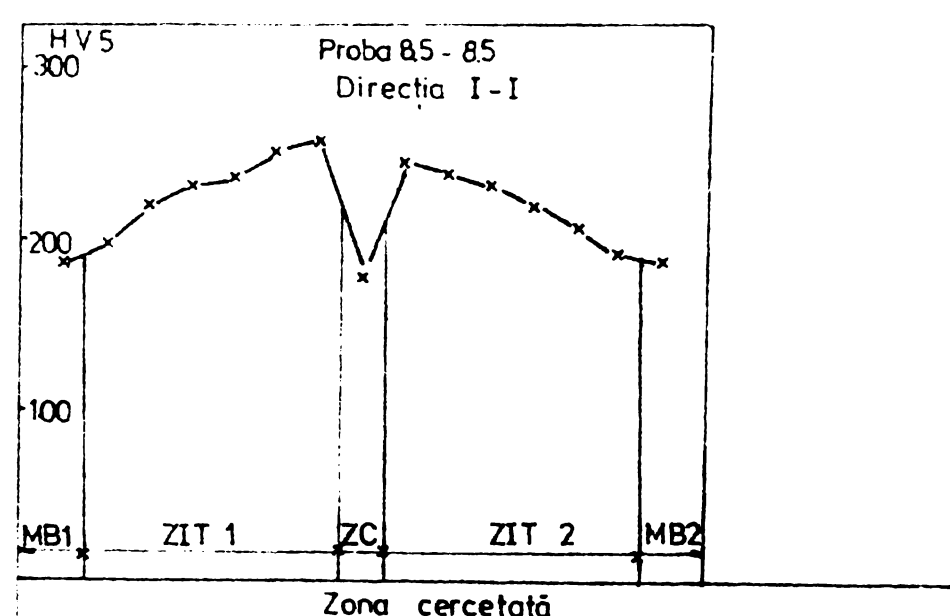


Fig. 12

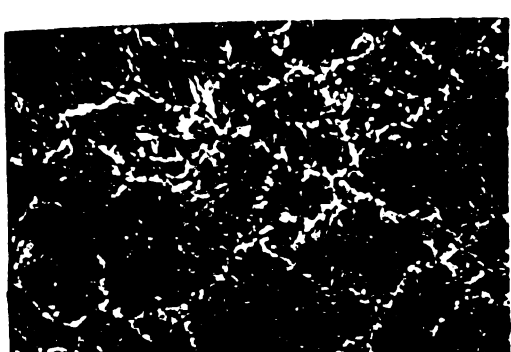
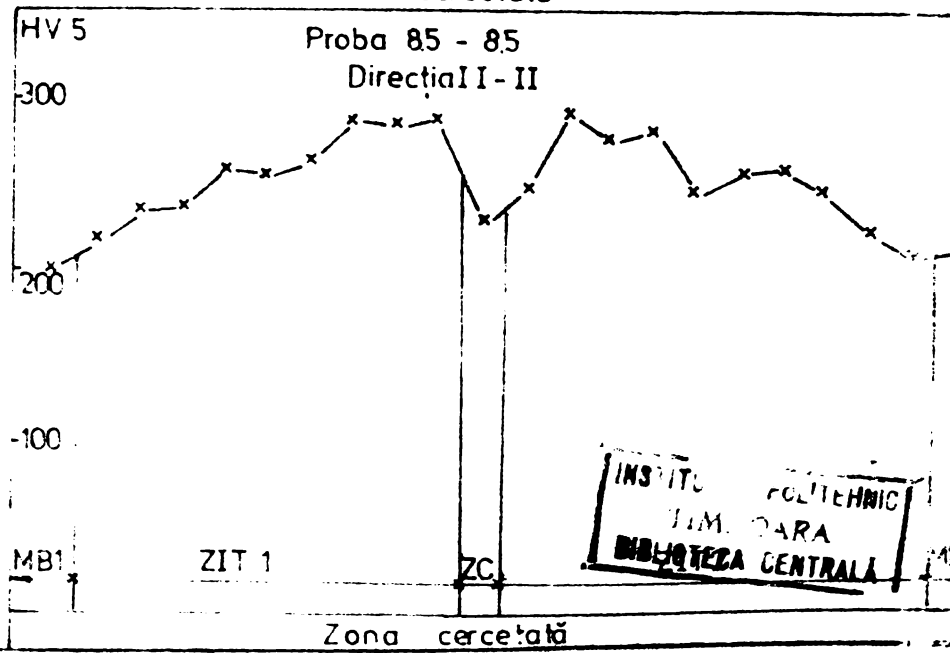


Fig. 13



Fig. 14

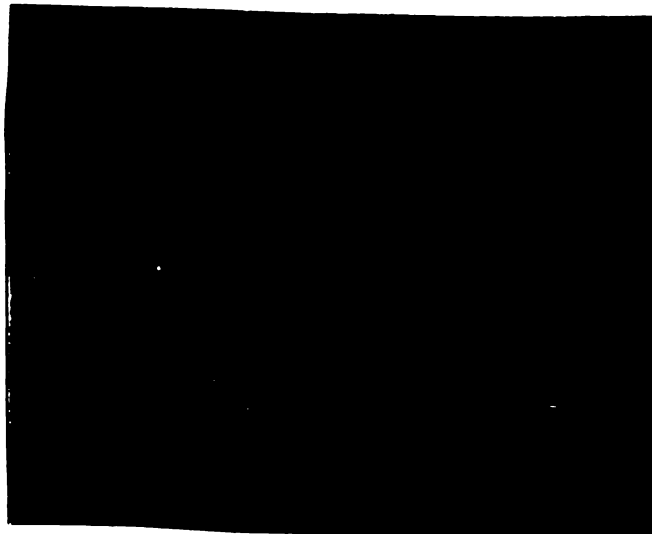


Fig. 15



Fig. 16

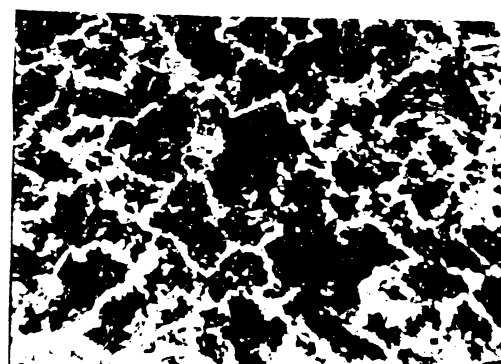


Fig. 17

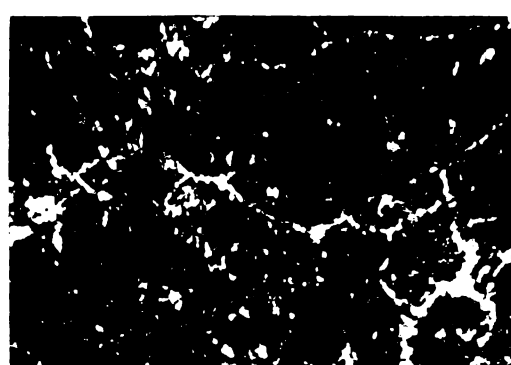


Fig. 18

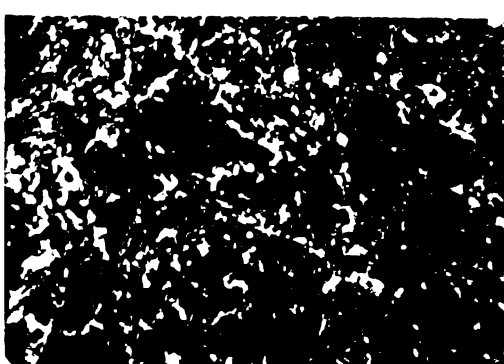
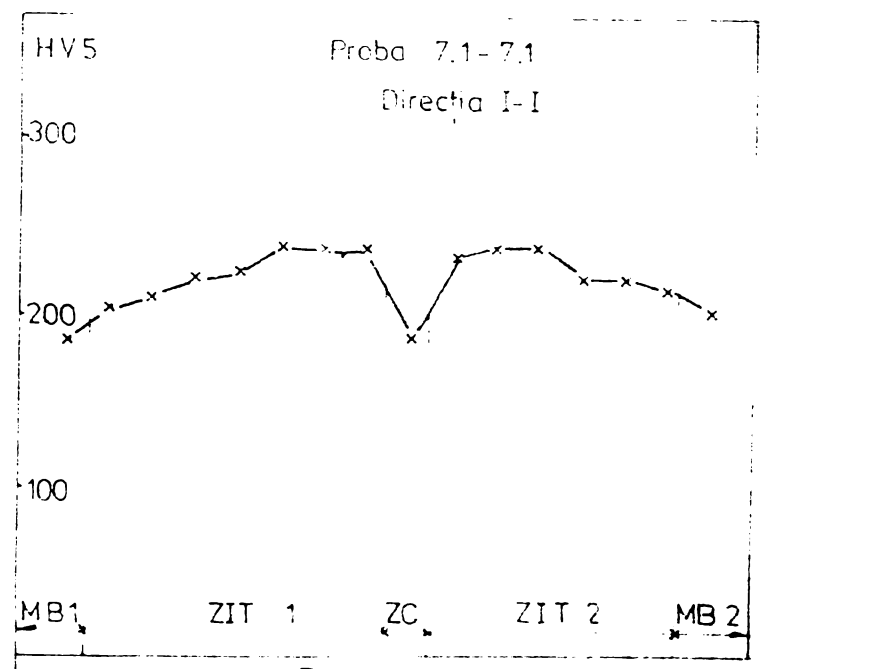


Fig. 19

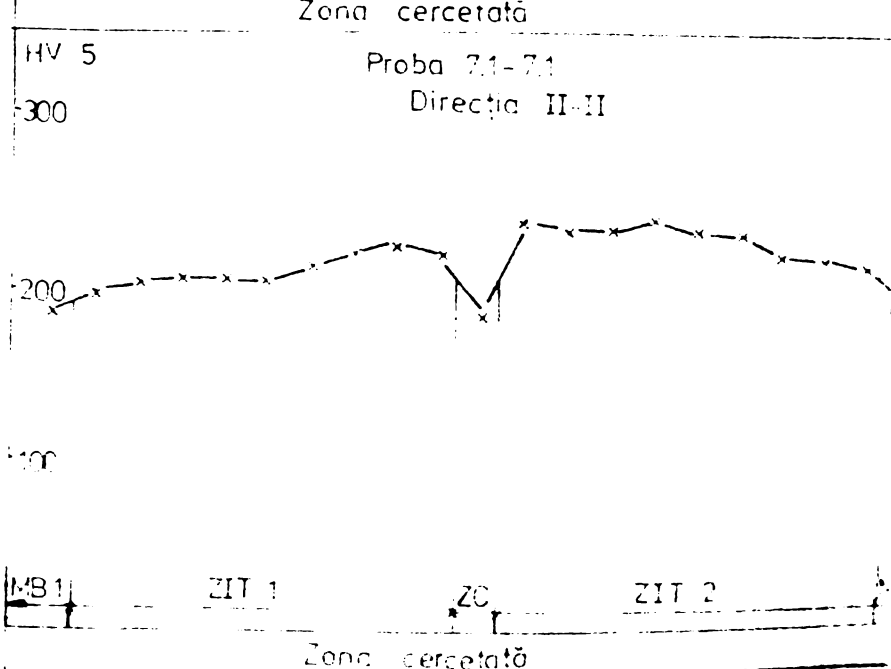




Fig. 20

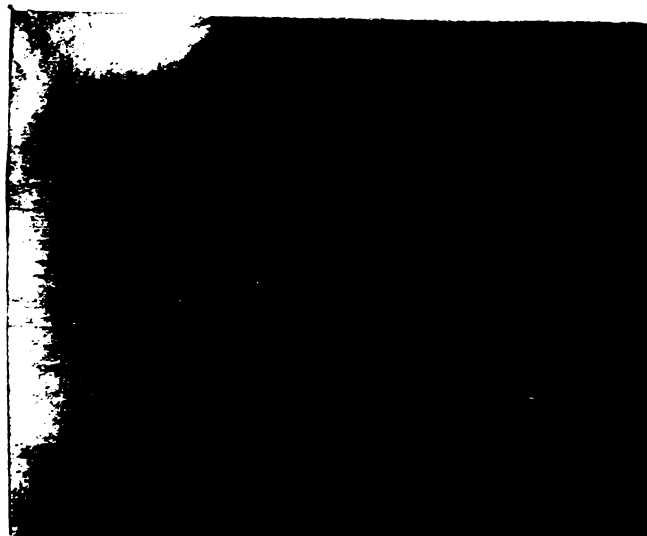


Fig. 21



Fig. 22

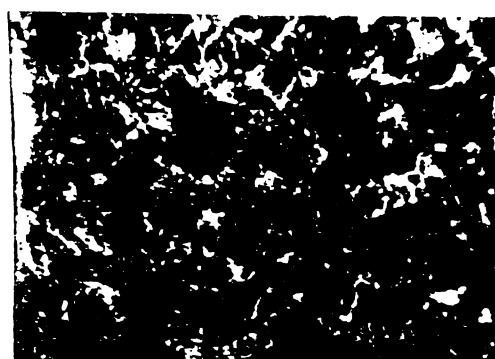


Fig. 23



Fig. 24

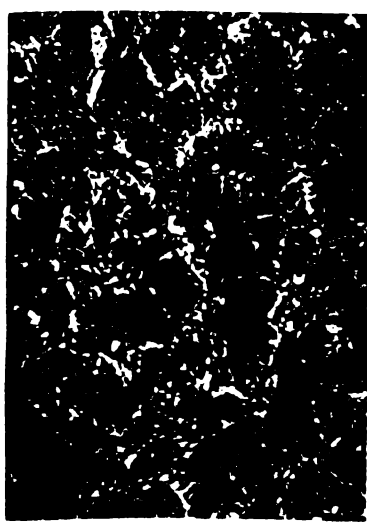
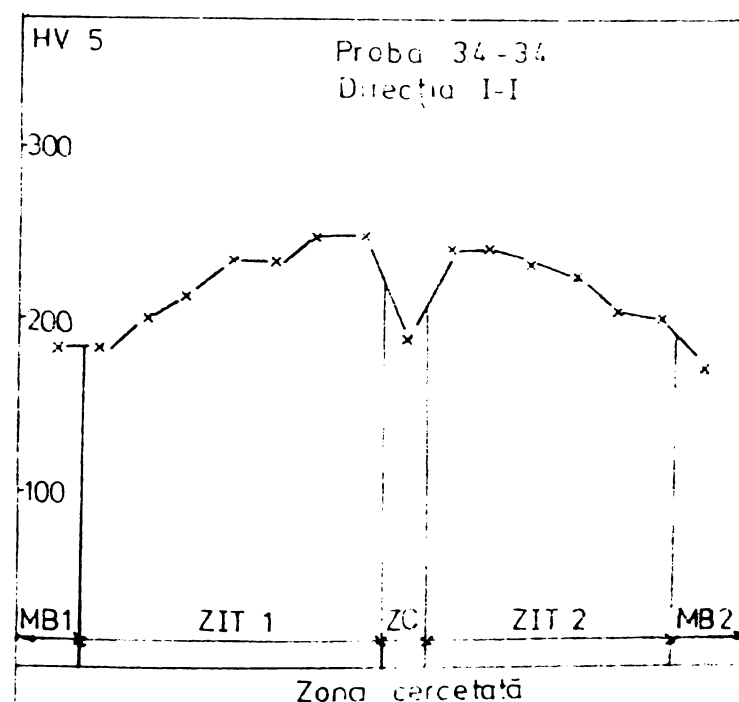
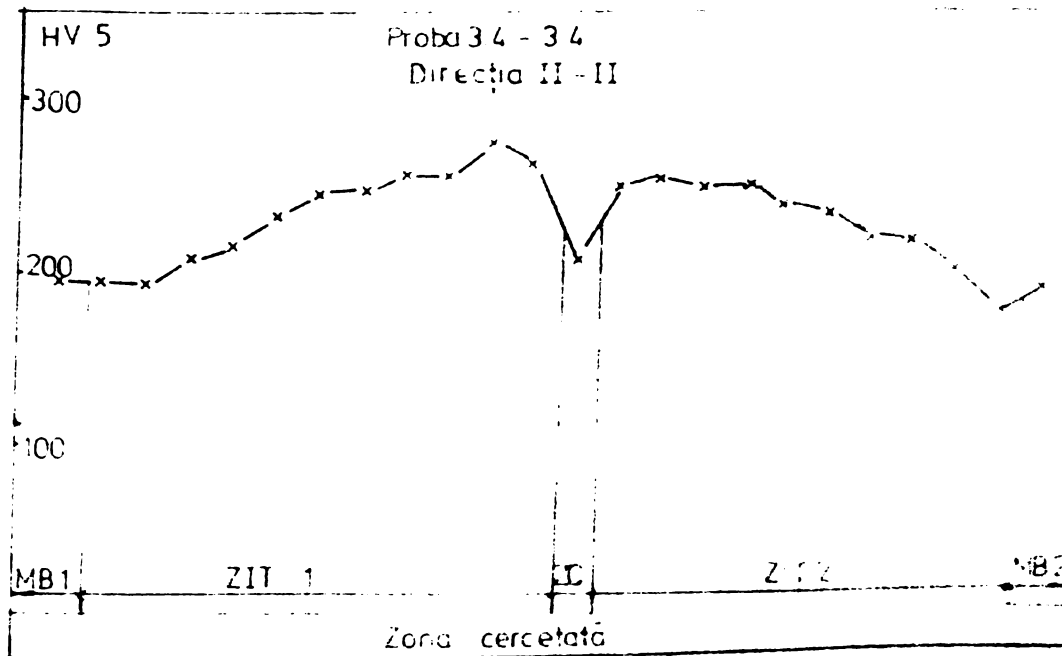


Fig. 25



NSA 5

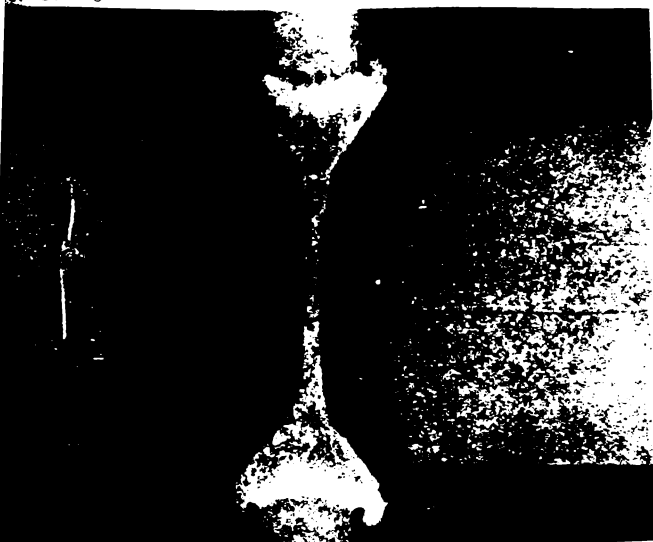


Fig. 26



Fig. 27



Fig. 28

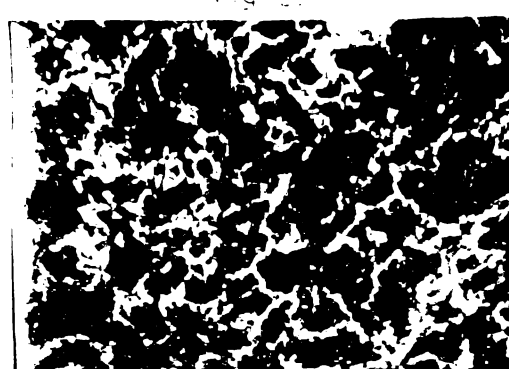


Fig. 29

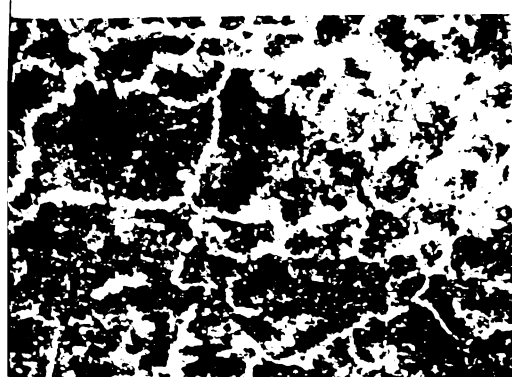


Fig. 30

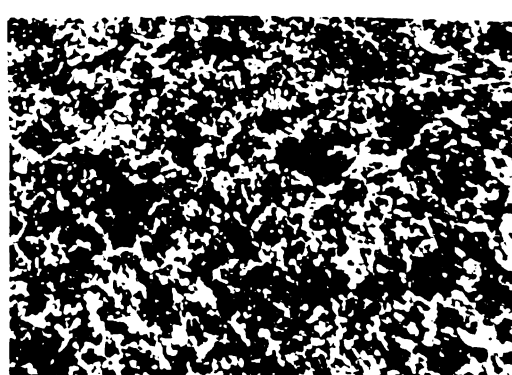
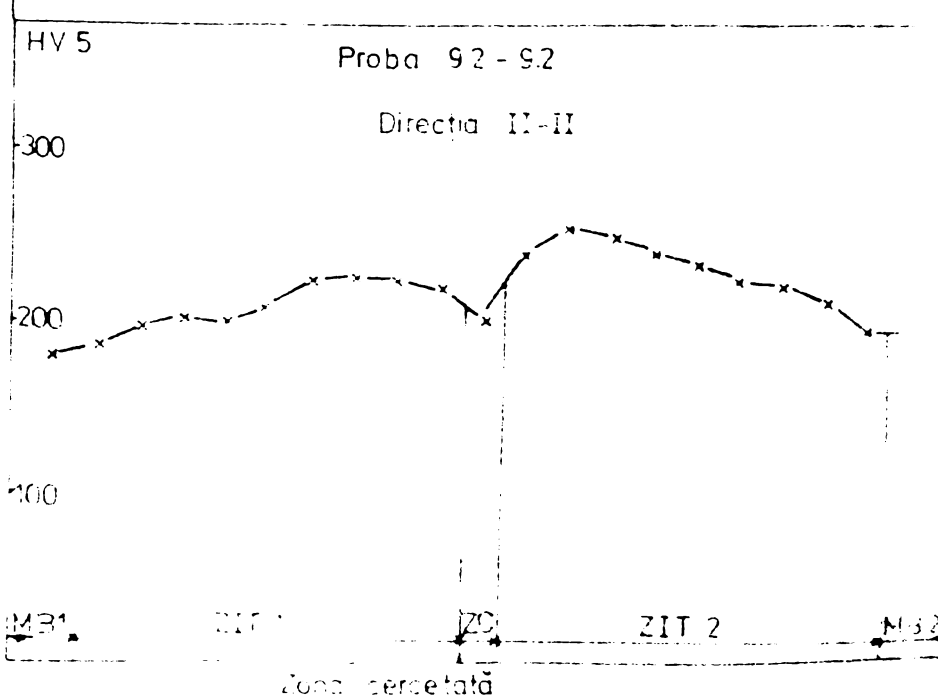
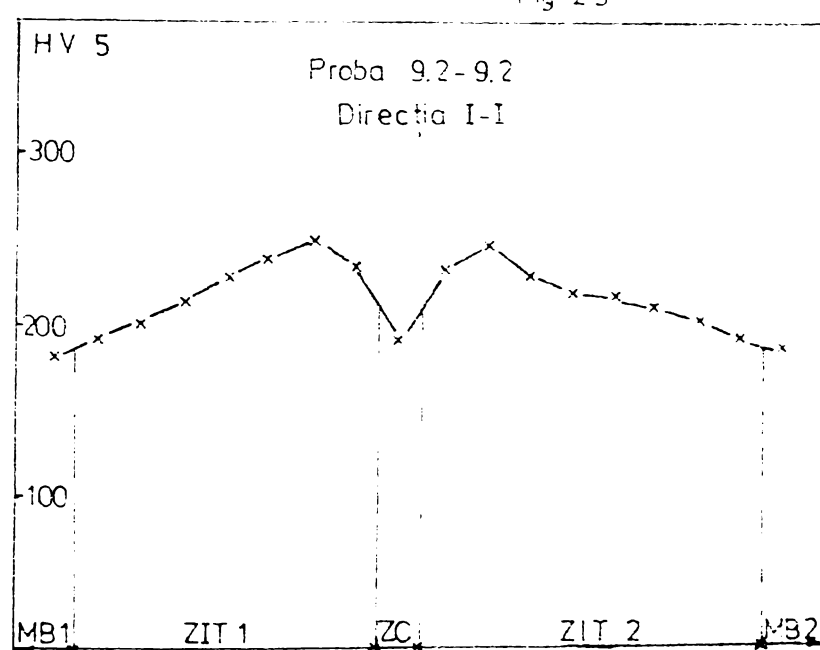


Fig. 31



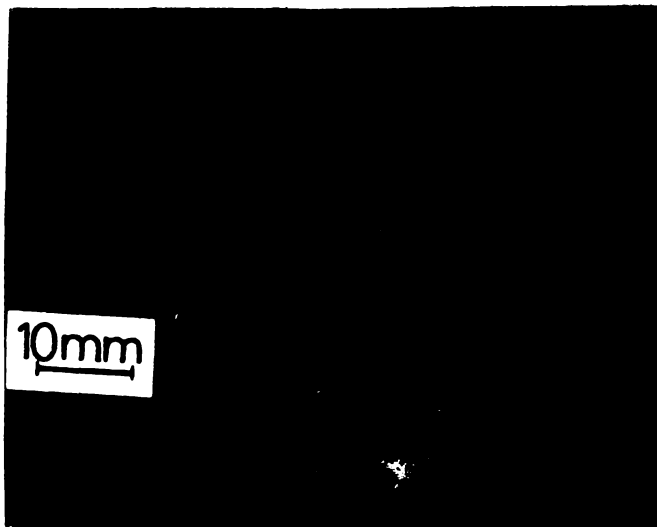


Fig.32

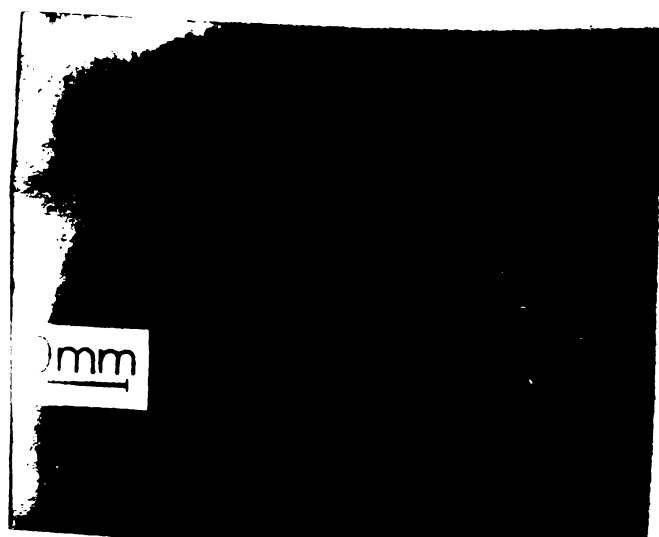


Fig.33

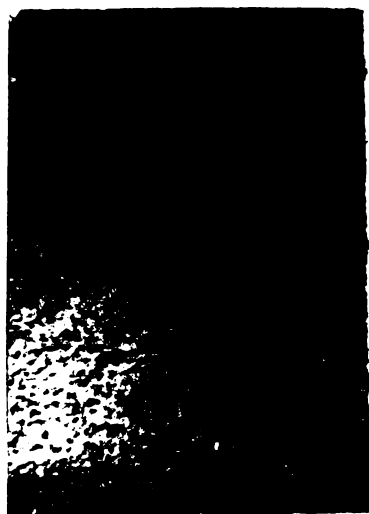


Fig. 34

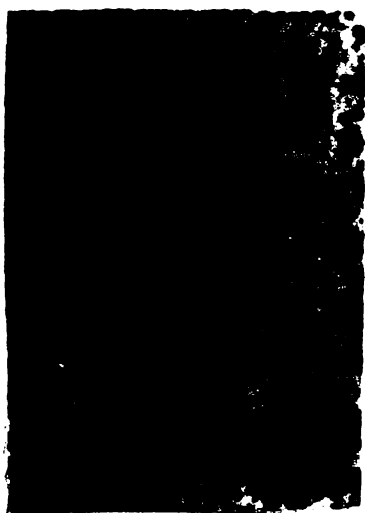
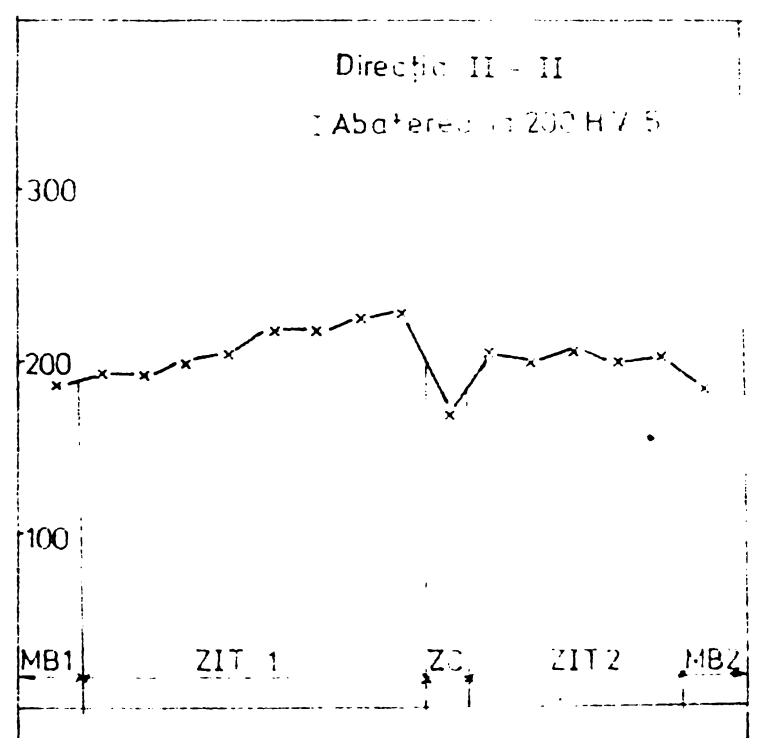
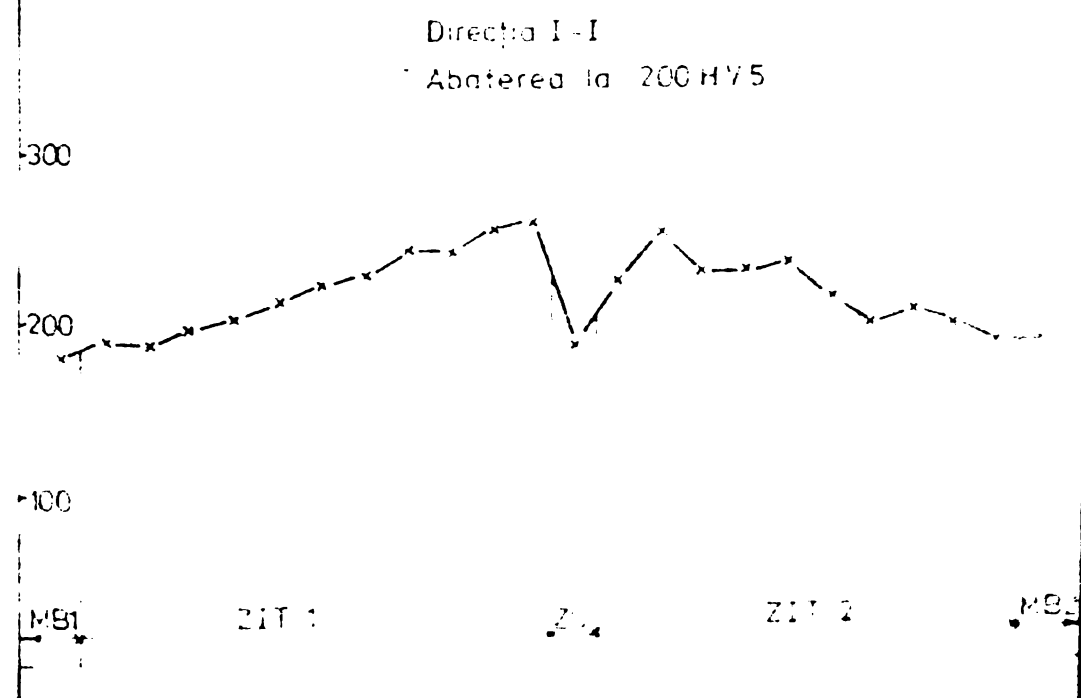


Fig.35



uniformă ea se îngustează, marginile devin paralele spre centrul barelor și spre exterior se largesc brusc formând un ushi ascuțit. Din tabelul 34 se observă că odată cu creșterea presiunii de refuzare crește și rezistența la tracțiune (R3 comparativ cu R9). Dar această creștere se produce pînă la o anumită valoare de la care odată cu creșterea forței de refuzare rezistența la tracțiune scade (R13 comparativ cu R12 și R11).

Se observă că între creșterea forței de refuzare, îngustarea zonei centrale și rezistența la tracțiune există o dependență. Dacă luăm ca etalon formă zonei centrale sudate cu regimul R11, planșa nr.4, care asigură rezistență maximă la tracțiune se observă că cu cît forma dublu concavă dispără și zona centrală se îngustează rezistența la tracțiune scade. Această fenomen se poate explica prin formarea creștăturii materialului de ados spre diametrul exterior al barelor (planșe 5 și 6) și existenței, probabil, a unei lățimi minime limitate care să poată prelua eforturi de tracțiune, lățime care să asigure propagarea linilor de curgere la  $45^{\circ}/10\%$ .

Crescerea timpului de frecare (R10 comparativ cu R11) are același efect nefavorabil asupra formei zonei centrale (planșa 3 comparativ cu planșa 2) ducind la îngustarea ei respectiv la scăderea caracteristicilor de rezistență.

Din punct de vedere structural zona centrală este alcătuită din ferită și perlită cu mărimea grăunților dependentă de parametrii de sudare. Odată cu creșterea presiunii de refuzare scade mărimea grăunțelui, (figurile 13, 31, 41 din planșele 4, 5, 6) dar rezistența la tracțiune a sudurii nu crește decorece acest efect favorabil este anihilat de forme necorespunzătoare a zonei centrale.

În zonele influențate termic structura este ferito-perlitică. În toate casurile se observă o creștere a granulației în aceste zone față de materialul de bază. Componind zonele influențate termic între ele se observă o micșorare a grăunților acestor zone cu creșterea presiunii de refuzare (planșele 4, 5, 6).

Măsurătorile de duritate efectuate după cele două direcții indică o creștere a durătății în ZIT și scăderea ei în zone centrală. Durătățile variază între 175 și 250 HV5 fără să indice prezența unor constituenți fragili.

În concluzia subcapitolului 4.3.2 se poate spune că, cu ajutorul sudării prin frecare cu material de ados se pot obține suduri cu caracteristici mecanice ridicate. Experimentările efectuate și rezultatele obținute constituie un început de trumă în perspectiva studierii fenomenelor ce apar la sudarea prin frecare cu material de ados. Observațiile făcute urmăresc să fie aprofundate și completate. Lucrarea necesită să fie completată cu un studiu de comportare la sudare prin frecare cu material de ados a diverse tipuri de oteluri, stabilindu-se tehnologiile de sudare optime, largindu-se gama de încercări a sudurilor, sudarea acestora cu plăcuțe de grosime mică din oteluri moi.

#### 4.3.3. Perspectivale sudării prin frecare cu material de ados

Prin varietatea tipurilor de suduri ce pot fi realizate cu această variantă de procedeu, figura 152, se apreciază că poate fi utilizat la recuperarea degeurilor de bare și țevi de orice lungime și cu secțiuni de diverse forme în condiții avantajoase din punct de vedere tehnic și economic deoarece sudarea prin frecare are consumul energetic cel mai scăzut comparativ cu celelalte procedee de sudare electrică prin presiune sau cu arcul electric.

Deoarece procesul de sudare nu necesită o sursă electrică de alimentare, materialul de ados putând fi întrebat în rotație și de un motor cu combustie internă sau de orice fel de motoare procedeul poate fi aplicat în condiții de șantier la sudarea capitelor din fier beton pe șantierele de construcții, la sudarea în teren a conductelor, țevilor de foraj etc.

Procedeul poate fi utilizat la sudarea unor materiale incompatibile între ele utilizând materialul de ados ca un strat tampon între aceste materiale.

Procedeul poate fi utilizat în lucrările de reparații respectiv de recuperare a diverselor organe de mașini cu secțiuni de forme complicate sau cu o dispunere spațială complexă cum ar fi spre exemplu arborii cotiți.

## 5. CONCLuzii

In lucrarea de doctorat se prezinta o sinteza a informatiilor existente in literatura de specialitate cu privire la fenomenele care concuad la formarea sudurilor prin freare, rezultatele corectarilor proprii efectuate la sudarea prin freare convenitionali si cale legata de dezvoltarea sudarii prin freare cu material de adez.

5.1. Sinteza documentară prezintă stadiul actual al cunoaștințelor legate de mecanismul formării sudurilor prin freare, fenomenele fizice și metalurgice care au loc în timpul procesului de sudare, punindu-se accent pe studiul momentului de freare și a cimpului termic care își extinde în urmă încălzirii capetelor componentelor de sudat. Ciclul de sudare prin freare se împarte în trei etape principale : etapa de încălzire prin freare, etapa de fricare și etapa de refuzare stabilindu-se rolul fiecărei etape în parte la formarea sudării și interdependența dintre ele.

5.2. In lucrare se prezintă parametrii regimului de sudare prin freare, modul cum variația acestora influențează caracteristicile sudurilor realizate și indicații de alegere a acestora în funcție de natura materialelor și secțiunea componentelor de sudat. Dintre parametrii regimului de sudare, au fost definiți ca principali : presiunea de freare, timpul de freare și presiunea de refuzare. În vederea stabilirii unei tehnologii de sudare se prezintă o metodă de optimizare a parametrilor principali, bazată pe metoda gradientului, care permite obținerea parametrilor optimi fără de criteriile de optimizare propuse cu un sunătir redus de experimentări.

5.3. În sudarea piezelor cu un important rol funcțional, se recomandă utilizarea controlului activ al procesului de sudare și, în lucrare, se prezintă informațiile necesare conceperii unui echivalent sistem de control.

5.4. În cadrul experimentărilor proprii de sudare prin frecare convențională s-au stabilit tehnologii de sudare pentru o mulțime de piese. Dintre acestea în lucrare au fost selectate 12 tehnologii care cuprind o gamă de forme și secțiuni ale componentelor și diverse tipuri de oțeluri românești, aliaje de cobalt și fier araco. Rezultatele obținute permit concluzia că prin procedeul de sudare prin frecare se pot suda toate tipurile de oțeluri între ele și cu alte materiale rezultând suduri cu performanțe ridicate. Sudurile realizate au fost analizate din punct de vedere macro și microstructural, și au măsurat duratăile de-a lungul zonelor sudurilor și piesele sudate au fost supuse la diverse încercări mecanice.

5.4.1. Prin procedeul de sudare prin frecare convențională se pot obține suduri de calitate deoarece nici una din sudurile examineate nu a avut defecte macrostructurale (de formă geometrică, fisuri, lipsă de legătură) sau microstructurale (fisuri, pori, inclusiuni, faze nedorite).

5.4.2. La sudarea oțelurilor nealiate cu conținut în carbon < 0,45 %, prin alegerea corespunzătoare a parametrilor regimului de sudură se obțin constituenții strucțurali și durată care nu necesită aplicarea unui tratament termic după sudare.

5.4.3. La sudarea oțelurilor nealiate cu 0,45 % C tip OLC45, necesitatea tratamentului termic este impusă de omogenitatea structurală a materialului de bază. Astfel, dacă componentele au înainte de sudare o structură ferito-perlitică omogenă, prin alegerea corespunzătoare a regimului de sudare, nu mai este nevoie de tratament termic.

5.4.5. La sudarea oțelurilor nealiate cu conținut > 0,45 % C respectiv la sudarea oțelurilor slab aliate, după sudare, în zona influență termic apar constituenții de tip beinitic sau martensitic cu durătăți mai mari de 350 HV5. Se recomandă aplicarea unui tratament termic de normalizare după sudare. La sudarea oțelurilor de îmbunătățire procesul de sudare se poate intercala

cu tratamentul termic de îmbunătățire conform schemei : călire - sudare - revenire, ceea ce conduce la obținerea unei structuri omogene de îmbunătățire de-a lungul zonelor sudurii.

5.4.5. La sudarea oțelurilor mult diferite din punct de vedere al compoziției chimice, structurii metalografice și caracteristicilor mecanice ca de exemplu, sudarea oțelului austenitic termoresistent 21.4 N cu oțelul de îmbunătățire 4CrMoCH15, procesul de sudare trebuie intercalat cu un tratament termic. Se efectuează tratamentul termic complet al oțelului termoresistent, se călărește oțelul de îmbunătățire, se sudează componentele și se efectuează un tratament termic de revenire piesei sudate.

5.4.6. La sudarea oțelurilor de scaune cu oțelurile tip OLC45 după sudare, se recomandă tratamentul termic de recoscere.

5.4.7. Componentele din oțel pot fi sudate cu ugurință cu componente din alte materiale cum ar fi aliajale de cobalt și fierul armat obținându-se suduri fără defecte și cu caracteristici mecanice comparabile cu ale materialului de bază.

5.4.8. La cele 12 exemple de aplicații ale sudării prin frecare, piesele sudate au fost supuse la o mulțime de încercări mecanice. Aceste încercări au fost fie încercări "clasice" tracțiune, îndoire, torsion, oboselă, fie specifice unor piese, ca de exemplu, încercarea cu cală înclinată sub cap respectiv încercarea tenacității capului la suruburile de păsiure sau încercarea de aplatisare a exelor ceramice. De asemenea aceste încercări s-au efectuat fie pe epruvete standardizate prelevate din piesele sudate, debavurate sau nedebavurate. În toate cazurile, ruperile s-au produs în materialele de bază.

5.5. Tehnologiile de sudare prin frecare elaborate conduc la obținerea unor importante economii de manopera, materiale și energie electrică. Din calea prezentate în lucrare se poate trage concluzia că aplicarea procedeului este eficientă din punct de

vedere tehnică și economică în cel puțin trei direcții :

5.5.1. Înlocuirea procedeeelor clasice de sudare cu arcul electric, sau electric prin presiune, cu consum de materiale, manusoperă și energie electrică mai ridicat și productivitate mai scăzută, cu procedeul de sudare prin frecare (Exemple: rolele de branzi rulante, arborii cardanici, sculele).

5.5.2. Înlocuirea pieselor executate din materiale scumpe și deficitare cu piese bimetalice sudate între ele prin frecare (Exemple: supapele, rotoarele de turbină).

5.5.3. Înlocuirea pieselor forjate de formă geometrică complicată cu piese laminate sudate între ele prin frecare (Exemple: arborii cu cane, axe planetare, arborii cotiți).

5.6. Procedeul de sudare prin frecare, în variantele care se aplică industrial, are aplicabilitate limitată deoarece, cel puțin, una din componente trebuie să fie rotundă și de lungime limitată de posibilitățile de strângere și antrenare în mișcare de rotație. Pentru a depăși aceste limite s-a dezvoltat sudarea cu material de adasos.

5.7. Sudarea prin frecare cu material de adasos, în varianta dezvoltată la ISIM Timișoara are următoarele avantaje față de sudarea prin frecare indirectă și sudarea prin frecare radială :

- se pot executa componente cu secțiuni de forme diferite de cea circulară și de lungimi nelimitate de mașina de sudat ;

- sudura se realizează pe întreaga suprafață a componentelor de sudat și nu este necesară prelucrarea capetelor componentelor ;

- piesa intermediară are forma simplă și nu necesită prelucrări mecanice complicate fiind debitata din table laminate ; antrenarea în mișcarea de rotație se face prin conturul plăcuței și nu necesită dispozitive complicate ;

- nu necesită dispozitive complicate de compresiune sau dilatare radială a piesei intermediare.

5.8. Mașina de sudat prin frecare cu material de adeos concepută și realizată la ISIM Timișoara în variante universală permite sudarea componentelor sub formă de bare rotunde, pătrate, hexagonale etc., țevi de lungimi nelimitate de mașină cu secțiunea maximă de  $1250 \text{ mm}^2$ . Constructiv această mașină este mai simplă decât mașinile de sudat prin frecare convenționale deoarece nu necesită dispozitive de strângere și antrenare în mișcare de rotație prevăzute cu sisteme de lăcăruire și cu mandrine hidraulice complicate.

5.9. Experimentările efectuate la sudarea prin frecare cu material de adeos a barelor rotunde din OL50 cu diametrul de 34 mm, folosind ca material de adeos plăcuțe din OLY7 de 9 mm grosime au arătat că prin această metodă se pot obține suduri cu caracteristici mecanice ridicăte, piesele sudate supuse la tracțiune să se rupt în materialul de bază.

5.9.1. Programul de experimentări a urmărit modul cum influențează timpul de frecare și presiunile de refuzare forme sudurii, structura metalografică și rezistența la tracțiune a sudurii; o anumită formă a zonei centrale corespunde sudurilor cu rezistență la tracțiune ridicată.

5.10. Rezultatele experimentărilor de sudare prin frecare cu material de adeos deschid perspective de extindere a aplicării procedeului de sudare "în teren" a țevilor de foraj, a conductelor de orice fel, la recuperarea deșeurilor de bare și țevi din șantiere și întreprinderi, la realizarea unor piese de formă spațială complicată cum ar fi arborii cotiși.

Autorul consideră drept contribuții originale :

a. Elaborarea unei metodologii de optimizare a principiilor parametrii și regimului de sudare prin frecare ;

b. Elaborarea, împreună cu colectivul de sudare prin frecare de la ISIM Timișoara, a peste 50 de tehnologii de sudare a diferitelor tipuri de piese, care, cumulat, aduc beneficiarilor economii de manopera, materiale și energie electrică estimate la peste 15 milioane lei/an.

c. conceperea și realizarea unei mașini de sudat prin frecare cu material de adaos.

d. cercetarea fenomenelor specifice sudării prin frecare cu material de adaos, constituind noutăți pe plan mondial.

e. Este autor principal și coautor de trei brevete de invenții :

- brevetul nr. 72722/28.01.1979 cu titlul "Procedeu de sudare prin frecare a barelor și țevilor"
- brevetul nr. 72723/29.06.1979 cu titlul "Procedeu de sudare prin frecare a barelor profilate"
- brevetul nr. 77943/29.06.1981 cu titlul "Procedeu de realizare a arborilor cotiți prin sudare".

In concluzia lucrării de doctorat, se consideră că procedeul de sudare prin frecare este un procedeu care se aplică în condiții avantajoase din punct de vedere tehnic și economic asigurind sudurilor realizate calități corespunzătoare scopului propus.

Pentru lărgirea domeniului de aplicare al procedeului de sudare prin frecare, autorul apreciază ca necesară rezolvarea următoarelor probleme :

- studierea comportării la sudarea prin frecare a altor materiale : cupru, aluminiu, titan respectiv a aliajelor lor, precum și diverse combinații de materiale ;
- elaborarea unui sistem de control activ al procesului de sudare prin frecare ;
- continuarea experimentărilor legate de sudarea prin frecare cu material de adaos, conceperea unor mașini de sudat "în teren".

BIBLIOGRAPIE

1. GADEA, S., PETRESCU, M., Metalurgie fizică și studiul metalelor. Editura didactică și pedagogică, București, 1981, vol.I și II.
2. SALAGRAN, T. Fenomene termice și metalurgice la sudarea cu arcul electric, Editura Academiei, București, 1963.
3. AVERAK, I., SALAGRAN, T., Procedee conexe sudării, Editura tehnică, 1968.
4. SALAGRAN, T. Oțeluri pentru structuri sudate, Editura Pacla, 1974.
5. SALAGRAN, T. Sudarea cu arcul electric, Editura Pacla, 1977.
6. ANTONESCU, I., BOARNA, C., DOBOSAN, V., STOLANOVICI, P., Sudarea prin presiune, Editura tehnică, 1969.
7. PAVELESCU, D. Concepții noi, calcul și aplicări în frezarea și uscarele solidelor deformabile, Editura Academiei RSR, 1971.
8. BOARNA, C. Cercetări privind influența deformației plastice asupra calității sudurilor realizate prin presiune, în capete Teză de doctorat, IPTV Timișoara, 1970.
9. DEHELEAN, D. Optimizarea tehnologică și energetică la sudarea cu arc rotitor, Teză de doctorat, IPTV Timișoara, 1978.
10. DIETER, G. Metalurgie mecanică, Editura tehnică, București, 1970.
11. VILL, V.I. Svarka metalov tremota, Leningrad, 1970.
12. CORAB, G.N., CASATKIN, B.G., HAZARCIK, A.T. Obrazovanie fizicheskovo kontakta pri svarka bez oplozenija. In : Avtomaticheskaja svarka, 1963, nr.2.

13. KRAGELSKI, I.V. Trenie i iznos - Maschiz, 1962.
14. VINOGRADOVA, I.E. Zameemicie zadanja pri trenii. Rozvitiie teorii trenie i iznosivaniia. Trudi sovetskianis po teorii trenie i iznosivaniia. N.A.N., URSS, 1957.
15. DUFFIN, P. and BAHRANI, A.S. The mechanics of friction welding. In : Advances in welding processes, Third international conference, Harrogate England, 7-9 May 1974.
16. HASSUI, A. and FUKUSHIMA, S. On the Torque in friction welding, Transaction of the Japan Welding Society, vol.9, No.1, April 1977 - IIW Doc III - E - 77.
17. BOLDIREV, R.N., VOINOV, V.P. Vozmojnie pricini extremskogo crutiescievo momenta v protsesse nagrova pri sverke treniem, Svarocinoe proizvodstvo, nr.1, 1980.
18. WANG, K.K. and WEN LIN, Flywheel friction welding research, Welding Journal, 1974, No.6.
19. NAKAMURA, K., KAKAHARA, S. Study on friction welding - Torque in Frictional process and optimum welding conditions for plain carbon steels.
20. RICH, T., RICHARD, R. Thermal analysis for basic friction welding - Metal Construction and British Welding Journal No.3 1971.
21. RIKALIN, N.N., PUGIN, A.J., VASILIEVA, V.A. Incilisirea si raportarea capetelor levilor in timpul procesului de sudare prin freare, Svarocinoe Proizvodstvo, octombrie 1959.
22. CHENG, C.J. Transient temperature distribution during friction welding of two similar materials in tubular form - Welding Journal, 41, Decembrie 1962.
23. CHENG, C.J. Thermal aspects of the friction welding process Part 1, Joining of two similar materials, Technical Report 296, Connecticut, July 7, 1961.

24. HOLLANDER, M.B. Developments in friction welding, Metals Engineering, 2 May, 1962.
25. VILL, V.L. Friction welding of metals, Reinbold Publishing Corporation, New York, 1962.
26. GELMAN, A.S., SANDER, M.P. Încălzirea capetelor țevilor cu peretei groși sudate prin freare, Svercinoe Preisvodstvo, Octombrie 1959.
27. ZACKSON, R.I., VOZNESENSKY, V.D. Parametrii care determină încălzirea la sudarea prin freare, Svercinoe Preisvodstvo, Octombrie 1959.
28. SQUIRES, J.F. Thermal and mechanical characteristics of friction welding mild steel, British Welding Journal, 11, noiembrie 1966.
29. STERNIN, L.A. Sudarea prin freare a metalelor diferite, Avtomaticekskaia Sverka, nr.18, martie 1965.
30. AASUI, A., FUKUSHIMA, S. and KINUGAWA, J. Experimental studies on friction welding phenomena, National Research Institute for Metals. IIW - Doc. III- 369 - 69.
31. EICHHORN, P. and SCHAEFER, R. Fundamental Investigation into Friction Welding, Aachen, IIW-Doc. III - 373 - 69.
32. EICHHORN, P. und SCHAEFER, R. Beitrag zu den Vorgängen an der Verbindungsstelle beim Konventionellen Reibschweißen von Stahl. Schweißen und Schneiden 20, 1968.
33. ELLIS, C.R.G. Friction Welding Application in the U.K. Fabrication in Quantity Production. Metal Construction and British Welding Journal, 1973, nr.10.
34. LUCAS, W. Effect of friction pressure, forge pressure and weld time on joint strength and microstructure of mild steel friction welds. Metal Construction and British Welding Journal nr.8, 1973.

35. LUCAS, W. Process parameters and friction welds, Metal Construction and British Welding Journal, nr.8, 1973.
36. ZAKRADNIK, R. Theory and techniques of optimization for practicing engineers, Barne & Nables, New-York, 1971.
37. ARJOCA, I. Optimierung der technologie der Reibschweisung der rollbänderrollen, ZIS Mitteilungen, 1977, nr.3.
38. ARAKY, I., SKIHADA, K. Quality assurance on the friction welding processes. DVS Berichte 28 - Annual assembly, 1973.
39. x x x Recommendations for friction welding butt points in metals for high duty applications, The Welding Institute, Cambridge, 1975.
40. DREWS, P. MEYER, B. and SCHMIDT, I. Development and application of a computer control system for friction welding, IIE - Doc. III - 581 - 78.
41. EICHORN, P. SCHAEFER, R. Reibschweißen in kraftfahrzeugen, Schweißen und Schneiden, 20, 1968, nr.11.
42. DAHES, I.W. Friction welding applications in the U.K.II Metal Construction and British Welding Journal, 1973, nr.11.
43. WELZ, W. DENNIN, G. Reibschweißen vom Schnellarbeitsthal mit Werkfertigthal. Schweißen und Schneiden, 1973, nr.2.
44. ELLIS, C.R.G. As the friction welding pressure increases, without limits, the tensile strength of the weld increases. Welding Research Supplement, 1972, nr.1.
45. PAGE, M.L. Friction welding in Japan, Metal Construction, 1970, nr.5.
46. CALDERALE, P.N. Sintese cereștrilor asupra sudării prin fricare. Revista Italiană delle Saldature, nr.5, 1970.

47. GANOWSKI, P.N. Practical considerations for friction welding. Welding Engineer, May, 1973.
48. KURUZAR, D.L. Joint Design for the Friction Welding Process Welding Journal, 1979, 6.
49. SEREGIN, S.A., SABANTEV, V.P. Svarca treniem plasticoeski deformirovannoi steli. Sverocinoe proizvodstvo, 1975, nr.11.
50. x x x Friction welding of economizer tubes of power boilers in an automated production line, IIW Doc. III - 511 - 74.
51. x x x Experimentări de sudare prin frecare a suruburilor de întindere BV - 38/G.O.-7.3A, studiu ISIM Timișoara, 1977.
52. x x x Stabilirea tehnologiei de sudare prin frecare a îmbinărilor țeavă - cap, studiu ISIM Timișoara, 1975.
53. x x x Stabilirea tehnologiei de sudare prin frecare a tarosilor de magină, Studiu ISIM Timișoara, 1975.
54. x x x Sudarea prin frecare a fusului ax și a arborelui cu cană, Studiu ISIM Timișoara, 1981.
55. x x x Sudarea prin frecare a arborilor cardanici, Studiu ISIM Timișoara, 1981.
56. x x x Sudarea prin frecare a furcilor cu butuc, Studiu ISIM Timișoara, 1981.
57. x x x Tehnologia sudării prin frecare a arborilor planetari, Studiu ISIM Timișoara, 1979.
58. x x x Sudarea prin frecare a suruburilor de pâlnuire, Studiu ISIM Timișoara, 1979.
59. x x x Stabilirea tehnologiei de sudare prin frecare a unor elemente de arbori cotiți. Studiu ISIM Timișoara, 1979.

60. x x x Stabilirea tehnologiilor de sudare prin freare a componentelor de arbori cotiți executăți din 41MoC 18, OLC45 și OL37. Studiu ISIM Timișoara, 1980.
61. x x x Cercetări privind sudarea cap la cap prin freare a semifabricatelor de supape pentru motorul diesel R.251, Studiu ISIM Timișoara, 1973.
62. x x x Cercetări privind aplicarea procedeului de sudare cap la cap prin freare la semifabricatele pentru scule din oțel Rp3 + OLC45 și DMo5 + OLC45, Studiu ISIM Timișoara, 1973.
63. x x x Cercetări privind sudarea prin freare a materialului turbo-term V 4989 cu OLC45, Studiu ISIM Timișoara, 1976.
64. BOARNA, C., DEHELEAN, D., ARJOCA, I. Procedee neconvenționale de sudare, Editura Paclă, Timișoara, 1980.
65. ARJOCA, I. Optimierung der technologie der Reibeschweißung der rollbänderrollen, ZIS Mitteilungen, nr. 3, 1977.
66. NICHOLAS, E.D. LILLY, R.H. Radial friction welding - Doc. IIS - III - 632 - 30.
67. x x x Sudarea prin freare cu material de adeos a berelor și realizarea echipamentului adecvat. Studiu ISIM Timișoara, 1966.
68. NING, F. Low temperature friction welding of aluminum to copper, IIW Doc. III - 327 - 66.
69. VILL, V.I. Investigation and application of friction welding in the USSR, IIW Doc. III - 368 - 69.
70. NAKAMURA, K., NAKAHARA, S. Friction welding of non circular section workpieces by phase-matching friction welding machine, IIW, Doc. III - 390 - 30.

71. ARAKI, Y. and all. Study on the friction welding, IIW - Doc III - 410 - 71.
72. x x x Application of friction welding in Japan, IIW Doc.III 470 - 73.
73. x x x Friction welding machine in Japan, IIW - Doc III - 469 - 73.
74. WELZ, W., DENNIN, G., Friction welding with additional induction heating, IIW Doc. III - 510 - 74.
75. NAKAMURA, T. Report on resistance welding and friction welding studies in 1975, IIW - Doc. III 546 - 76.
76. MILAN, L., ELLIS, C.R.G. Tests for resistance and friction butt welds, IIW - Doc. III - 562 - 77.
77. BASLER, B., ERDMANN, P. REPPKELDT, D. Contribution to the friction welding aptitude of cast iron - IIW - Doc.III - 595 - 78.
78. HASUI, A. TANAKA, H.. Friction welding of Cr-Mo steel and carbon steel, IIW Doc.III - 605 - 79.
79. SATOH, T. Report of resistance welding and friction welding studies, 1979, IIW Doc.III - 639 - 80.
80. DREWS, P., SCHMIDT, I. Quality control by ultrasonic faults detection in friction welds of mild steel, IIW Doc.III - 686 - 80.
81. ARJOCA, I. Sudarea prin freare a cupapelor de motoare diesel, Sesiune de comunicări ICPTCM Bucureşti, 1973.
82. ARJOCA, I. Controlul calității îmbinărilor sudate prin freare, B.I.T. nr.2, 1974.

83. ARJOCA, I. Svarca treciem prutkov iz termouprocinisemov stelii. Informație materială, Kiev, 1975, nr.1.
84. ARJOCA, I. Svarca treciem valicov rolgangs. Informație materială, Kiev, 1976, nr.1.
85. ARJOCA, I., DINI, GH. Sudarea prin frecare a rotoarelor de turbină. Sesiune de comunicări ISIM Timișoara, 1977.
86. ARJOCA, I., DINI, GH. Svarka treciem turbionnîh rotorov. Informație materială, Kiev 1978.
87. ARJOCA, I. Aplicarea procedeului de sudare prin frecare în construcția de autoturisme. Sesiune de comunicări, Pitești, 1978.
88. ARJOCA, I., DINI, GH. Calculul eficienței tehnico-economice a aplicării sudării prin frecare cu particularizare la sudarea rolelor transportoare miniere. Sesiune de comunicări, ISIM Timișoara, 1978.
89. ARJOCA, I. Tehnologii de sudare prin frecare aplicate în construcția de mașini, Sesiunea de comunicări Galați, 1979.
90. ARJOCA, I. Sudarea prin frecare cu și fără material de ados, Sesiune de comunicări, Academia Militară București, 1980.
91. ARJOCA, I. Aplicații ale sudării prin frecare în construcție de mașini, Construcție de mașini, nr.7-8, 1980.
92. ARJOCA, I. Tehnologii și echipamente de sudare prin frecare realizate la ISIM Timișoara, Sesiune de comunicări, ISIM Timișoara, 1980.
93. ARJOCA, I. Avantajele tehnice și economice ale aplicării sudării prin frecare, Sesiunea de comunicări, Constanța 1981

94. ARJOCA, I. DINA, GH. Inlocuirea pieselor forjate de formă complexă cu piese sudate prin frecare, Sesiune de comunicări, Brăila, 1981.
95. ARJOCA, I. Studierea procesului tehnologic la sudarea prin frecare a supapelor de motoare diesel cu diametrul tijei de 18 mm, Conferință CAER, tema V Sudură, Gliwice, RPP, 1976.
96. ARJOCA, I. Studiul îmbinărilor sudate prin frecare a barelor de diferite dimensiuni din otel cu 0,45% C, Conferință CAER, tema V, Sudură, Bratislava, RSC, 1977.
97. ARJOCA, I. Elaborarea tehnologiei de sudare prin frecare a elementelor componente ale carcaselor de bobine, Conferință CAER, tema V Sudură, Karl-Marx-Stadt, RDG, 1979.
98. ARJOCA, I. Determinarea domeniilor de aplicare a procesului de sudare prin frecare și elaborarea tehnologiilor concrete, Conferință CAER, tema V Sudură, Buziaș, 1979.
99. ARJOCA, I. Stabilirea tehnologiei de sudare prin frecare a componentelor de arbori cotiți, Conferință CAER, tema V Sudură, Kiev, URSS, 1980.
100. ARJOCA, I. Studierea procesului de sudare prin frecare cu pieză intermediară, Conferință CAER, tema V Sudură, Kiev, URSS, 1980.
101. ARJOCA, I. Stabilirea tehnologiei de sudare prin frecare a arborilor cardanici, Conferință CAER, tema V Sudură, Budapesta, RPU, 1981.
102. ARJOCA, I. Cercetarea caracteristicilor de rezistență la obosale, de torsionare a elementelor de arbori cotiți sudate prin frecare, Conferință CAER, tema V Sudură, Budapesta, RPU, 1981.

SPRINTA

	Pagina
<b>Introducere .....</b>	<b>2</b>
<b>1. Procesul de sudare prin frecare .....</b>	<b>5</b>
1.1. Formarea sudurilor prin presiune .....	5
1.2. Noțiuni despre teoria freclirii .....	11
1.3. Mechanismul sudării prin frecare .....	17
1.4. Studiul momentului de frecare .....	29
1.5. Cimpul termic la sudarea prin frecare .....	43
<b>2. Tehnologia sudării prin frecare .....</b>	<b>59</b>
2.1. Pregătirea componentelor pentru sudare .....	59
2.2. Parametrii regimului de sudare .....	61
2.3. Influența parametrilor asupra caracteristicilor sudurilor realizate .....	65
2.4. Alegera parametrilor regimului de sudare ...	71
2.5. Controlul calității sudurilor realizate prin frecare .....	89
<b>3. Sudarea prin frecare a "îferitelor" piece din oțel și din aliaje neferoase .....</b>	<b>95</b>
3.1. Sudarea suruburilor de întindere .....	95
3.2. Sudarea rolelor de benzi rulante transportare .....	99
3.3. Sudarea teroziilor de mașini .....	105
3.4. Sudarea arborelui cu came .....	112
3.5. Sudarea arborilor cardanici .....	116
3.6. Sudarea axelor planetare .....	126
3.7. Sudarea suruburilor de păouire .....	131
3.8. Sudarea arborilor cotiți .....	139
3.9. Sudarea supapelor motoarelor diesel .....	141

3.10. Sudarea cojelor aprietoare .....	143
3.11. Sudarea rotoarelor de turbini ..... 3.12. Sudarea carcaselor de bobini ..... 3.13. Probleme de tratament termic al piecelor sudate prin frecare ..... 3.14. Incercările mecanice ale piecelor sudate prin frecare .....	154 157 160 161
4. Sudarea prin frecare cu material de ados .....	163
4.1. Extinderea domeniului de aplicare a sudării prin frecare .....	163
4.2. Sudarea prin frecare radială .....	167
4.2.1. Echipamentul experimental realizat .... 4.2.2. Experimentări de sudare ..... 4.2.3. Perspectivale sudării prin frecare radiale .....	167 169 174
4.3. Sudarea prin frecare cu material de ados .... 4.3.1. Echipamentul de sudare realizat ..... 4.3.2. Sudarea prin frecare cu material de ados a barelor rotunde ..... 4.3.3. Perspectivale sudării prin frecare cu material de ados .....	175 175 183 202
5. Concluzii .....	203
Bibliografie .....	209